

AUTOSTRADA (A14) : BOLOGNA-BARI-TARANTO

TRATTO: BOLOGNA BORGO PANIGALE - BOLOGNA SAN LAZZARO

POTENZIAMENTO IN SEDE DEL SISTEMA
AUTOSTRADALE E TANGENZIALE DI BOLOGNA

"PASSANTE DI BOLOGNA"

PROGETTO DEFINITIVO

TANGENZIALE NORD E SUD


CORPO STRADALE da pk 19+843 a pk 20+552

MURO DI SOSTEGNO MS025

Relazione di calcolo

<p>IL PROGETTISTA SPECIALISTICO</p> <p>Ing. Marco Pietro D'Angelantonio Ord. Ingg. Milano n.A20155</p> <p>RESPONSABILE GEOTECNICA ALL'APERTO</p>	<p>IL RESPONSABILE INTEGRAZIONE PRESTAZIONI SPECIALISTICHE</p> <p>Ing. Raffaele Rinaldesi Ord. Ingg. Macerata N. A1068</p>	<p>IL DIRETTORE TECNICO</p> <p>Ing. Andrea Tanzi Ord. Ingg. Parma N. 1154</p> <p>PROGETTAZIONE NUOVE OPERE AUTOSTRADALI</p>
--	--	---

CODICE IDENTIFICATIVO										ORDINATORE	
RIFERIMENTO PROGETTO			RIFERIMENTO DIRETTORIO				RIFERIMENTO ELABORATO				
Codice Commessa	Lotto, Sub-Prog., Cod. Appalto	Fase	Capitolo	Paragrafo	W B S	Parte d'opera	Tip.	Disciplina	Progressivo	Rev.	001
111465	0000	PD	A 2	C 2 2	MS 0 2 5	0 0 0 0 0	R	APE	0 7 4 4	- 2	SCALA -

 gruppo Atlantia	<p>PROJECT MANAGER:</p> <p>Ing. Raffaele Rinaldesi Ord. Ingg. Macerata N. A1068</p>	<p>SUPPORTO SPECIALISTICO:</p>	<p>REVISIONE</p> <table border="1"> <thead> <tr> <th>n.</th> <th>data</th> </tr> </thead> <tbody> <tr> <td>0</td> <td>DICEMBRE 2017</td> </tr> <tr> <td>1</td> <td>SETTEMBRE 2019</td> </tr> <tr> <td>2</td> <td>SETTEMBRE 2020</td> </tr> </tbody> </table>		n.	data	0	DICEMBRE 2017	1	SETTEMBRE 2019	2	SETTEMBRE 2020
	n.	data										
	0	DICEMBRE 2017										
	1	SETTEMBRE 2019										
2	SETTEMBRE 2020											
<p>REDATTO:</p> <p>-</p>	<p>VERIFICATO:</p> <p>-</p>											

<p>VISTO DEL COMMITTENTE</p>  <p>IL RESPONSABILE UNICO DEL PROCEDIMENTO Ing. Fabio Visinini</p>	<p>VISTO DEL CONCEDENTE</p>  <p>Ministero delle Infrastrutture e dei Trasporti DIPARTIMENTO PER LE INFRASTRUTTURE, GLI AFFARI GENERALI ED IL PERSONALE STRUTTURA DI VIGILANZA SULLE CONCESSIONARIE AUTOSTRADALI</p>
--	--

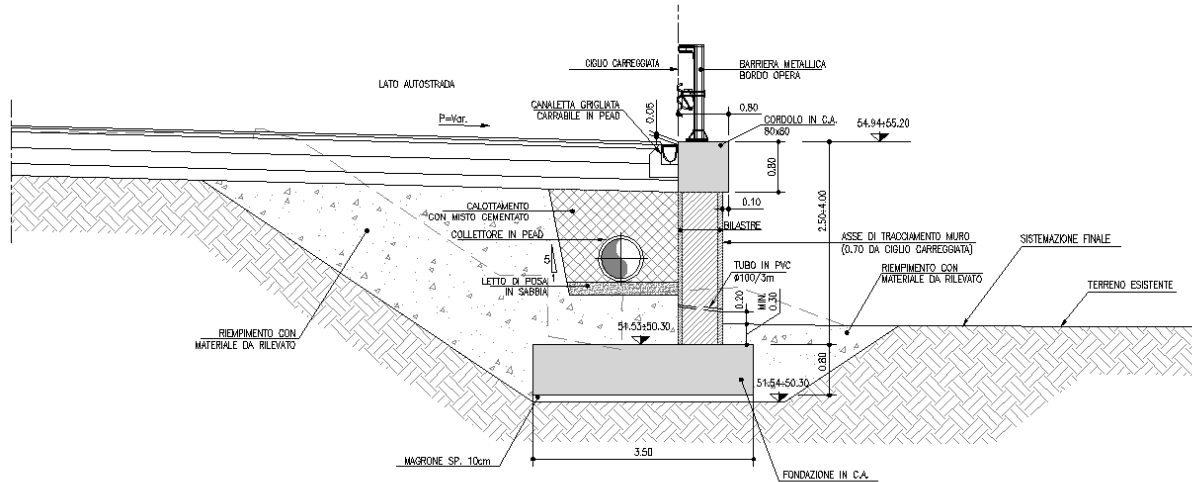
Sommario

1	PREMESSA	4
1.1	DESCRIZIONE SINTETICA DELL'OPERA	4
1.1.1	Tratto 1 – Fondazione diretta con altezza massima di 2m	4
1.1.2	Tratto 2 – Fondazione diretta con altezza compresa tra 2 e 4m	4
1.1.3	Tratto 3 – Fondazione su pali	5
1.2	NORMATIVA DI RIFERIMENTO E CRITERI DI VERIFICA	6
1.3	CODICI DI CALCOLO	6
2	MATERIALI	7
3	INQUADRAMENTO GEOLOGICO E GEOTECNICO	9
3.1	LIVELLO DELLA FALDA	10
4	INQUADRAMENTO SISMICO	11
4.1	CLASSIFICAZIONE DELL'OPERA E VITA ATTESA	11
4.2	TEMPO DI RITORNO DELL'EVENTO SISMICO	11
4.3	ACCELERAZIONE MASSIMA SU SUOLO ROCCIOSO	12
4.4	PARAMETRI DI RISENTIMENTO IN SUPERFICIE	13
4.4.1	Effetti stratigrafici	14
4.4.2	Effetti topografici	14
4.5	ACCELERAZIONE MASSIMA AL SITO	14
5	TRATTO CON FONDAZIONE DIRETTA – CRITERI DI VERIFICA	15
5.1	CODICE DI CALCOLO	15
5.2	VERIFICHE STRUTTURALI	16
5.3	VERIFICA DI RIBALTAMENTO	16
5.4	VERIFICA DI SCORRIMENTO SUL PIANO DI POSA	16
5.5	VERIFICA DI CAPACITÀ PORTANTE	17
5.6	VERIFICA DI STABILITÀ GLOBALE	17
5.6.1	Azione sismica	18
6	TRATTO CON FONDAZIONE DIRETTA – ANALISI DEI CARICHI	20
6.1	PESI PROPRI	20
6.2	SPINTA DELLA TERRA	20
6.3	TRAFFICO VEICOLARE	21
6.4	URTO DI UN VEICOLO IN SVIO	21
6.5	COMBINAZIONI DI CARICO	22
7	TRATTO SU PALI – CRITERI DI VERIFICA	23
7.1	CODICE DI CALCOLO	23
7.1.1	Legame costitutivo	23
7.2	ANALISI DELLA STRUTTURA	23
7.3	VERIFICHE STRUTTURALI	24
7.4	VERIFICA DELLA LUNGHEZZA DI IMMORSAMENTO DEI PALI	24
7.5	VERIFICA DI STABILITÀ GLOBALE	24
7.5.1	Generalità	24
7.5.2	Azione stabilizzante dei pali di fondazione	25
7.5.3	Azione sismica	25
7.5.4	Verifica di stabilità	25
7.6	VERIFICA DELLE DEFORMAZIONI IN ESERCIZIO	26
8	TRATTO SU PALI – ANALISI DEI CARICHI	27

8.1	PESI PROPRI	27
8.2	SPINTA DELLA TERRA.....	27
8.3	SPINTA DELLA TERRA IN CONDIZIONI SISMICHE	27
8.3.1	<i>Azione sismica</i>	27
8.3.2	<i>Incremento del coefficiente di spinta attiva</i>	28
8.3.3	<i>Riduzione del coefficiente di spinta passiva</i>	29
8.4	TRAFFICO VEICOLARE	30
8.5	URTO DI UN VEICOLO IN SVIO	30
8.6	COMBINAZIONI DI CARICO E COEFFICIENTI PARZIALI	30
9	TRATTO SU FONDAZIONE DIRETTA – ANALISI SEZIONE TIPO 1	31
9.1	MODELLO	31
9.2	RISULTATI E VERIFICHE	32
9.2.1	<i>Verifiche globali - Coefficienti di sicurezza</i>	32
9.2.2	<i>Spinte</i>	33
9.2.3	<i>Azioni interne</i>	34
9.2.4	<i>Verifiche strutturali</i>	34
10	TRATTO SU FONDAZIONE DIRETTA - ANALISI SEZIONE TIPO 2	37
10.1	MODELLO	37
10.2	RISULTATI E VERIFICHE	38
10.2.1	<i>Verifiche globali - Coefficienti di sicurezza</i>	38
10.2.2	<i>Spinte</i>	39
10.2.3	<i>Azioni interne</i>	40
10.2.4	<i>Verifiche strutturali</i>	40
11	TRATTO SU FONDAZIONE DIRETTA - ANALISI SEZIONE TIPO 3	43
11.1	MODELLO	43
11.2	RISULTATI E VERIFICHE	44
11.2.1	<i>Verifiche globali - Coefficienti di sicurezza</i>	44
11.2.2	<i>Spinte</i>	45
11.2.3	<i>Azioni interne</i>	46
11.2.4	<i>Verifiche strutturali</i>	46
12	TRATTO SU FONDAZIONE DIRETTA - ANALISI SEZIONE TIPO 4	49
12.1	MODELLO	49
12.2	RISULTATI E VERIFICHE	50
12.2.1	<i>Verifiche globali - Coefficienti di sicurezza</i>	50
12.2.2	<i>Spinte</i>	51
12.2.3	<i>Azioni interne</i>	52
12.2.4	<i>Verifiche strutturali</i>	52
13	TRATTO SU PALI - DATI DI INPUT	55
13.1	FASI ESECUTIVE	55
13.2	COEFFICIENTI DI SPINTA DELLA TERRA	55
13.3	URTO SU SICURVIA	57
13.4	AZIONE SISMICA	57
14	TRATTO SU PALI - RISULTATI	58
14.1	FASI DI CALCOLO	58
14.2	SPOSTAMENTI	60
14.3	PALI DI FONDAZIONE - AZIONI INTERNE	62
14.4	SOPRALZO - AZIONI INTERNE	65
14.5	SINTESI AZIONI INTERNE	68
15	TRATTO SU PALI - VERIFICHE	69

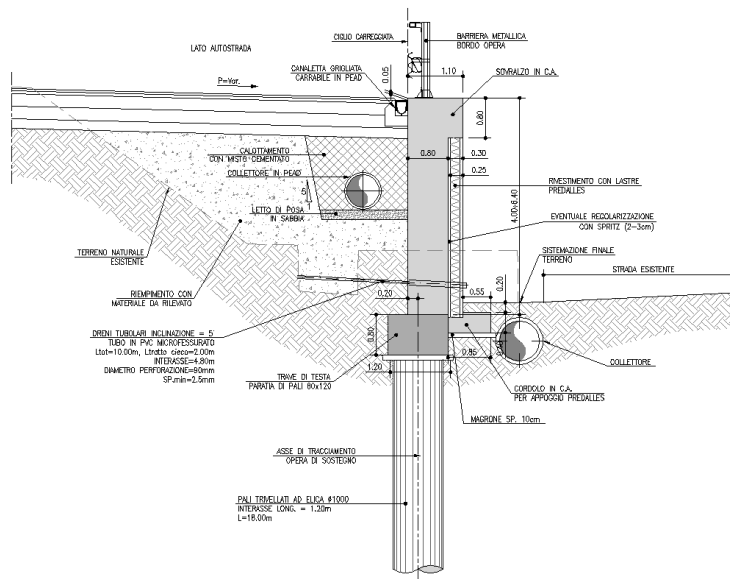
15.1	VERIFICA DELL'IMMORSAMENTO DEI PALI.....	69
15.2	VERIFICA STRUTTURALE DEI PALI.....	69
15.3	VERIFICA STRUTTURALE DEL SOPRALZO	72
15.4	VERIFICA DI STABILITÀ GLOBALE	75
16	ALLEGATO 1 – TABULATO SEZIONE TIPO 1	77
17	ALLEGATO 2 – TABULATO SEZIONE TIPO 2	96
18	ALLEGATO 3 – TABULATO SEZIONE TIPO 3	116
19	ALLEGATO 4 – TABULATO SEZIONE TIPO 4	138

- Lunghezza pali di fondazione: --
- Diametro pali di fondazione: --
- Interasse pali di fondazione: --



1.1.3 Tratto 3 – Fondazione su pali

- Altezza massima del sopralzo: 6.00m (da trave testa pali)
- Tipologia pali di fondazione: trivellati ad elica continua
- Lunghezza pali di fondazione: 18.0m
- Diametro pali di fondazione: 1'000mm
- Interasse pali di fondazione: 1'200mm
- Dimensione trave di testa dei pali: 120 x 80cm



1.2 NORMATIVA DI RIFERIMENTO E CRITERI DI VERIFICA

Le analisi e le verifiche di seguito documentate sono state svolte nel rispetto della Normativa vigente di seguito richiamata:

- **Circolare 21 gennaio 2019**, n.7 del Ministero delle Infrastrutture e dei Trasporti - Istruzioni per l'applicazione dell'«Aggiornamento delle "Norme tecniche per le costruzioni"» di cui al decreto ministeriale 17 gennaio 2018. Gazzetta Ufficiale del 11.02.2019 n. 5, supplemento ordinario n.35.
- **D.M. 17/01/2018** "Aggiornamento delle "Norme tecniche per le costruzioni" - GU n°8 del 17/2/2018

In accordo a quanto previsto dalle NTC le analisi e le verifiche di seguito documentate sono state svolte con riferimento alla teoria degli Stati Limite.

1.3 CODICI DI CALCOLO

Per le verifiche geotecniche e strutturali si è fatto ricorso ai seguenti codici di calcolo commerciali:

RC-SEC_2019.11.0 – <i>Geostru</i>	(verifiche sezioni in c.a.)
MAX-15 2018 - 15.04.A – <i>Aztec</i>	(analisi muri)
PRATIE-PLUS 20.0.5 - <i>Ceas</i>	(analisi muro su pali)

2 MATERIALI

Le caratteristiche dei calcestruzzi sono definite in accordo con UNI-EN206-1 e CNR-UNI11104 mentre i copriferri sono definiti in base a NTC-2008 e EN1992-1-1.

MAGRONE DI SOTTOFONDO

- Classe di resistenza minima: C12/15
- Classe di esposizione: XC0

CALCESTRUZZO PER TRAVE TESTA PALI

- Classe di resistenza minima: C25/30
- Classe di esposizione: XC2
- Copriferro "nominale" ⁽¹⁾: 40mm

CALCESTRUZZO PER PALI DI FONDAZIONE (pali trivellati a elica)

- Classe di resistenza minima: C25/30
- Classe di esposizione: XC2
- Copriferro "nominale" ⁽¹⁾: 80mm

CALCESTRUZZO PER FONDAZIONE IN OPERA

- Classe di resistenza minima: C28/35
- Classe di esposizione: XC2
- Copriferro "nominale" ⁽¹⁾: 40mm

CALCESTRUZZO PER ELEVAZIONE IN OPERA

- Classe di resistenza minima: C32/40
- Classe di esposizione: XF2
- Copriferro "nominale" ⁽¹⁾: 40mm

CALCESTRUZZO PER BILASTRE

- Classe di resistenza minima: C32/40
- Classe di esposizione: XF2
- Copriferro "nominale" ⁽¹⁾: 30mm

CALCESTRUZZO PER RIEMPIMENTO BILASTRE

- Classe di resistenza minima: C25/30
- Classe di esposizione: XC2

CALCESTRUZZO PER CORDOLO GUARDRAIL

- Classe di resistenza minima: C32/40
- Classe di esposizione: XF2
- Copriferro "nominale" ⁽¹⁾: 40mm

ACCIAIO PER ARMATURA LENTA

- Acciaio in barre: B450C
- Reti: B450A
- Sovrapposizione: 60 diametri

⁽¹⁾ – Copriferro *nominale di calcolo* secondo EN1992-1-1 comprensivo di $\Delta c_{dev} = 5\text{mm}$

3 INQUADRAMENTO GEOLOGICO E GEOTECNICO

Rimandando per i dettagli agli specifici documenti progettuali si considera la seguente stratigrafia di riferimento (sondaggio PD29 e **PB28**):

Da p.c. locale a 10m: Formazione **A**
Da 10m a 15m: Formazione **B**
Oltre 15m: Formazione **A**

Nello specifico la formazione **A** è costituita prevalentemente da argille e limi debolmente sabbiosi a consistenza da soffice a media mentre la formazione **B** è costituita da materiale granulare (ghiaie e ghiaietto in matrice sabbiosa/limosa) molto addensato con frequenti condizioni di "rifiuto" delle prove SPT.

Per tali formazioni si considerano i parametri geotecnici caratteristici di cui al seguito:

Formazione A (fino a 3m dal p.c locale)

γ = peso di volume = 19kN/mc
 c' = coesione efficace = 5kPa
 ϕ'_k = angolo di attrito caratteristico = 28°
 E' = modulo elastico operativo in carico vergine = 10MPa
 E'_{ur} = modulo elastico operativo in scarico-ricarico = 20MPa

Formazione A (oltre 3m dal p.c locale)

γ = peso di volume = 19kN/mc
 c' = coesione efficace = 0kPa
 ϕ'_k = angolo di attrito caratteristico = 28°
 E' = modulo elastico operativo in carico vergine = 10MPa
 E'_{ur} = modulo elastico operativo in scarico-ricarico = 20MPa

Formazione B

γ = peso di volume = 20kN/mc
 c' = coesione efficace = 0kPa
 ϕ'_k = angolo di attrito caratteristico = 38°
 E' = modulo elastico operativo = 50MPa
 E'_{ur} = modulo elastico operativo in scarico-ricarico = 75MPa

Per quanto concerne i parametri geotecnici del **rilevato stradale esistente e/o di nuova realizzazione** si considera, cautelativamente, quanto segue:

γ = peso di volume = 20kN/mc
 c' = coesione efficace = 0kPa
 ϕ' = angolo di attrito $\geq 35^\circ$
 E' = modulo elastico operativo = 60MPa
 E'_{ur} = modulo elastico operativo in scarico-ricarico = 90MPa

3.1 LIVELLO DELLA FALDA

Il livello piezometrico di progetto è assunto a 2m dal p.c. locale

4 INQUADRAMENTO SISMICO

4.1 CLASSIFICAZIONE DELL'OPERA E VITA ATTESA

In accordo a quanto previsto dalle NTC, la tipologia di opere in progetto può essere definita con riferimento alla tabella n.4.1 di cui al seguito.

Opera	Tipo	V_N
Parti d'opera provvisionali con $V_N \leq 2$ anni	1	≤ 2
Parti d'opera provvisionali con $2\text{anni} < V_N \leq 10\text{anni}$	1	≤ 10
Opere ordinarie	2	≥ 50
Grandi opere	3	≥ 100

Tabella n.4.1 – Tipo e vita nominale dell'opera (NTC – tabella 2.4.I)

In relazione alle conseguenze di una interruzione di funzionalità o collasso in caso di sisma l'opera in esame (cfr. tabella n.2.4.II – NTC) viene invece classificata in accordo a quanto riportato in tabella n.4.2.

Classe d'uso	I	II	III	IV
C_U	0.7	1.0	1.5	2.0

Tabella n.4.2 – Classi e coefficienti d'uso (NTC – tabella 2.4.II)

Nel caso specifico in studio si assume quanto segue:

$V_N =$ 50 anni

Classe d'uso IV

$C_U =$ 2.0

Il periodo di riferimento (V_R) dell'evento sismico viene pertanto definito (cfr. paragrafo n.2.4.3 – NTC) come prodotto tra la vita nominale (V_N) ed il coefficiente d'uso (C_U) ottenendo:

$$V_R = V_N \times C_U = 50 \text{ anni} \times 2 = \mathbf{100 \text{ anni}}$$

4.2 TEMPO DI RITORNO DELL'EVENTO SISMICO

Fissato il periodo di riferimento V_R e stabilita la probabilità di superamento nel periodo di riferimento P_{VR} (funzione dello stato limite considerato come indicato in tabella n.4.3), è possibile stimare il periodo di ritorno dell'azione sismica T_R attraverso l'espressione:

$$T_R = -\frac{V_R}{\ln(1 - P_{VR})}$$

Stati limite di esercizio (P_{VR})	Stati limite ultimi (P_{VR})
SLO - Stato limite di operatività (81%)	SLV- Stato limite di salvaguardia (10%)
SLD - Stato limite di danno (63%)	SLD – Stato limite di prevenzione del collasso (5%)

Tabella n.4.3 – Stati limite secondo le NTC e relative probabilità di superamento P_{VR}

Nel caso specifico in studio si fa riferimento allo stato limite SLV, cui corrisponde il seguente valore del tempo di ritorno dell'evento sismico:

$$T_R = 949 \text{ anni}$$

4.3 ACCELERAZIONE MASSIMA SU SUOLO ROCCIOSO

Il valore di accelerazione orizzontale massima nello specifico sito di interesse va determinato con riferimento ai valori puntuali già definiti per un'apposita griglia (10x10km) da uno studio dell'INGV e riassunti nelle tabelle di cui all'allegato B delle NTC cui si rimanda.

In particolare il valore al sito viene definito mediando (in funzione della distanza) l'entità dell'accelerazione caratteristica dei 4 nodi più prossimi al sito stesso come di seguito indicato (analogo procedimento può essere adottato per gli altri parametri sismici [F_0 e T^*_{Cj}):

$$a_g = \frac{\sum_{i=1}^4 \frac{a_{g,i}}{d_i}}{\sum_{i=1}^4 \frac{1}{d_i}}$$

Dove:

a_g = accelerazione massima suolo tipo A nel sito

$a_{g,i}$ = accelerazione massima suolo tipo A nell'i-esimo punto

d_i = distanza del sito da i-esimo punto

Qualora la pericolosità sismica su reticolo di riferimento (vedi Allegato B delle NTC DM 14 Gennaio 2008) non contempli il periodo di ritorno corrispondente al V_R e alla probabilità di superamento nel periodo di riferimento P_{VR} fissate in progetto, il valore del generico parametro p (a_g , F_0 , T^*_{Cj}) ad esso corrispondente potrà essere ricavato per interpolazione, a partire dai dati relativi ai T_R previsti nella pericolosità sismica, utilizzando l'espressione seguente:

$$\log(p) = \log(p_1) + \log\left(\frac{p_2}{p_1}\right) \cdot \log\left(\frac{T_R}{T_{R1}}\right) \cdot \left[\log\left(\frac{T_{R2}}{T_{R1}}\right) \right]^{-1}$$

nella quale:

- p è il valore del parametro di interesse corrispondente al periodo di ritorno T_R desiderato;
- T_{R1} , T_{R2} sono i periodi di ritorno più prossimi a T_R per i quali si dispone dei valori p_1 e p_2 del generico parametro p .

I valori dei parametri a_g , F_0 , T_c^* relativi alla pericolosità sismica su reticolo di riferimento sono forniti nelle tabelle riportate nell'ALLEGATO B delle NTC.

Nel caso specifico in studio si fa riferimento alle seguenti coordinate geografiche (WGS84):

latitudine: 44,484115

longitudine: 11,414673

In tabella n.4.4 è, invece, riportato il numero identificativo dei nodi considerati con relative coordinate geografiche e distanza rispetto al sito in esame.

PUNTO	ID	LAT	LONG	DISTANZA (m)
1	16953	44,4663	11,3893	2'849
2	16954	44,4675	11,4593	3'941
3	16732	44,5175	11,4576	5'014
4	16731	44,5163	11,3875	4'212

Tabella n.4.4 – Reticolo di riferimento – Coordinate

Ne derivano i parametri sismici (a_g , F_0 e T_c^*) di cui alla tabella n.4.5 relativi agli stati limite ed al tempo di ritorno considerati.

STATI LIMITE	Classe d'uso IV ($V_R = 100$ anni)			
	T_R (anni)	a_g (g)	F_0 (-)	T_c^* (-)
SLD	101	0.092	2.462	0.284
SLV	949	0.216	2.421	0.315

Tabella n.4.5 – Parametri sismici al sito – suolo tipo A affiorante

4.4 PARAMETRI DI RISENTIMENTO IN SUPERFICIE

Gli effetti di amplificazione locale dovuti alla stratigrafia ed alla conformazione topografica vengono messi in conto mediante i seguenti parametri:

Parametro S_S : Effetti stratigrafici

Parametro S_T : Effetti topografici

4.4.1 Effetti stratigrafici

Il parametro S_S che tiene conto degli effetti di amplificazione locale dovuti alla stratigrafia, viene calcolato in funzione della categoria di sottosuolo e della sismicità locale.

Nel caso specifico in studio si assume quanto segue (vedere anche relazione geotecnica):

Categoria di suolo tipo **C**

$$S_S = 1.7 - 0.6F_0 a_g \cong 1.50 \quad (\text{SLD})$$

$$S_S = 1.7 - 0.6F_0 a_g \cong 1.39 \quad (\text{SLV})$$

4.4.2 Effetti topografici

Per quanto concerne gli effetti topografici si fa riferimento alla tabella n.3.2.VI delle NTC. Nel caso specifico in studio (terreno pressoché pianeggiante) si assume:

Categoria pendio: T1

$$S_T = 1.0$$

4.5 ACCELERAZIONE MASSIMA AL SITO

L'accelerazione massima orizzontale al sito (a_{\max}) è calcolata come prodotto dell'accelerazione al substrato (a_g) e dei fattori di amplificazione (S_S ed S_T).

Si ottiene pertanto:

$$a_{\max} = a_g \times S = a_g \times S_T \times S_S$$

Da cui:

$$\text{SLD: } a_{\max} = a_g \times S_T \times S_S = 0.092 \times 1.00 \times 1.50 = 0.138$$

$$\text{SLV: } a_{\max} = a_g \times S_T \times S_S = 0.216 \times 1.00 \times 1.39 = 0.300$$

5 TRATTO CON FONDAZIONE DIRETTA – CRITERI DI VERIFICA

5.1 CODICE DI CALCOLO

L'analisi geotecnica e strutturale del muro viene svolta con l'ausilio del codice di calcolo **MAX15** (Geostru) che consente di definire i valori di spinta dovuti alla terra ed alle azioni esterne mediante più generale (*Culmann*) basato sulla nota teoria dell'equilibrio limite.

Tale metodo, che adotta le stesse ipotesi di base del metodo di Coulomb, consente di analizzare situazioni con profilo del terreno a tergo del muro di forma generica e carichi sia concentrati che distribuiti comunque disposti.

I passi del procedimento risolutivo implementati sono i seguenti:

1. si ipotizza una superficie di rottura piana (angolo di inclinazione ρ rispetto all'orizzontale) e si considera il cuneo di spinta delimitato dalla superficie di rottura stessa, dalla parete su cui si calcola la spinta e dal profilo del terreno;
2. si valutano tutte le forze agenti sul cuneo di spinta e cioè peso proprio (W), carichi sul terrapieno, resistenza per attrito e per coesione lungo la superficie di rottura (R e C) e resistenza per coesione lungo la parete (A);
3. dalle equazioni di equilibrio si ricava il valore della spinta S sulla parete.
4. I passi da 1 a 3 vengono iterati fino a trovare l'angolo di rottura per cui la spinta risulta massima

In figura n.5.1 è illustrato lo schema concettuale seguito nel calcolo delle spinte e dei relativi equilibri. Si osserva che le verifiche strutturali sono riferite ad una sezione corrispondente con il paramento interno dell'elevazione mentre le verifiche geotecniche sono riferite ad una ideale sezione tracciata in corrispondenza dell'oggetto di monte.

E' da notare che i valori degli angoli δ_1 e δ_2 (funzione degli angoli d'attrito ϕ_1 e ϕ_2) relativi rispettivamente al terreno di riempimento ed al terreno spingente definiscono (di fatto) l'inclinazione rispetto alla normale alla sezione di calcolo delle forze risultanti (spinta della terra, sovraccarichi, ecc.) impiegate nel calcolo per le verifiche strutturali (S_1) e per le verifiche geotecniche (S_2).

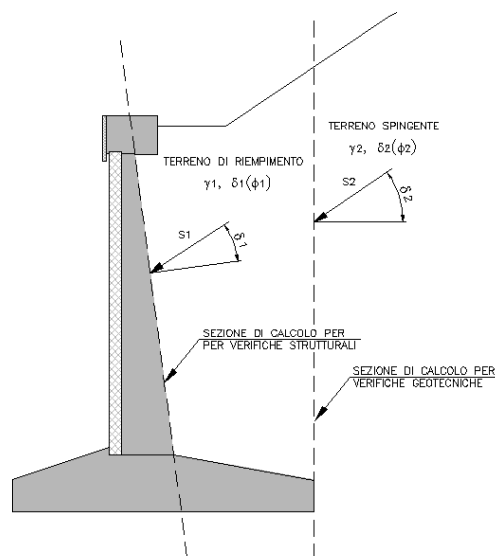


Figura n.5.1 – Schema per il calcolo delle spinte

5.2 VERIFICHE STRUTTURALI

Le verifiche strutturali vengono svolte con riferimento alla teoria dello stato limite (SLU-SLE-SLV) considerando le caratteristiche di resistenza dei materiali di Norma secondo le classi definite negli elaborati grafici di progetto.

5.3 VERIFICA DI RIBALTAMENTO

Si fa riferimento al paragrafo n.6.5.3.1.1 e 7.11.6.2.2 delle NTC-2018. La verifica a ribaltamento viene svolta sotto le seguenti ipotesi:

- Approccio di calcolo: 2
- Coefficienti parziali: A_1, M_1, R_3

Si verifica che valga:

$$M_{d-r} \leq (M_{d-s} / \gamma_R)$$

dove:

M_{d-r} = momento di calcolo ribaltante da calcolo muro

M_{d-s} = momento di calcolo stabilizzante da calcolo muro

γ_{R_s} = coefficiente globale sulla resistenza in **cond. statiche** = 1.15 (tab 6.5.I)

γ_{R_e} = coefficiente globale sulla resistenza in **cond. sismiche** = 1.0 (tab 7.11.III)

5.4 VERIFICA DI SCORRIMENTO SUL PIANO DI POSA

Si fa riferimento al paragrafo n.6.4.2.1 e 7.11.5.3.1 delle NTC-2018. La verifica di scorrimento sul piano di posa viene svolta sotto le seguenti ipotesi:

- Approccio di calcolo: 2
- Coefficienti parziali: A_1, M_1, R_3

Si verifica che valga:

$$H_d \leq (R_d / \gamma_R)$$

Dove:

H_d = azione orizzontale di calcolo all'imposta della fondazione da calcolo del muro

R_d = resistenza di calcolo allo scorrimento

γ_{R_s} = coefficiente globale sulla resistenza in **cond. statiche** = 1.1 (tab 6.5.I)

γ_{R_e} = coefficiente globale sulla resistenza in **cond. sismiche** = 1.0 (tab 7.11.III)

La resistenza di calcolo allo scorrimento viene definita sulla base della seguente espressione:

$$R_d = N_d \tan(\delta_d)$$

dove:

N_d = azione assiale da calcolo del muro

Nel caso di fondazione con dente, viene messa in conto la resistenza passiva che si sviluppa lungo il cuneo passante per lo spigolo inferiore del dente, inclinato dell'angolo ϱ (rispetto all'orizzontale). Tale cuneo viene individuato attraverso un procedimento iterativo volto a determinare il coefficiente di sicurezza a scorrimento minimo. In funzione della geometria della fondazione e del dente, dei parametri geotecnici del terreno e del carico risultante in fondazione, tale cuneo può avere forma triangolare o trapezoidale.

5.5 VERIFICA DI CAPACITÀ PORTANTE

Si fa riferimento al paragrafo n. 6.5.3.1.1 e 7.11.6.2.2 delle NTC-2018. La verifica di capacità portante del terreno viene svolta sotto le seguenti ipotesi:

- Approccio di calcolo: 2
- Coefficienti parziali: A_1, M_1, R_3

Si verifica che valga:

$$q_d \leq (q_{lim} / \gamma_R)$$

Dove:

q_d = pressione media (Meyerhof) all'imposta

q_{lim} = resistenza limite del terreno

γ_{R_s} = coefficiente globale sulla resistenza in **cond. statiche** = 1.4 (tab 6.5.I)

γ_{R_e} = coefficiente globale sulla resistenza in **cond. sismiche** = 1.2 (tab 7.11.III)

5.6 VERIFICA DI STABILITÀ GLOBALE

Si fa riferimento al paragrafo n.6.8.2 e 7.11.4 delle NTC-2018. La verifica di stabilità viene svolta sotto le seguenti ipotesi:

- Approccio di calcolo: 1
- Combinazione: 2
- Coefficienti parziali: A_2, M_2, R_2 (vedere tabella n.5.1)

Si verifica che valga:

$$\tau_m \leq (\tau_s / \gamma_R)$$

Dove:

τ_m = sforzo di taglio mobilitato

τ_s = sforzo di taglio disponibile

γ_R = coefficiente globale sulla resistenza di calcolo (NTC - §6.8.2 e 7.11.4)

I valori delle forze mobilitanti e resistenti sono definiti in rapporto ai coefficienti parziali (tabelle 6.2.I, 6.2.II, 6.8.I e 7.11.4 delle NTC) di cui alla tabella n.5.1:

VERIFICA	γ_F			γ_M				γ_R
	Permanenti sfavorevoli		Accidentali sfavorevoli	$\tan(\phi')$	c'	c_u		
	Strutturali e permanenti definiti (p.p., spinte terra e acqua)	Permanenti non definiti						
STATICA	1.0	1.3	1.3	1.25	1.25	1.40		1.1
SISMA_SLV	1.0 ⁽¹⁾	1.0 ⁽¹⁾	1.0 ⁽¹⁾	1.0 ⁽¹⁾	1.0 ⁽¹⁾	1.0 ⁽¹⁾		1.2

⁽¹⁾ §7.11.4 NTC

Tabella n.5.1- Coefficienti parziali

Per il calcolo della superficie di rottura si ricorre al metodo dell'equilibrio limite proposto da **Bishop** (1965). La superficie di scorrimento viene supposta circolare e determinata in modo tale da non avere intersezione con il profilo del muro o con i pali di fondazione. Detta superficie viene definita su una maglia di dimensioni 10x10 posta in prossimità della sommità del muro. Il solido in potenziale movimento è suddiviso in 25 elementi.

Le equazioni di equilibrio applicate al generico elemento sono di seguito riassunte:

$$\eta = \frac{\sum_{i=1}^n \left(\frac{b_i c_i + W_i \operatorname{tg} \phi_i}{m} \right)}{\sum_{i=1}^n W_i \sin \alpha_i}$$

Con:

$$m = \left(1 + \frac{\operatorname{tg} \alpha_i \operatorname{tg} \phi_i}{\eta} \right) \cos \alpha_i$$

Dove:

n = numero di elementi (25)

b_i = lunghezza base dell'elemento i -esimo

α_i = inclinazione della base dell'elemento i -esimo

W_i = peso dell'elemento i -esimo

5.6.1 Azione sismica

Si ricorre ad un approccio di tipo pseudo-statico che consiste nell'aggiungere ai carichi statici di progetto una forza rappresentativa della forza di inerzia prodotta dal passaggio delle onde sismiche nella massa di terreno. Da un punto di vista operativo si ricorre agli stessi codici impiegati per le analisi statiche con la semplice aggiunta di una forza di volume calcolata come di seguito indicato.

Con riferimento a quanto definito nelle NTC (paragrafo n.7.11.3.5.2 e 7.11.4) l'azione sismica viene messa in conto per mezzo dei seguenti coefficienti di accelerazione:

$$k_h = \beta_s \cdot a_{\max}/g$$

$$k_v = \pm 0.5 \cdot k_h$$

Dove:

a_{\max} = accelerazione massima al suolo = $S_T \cdot S_s \cdot a_g$

g = accelerazione di gravità

β_s = come definito al §7.11.4 di NTC = 0.38

6 TRATTO CON FONDAZIONE DIRETTA – ANALISI DEI CARICHI

6.1 PESI PROPRI

Per i getti in opera ed i prefabbricati si considera un peso proprio pari a 25kN/m³

6.2 SPINTA DELLA TERRA

Come anticipato nel precedente capitolo per il calcolo della spinta della terra si fa riferimento al metodo di *Culmann* (o metodo del cuneo di tentativo) implementato automaticamente nel codice di calcolo **MAX-15**.

Vista la tipologia delle opere si fa riferimento ad un regime di **spinta “attiva”**

Per tenere conto dell'incremento di spinta dovuto al sisma si fa invece riferimento al metodo di *Mononobe-Okabe*. Detta ε l'inclinazione del terrapieno rispetto all'orizzontale e β l'inclinazione della parete rispetto alla verticale, si calcola la spinta S' considerando un'inclinazione del terrapieno e della parte pari a

$$\varepsilon' = \varepsilon + \theta$$

$$\beta' = \beta + \theta$$

dove $\theta = \arctg(k_h/(1 \pm k_v))$ essendo k_h il coefficiente sismico orizzontale e k_v il coefficiente sismico verticale, definito in funzione di k_h .

Detta S la spinta calcolata in condizioni statiche l'incremento di spinta da applicare è espresso da

$$\Delta S = AS' - S$$

dove il coefficiente A vale:

$$A = [\cos^2(\beta + \theta)] / [\cos^2\beta \cos\theta]$$

Tale incremento di spinta è applicato a metà altezza della parete di spinta con **distribuzione rettangolare**.

Oltre a questo incremento il codice di calcolo tiene conto anche delle forze d'inerzia orizzontali e verticali che si destano per effetto del sisma. Tali forze (applicate nel baricentro dei pesi) vengono valutate come di seguito indicato:

$$F_{iH} = k_h W \quad F_{iV} = \pm k_v W$$

dove W è il peso del muro, del terreno soprastante la mensola di monte ed i relativi sovraccarichi.

Nel caso specifico in studio i coefficienti sismici k_h e k_v valgono (cfr. NTC – tabella n.7.1.II e paragrafo n.4.5):

$$k_h = \beta_m \times a_{max} / g$$

$$k_v = 0.5k_h$$

6.3 TRAFFICO VEICOLARE

Si tiene conto del carico dovuto al traffico veicolare a tergo dell'opera di sostegno mediante una pressione omogenea pari a 20kPa (valore "caratteristico") applicata in corrispondenza della sede autostradale.

6.4 URTO DI UN VEICOLO IN SVIO

L'azione dell'urto per lo svio del veicolo è messa in conto in accordo a quanto previsto dalle NTC (paragrafo n.3.6.3.3.2). Nello specifico l'urto viene considerato come carico "eccezionale" e viene messo in conto mediante una forza concentrata pari a 100kN applicata ad un'altezza (h) pari a 1.0m dal piano viario.

Per le verifiche geotecniche del muro si considera una diffusione del carico a 45° fino all'imposta della fondazione (in tutti i casi la lunghezza di influenza massima corrisponde con la lunghezza del concio):

$$F_{H,urto} = 100kN / [2 \times (H_{elevazione} + H_{fondazione})]$$

$$M_{H,urto} = 100kNm / [2 \times (H_{elevazione} + H_{fondazione})]$$

Poiché il codice di calcolo considera l'urto come azione "variabile" e pertanto ne applica un coefficiente parziale pari a 1.50, per riportarsi ad un carico "eccezionale" i valori caratteristici di cui sopra vengono fittiziamente divisi per 1.50 ottenendo:

$$F_{H,urto}^* = F_{H,urto} / 1.5m$$

$$M_{H,urto}^* = M_{H,urto} / 1.5m$$

Per le sole verifiche strutturali si considera una combinazione "eccezionale" calcolando le azioni d'urto con una diffusione del carico a 45° per un'altezza limitata alla sola elevazione che comporta una lunghezza di influenza pari a (in tutti i casi la lunghezza di influenza massima corrisponde con la lunghezza del concio):

$$F_{H,urto} = 100kN / (2 \times H_{elevazione})$$

$$M_{H,urto} = 100kNm / (2 \times H_{elevazione})$$

6.5 COMBINAZIONI DI CARICO

I coefficienti considerati nelle varie combinazioni di carico sono riassunti nella seguente tabella n.6.1.

Combinazione		Coefficienti di combinazione			
		Traffico	Vento	Sisma	Urto
SLE-R	Vento	0.75	1.00	0.00	0.00
	Traffico	1.00	0.60	0.00	0.00
SLE-F	Vento	0.25	0.20	0.00	0.00
	Traffico	0.75	0.00	0.00	0.00
SLE-Q	--	0.25	0.00	0.00	0.00
SLU	Vento	0.75	1.00	0.00	0.00
SLU	Traffico	1.00	0.60	0.00	0.00
SLU	Urto	0.25	0.00	0.00	1.00
SLV	Sisma	0.25	0.00	1.00	0.00

Tabella n.6.1 – Coefficienti di combinazione

7 TRATTO SU PALI – CRITERI DI VERIFICA

7.1 CODICE DI CALCOLO

L'analisi di interazione terreno-struttura è svolta con l'ausilio del codice di calcolo "PARATIE-PLUS 20" commercializzato da Harpaceas.

L'opera di sostegno viene modellata come opera "opera flessibile" in condizioni di simmetria piana nelle deformazioni (2D) considerando le seguenti ipotesi di tipo "generale".

- Stato piano nelle deformazioni (paratia di lunghezza infinita).
- Terreno modellato come un letto di molle con legame costitutivo elastico-perfettamente plastico con criterio di rottura di Mohr-Coulomb.
- Struttura discretizzata in elementi perfettamente elastici.
- Solutore agli elementi finiti (FEM).
- Eventuali contrasti modellati per mezzo di molle di opportuna rigidità.
- Sovraccarichi a monte ed a valle della paratia trasformati in spinte sul paramento in accordo a quanto previsto dalla teoria elastica.
- Mobilitazione della spinta della terra funzione del livello di deformazione partendo da una condizione iniziale di spinta "a riposo" (k_0). I valori massimi e minimi della spinta vengono definiti in funzione dei coefficienti di spinta "passiva" (K_p) e "attiva" (K_a) rispettivamente.

7.1.1 Legame costitutivo

Per i dettagli si rimanda al manuale di teoria del codice di calcolo *PARATIE-PLUS*. Da un punto di vista generale la legge costitutiva del terreno viene definita da due sottoclassi di parametri: parametri di spinta (K_0 , K_a e K_p) e parametri di deformabilità.

Per quanto concerne i **parametri di spinta**, si rimanda al capitolo successivo. I **parametri di deformabilità** del terreno compaiono nella definizione della rigidità delle molle equivalenti. Per un letto di molle distribuite la rigidità di ciascuna di esse, k , è data da

$$k = E / L$$

ove E è un modulo di rigidità del terreno mentre L è una grandezza geometrica caratteristica diversa a valle e a monte della paratia perché diversa è la zona di terreno coinvolta dal movimento in zona attiva e passiva. Il parametro E può essere definito in funzione dello stato tensionale o assunto costante e tiene conto degli effetti dello scarico/ricarico mediante opportuni coefficienti moltiplicativi (da 3 a 10 nel caso delle argille e da 1.5 a 3.0 nel caso delle sabbie/ghiaie).

7.2 ANALISI DELLA STRUTTURA

In accordo al §6.2.4.1.3 (NTC) l'analisi di interazione terreno-struttura viene svolta con i valori caratteristici dei parametri geotecnici, amplificando l'effetto delle azioni con i coefficienti parziali del gruppo A1.

In accordo a §6.5.3.1.2 le verifiche vengono svolte considerando l'Approccio 1 che prevede le combinazioni STR e GEO e impone (vedere §2.6.1) che "[...] in tutti i casi, sia nei confronti del dimensionamento strutturale, sia per quello geotecnico, si deve utilizzare la combinazione più gravosa fra le due precedenti [...]".

Per quanto attiene la verifica strutturale si impone che non si possano formare cerniere plastiche (comportamento non dissipativo) ricorrendo ad un legame costitutivo del calcestruzzo di tipo elastico ("prima plasticizzazione").

Nello specifico il calcolo viene svolto in 6 differenti combinazioni:

- Nominale (tutti coefficienti parziali unitari)
- SLE-Rara
- SLU - A1-M1-R1 (R3 per i tiranti)
- SLU - A2-M2-R1
- SISMICA - STR
- SISMICA - GEO

Nella fase di realizzazione dell'opera si considera un sovrascavo pari a 50cm come previsto in NTC (§6.5.2.2).

7.3 VERIFICHE STRUTTURALI

La verifica strutturale dei pali di fondazione e del sovralzato viene svolta con riferimento alla teoria dello stato limite considerando le caratteristiche di resistenza dei materiali di Norma secondo le classi definite negli elaborati grafici di progetto.

Per quanto attiene la verifica delle sezioni in c.a. si impone che non si possano formare cerniere plastiche (**comportamento non dissipativo**) ricorrendo ad un legame costitutivo del calcestruzzo di tipo elastico ("prima plasticizzazione").

7.4 VERIFICA DELLA LUNGHEZZA DI IMMORSAMENTO DEI PALI

La lunghezza di immersione dei pali di fondazione viene definita sulla base del più restrittivo dei seguenti criteri:

- A. Garanzia nei riguardi della stabilità globale dell'opera.
- B. Immorsamento minimo al di sotto della quota di fondo scavo 5.0m
- C. Mobilitazione della spinta passiva non superiore all'90% della spinta potenzialmente mobilitabile in condizioni più gravose.

7.5 VERIFICA DI STABILITÀ GLOBALE

7.5.1 Generalità

Si fa ricorso ad un modello semplificato basato sulla nota teoria dell'equilibrio limite nell'ambito della quale i terreni sono stati caratterizzati mediante un legame costitutivo rigido-plastico con criterio di rottura di Mohr-Coulomb (analisi in termini di sforzi efficaci).

Tale approccio consente di svincolarsi da tutte le complesse problematiche legate all'analisi dello stato deformativo dell'ammasso e di definire un semplice fattore di sicurezza, convenzionalmente valutato come rapporto tra le forze di taglio potenzialmente mobilitabili lungo la superficie di rottura analizzata e le forze di taglio effettivamente mobilitate sotto l'azione delle forze agenti sull'ammasso (pesi propri, carichi esterni, ecc.). La letteratura tecnica documenta numerosi metodi per il calcolo del fattore di sicurezza; tra di essi si è optato per quello proposto da **Morghestern & Price per superfici di rottura di forma cilindrica**.

7.5.2 Azione stabilizzante dei pali di fondazione

Ai fini della stabilità globale i pali vengono considerati come elementi strutturali atti ad imporre che le potenziali superfici di rottura debbano passare al di sotto della base degli stessi.

7.5.3 Azione sismica

Si ricorre ad un approccio di tipo pseudo-statico che consiste nell'aggiungere ai carichi statici di progetto una forza rappresentativa della forza di inerzia prodotta dal passaggio delle onde sismiche nella massa di terreno. Da un punto di vista operativo si ricorre agli stessi codici impiegati per le analisi statiche con la semplice aggiunta di una forza di volume calcolata come di seguito indicato.

Con riferimento a quanto definito nelle NTC (paragrafo n.7.11.3.5.2) l'azione sismica viene messa in conto per mezzo dei seguenti coefficienti di accelerazione:

$$k_h = \beta_s \cdot a_{\max} / g$$

$$k_v = \pm 0.5 \cdot k_h \quad (\text{verso l'alto})$$

Dove:

a_{\max} = accelerazione massima al suolo

g = accelerazione di gravità

$\beta_s = 0.38$ per analisi SLV

7.5.4 Verifica di stabilità

Si fa riferimento al paragrafo n.6.8.2 e 7.11.4 delle NTC. La verifica di stabilità viene svolta sotto le seguenti ipotesi:

Approccio di calcolo:	1 – C2
Stato limite (SLU):	GEO
Coefficienti parziali:	A_2, M_2, R_2 (vedere tabella n.7.1)

Si verifica che valga:

$$\tau_m \leq \tau_s / \gamma_R$$

Dove:

τ_m = sforzo di taglio mobilitato (da calcolare con fattori di cui a tabella n.7.1)

τ_s = sforzo di taglio disponibile (da calcolare con fattori di cui a tabella n.7.1)

γ_R = coefficiente globale sulla resistenza di calcolo

VERIFICA	γ_F			γ_M				γ_R
	Permanenti sfavorevoli		Accidentali sfavorevoli	tan(ϕ')	c'	c _u	q _u	
	Strutturali e permanenti definiti (p.p., spinte terra e acqua)	Permanenti non definiti						
STATICA	1.0	1.3	1.3	1.25	1.25	1.40		1.1
SISMA_SLV	1.0	1.0	1.0	1.0	1.0	1.0		1.2

Tabella n.7.1 – Analisi di stabilità globale - Coefficienti parziali

7.6 VERIFICA DELLE DEFORMAZIONI IN ESERCIZIO

In condizioni SLE si verifica che siano rispettate le seguenti limitazioni sugli spostamenti calcolati:

1. Spostamento massimo complessivo da inizio costruzione (s_{max}) inferiore a 1.5% dell'altezza di calcolo del muro:

$$s_{max} \leq 1.5\% H_{muro}$$

2. Spostamento in esercizio al netto dello spostamento a fine costruzione (Δs) inferiore a 0.5% dell'altezza di calcolo del muro

$$\Delta s \leq 0.5\% H_{muro}$$

8 TRATTO SU PALI – ANALISI DEI CARICHI

8.1 PESI PROPRI

Per i getti in opera si considera un peso proprio pari a 25kN/m³.

8.2 SPINTA DELLA TERRA

il coefficiente di spinta a riposo (K_0) fornisce lo stato tensionale presente in sito prima delle operazioni di scavo. Esso lega la tensione orizzontale efficace quella verticale efficace e dipende dalla resistenza del terreno, attraverso il suo angolo di attrito efficace e dalla sua storia geologica. Si può assumere che:

$$K_0 = K_0^{NC} (OCR)^m$$

dove:

$$K_0^{NC} = 1 - \sin(\phi')$$

OCR = grado di sovraconsolidazione

m = parametro empirico compreso tra 0.4 e 0.7; Ladd et al. (1977), Jamiolkowski et al. (1979)

Il coefficiente di spinta attiva (K_a) e di spinta passiva (K_p) vengono valutati ricorrendo alla correlazione di Caquot & Kerisel (1948) valida per superfici di rottura di tipo complesso (spirale logaritmica) ed in grado di tenere conto dell'attrito tra paratia e terreno (δ). Quest'ultimo parametro viene in genere assunto pari a:

Analisi statiche: $\delta/\phi = 0.67$

Analisi sismiche – spinta attiva: $\delta/\phi = 0.67$

Analisi sismiche – spinta passiva: $\delta/\phi = 0.0$

8.3 SPINTA DELLA TERRA IN CONDIZIONI SISMICHE

8.3.1 Azione sismica

L'azione sismica da impiegarsi per il calcolo delle spinte sulle opere di sostegno viene espressa con riferimento ai "coefficienti sismici" di cui al seguito (NTC – paragrafo n.7.11.6.3.1):

$$k_h = \alpha \cdot \beta \cdot a_{max} \geq 0.2 \cdot a_{max}$$

$$k_v = 0$$

dove:

k_h = coefficiente sismico orizzontale

k_v = coefficiente sismico verticale

$a_{max} = S \cdot a_g = S_S \cdot S_T \cdot a_g$ = accelerazione massima di progetto al suolo

α = coefficiente che tiene conto della deformabilità dei terreni (cfr. figura n.8.1)

β = coefficiente che tiene conto della deformabilità dell'opera (cfr. figura n.8.1)

H = altezza massima dello scavo

u_s = spostamento tollerato dalla paratia senza riduzione della resistenza

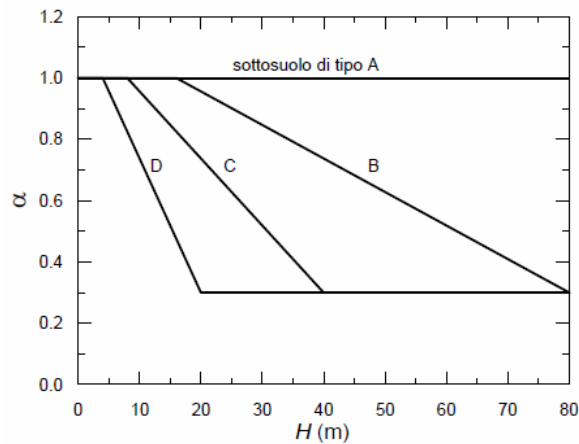


Fig. 7.11.2 - Diagramma per la valutazione del coefficiente di deformabilità α

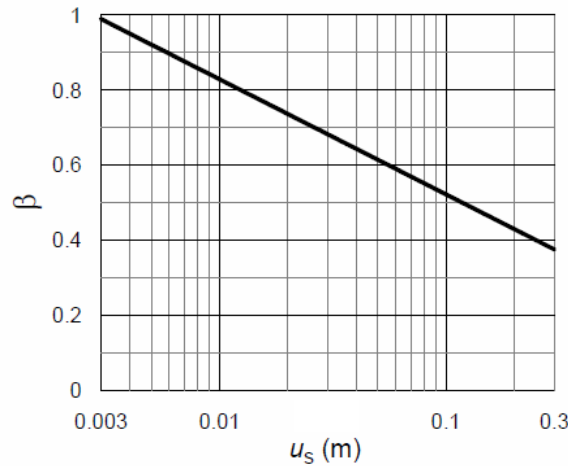


Fig. 7.11.3 - Diagramma per la valutazione del coefficiente di spostamento β .

Figura n.8.1 - Coefficiente α e β (figura n.7.11.3 - NTC)

L'azione sismica viene, pertanto, messa in conto considerando 2 differenti contributi:

- 1) Incremento del coefficiente di spinta attiva del terreno
- 2) Decremento del coefficiente di spinta passiva del terreno

8.3.2 Incremento del coefficiente di spinta attiva

Il coefficiente di spinta attiva (contributo statico + sismico) viene pertanto calcolato ricorrendo alla formulazione di Mononobe & Okabe:

$$K_{as} = \frac{\sin^2(\psi + \varphi - \vartheta)}{\cos \vartheta \cdot \sin^2 \psi \cdot \sin(\psi - \vartheta - \delta) \left[1 + \frac{\sqrt{\sin(\varphi + \delta) \sin(\varphi - \beta - \vartheta)}}{\sqrt{\sin(\psi - \vartheta - \delta) \sin(\psi + \beta)}} \right]^2}$$

dove (con ovvio significato dei simboli) si possono distinguere 3 differenti casi come di seguito indicato:

Caso 1 Assenza di falda	$\vartheta = \arctan k_h / (\pm k_v)$	$\gamma^* = \gamma_{nat} \cong \gamma_{sat}$
Caso 2 Terreno impermeabile saturo	$\vartheta = \arctan \left(\frac{\gamma_{sat}}{\gamma_{sat} - \gamma_w} \right) \cdot k_h / (\pm k_v)$	$\gamma^* = \gamma'$
Caso 3 Terreno permeabile saturo	$\vartheta = \arctan \left(\frac{\gamma_d}{\gamma_{sat} - \gamma_w} \right) \cdot k_h / (\pm k_v)$	$\gamma^* = \gamma'$

Definito il coefficiente di spinta attiva (K_{as}) come sopra indicato (contributo statico + contributo del sisma) è possibile risalire all'incremento di spinta dovuto al solo sisma operando come segue:

- 1) Si calcola la spinta attiva in condizioni statiche: S_a
- 2) Si calcola la spinta attiva in presenza di sisma: S_{as}
- 3) Si calcola l'incremento dovuto al solo sisma: $\Delta S_{as} = S_{as} - S_a$

Il codice PARATIE-PLUS consente di mettere in conto l'azione sismica così calcolata con due differenti modalità operative:

Modalità 1): si tratta del metodo più tradizionale in base al quale la spinta sismica ΔS_{as} viene applicata a monte come azione esterna con distribuzioni da definire (rettangolare, trapezia, su tutta altezza o solo sulla parte fuori terra, ecc.).

Modalità 2): si tratta di un metodo alternativo (più sofisticato) che permette di correlare l'entità delle spinte alla deformabilità della parete considerando valori intermedi tra l'estremo superiore di paratia "rigida" (teoria di Wood) e paratia "flessibile" (teoria di Mononobe-Okabe e Lanecclotta, 2007).

Nel caso specifico si ricorre alla **modalità 2**. Per maggiori dettagli si rimanda al Manuale del programma.

8.3.3 Riduzione del coefficiente di spinta passiva

In analogia a quanto visto per la spinta attiva (metodo di Mononobe & Okabe) è possibile calcolare l'entità del coefficiente di spinta passiva in accordo all'espressione di cui al seguito, imponendo un attrito terreno-manufatto nullo.

$$K_{ps} = \frac{\sin^2(\psi + \varphi - \vartheta)}{\cos \vartheta \cdot \sin^2 \psi \cdot \sin(\psi - \vartheta) \left[1 - \frac{\sqrt{\sin(\varphi) \sin(\varphi - \beta - \vartheta)}}{\sqrt{\sin(\psi - \vartheta) \sin(\psi + \beta)}} \right]^2}$$

La spinta passiva in condizioni sismiche viene calcolata considerando un attrito terra-opera nullo.

8.4 TRAFFICO VEICOLARE

Si tiene conto del carico dovuto al traffico veicolare a tergo dell'opera di sostegno mediante una pressione omogenea pari a 20kPa (valore "caratteristico") applicata in corrispondenza della sede autostradale.

8.5 URTO DI UN VEICOLO IN SVIO

L'azione dell'urto per lo svio del veicolo è messa in conto in accordo a quanto previsto dalle NTC (paragrafo n.3.6.3.3.2). Nello specifico l'urto viene considerato come carico "eccezionale" e viene messo in conto mediante una forza concentrata pari a 100kN applicata ad un'altezza (h) pari a 1.0m dal piano viario.

8.6 COMBINAZIONI DI CARICO E COEFFICIENTI PARZIALI

I coefficienti considerati nelle varie combinazioni di carico sono riassunti nella seguente tabella n.6.3.

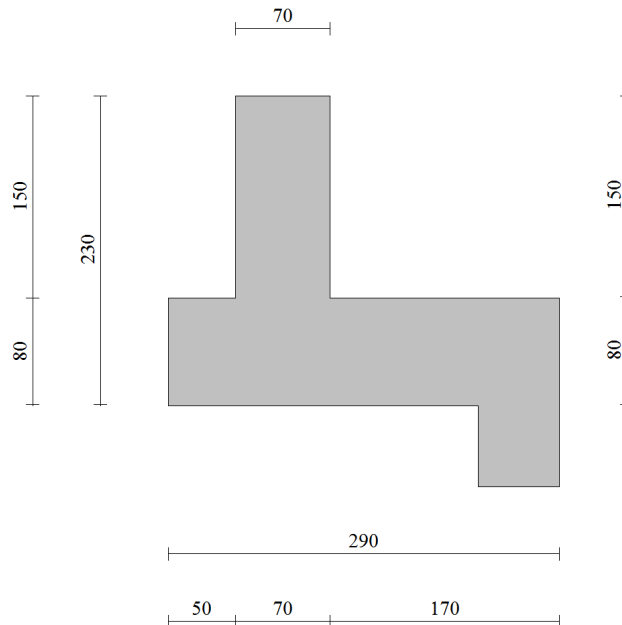
Combinazione		Coefficienti di combinazione			
		Traffico	Vento	Sisma	Urto
SLE-R	Vento	0.75	1.00	0.00	0.00
	Traffico	1.00	0.60	0.00	0.00
SLE-F	Vento	0.25	0.20	0.00	0.00
	Traffico	0.75	0.00	0.00	0.00
SLE-Q	--	0.25	0.00	0.00	0.00
SLU	Vento	0.75	1.00	0.00	0.00
SLU	Traffico	1.00	0.60	0.00	0.00
SLU	Urto	0.25	0.00	0.00	1.00
SLV	Sisma	0.25	0.00	1.00	0.00

Tabella n.8.3 – Coefficienti di combinazione

9 TRATTO SU FONDAZIONE DIRETTA – ANALISI SEZIONE TIPO 1

9.1 MODELLO

Si fa riferimento alla sezione tipo di cui al seguito:



Come armatura si dispongono:

Elevazione: 5 Φ 16 lato terra + 5 Φ 12 lato valle

Fondazione: 5 Φ 16 superiori + 5 Φ 12 inferiori

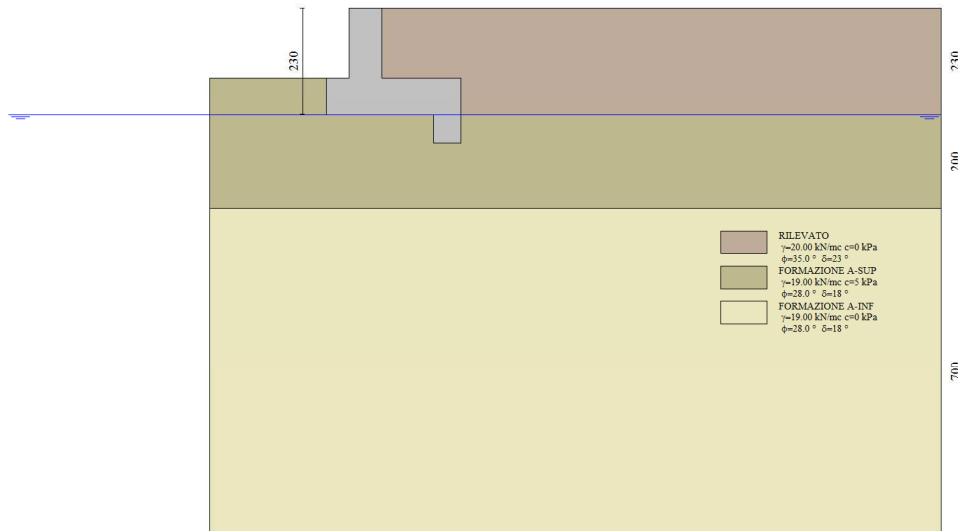
Per l'elevazione si considera:

- Calcestruzzo: C32/40
- Copriferro delle riprese in elevazione: 4cm
- Armatura minima: 0.015% della sezione (min. 5 barre/m)

Per la fondazione si considera:

- Calcestruzzo: C28/35
- Copriferro: 4cm
- Armatura minima: 0.015% della sezione (min. 5 barre/m)

Segue immagine della geometria del modello di calcolo MAX15.



9.2 RISULTATI E VERIFICHE

Si riportano di seguito i principali risultati in relazione ai coefficienti di sicurezza ottenuti per tutte le combinazioni di carico, alle spinte (involuppo) ed alle azioni interne (involuppo) in elevazione e fondazione.

Per tutti i dettagli delle analisi e delle verifiche si rimanda ai tabulati di calcolo di cui all'**allegato 1**

9.2.1 Verifiche globali - Coefficienti di sicurezza

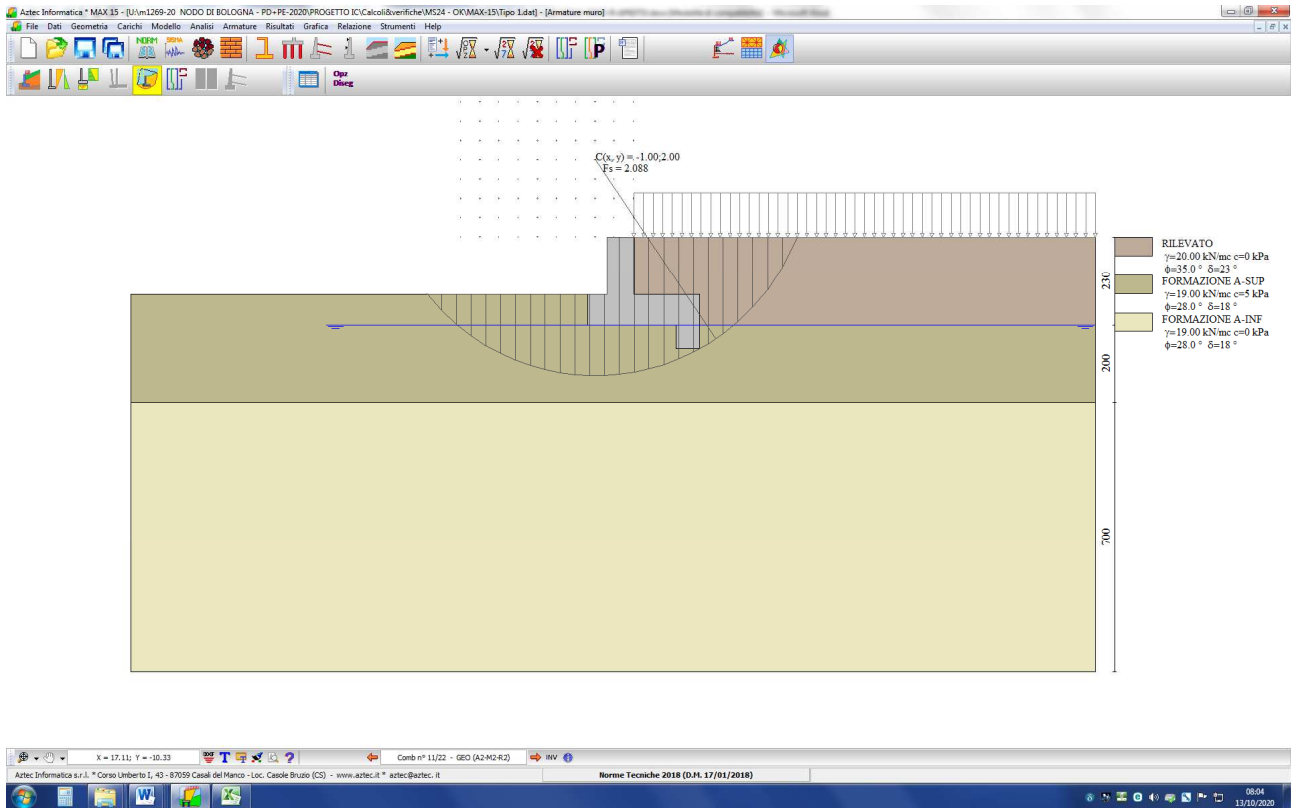
Quadro riassuntivo coeff. di sicurezza calcolati

Simbologia adottata

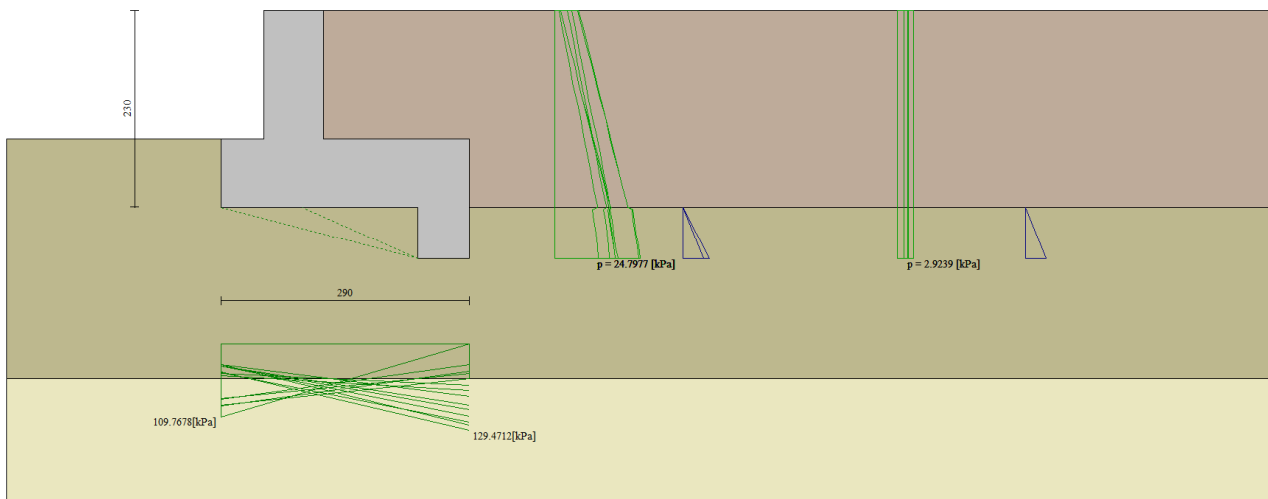
Cmb	Indice/Tipo combinazione
S	Sisma (H: componente orizzontale, V: componente verticale)
FS _{SCO}	Coeff. di sicurezza allo scorrimento
FS _{RIB}	Coeff. di sicurezza al ribaltamento
FS _{QLIM}	Coeff. di sicurezza a carico limite
FS _{STAB}	Coeff. di sicurezza a stabilità globale

Cmb	Sismica	FS _{SCO}	FS _{RIB}	FS _{QLIM}	FS _{STAB}
1 - STR (A1-M1-R3)		1.972		2.556	
2 - STR (A1-M1-R3)		1.438		2.379	
3 - STR (A1-M1-R3)	H + V	1.581		2.964	
4 - STR (A1-M1-R3)	H - V	1.504		3.171	
5 - STR (A1-M1-R3)		2.373		2.416	
6 - STR (A1-M1-R3)		2.109		2.452	
7 - STR (A1-M1-R3)		2.236		2.529	
8 - STR (A1-M1-R3)		1.782		2.542	
9 - STR (A1-M1-R3)		1.556		2.545	
10 - STR (A1-M1-R3)		1.664		2.427	
11 - GEO (A2-M2-R2)					2.088
12 - GEO (A2-M2-R2)					2.688
13 - GEO (A2-M2-R2)	H + V				2.385
14 - GEO (A2-M2-R2)	H - V				2.287
15 - EQU (A1-M1-R3)			16.102		
16 - EQU (A1-M1-R3)			3.428		
17 - EQU (A1-M1-R3)	H + V		6.696		
18 - EQU (A1-M1-R3)	H - V		4.413		

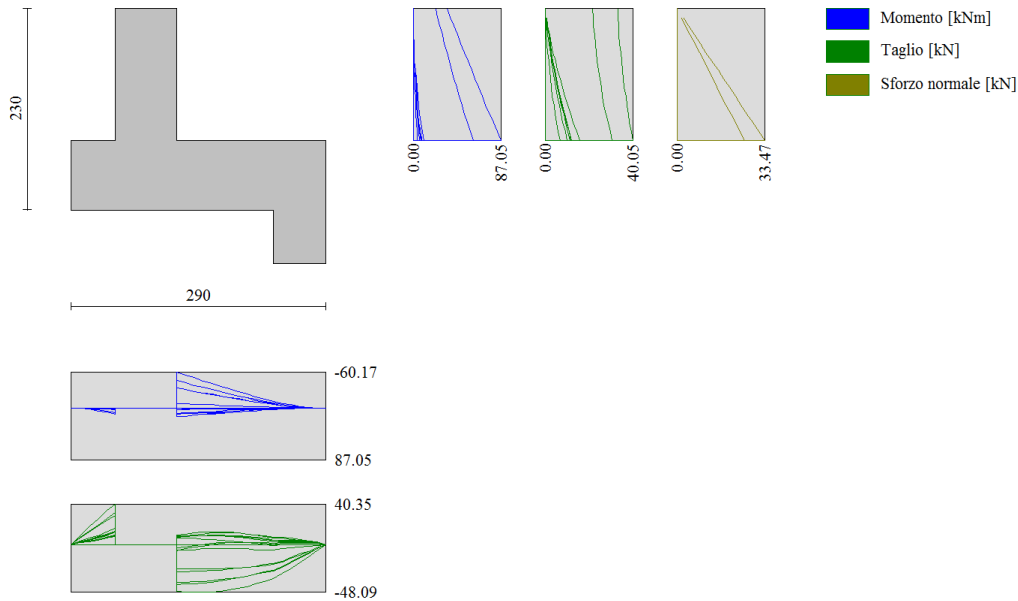
Nella seguente figura è illustrata l'analisi di stabilità nella combinazione più critica (combinazione 11).



9.2.2 Spinte



9.2.3 Azioni interne



9.2.4 Verifiche strutturali

Verifiche a flessione

Elementi calcolati a trave

Simbologia adottata

n°	indice sezione
Y	ordinata sezione espressa in [m]
B	larghezza sezione espresso in [cm]
H	altezza sezione espressa in [cm]
Afi	area ferri inferiori espresso in [cmq]
Afs	area ferri superiori espressa in [cmq]
M	momento agente espressa in [kNm]
N	sforzo normale agente espressa in [kN]
Mu	momento ultimi espresso in [kNm]
Nu	sforzo normale ultimo espressa in [kN]
FS	fattore di sicurezza (rapporto tra sollecitazione ultima e sollecitazione agente)

Paramento

n°	B [cm]	H [cm]	Afi [cmq]	Afs [cmq]	M [kNm]	N [kN]	Mu [kNm]	Nu [kN]	FS
16	100	70	5.65	10.05	87.05	25.74	316.45	93.58	3.635

Fondazione

n°	B [cm]	H [cm]	Afi [cmq]	Afs [cmq]	M [kNm]	N [kN]	Mu [kNm]	Nu [kN]	FS
6	100	80	5.65	10.05	10.48	0.00	188.34	0.00	17.969
7	100	80	5.65	10.05	-60.17	0.00	-331.54	0.00	5.510

Sperone

n°	B [cm]	H [cm]	Afi [cmq]	Afs [cmq]	M [kNm]	N [kN]	Mu [kNm]	Nu [kN]	FS
1	100	60	10.05	10.05	21.13	0.00	209.34	0.00	9.909

Verifiche a taglio

Simbologia adottata

Is	indice sezione
Y	ordinata sezione espressa in [m]
B	larghezza sezione espresso in [cm]
H	altezza sezione espressa in [cm]
A _{sw}	area ferri a taglio espresso in [cmq]
cotθ	inclinazione delle bielle compresse, θ inclinazione dei puntoni di calcestruzzo
V _{Rcd}	resistenza di progetto a 'taglio compressione' espressa in [kN]
V _{Rsd}	resistenza di progetto a 'taglio trazione' espressa in [kN]
V _{Rd}	resistenza di progetto a taglio espresso in [kN]. Per elementi con armature trasversali resistenti al taglio (A _{sw} >0.0) V _{Rd} =min(V _{Rcd} , V _{Rsd}).
T	taglio agente espressa in [kN]
FS	fattore di sicurezza (rapporto tra sollecitazione resistente e sollecitazione agente)

Paramento

n°	B [cm]	H [cm]	A _{sw} [cmq]	cotθ	V _{Rcd} [kN]	V _{Rsd} [kN]	V _{Rd} [kN]	T [kN]	FS
16	100	70	0.00	--	0.00	0.00	263.31	40.05	6.574

Fondazione

n°	B [cm]	H [cm]	A _{sw} [cmq]	cotθ	V _{Rcd} [kN]	V _{Rsd} [kN]	V _{Rd} [kN]	T [kN]	FS
6	100	80	0.00	--	0.00	0.00	269.62	-40.35	6.682
7	100	80	0.00	--	0.00	0.00	269.62	-46.86	5.754

Sperone

n°	B [cm]	H [cm]	A _{sw} [cmq]	cotθ	V _{Rcd} [kN]	V _{Rsd} [kN]	V _{Rd} [kN]	T [kN]	FS
1	100	60	0.00	--	0.00	0.00	236.26	56.34	4.194

Verifica a fessurazione

Simbologia adottata

n°	indice sezione
Y	ordinata sezione espressa in [m]
B	larghezza sezione espresso in [cm]
H	altezza sezione espressa in [cm]
A _f	area ferri zona tesa espresso in [cmq]
A _{eff}	area efficace espressa in [cmq]
M	momento agente espressa in [kNm]
M _{pf}	momento di prima fessurazione espressa in [kNm]
ε	deformazione espresso in %
Sm	spaziatura tra le fessure espressa in [mm]
w	apertura delle fessure espressa in [mm]

Combinazioni SLER

Paramento

Apertura limite fessure w_{lim}=0.40

n°	B [cm]	H [cm]	A _f [cmq]	A _{eff} [cmq]	M [kNm]	M _{pf} [kNm]	ε [%]	Sm [mm]	w [mm]
16	100	70	10.05	1200.00	7.60	277.36	0.000000	0.00	0.000 (20)

Fondazione

Apertura limite fessure w_{lim}=0.40

n°	B [cm]	H [cm]	A _f [cmq]	A _{eff} [cmq]	M [kNm]	M _{pf} [kNm]	ε [%]	Sm [mm]	w [mm]
6	100	80	5.65	1150.00	2.05	320.88	0.000000	0.00	0.000 (20)
7	100	80	5.65	1150.00	10.23	320.88	0.000000	0.00	0.000 (20)

Sperone

Apertura limite fessure $w_{lim}=0.40$

n°	B [cm]	H [cm]	Af [cmq]	Aeff [cmq]	M [kNm]	Mpf [kNm]	ε [%]	Sm [mm]	w [mm]
1	100	60	10.05	1200.00	13.42	188.20	0.000000	0.00	0.000 (20)

Combinazioni SLEF

Paramento

Apertura limite fessure $w_{lim}=0.30$

n°	B [cm]	H [cm]	Af [cmq]	Aeff [cmq]	M [kNm]	Mpf [kNm]	ε [%]	Sm [mm]	w [mm]
16	100	70	10.05	1200.00	6.33	277.36	0.000000	0.00	0.000 (21)

Fondazione

Apertura limite fessure $w_{lim}=0.30$

n°	B [cm]	H [cm]	Af [cmq]	Aeff [cmq]	M [kNm]	Mpf [kNm]	ε [%]	Sm [mm]	w [mm]
6	100	80	5.65	1150.00	1.97	320.88	0.000000	0.00	0.000 (21)
7	100	80	5.65	1150.00	9.77	320.88	0.000000	0.00	0.000 (21)

Sperone

Apertura limite fessure $w_{lim}=0.30$

n°	B [cm]	H [cm]	Af [cmq]	Aeff [cmq]	M [kNm]	Mpf [kNm]	ε [%]	Sm [mm]	w [mm]
1	100	60	10.05	1200.00	12.02	188.20	0.000000	0.00	0.000 (21)

Combinazioni SLEQ

Paramento

Apertura limite fessure $w_{lim}=0.20$

n°	B [cm]	H [cm]	Af [cmq]	Aeff [cmq]	M [kNm]	Mpf [kNm]	ε [%]	Sm [mm]	w [mm]
16	100	70	10.05	1200.00	3.80	277.37	0.000000	0.00	0.000 (22)

Fondazione

Apertura limite fessure $w_{lim}=0.20$

n°	B [cm]	H [cm]	Af [cmq]	Aeff [cmq]	M [kNm]	Mpf [kNm]	ε [%]	Sm [mm]	w [mm]
6	100	80	5.65	1150.00	1.81	320.88	0.000000	0.00	0.000 (22)
7	100	80	5.65	1150.00	8.85	320.88	0.000000	0.00	0.000 (22)

Sperone

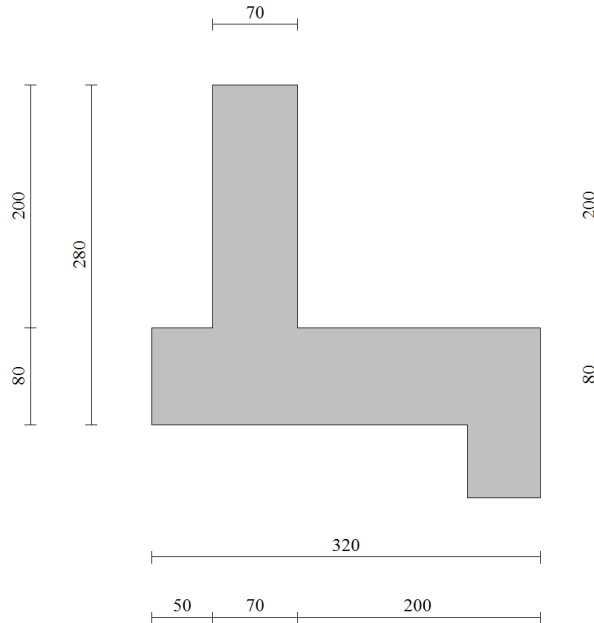
Apertura limite fessure $w_{lim}=0.20$

n°	B [cm]	H [cm]	Af [cmq]	Aeff [cmq]	M [kNm]	Mpf [kNm]	ε [%]	Sm [mm]	w [mm]
1	100	60	10.05	1200.00	9.22	188.20	0.000000	0.00	0.000 (22)

10 TRATTO SU FONDAZIONE DIRETTA - ANALISI SEZIONE TIPO 2

10.1 MODELLO

Si fa riferimento alla sezione tipo di cui al seguito:



Come armatura si dispongono:

Elevazione: 5 Φ 16 lato terra + 5 Φ 12 lato valle

Fondazione: 5 Φ 16 superiori + 5 Φ 12 inferiori

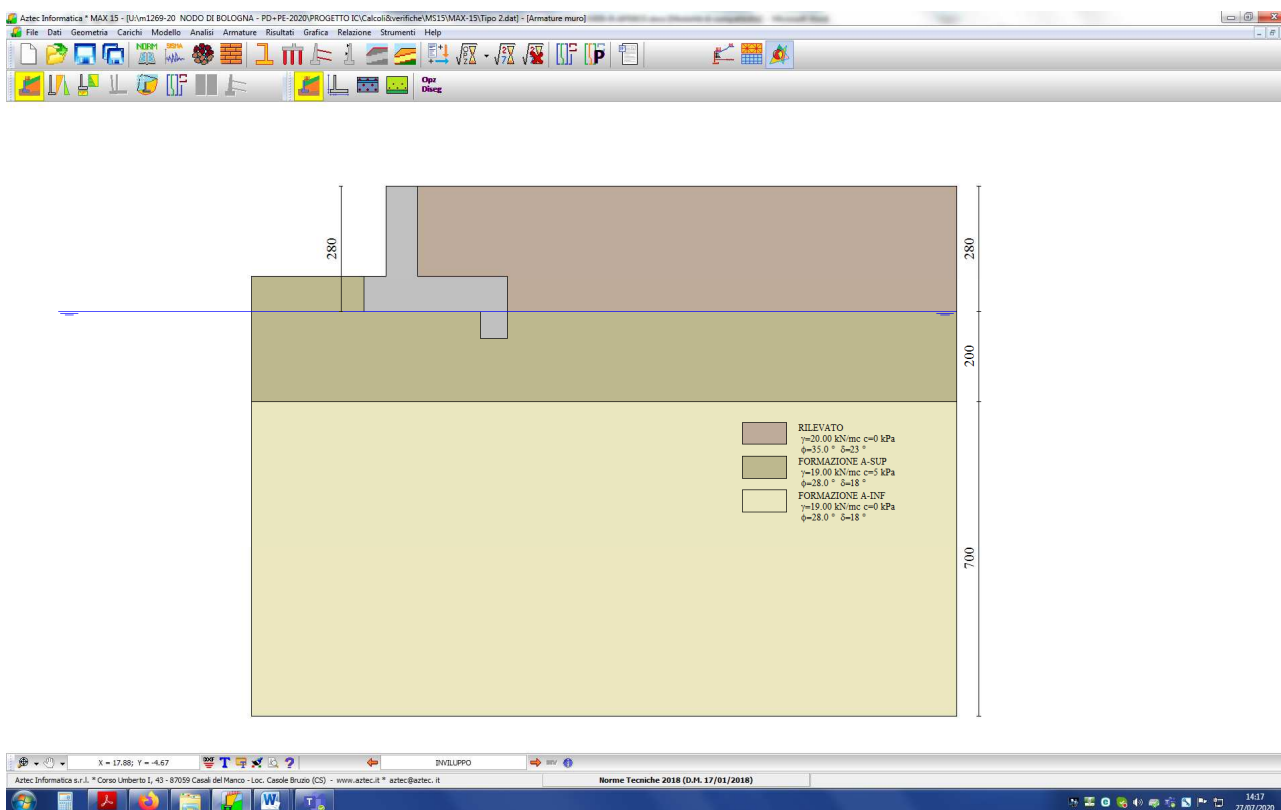
Per l'elevazione si considera:

- Calcestruzzo: C32/40
- Copriferro delle riprese in elevazione: 4cm
- Armatura minima: 0.015% della sezione (min. 5 barre/m)

Per la fondazione si considera:

- Calcestruzzo: C28/35
- Copriferro: 4cm
- Armatura minima: 0.015% della sezione (min. 5 barre/m)

Segue immagine della geometria del modello di calcolo MAX15.



10.2 RISULTATI E VERIFICHE

Si riportano di seguito i principali risultati in relazione ai coefficienti di sicurezza ottenuti per tutte le combinazioni di carico, alle spinte (involuppo) ed alle azioni interne (involuppo) in elevazione e fondazione.

Per tutti i dettagli delle analisi e delle verifiche si rimanda ai tabulati di calcolo di cui all'**allegato 2**.

10.2.1 Verifiche globali - Coefficienti di sicurezza

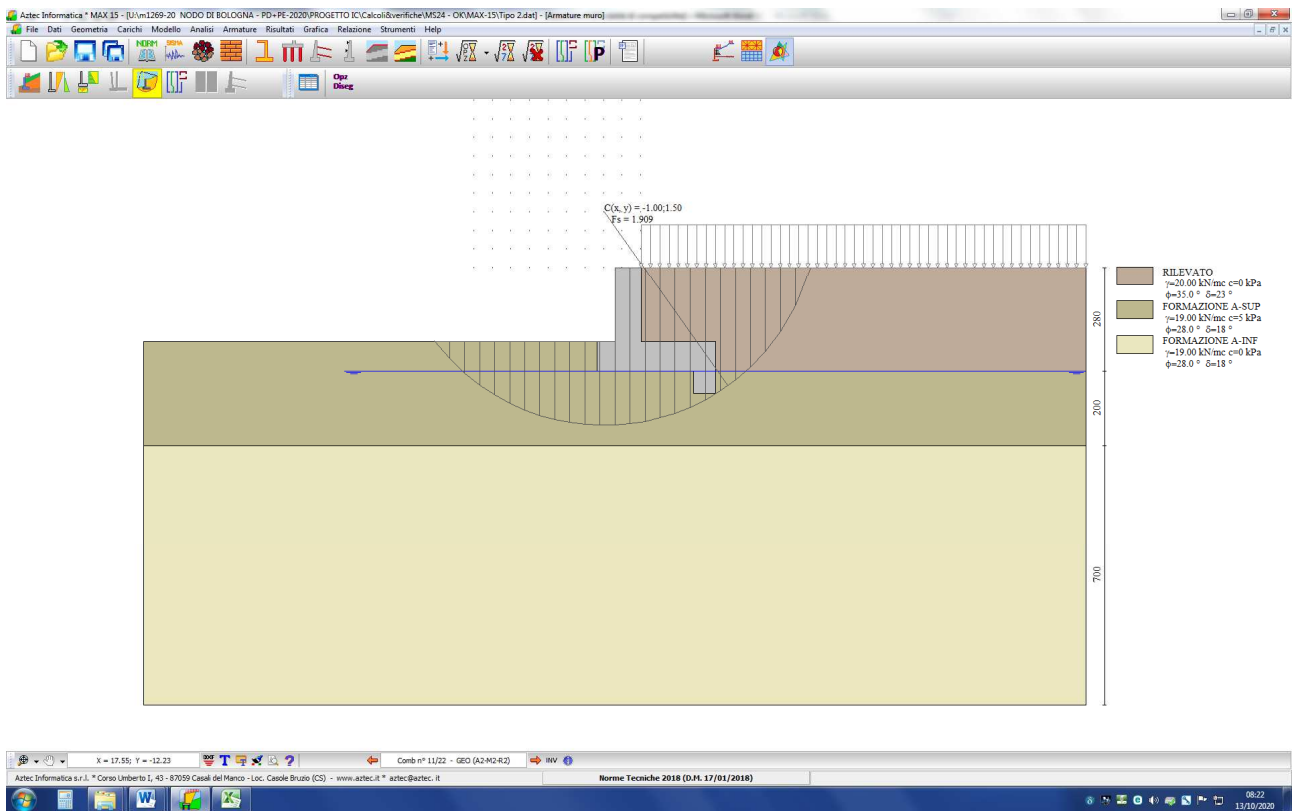
Quadro riassuntivo coeff. di sicurezza calcolati

Simbologia adottata

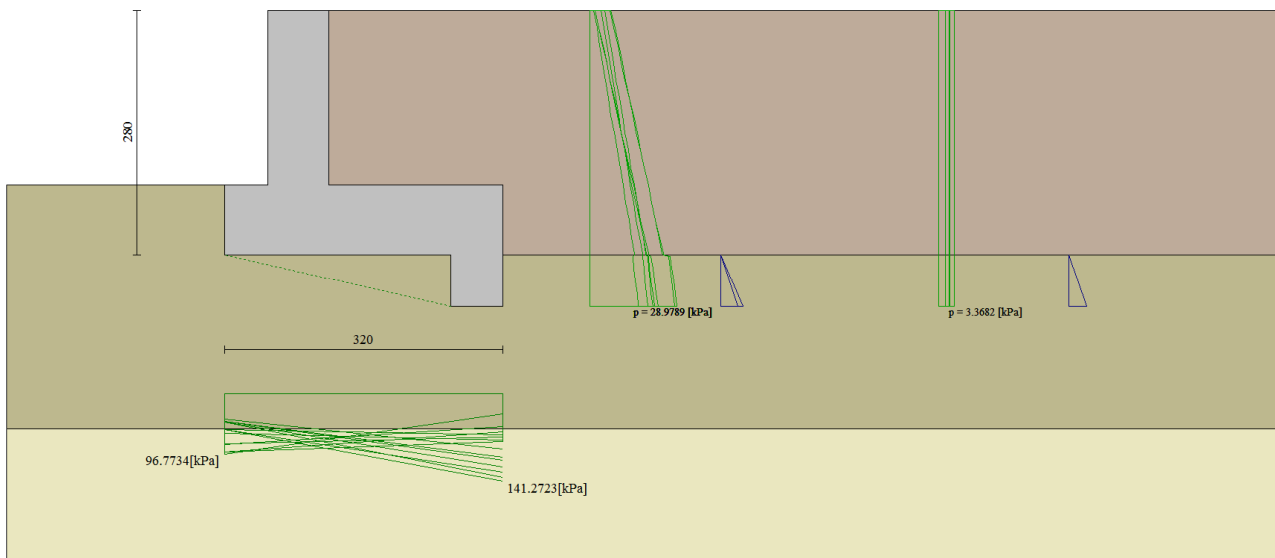
Cmb	Indice/Tipo combinazione
S	Sisma (H: componente orizzontale, V: componente verticale)
FS _{SCO}	Coeff. di sicurezza allo scorrimento
FS _{RIB}	Coeff. di sicurezza al ribaltamento
FS _{QLIM}	Coeff. di sicurezza a carico limite
FS _{STAB}	Coeff. di sicurezza a stabilità globale

Cmb	Sismica	FS _{SCO}	FS _{RIB}	FS _{QLIM}	FS _{STAB}
1 - STR (A1-M1-R3)		1.888		2.279	
2 - STR (A1-M1-R3)		1.561		2.580	
3 - STR (A1-M1-R3)	H + V	1.482		2.608	
4 - STR (A1-M1-R3)	H - V	1.409		2.801	
5 - STR (A1-M1-R3)		2.280		2.144	
6 - STR (A1-M1-R3)		2.051		2.165	
7 - STR (A1-M1-R3)		2.117		2.268	
8 - STR (A1-M1-R3)		1.944		2.655	
9 - STR (A1-M1-R3)		1.720		2.779	
10 - STR (A1-M1-R3)		1.784		2.523	
11 - GEO (A2-M2-R2)					1.909
12 - GEO (A2-M2-R2)					2.324
13 - GEO (A2-M2-R2)	H + V				2.143
14 - GEO (A2-M2-R2)	H - V				2.035
15 - EQU (A1-M1-R3)			13.016		
16 - EQU (A1-M1-R3)			4.514		
17 - EQU (A1-M1-R3)	H + V		5.632		
18 - EQU (A1-M1-R3)	H - V		3.932		

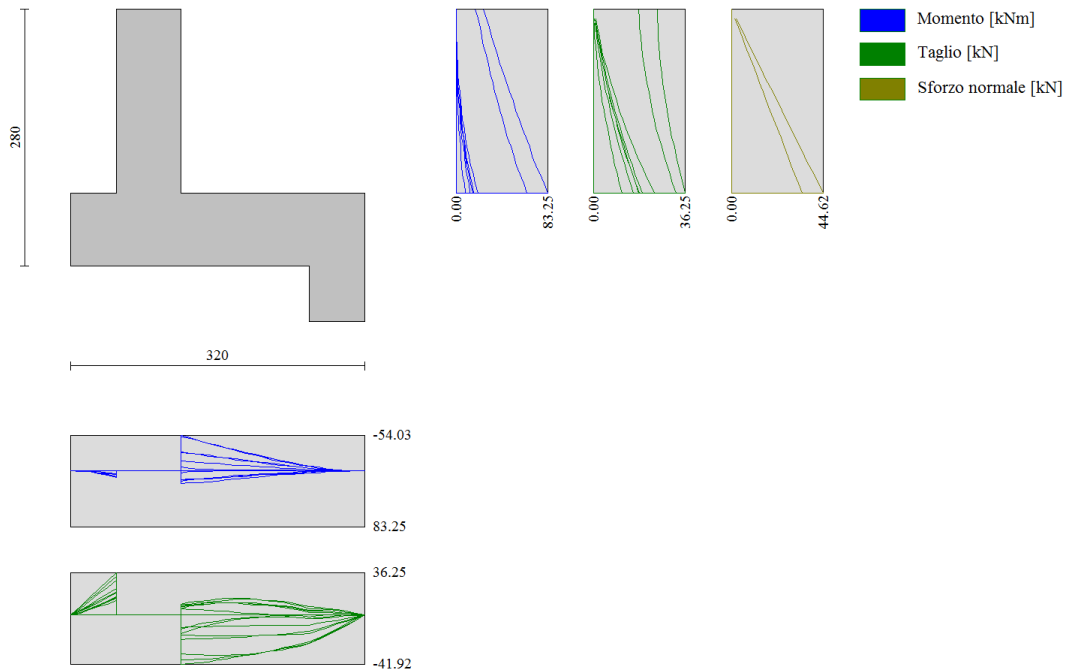
Nella seguente figura è illustrata l'analisi di stabilità nella combinazione più critica (combinazione 11).



10.2.2 Spinte



10.2.3 Azioni interne



10.2.4 Verifiche strutturali

Verifiche a flessione

Elementi calcolati a trave

Simbologia adottata

n°	indice sezione
Y	ordinata sezione espressa in [m]
B	larghezza sezione espresso in [cm]
H	altezza sezione espressa in [cm]
Afi	area ferri inferiori espresso in [cmq]
Afs	area ferri superiori espressa in [cmq]
M	momento agente espressa in [kNm]
N	sforzo normale agente espressa in [kN]
Mu	momento ultimi espresso in [kNm]
Nu	sforzo normale ultimo espressa in [kN]
FS	fattore di sicurezza (rapporto tra sollecitazione ultima e sollecitazione agente)

Paramento

n°	B [cm]	H [cm]	Afi [cmq]	Afs [cmq]	M [kNm]	N [kN]	Mu [kNm]	Nu [kN]	FS
21	100	70	5.65	10.05	83.25	34.32	329.47	135.84	3.957

Fondazione

n°	B [cm]	H [cm]	Afi [cmq]	Afs [cmq]	M [kNm]	N [kN]	Mu [kNm]	Nu [kN]	FS
6	100	80	5.65	10.05	8.32	0.00	162.99	0.00	19.580
7	100	80	5.65	10.05	-54.03	0.00	-286.98	0.00	5.311

Sperone

n°	B [cm]	H [cm]	Afi [cmq]	Afs [cmq]	M [kNm]	N [kN]	Mu [kNm]	Nu [kN]	FS
1	100	60	10.05	10.05	25.68	0.00	209.34	0.00	8.152

Verifiche a taglio

Simbologia adottata

Is	indice sezione
Y	ordinata sezione espressa in [m]
B	larghezza sezione espresso in [cm]
H	altezza sezione espressa in [cm]
A _{sw}	area ferri a taglio espresso in [cmq]
cotθ	inclinazione delle bielle compresse, θ inclinazione dei puntoni di calcestruzzo
V _{Rcd}	resistenza di progetto a 'taglio compressione' espressa in [kN]
V _{Rsd}	resistenza di progetto a 'taglio trazione' espressa in [kN]
V _{Rd}	resistenza di progetto a taglio espresso in [kN]. Per elementi con armature trasversali resistenti al taglio (A _{sw} >0.0) V _{Rd} =min(V _{Rcd} , V _{Rsd}).
T	taglio agente espressa in [kN]
FS	fattore di sicurezza (rapporto tra sollecitazione resistente e sollecitazione agente)

Paramento

n°	B [cm]	H [cm]	A _{sw} [cmq]	cotθ	V _{Rcd} [kN]	V _{Rsd} [kN]	V _{Rd} [kN]	T [kN]	FS
21	100	70	0.00	--	0.00	0.00	264.52	36.25	7.297

Fondazione

n°	B [cm]	H [cm]	A _{sw} [cmq]	cotθ	V _{Rcd} [kN]	V _{Rsd} [kN]	V _{Rd} [kN]	T [kN]	FS
6	100	80	0.00	--	0.00	0.00	269.62	-36.09	7.471
7	100	80	0.00	--	0.00	0.00	269.62	-41.92	6.431

Sperone

n°	B [cm]	H [cm]	A _{sw} [cmq]	cotθ	V _{Rcd} [kN]	V _{Rsd} [kN]	V _{Rd} [kN]	T [kN]	FS
1	100	60	0.00	--	0.00	0.00	236.26	64.17	3.682

Verifica a fessurazione

Simbologia adottata

n°	indice sezione
Y	ordinata sezione espressa in [m]
B	larghezza sezione espresso in [cm]
H	altezza sezione espressa in [cm]
A _f	area ferri zona tesa espresso in [cmq]
A _{eff}	area efficace espressa in [cmq]
M	momento agente espressa in [kNm]
M _{pf}	momento di prima fessurazione espressa in [kNm]
ε	deformazione espresso in %
S _m	spaziatura tra le fessure espressa in [mm]
w	apertura delle fessure espressa in [mm]

Combinazioni SLER

Paramento

Apertura limite fessure w_{lim}=0.40

n°	B [cm]	H [cm]	A _f [cmq]	A _{eff} [cmq]	M [kNm]	M _{pf} [kNm]	ε [%]	S _m [mm]	w [mm]
21	100	70	10.05	1200.00	15.00	278.39	0.000000	0.00	0.000 (20)

Fondazione

Apertura limite fessure w_{lim}=0.40

n°	B [cm]	H [cm]	A _f [cmq]	A _{eff} [cmq]	M [kNm]	M _{pf} [kNm]	ε [%]	S _m [mm]	w [mm]
6	100	80	5.65	1150.00	3.49	320.88	0.000000	0.00	0.000 (20)
7	100	80	5.65	1150.00	14.10	320.88	0.000000	0.00	0.000 (20)

Sperone

Apertura limite fessure w_{lim}=0.40

n°	B [cm]	H [cm]	A _f [cmq]	A _{eff} [cmq]	M [kNm]	M _{pf} [kNm]	ε [%]	S _m [mm]	w [mm]
1	100	60	10.05	1200.00	17.35	188.20	0.000000	0.00	0.000 (20)

Combinazioni SLEF

Paramento

Apertura limite fessure $w_{lim}=0.30$

n°	B [cm]	H [cm]	Af [cmq]	Aeff [cmq]	M [kNm]	Mpf [kNm]	ε [%]	Sm [mm]	w [mm]
21	100	70	10.05	1200.00	12.75	278.40	0.000000	0.00	0.000 (21)

Fondazione

Apertura limite fessure $w_{lim}=0.30$

n°	B [cm]	H [cm]	Af [cmq]	Aeff [cmq]	M [kNm]	Mpf [kNm]	ε [%]	Sm [mm]	w [mm]
6	100	80	5.65	1150.00	3.32	320.88	0.000000	0.00	0.000 (21)
7	100	80	5.65	1150.00	13.79	320.88	0.000000	0.00	0.000 (21)

Sperone

Apertura limite fessure $w_{lim}=0.30$

n°	B [cm]	H [cm]	Af [cmq]	Aeff [cmq]	M [kNm]	Mpf [kNm]	ε [%]	Sm [mm]	w [mm]
1	100	60	10.05	1200.00	15.72	188.20	0.000000	0.00	0.000 (21)

Combinazioni SLEQ

Paramento

Apertura limite fessure $w_{lim}=0.20$

n°	B [cm]	H [cm]	Af [cmq]	Aeff [cmq]	M [kNm]	Mpf [kNm]	ε [%]	Sm [mm]	w [mm]
21	100	70	10.05	1200.00	8.25	278.40	0.000000	0.00	0.000 (22)

Fondazione

Apertura limite fessure $w_{lim}=0.20$

n°	B [cm]	H [cm]	Af [cmq]	Aeff [cmq]	M [kNm]	Mpf [kNm]	ε [%]	Sm [mm]	w [mm]
6	100	80	5.65	1150.00	3.00	320.88	0.000000	0.00	0.000 (22)
7	100	80	5.65	1150.00	13.18	320.88	0.000000	0.00	0.000 (22)

Sperone

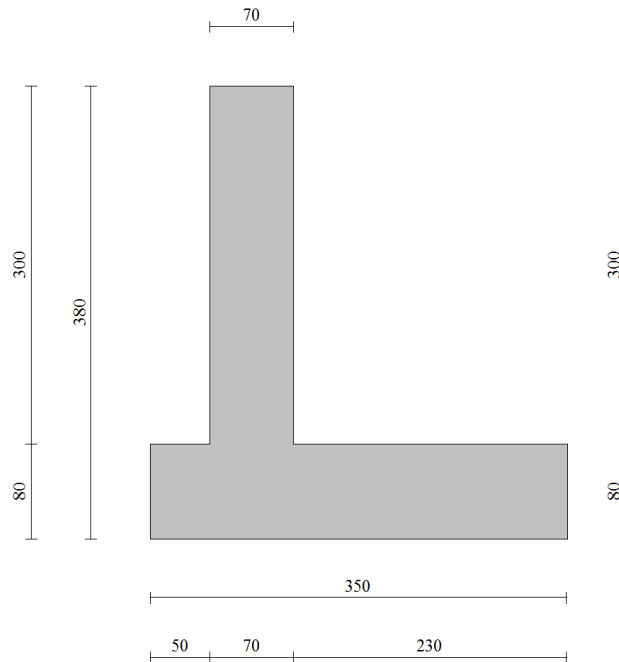
Apertura limite fessure $w_{lim}=0.20$

n°	B [cm]	H [cm]	Af [cmq]	Aeff [cmq]	M [kNm]	Mpf [kNm]	ε [%]	Sm [mm]	w [mm]
1	100	60	10.05	1200.00	12.47	188.20	0.000000	0.00	0.000 (22)

11 TRATTO SU FONDAZIONE DIRETTA - ANALISI SEZIONE TIPO 3

11.1 MODELLO

Si fa riferimento alla sezione tipo di cui al seguito:



Come armatura si dispongono:

Elevazione: 5 Φ 16 lato terra + 5 Φ 12 lato valle

Fondazione: 5 Φ 16 superiori + 5 Φ 12 inferiori

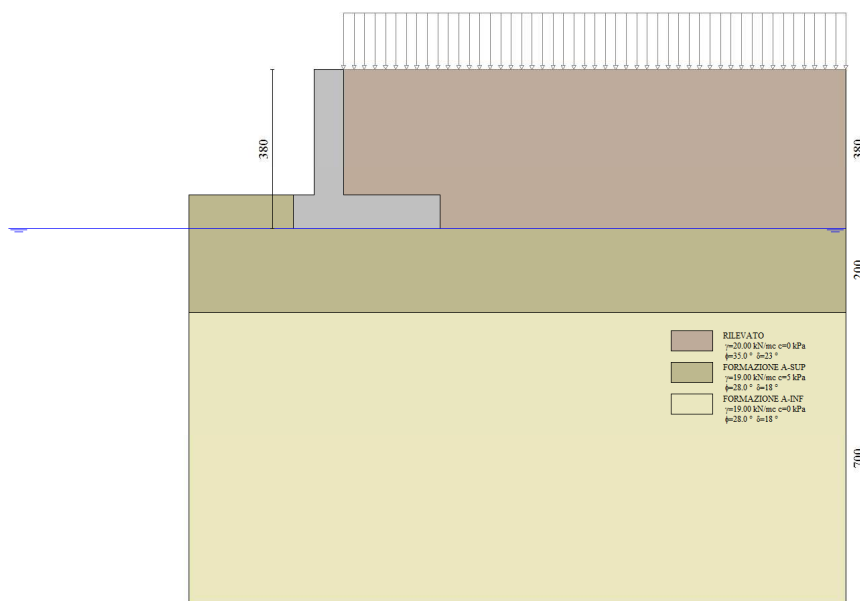
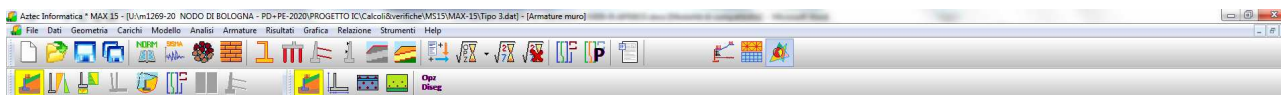
Per l'elevazione (da realizzarsi con bilastra) si considera:

- Calcestruzzo riempimento: C25/30
- Copriferro delle riprese in elevazione: 7cm
- Armatura minima: 0.015% della sezione (min. 5 barre/m)

Per la fondazione si considera:

- Calcestruzzo: C28/35
- Copriferro: 4cm
- Armatura minima: 0.015% della sezione (min. 5 barre/m)

Segue immagine della geometria del modello di calcolo MAX15.



11.2 RISULTATI E VERIFICHE

Si riportano di seguito i principali risultati in relazione ai coefficienti di sicurezza ottenuti per tutte le combinazioni di carico, alle spinte (involuppo) ed alle azioni interne (involuppo) in elevazione e fondazione.

Per tutti i dettagli delle analisi e delle verifiche si rimanda ai tabulati di calcolo di cui all'**allegato 3**.

11.2.1 Verifiche globali - Coefficienti di sicurezza

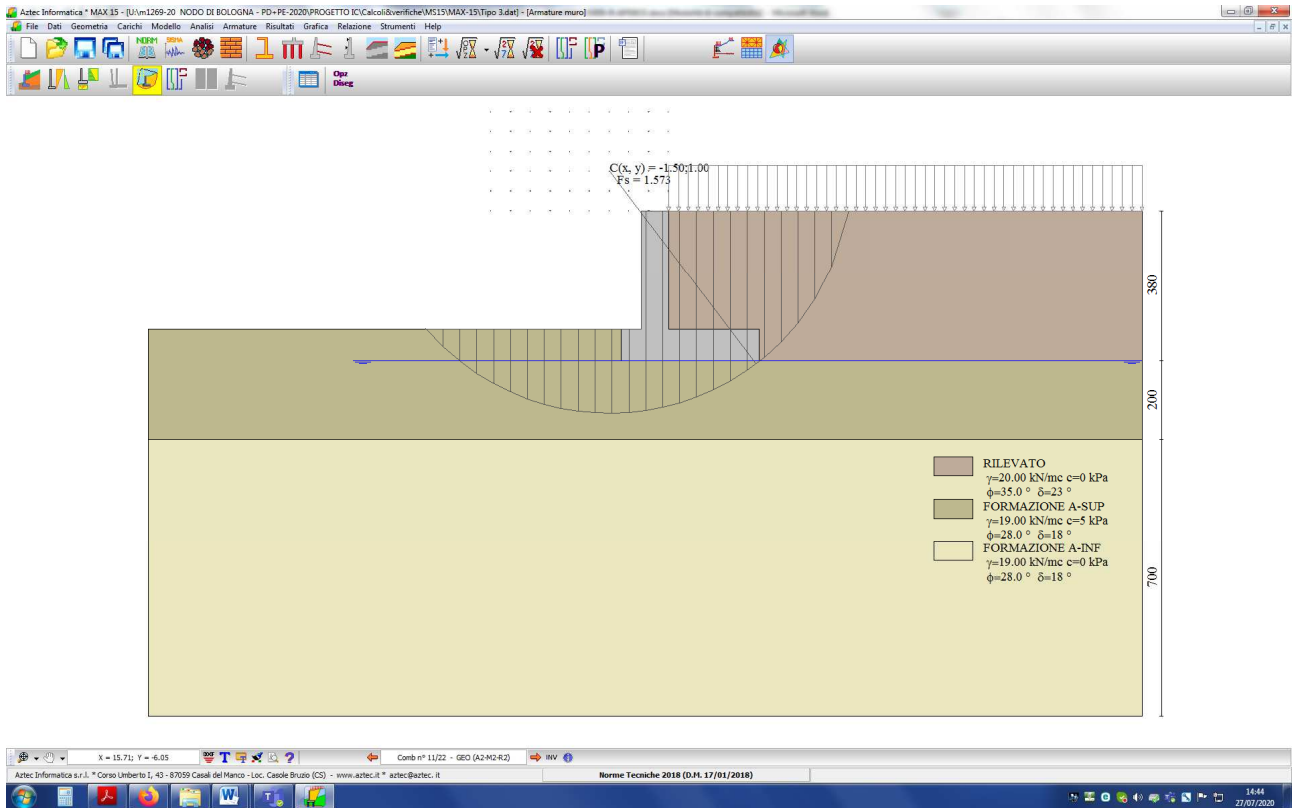
Quadro riassuntivo coeff. di sicurezza calcolati

Simbologia adottata

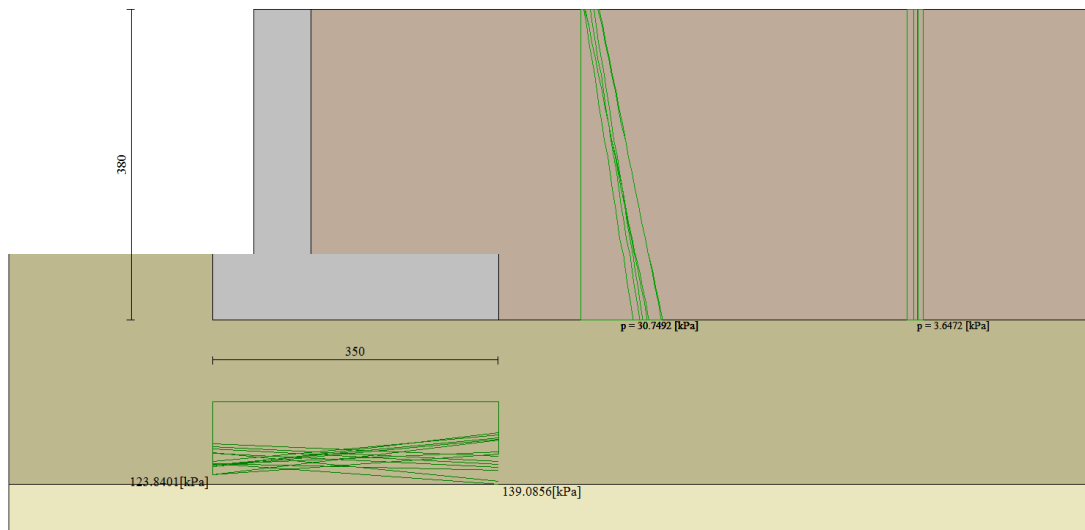
Cmb	Indice/Tipo combinazione
S	Sisma (H: componente orizzontale, V: componente verticale)
FS _{SCO}	Coeff. di sicurezza allo scorrimento
FS _{RIB}	Coeff. di sicurezza al ribaltamento
FS _{QLIM}	Coeff. di sicurezza a carico limite
FS _{STAB}	Coeff. di sicurezza a stabilità globale

Cmb	Sismica	FS _{SCO}	FS _{RIB}	FS _{QLIM}	FS _{STAB}
1 - STR (A1-M1-R3)		1.731		2.456	
2 - STR (A1-M1-R3)		1.561		2.501	
3 - STR (A1-M1-R3)	H + V	1.239		2.020	
4 - STR (A1-M1-R3)	H - V	1.166		2.104	
5 - STR (A1-M1-R3)		2.116		2.206	
6 - STR (A1-M1-R3)		1.937		2.207	
7 - STR (A1-M1-R3)		1.910		2.498	
8 - STR (A1-M1-R3)		1.972		2.410	
9 - STR (A1-M1-R3)		1.781		2.613	
10 - STR (A1-M1-R3)		1.752		2.348	
11 - GEO (A2-M2-R2)					1.573
12 - GEO (A2-M2-R2)					1.794
13 - GEO (A2-M2-R2)	H + V				1.762
14 - GEO (A2-M2-R2)	H - V				1.722
15 - EQU (A1-M1-R3)			7.509		
16 - EQU (A1-M1-R3)			4.662		
17 - EQU (A1-M1-R3)	H + V		3.758		
18 - EQU (A1-M1-R3)	H - V		2.889		

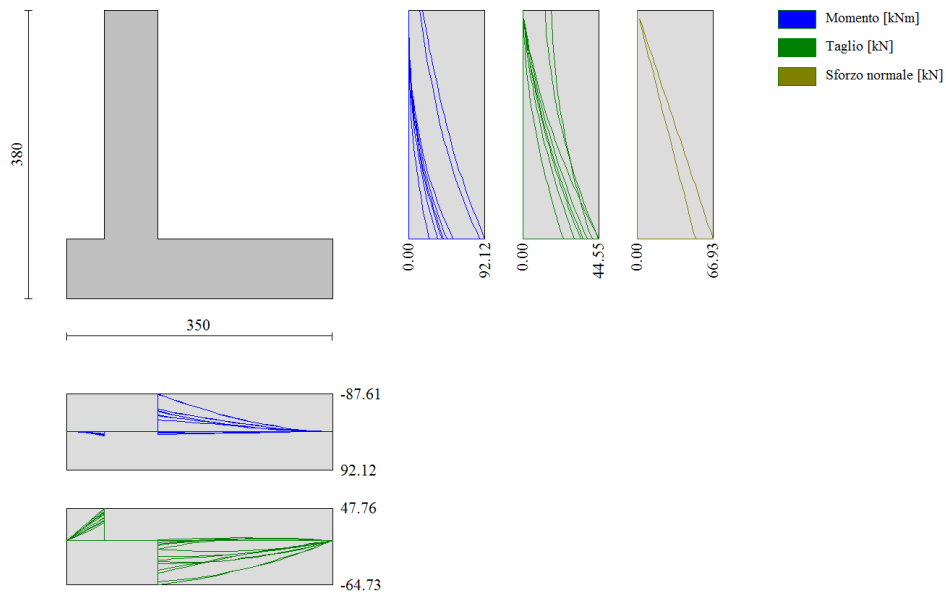
Nella seguente figura è illustrata l'analisi di stabilità nella combinazione più critica (combinazione 11).



11.2.2 Spinte



11.2.3 Azioni interne



11.2.4 Verifiche strutturali

Verifiche a flessione

Elementi calcolati a trave

Simbologia adottata

n°	indice sezione
Y	ordinata sezione espressa in [m]
B	larghezza sezione espresso in [cm]
H	altezza sezione espressa in [cm]
Afi	area ferri inferiori espresso in [cmq]
Afs	area ferri superiori espressa in [cmq]
M	momento agente espressa in [kNm]
N	sforzo normale agente espressa in [kN]
Mu	momento ultimi espresso in [kNm]
Nu	sforzo normale ultimo espressa in [kN]
FS	fattore di sicurezza (rapporto tra sollecitazione ultima e sollecitazione agente)

Paramento

n°	B [cm]	H [cm]	Afi [cmq]	Afs [cmq]	M [kNm]	N [kN]	Mu [kNm]	Nu [kN]	FS
31	100	70	5.65	10.05	85.97	51.49	289.13	173.16	3.363

Fondazione

n°	B [cm]	H [cm]	Afi [cmq]	Afs [cmq]	M [kNm]	N [kN]	Mu [kNm]	Nu [kN]	FS
6	100	80	5.65	10.05	12.04	0.00	160.35	0.00	13.314
7	100	80	5.65	10.05	-87.61	0.00	-276.80	0.00	3.160

Verifiche a taglio

Simbologia adottata

Is	indice sezione
Y	ordinata sezione espressa in [m]
B	larghezza sezione espressa in [cm]
H	altezza sezione espressa in [cm]
A _{sw}	area ferri a taglio espresso in [cmq]
cotθ	inclinazione delle bielle compresse, θ inclinazione dei puntoni di calcestruzzo
V _{Rcd}	resistenza di progetto a 'taglio compressione' espressa in [kN]
V _{Rsd}	resistenza di progetto a 'taglio trazione' espressa in [kN]
V _{Rd}	resistenza di progetto a taglio espresso in [kN]. Per elementi con armature trasversali resistenti al taglio (A _{sw} >0.0) V _{Rd} =min(V _{Rcd} , V _{Rsd}).
T	taglio agente espressa in [kN]
FS	fattore di sicurezza (rapporto tra sollecitazione resistente e sollecitazione agente)

Paramento

n°	B [cm]	H [cm]	A _{sw} [cmq]	cotθ	V _{Rcd} [kN]	V _{Rsd} [kN]	V _{Rd} [kN]	T [kN]	FS
31	100	70	0.00	--	0.00	0.00	225.75	44.55	5.067

Fondazione

n°	B [cm]	H [cm]	A _{sw} [cmq]	cotθ	V _{Rcd} [kN]	V _{Rsd} [kN]	V _{Rd} [kN]	T [kN]	FS
6	100	80	0.00	--	0.00	0.00	261.66	-47.76	5.478
7	100	80	0.00	--	0.00	0.00	261.66	-64.73	4.042

Verifica a fessurazione

Simbologia adottata

n°	indice sezione
Y	ordinata sezione espressa in [m]
B	larghezza sezione espressa in [cm]
H	altezza sezione espressa in [cm]
A _f	area ferri zona tesa espresso in [cmq]
A _{eff}	area efficace espressa in [cmq]
M	momento agente espressa in [kNm]
M _{pf}	momento di prima fessurazione espressa in [kNm]
ε	deformazione espresso in %
S _m	spaziatura tra le fessure espressa in [mm]
w	apertura delle fessure espressa in [mm]

Combinazioni SLER

Paramento

Apertura limite fessure w_{lim}=0.40

n°	B [cm]	H [cm]	A _f [cmq]	A _{eff} [cmq]	M [kNm]	M _{pf} [kNm]	ε [%]	S _m [mm]	w [mm]
31	100	70	10.05	1950.00	40.51	229.34	0.000000	0.00	0.000 (20)

Fondazione

Apertura limite fessure w_{lim}=0.40

n°	B [cm]	H [cm]	A _f [cmq]	A _{eff} [cmq]	M [kNm]	M _{pf} [kNm]	ε [%]	S _m [mm]	w [mm]
6	100	80	5.65	1900.00	7.65	317.72	0.000000	0.00	0.000 (20)
7	100	80	5.65	1900.00	2.10	317.72	0.000000	0.00	0.000 (20)

Combinazioni SLEF

Paramento

Apertura limite fessure $w_{lim}=0.30$

n°	B [cm]	H [cm]	Af [cmq]	Aeff [cmq]	M [kNm]	Mpf [kNm]	ε [%]	Sm [mm]	w [mm]
31	100	70	10.05	1950.00	35.44	229.34	0.000000	0.00	0.000 (21)

Fondazione

Apertura limite fessure $w_{lim}=0.30$

n°	B [cm]	H [cm]	Af [cmq]	Aeff [cmq]	M [kNm]	Mpf [kNm]	ε [%]	Sm [mm]	w [mm]
6	100	80	5.65	1900.00	7.29	317.72	0.000000	0.00	0.000 (21)
7	100	80	5.65	1900.00	3.85	317.72	0.000000	0.00	0.000 (21)

Combinazioni SLEQ

Paramento

Apertura limite fessure $w_{lim}=0.20$

n°	B [cm]	H [cm]	Af [cmq]	Aeff [cmq]	M [kNm]	Mpf [kNm]	ε [%]	Sm [mm]	w [mm]
31	100	70	10.05	1950.00	25.32	229.35	0.000000	0.00	0.000 (22)

Fondazione

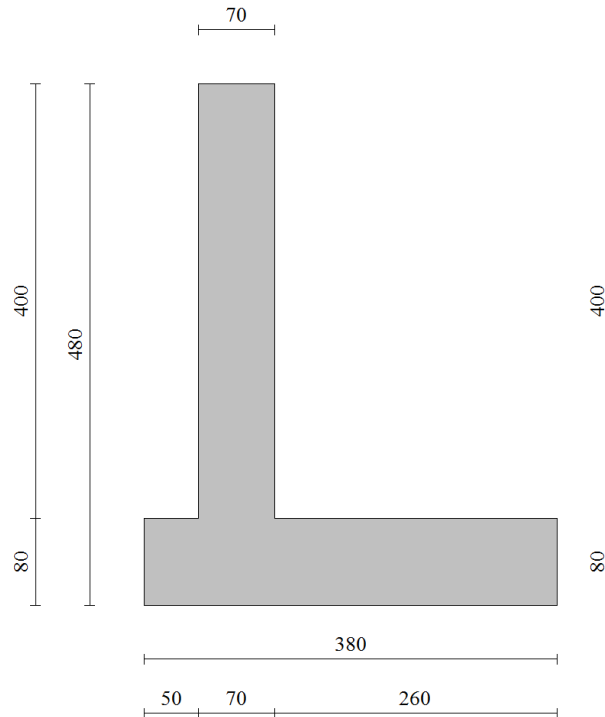
Apertura limite fessure $w_{lim}=0.20$

n°	B [cm]	H [cm]	Af [cmq]	Aeff [cmq]	M [kNm]	Mpf [kNm]	ε [%]	Sm [mm]	w [mm]
6	100	80	5.65	1900.00	6.55	317.72	0.000000	0.00	0.000 (22)
7	100	80	5.65	1900.00	7.33	317.72	0.000000	0.00	0.000 (22)

12 TRATTO SU FONDAZIONE DIRETTA - ANALISI SEZIONE TIPO 4

12.1 MODELLO

Si fa riferimento alla sezione tipo di cui al seguito:



Come armatura si dispongono:

Elevazione: 5 Φ 16 lato terra + 5 Φ 12 lato valle

Fondazione: 5 Φ 16 superiori + 5 Φ 14 inferiori

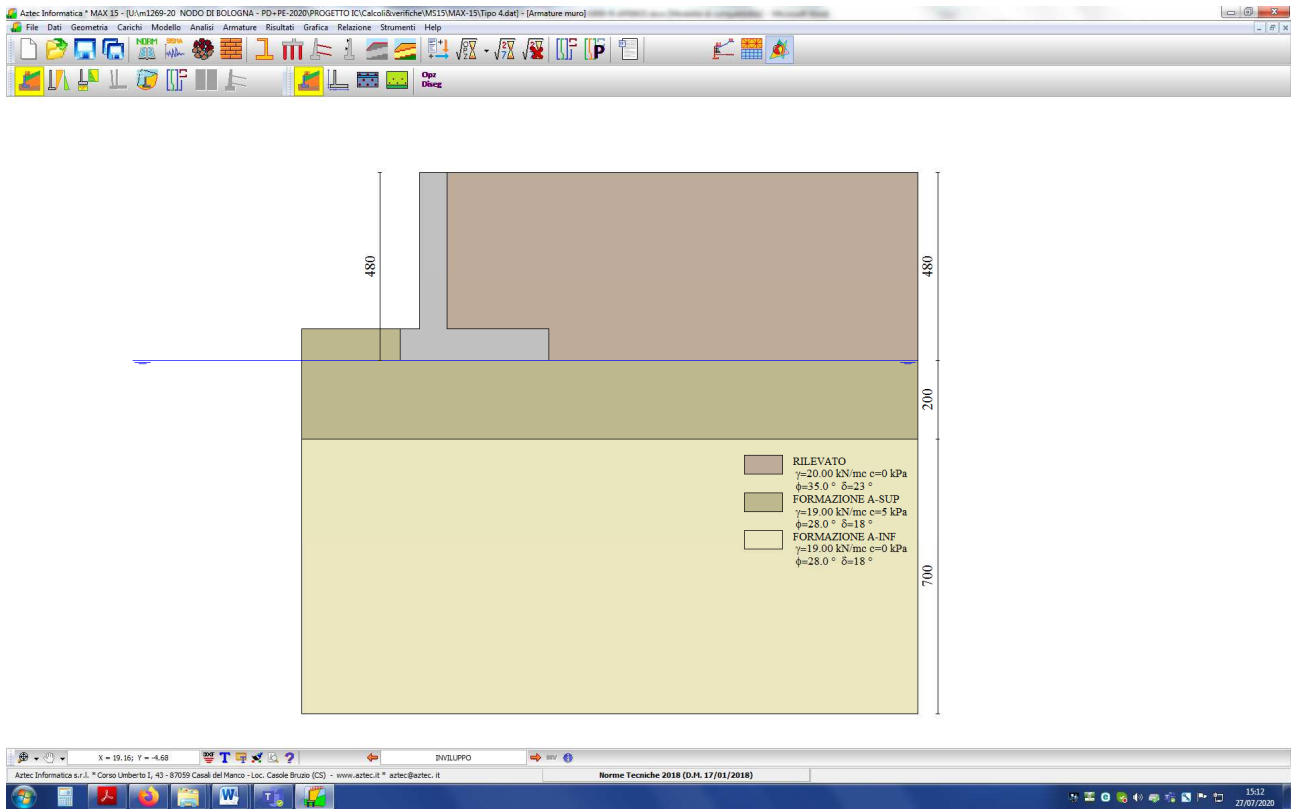
Per l'elevazione (da realizzarsi con bilastra) si considera:

- Calcestruzzo riempimento: C25/30
- Copriferro delle riprese in elevazione: 7cm
- Armatura minima: 0.015% della sezione (min. 5 barre/m)

Per la fondazione si considera:

- Calcestruzzo: C28/35
- Copriferro: 4cm
- Armatura minima: 0.015% della sezione (min. 5 barre/m)

Segue immagine della geometria del modello di calcolo MAX15.



12.2 RISULTATI E VERIFICHE

Si riportano di seguito i principali risultati in relazione ai coefficienti di sicurezza ottenuti per tutte le combinazioni di carico, alle spinte (involuppo) ed alle azioni interne (involuppo) in elevazione e fondazione.

Per tutti i dettagli delle analisi e delle verifiche si rimanda ai tabulati di calcolo di cui all'**allegato 4**.

12.2.1 Verifiche globali - Coefficienti di sicurezza

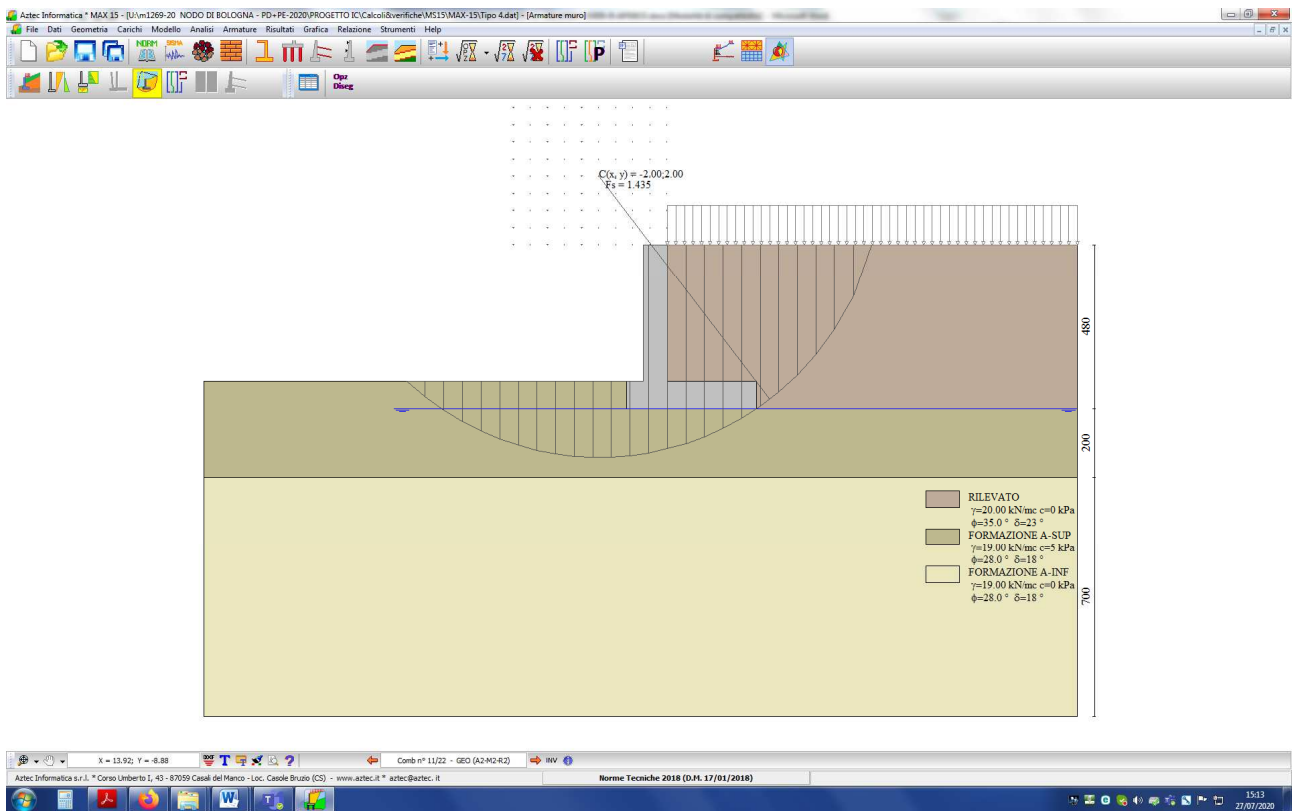
Quadro riassuntivo coeff. di sicurezza calcolati

Simbologia adottata

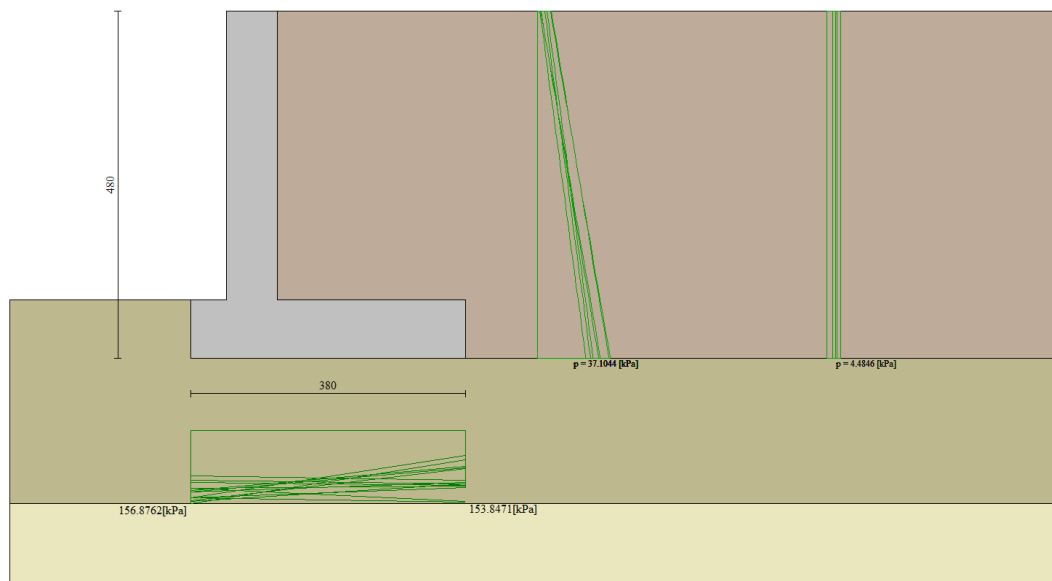
Cmb	Indice/Tipo combinazione
S	Sisma (H: componente orizzontale, V: componente verticale)
FS _{SCO}	Coeff. di sicurezza allo scorrimento
FS _{RIB}	Coeff. di sicurezza al ribaltamento
FS _{QLIM}	Coeff. di sicurezza a carico limite
FS _{STAB}	Coeff. di sicurezza a stabilità globale

Cmb	Sismica	FS _{SCO}	FS _{RIB}	FS _{QLIM}	FS _{STAB}
1 - STR (A1-M1-R3)		1.556		2.073	
2 - STR (A1-M1-R3)		1.530		1.997	
3 - STR (A1-M1-R3)	H + V	1.145		1.386	
4 - STR (A1-M1-R3)	H - V	1.081		1.440	
5 - STR (A1-M1-R3)		1.910		1.879	
6 - STR (A1-M1-R3)		1.766		1.826	
7 - STR (A1-M1-R3)		1.700		1.873	
8 - STR (A1-M1-R3)		1.933		1.930	
9 - STR (A1-M1-R3)		1.768		2.094	
10 - STR (A1-M1-R3)		1.694		1.877	
11 - GEO (A2-M2-R2)					1.435
12 - GEO (A2-M2-R2)					1.583
13 - GEO (A2-M2-R2)	H + V				1.596
14 - GEO (A2-M2-R2)	H - V				1.545
15 - EQU (A1-M1-R3)			5.912		
16 - EQU (A1-M1-R3)			4.771		
17 - EQU (A1-M1-R3)	H + V		3.050		
18 - EQU (A1-M1-R3)	H - V		2.463		

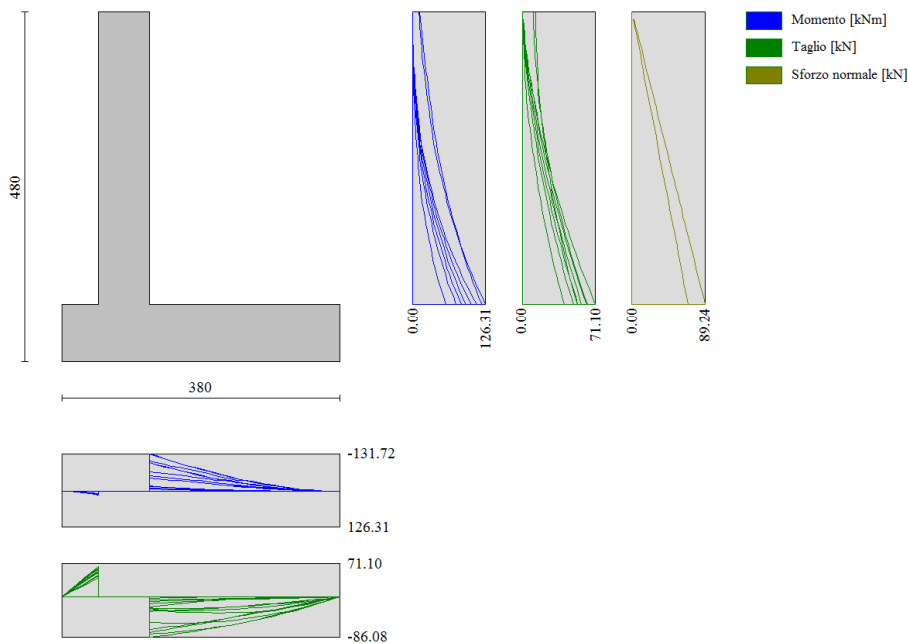
Nella seguente figura è illustrata l'analisi di stabilità nella combinazione più critica (combinazione 11).



12.2.2 Spinte



12.2.3 Azioni interne



12.2.4 Verifiche strutturali

Verifiche a flessione

Elementi calcolati a trave

Simbologia adottata

n°	indice sezione
Y	ordinata sezione espressa in [m]
B	larghezza sezione espresso in [cm]
H	altezza sezione espressa in [cm]
Afi	area ferri inferiori espresso in [cmq]
Afs	area ferri superiori espressa in [cmq]
M	momento agente espressa in [kNm]
N	sforzo normale agente espressa in [kN]
Mu	momento ultimi espresso in [kNm]
Nu	sforzo normale ultimo espressa in [kN]
FS	fattore di sicurezza (rapporto tra sollecitazione ultima e sollecitazione agente)

Paramento

n°	B [cm]	H [cm]	Afi [cmq]	Afs [cmq]	M [kNm]	N [kN]	Mu [kNm]	Nu [kN]	FS
41	100	70	5.65	10.05	126.31	68.65	283.40	154.03	2.244

Fondazione

n°	B [cm]	H [cm]	Afi [cmq]	Afs [cmq]	M [kNm]	N [kN]	Mu [kNm]	Nu [kN]	FS
6	100	80	7.70	10.05	16.64	0.00	214.84	0.00	12.909
7	100	80	7.70	10.05	-131.72	0.00	-277.14	0.00	2.104

Verifiche a taglio

Simbologia adottata

Is	indice sezione
Y	ordinata sezione espressa in [m]
B	larghezza sezione espresso in [cm]
H	altezza sezione espressa in [cm]
A _{sw}	area ferri a taglio espresso in [cmq]
cotgθ	inclinazione delle bielle compresse, θ inclinazione dei puntoni di calcestruzzo
V _{Rcd}	resistenza di progetto a 'taglio compressione' espressa in [kN]
V _{Rsd}	resistenza di progetto a 'taglio trazione' espressa in [kN]
V _{Rd}	resistenza di progetto a taglio espresso in [kN]. Per elementi con armature trasversali resistenti al taglio (A _{sw} >0.0) V _{Rd} =min(V _{Rcd} , V _{Rsd}).
T	taglio agente espressa in [kN]
FS	fattore di sicurezza (rapporto tra sollecitazione resistente e sollecitazione agente)

Paramento

n°	B [cm]	H [cm]	A _{sw} [cmq]	cotθ	V _{Rcd} [kN]	V _{Rsd} [kN]	V _{Rd} [kN]	T [kN]	FS
41	100	70	0.00	--	0.00	0.00	228.07	71.10	3.208

Fondazione

n°	B [cm]	H [cm]	A _{sw} [cmq]	cotθ	V _{Rcd} [kN]	V _{Rsd} [kN]	V _{Rd} [kN]	T [kN]	FS
6	100	80	0.00	--	0.00	0.00	261.66	-65.54	3.992
7	100	80	0.00	--	0.00	0.00	261.66	-86.08	3.040

Verifica a fessurazione

Simbologia adottata

n°	indice sezione
Y	ordinata sezione espressa in [m]
B	larghezza sezione espresso in [cm]
H	altezza sezione espressa in [cm]
A _f	area ferri zona tesa espresso in [cmq]
A _{eff}	area efficace espressa in [cmq]
M	momento agente espressa in [kNm]
M _{pf}	momento di prima fessurazione espressa in [kNm]
ε	deformazione espresso in %
S _m	spaziatura tra le fessure espressa in [mm]
w	apertura delle fessure espressa in [mm]

Combinazioni SLER

Paramento

Apertura limite fessure w_{lim}=0.40

n°	B [cm]	H [cm]	A _f [cmq]	A _{eff} [cmq]	M [kNm]	M _{pf} [kNm]	ε [%]	S _m [mm]	w [mm]
41	100	70	10.05	1950.00	84.01	231.36	0.000000	0.00	0.000 (20)

Fondazione

Apertura limite fessure w_{lim}=0.40

n°	B [cm]	H [cm]	A _f [cmq]	A _{eff} [cmq]	M [kNm]	M _{pf} [kNm]	ε [%]	S _m [mm]	w [mm]
6	100	80	7.70	1925.00	11.44	320.91	0.000000	0.00	0.000 (20)
7	100	80	10.05	1950.00	-11.56	-323.10	0.000000	0.00	0.000 (20)

Combinazioni SLEF

Paramento

Apertura limite fessure $w_{lim}=0.30$

n°	B [cm]	H [cm]	Af [cmq]	Aeff [cmq]	M [kNm]	Mpf [kNm]	ε [%]	Sm [mm]	w [mm]
41	100	70	10.05	1950.00	75.01	231.36	0.000000	0.00	0.000 (21)

Fondazione

Apertura limite fessure $w_{lim}=0.30$

n°	B [cm]	H [cm]	Af [cmq]	Aeff [cmq]	M [kNm]	Mpf [kNm]	ε [%]	Sm [mm]	w [mm]
5	100	80	7.70	1925.00	6.97	320.91	0.000000	0.00	0.000 (21)
6	100	80	7.70	1925.00	10.90	320.91	0.000000	0.00	0.000 (21)

Combinazioni SLEQ

Paramento

Apertura limite fessure $w_{lim}=0.20$

n°	B [cm]	H [cm]	Af [cmq]	Aeff [cmq]	M [kNm]	Mpf [kNm]	ε [%]	Sm [mm]	w [mm]
41	100	70	10.05	1950.00	57.01	231.37	0.000000	0.00	0.000 (22)

Fondazione

Apertura limite fessure $w_{lim}=0.20$

n°	B [cm]	H [cm]	Af [cmq]	Aeff [cmq]	M [kNm]	Mpf [kNm]	ε [%]	Sm [mm]	w [mm]
6	100	80	7.70	1925.00	9.82	320.91	0.000000	0.00	0.000 (22)
7	100	80	7.70	1925.00	0.17	320.91	0.000000	0.00	0.000 (22)

13 TRATTO SU PALI - DATI DI INPUT

13.1 FASI ESECUTIVE

Vengono le seguenti fasi esecutive:

1. Stato di fatto
2. Realizzazione dell'opera di sostegno
3. C.d.C. 1 – Traffico
4. C.d.C. 2 – Urto per svio
5. C.d.C. 3 – Sisma

13.2 COEFFICIENTI DI SPINTA DELLA TERRA

Nelle seguenti figure n.13.1, 13.2 e 13.3 sono sintetizzati i coefficienti di spinta impiegati nelle verifiche statiche e sismiche.

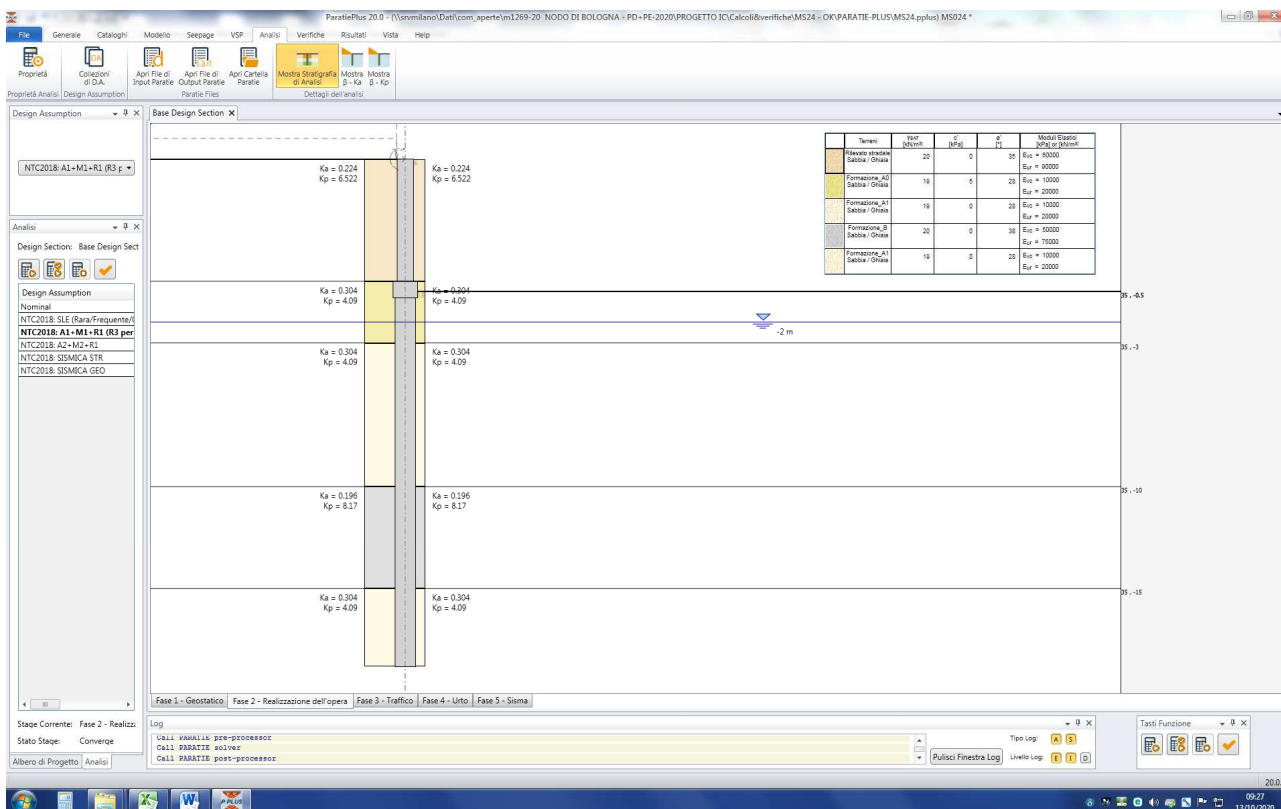


Figura n. 13.1 – Verifiche statiche STR - Coefficienti di spinta

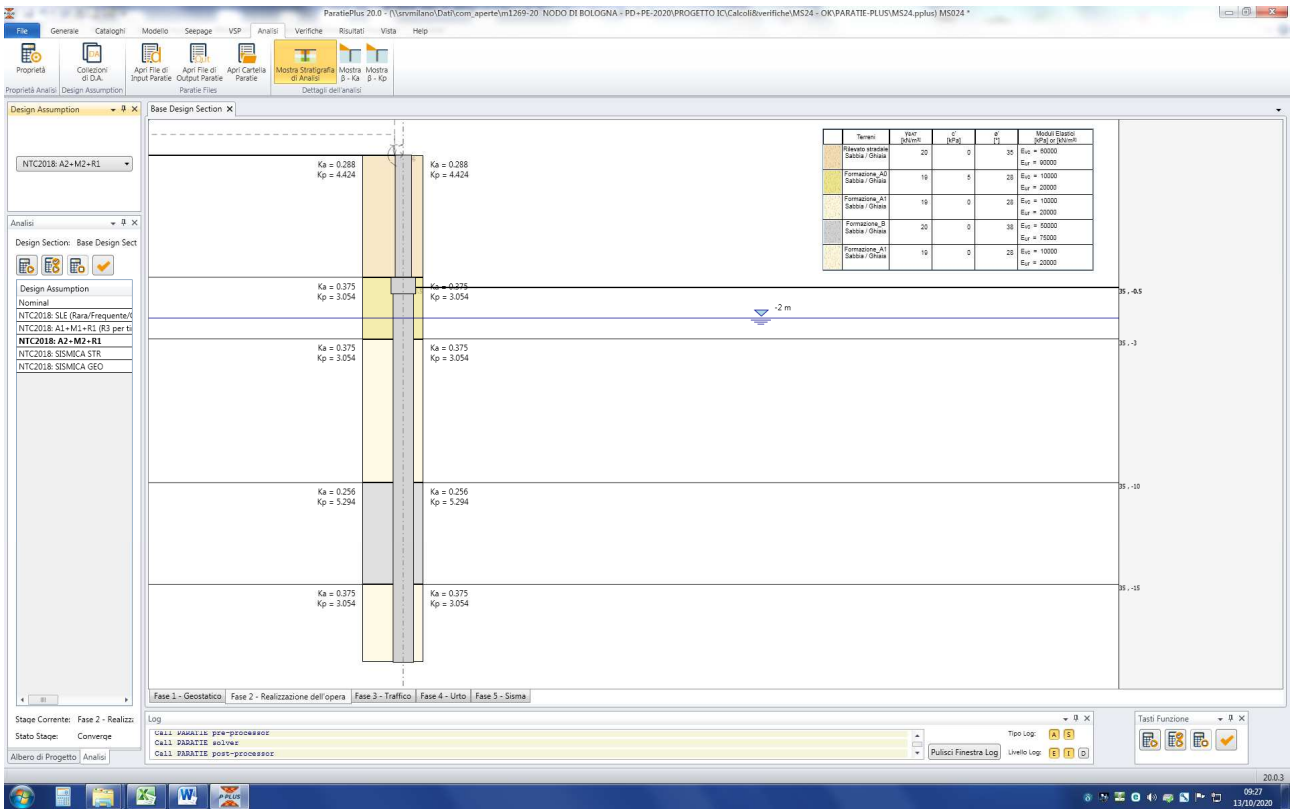


Figura n.13.2 – Verifiche statiche GEO - Coefficienti di spinta

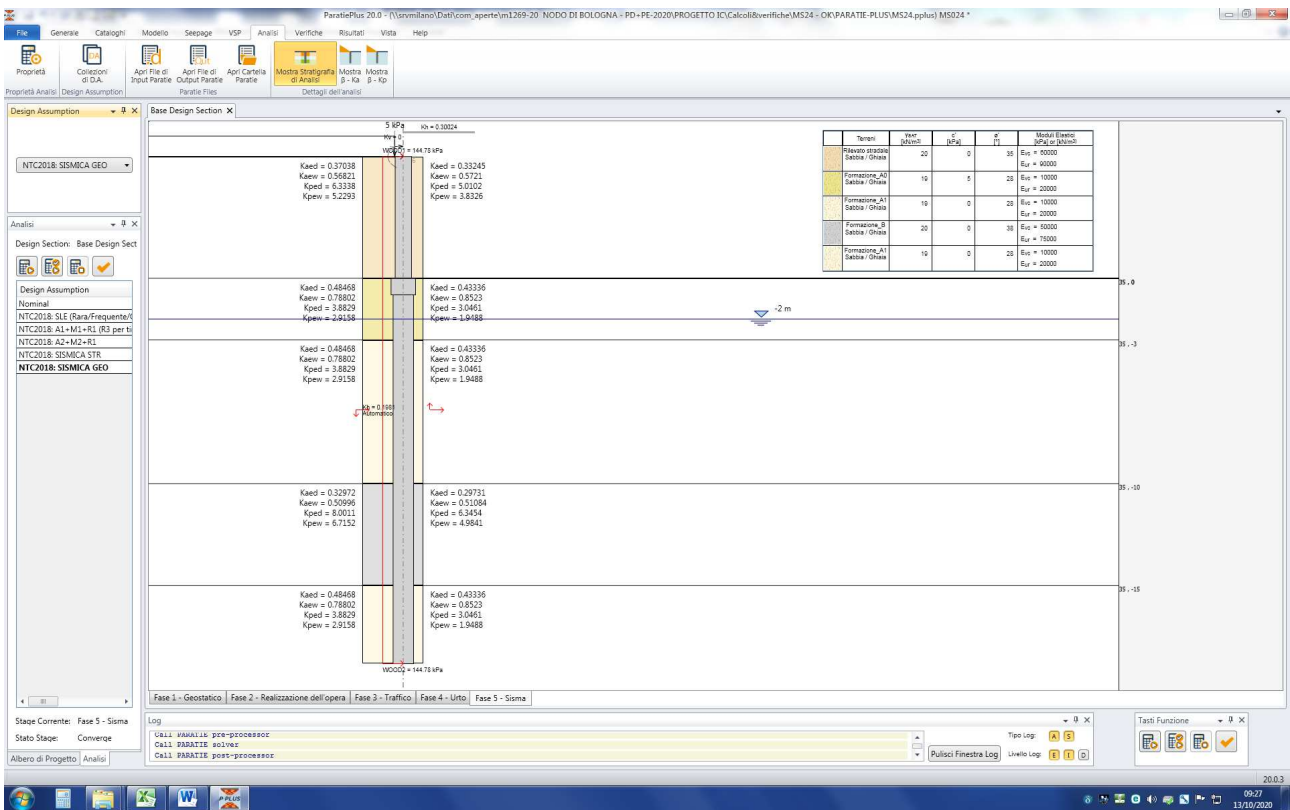


Figura n.13.3 – Verifiche sismiche - Coefficienti di spinta

13.3 URTO SU SICURVIA

Sulla sommità del muro è prevista l'installazione di una barriera di sicurezza. Si considera una lunghezza di ripartizione di 5m con riferimento ad una distribuzione a 45° per un'altezza di riferimento del sopralzo di 2.5m. Si ottiene:

$$V_{d-urto} = 100\text{kN} / 5\text{m} \times 1.0 = 20\text{kN/m}$$

$$M_{d-urto} = 20\text{kN/m} \times 1.0\text{m} = 20\text{kNm/m}$$

Poiché il codice di calcolo considera tali carichi come "accidentali" il valore implementato nel calcolo viene diviso per 1,5 ottenendo:

$$V^*_{d-urto} = 20\text{kN/m} / 1.5 = 13.3\text{kN/m}$$

$$M^*_{d-urto} = 20\text{kNm/m} / 1.5 = 13.3\text{kNm/m}$$

13.4 AZIONE SISMICA

Segue sintesi dei parametri sismici impiegati nell'analisi.

The screenshot shows the 'Opzioni Sisma' (Seismic Options) dialog box. It is divided into several sections for defining seismic parameters and calculation methods.

- Opzioni:** Includes 'Includi Azione Sismica' (checked).
- 1. Definizione accelerazione:**
 - Coefficiente accel. base a_g / g : 0.216 (NTC)
 - Fattore importanza I: 1
 - Coefficiente S_s : 1.39
 - Coefficiente S_T : 1
 - a_{max} / g : 0.30024
- 2. Accelerazione di calcolo:**
 - Selected: Eurocodice
 - Calcolo coefficiente di risposta R:
 - Input diretto (selected)
 - Da formule: U_s (m), T_c (m/s), V_{max} (m/s), V_{max}/a_{max} , R (1)
 - Selected: NTC
 - U_s : 0.035 m
 - β : 0.6599
 - α : 1
 - $k_h = \alpha \beta a_{max}$: 0.1981
- 3. Definizione calcolo:**
 - Modalità spinta: Paratia intera (selected)
 - Comportamento idraulico: Terreno impervio (selected)
 - k_{vu} (% k_h): 0.5
 - k_{vd} (% k_h): -0.5
 - R_u : 0
 - Includi inerzia paratia: checked
- 4. Metodo di calcolo:**
 - Selected: Procedura Automatica (Paratie)
 - Pressione di Wood [0-1]: 1
 - Valore Applicato: 0.30024
 - Selected: Manuale (Carichi Esterni)
 - Comportamento Paratia: Flessibile (usa k_h) (selected)
 - Metodo: Mononobe-Okabe (selected)
 - Metodo: Wood, Semirigido (unselected)
 - B : 0.315
 - Correlazione $\alpha_1 - \alpha_2$: $\alpha_1 = 1.6$, $\alpha_2 = 0.4$

Buttons at the bottom: Applica, OK, Annulla.

14 TRATTO SU PALI - RISULTATI

14.1 FASI DI CALCOLO

Segue la rappresentazione grafica delle singole fasi di calcolo precedentemente descritte.

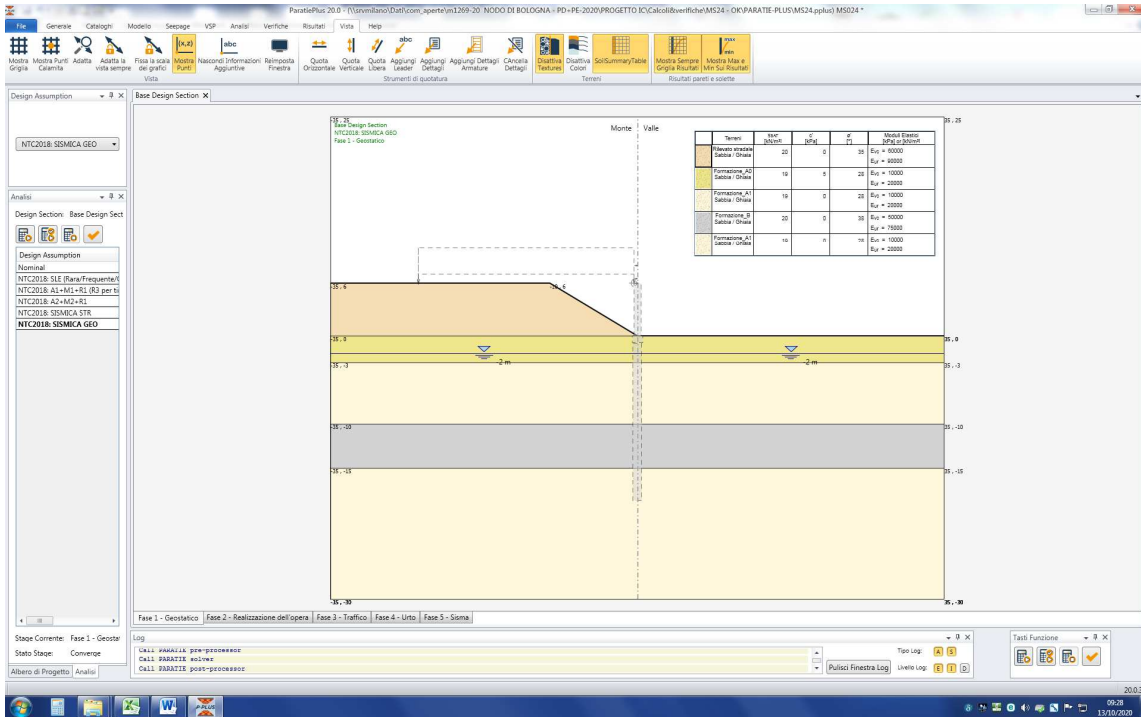


Figura n. 14.1 – Inizializzazione degli sforzi

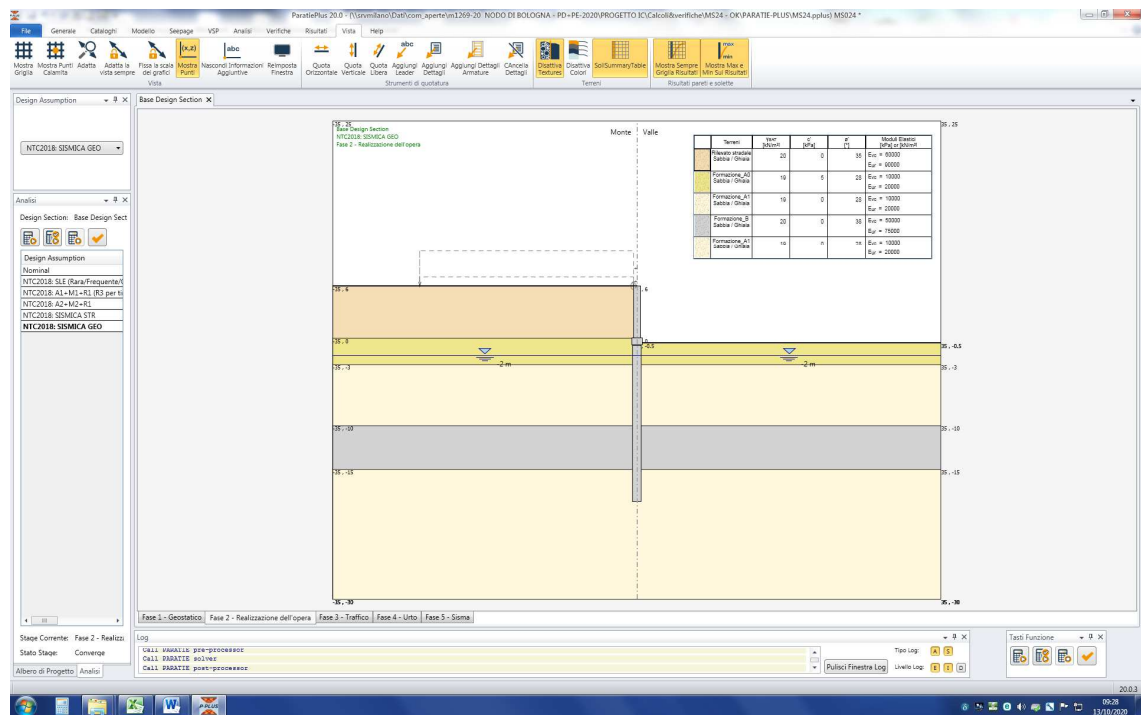


Figura n. 14.2 – Realizzazione dell'opera di sostegno

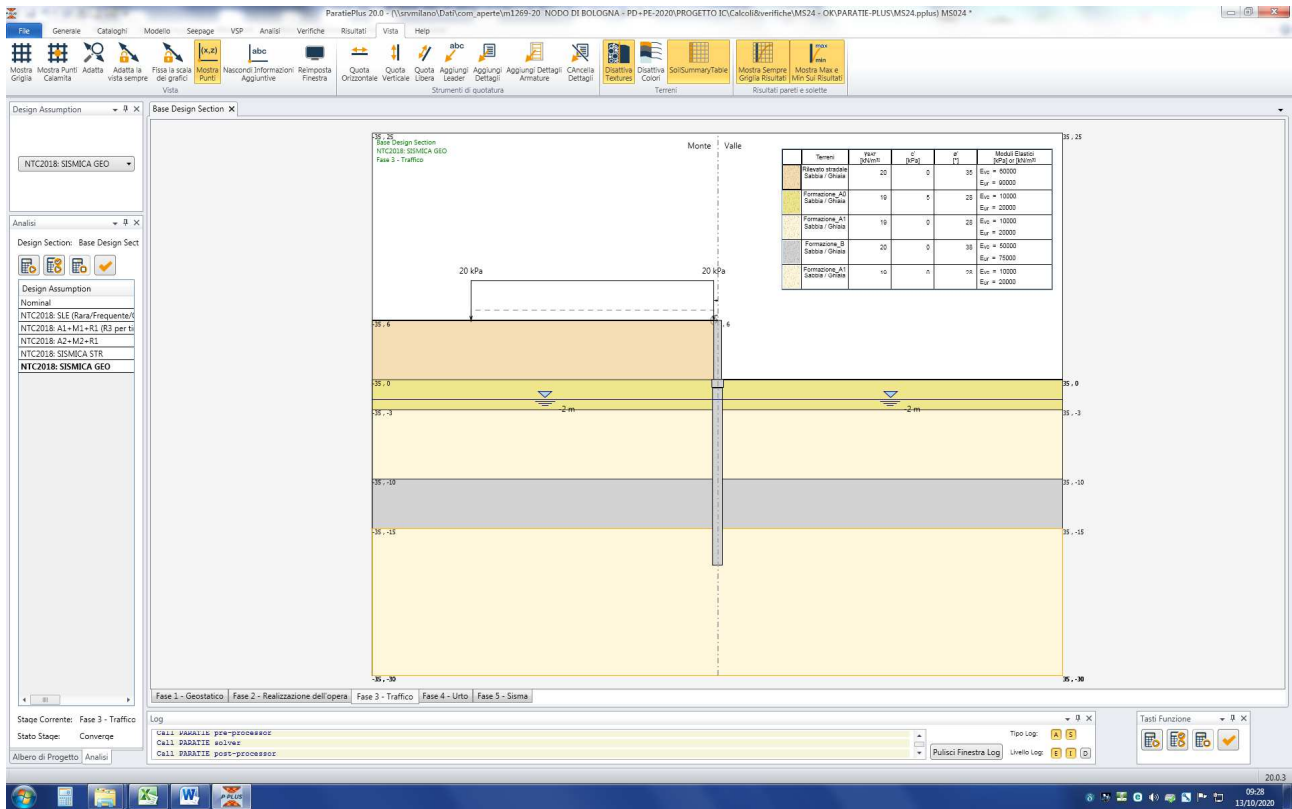


Figura n. 14.3 – C.d.C. 1 – Traffico

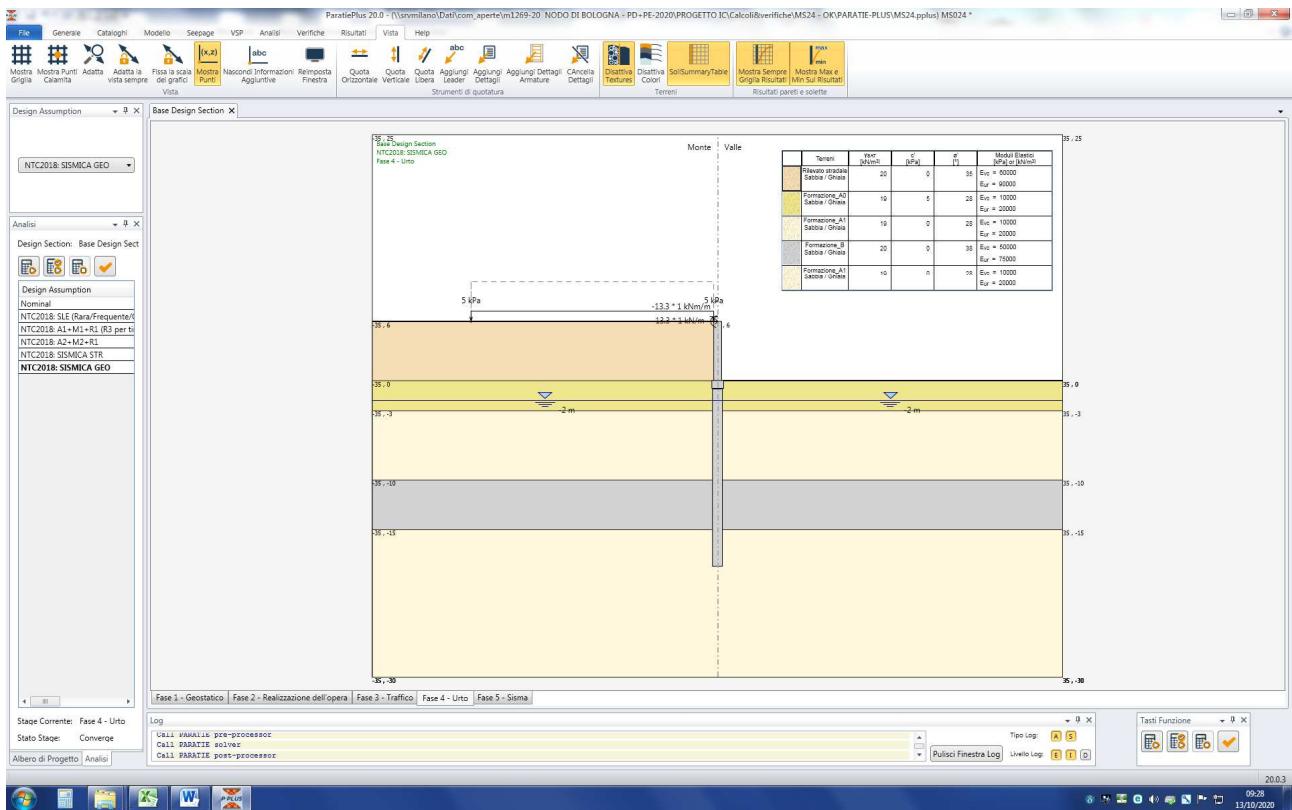


Figura n. 14.4 – C.d.C. 2 – Urto per svio

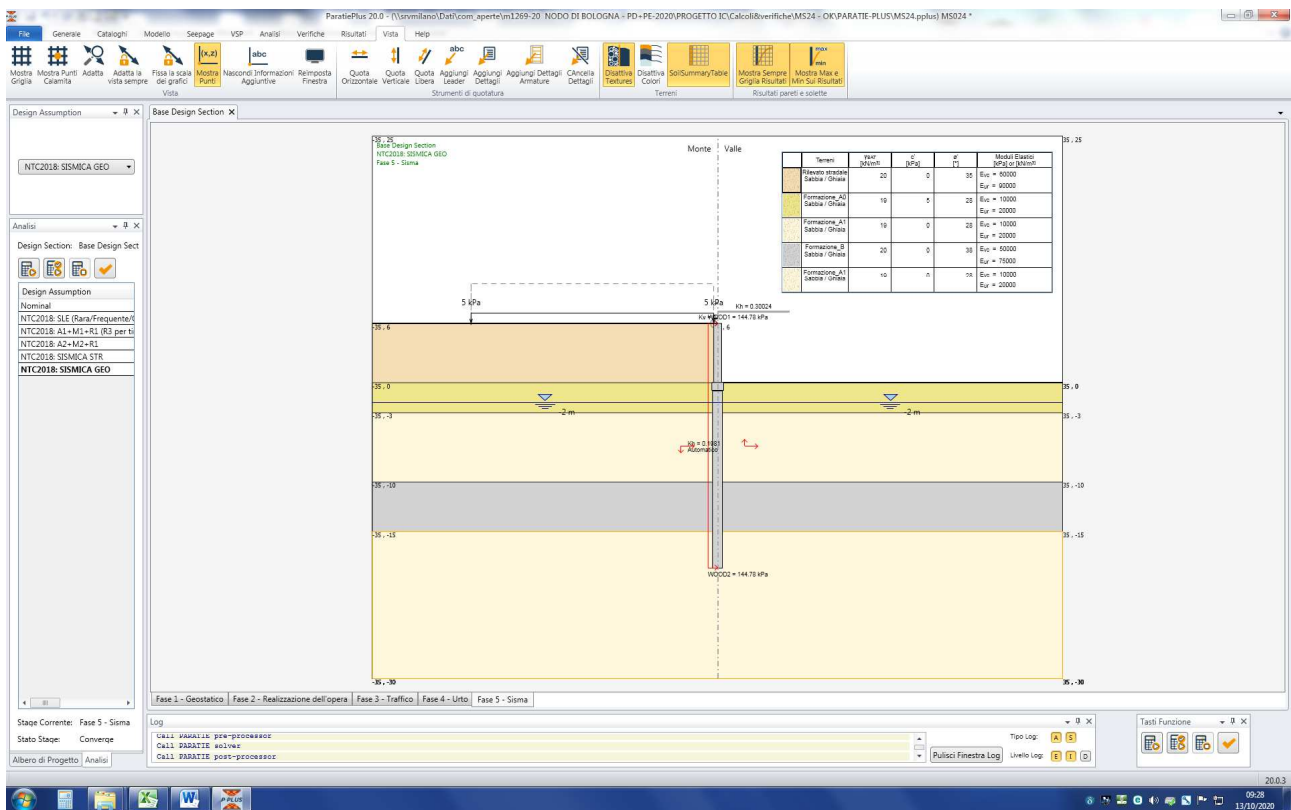


Figura n.14.5 – C.d.C. 3 – Sisma

14.2 SPOSTAMENTI

Nelle seguenti figure è illustrato l'andamento degli spostamenti nelle combinazioni di carico più gravosa in esercizio (FASE 4) e a fine costruzione (FASE 2).

Si osserva che (vedere anche §5.6):

- lo spostamento in esercizio (calcolato come differenza tra lo spostamento massimo e lo spostamento a fine costruzione) risulta pari a 80mm – 74mm = **6mm inferiore a 0.5%** dell'altezza del muro.
- lo spostamento totale massimo compresa la deformazione in fase di costruzione ($s_{max} = 80mm$ – FASE 4) risulta **inferiore all'1.5%** dell'altezza del muro.

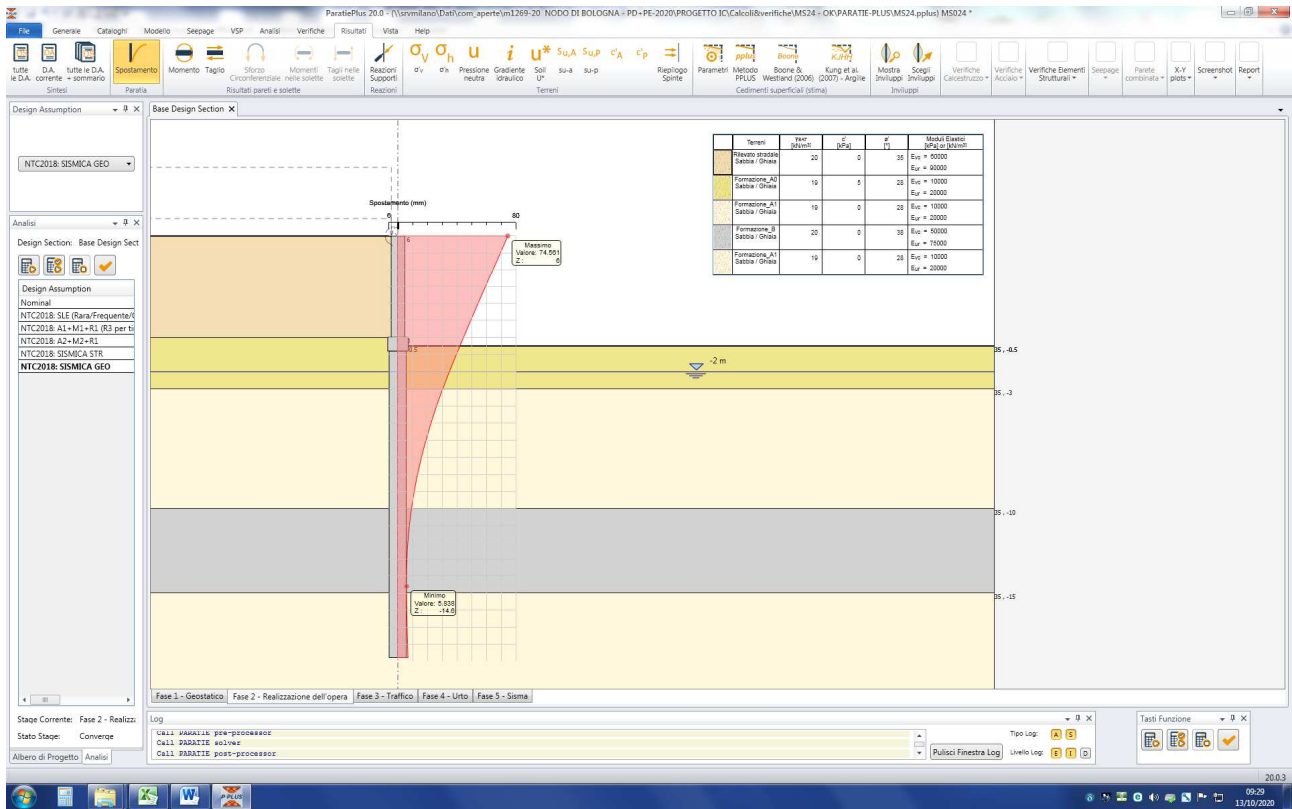


Figura n. 14.6 – Spostamenti a fine costruzione

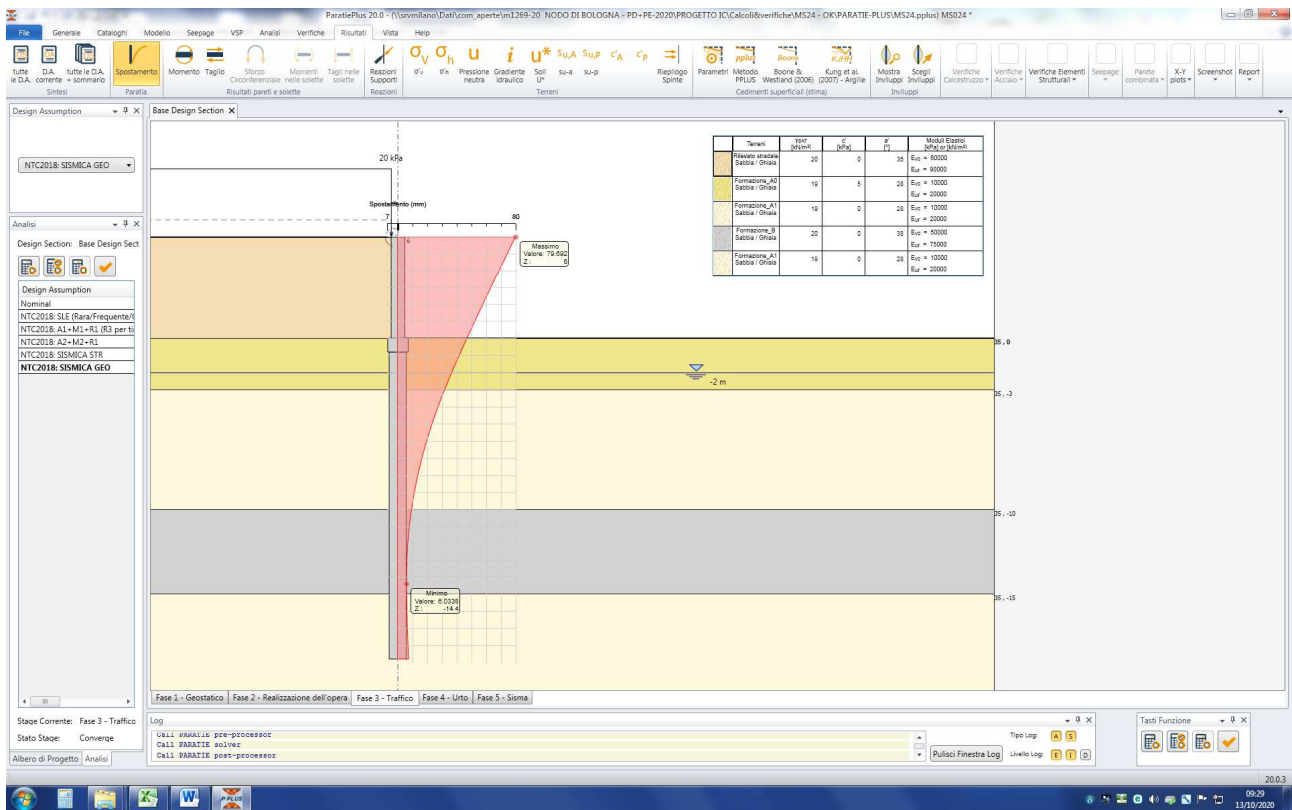


Figura n. 14.7 – Spostamenti C.d.C 1

14.3 PALI DI FONDAZIONE - AZIONI INTERNE

Nelle successive figure sono illustrati i grafici di involuppo delle azioni interne (momento flettente e taglio) calcolate nei pali di fondazione per differenti verifiche (SLE, SLU e SLV). Si rammenta che le azioni sono **esprese per metro lineare di paratia**.

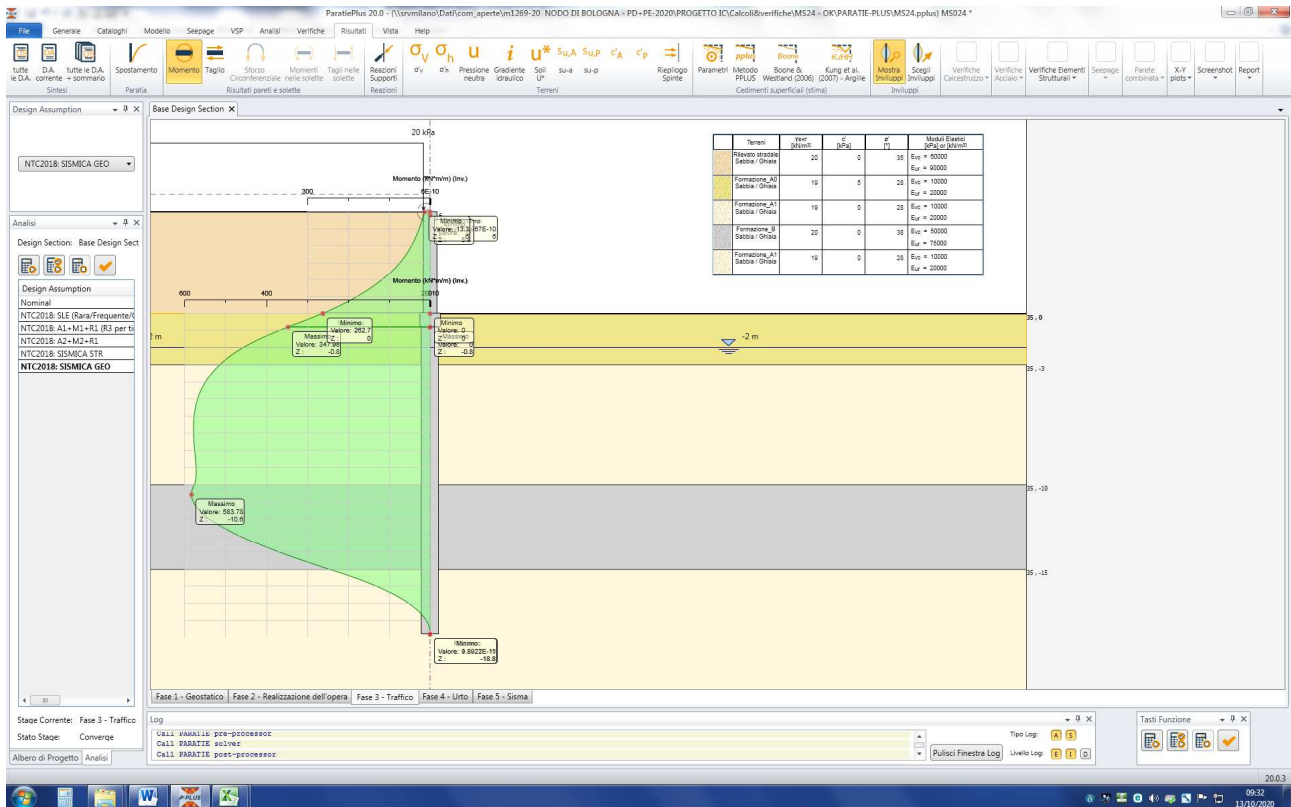


Figura n. 14.8 – Momento flettente - Involuppo SLE-QP

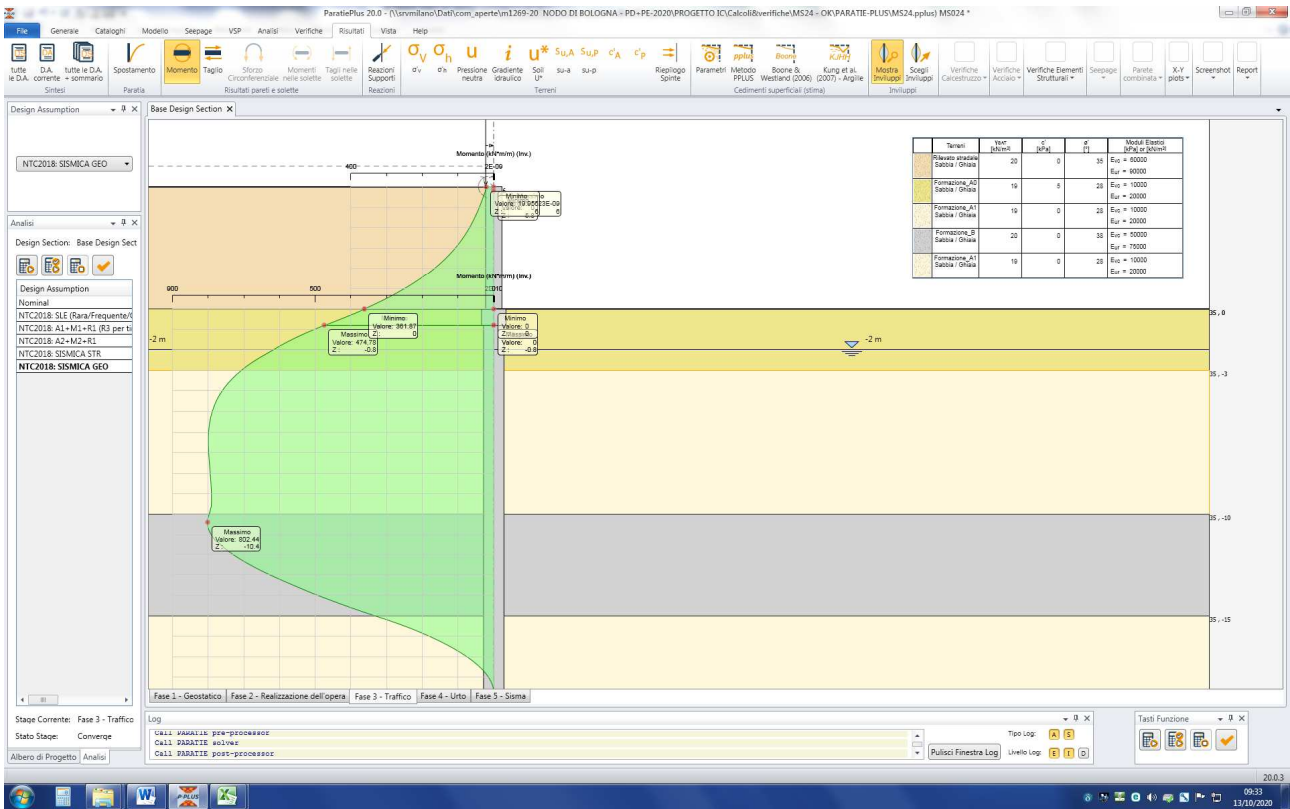


Figura n.14.9 – Momento flettente - Involuppo SLU

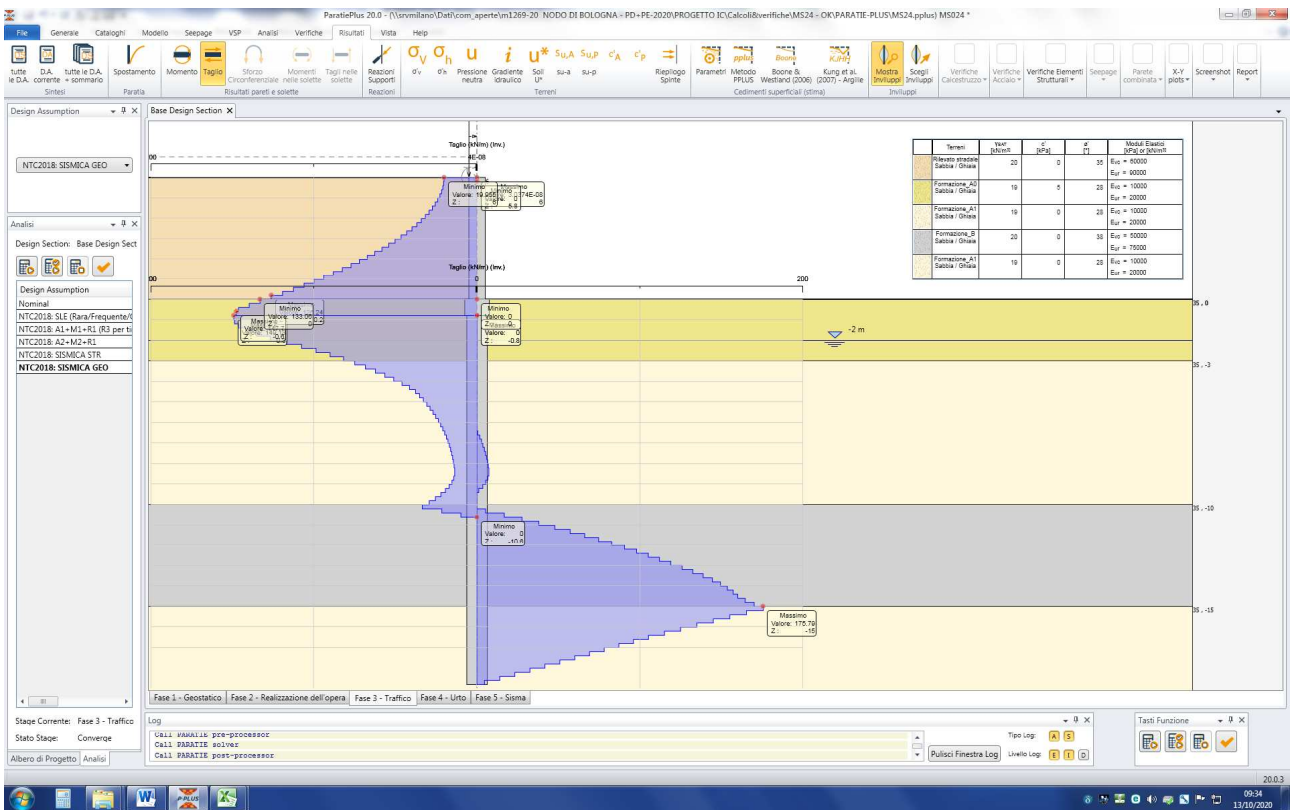


Figura n. 14.10 – Azione di taglio - Involuppo SLU

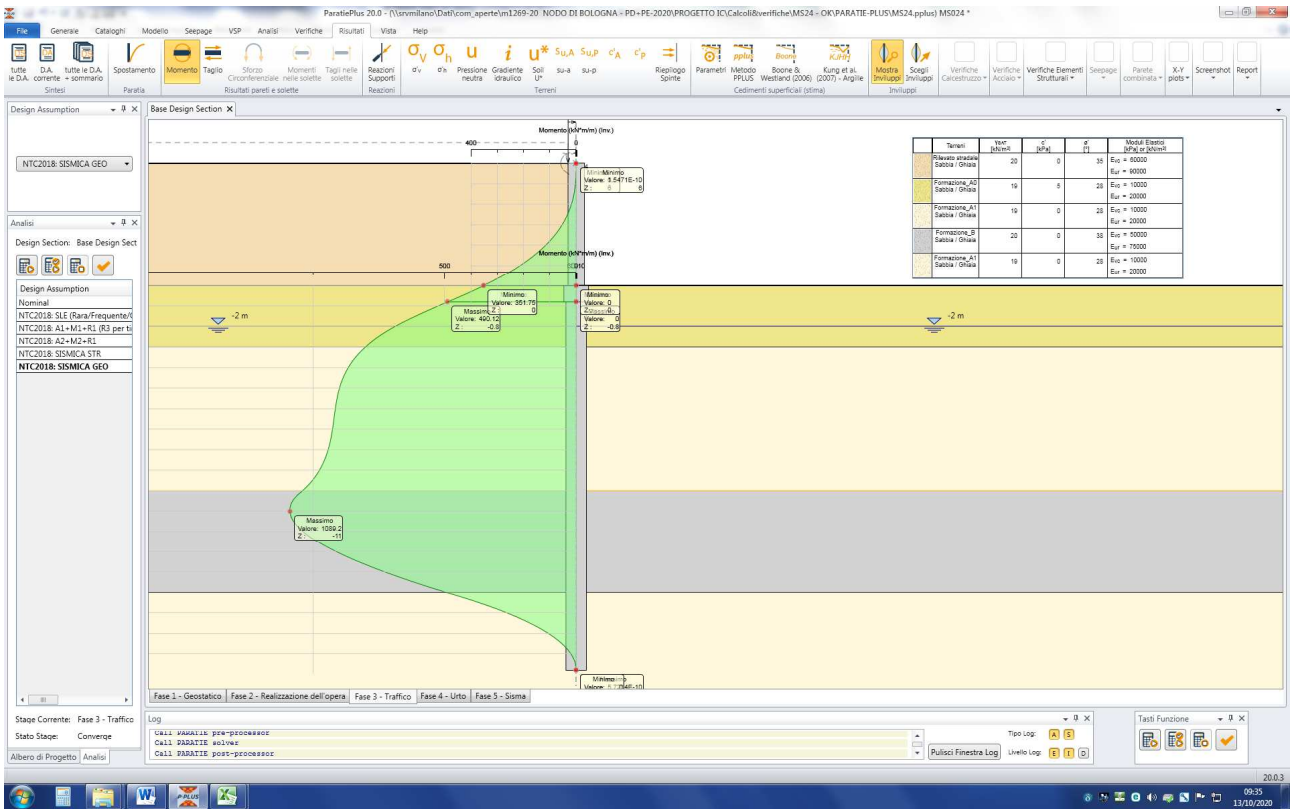


Figura n. 14.11 – Momento flettente - Involuppo SLV

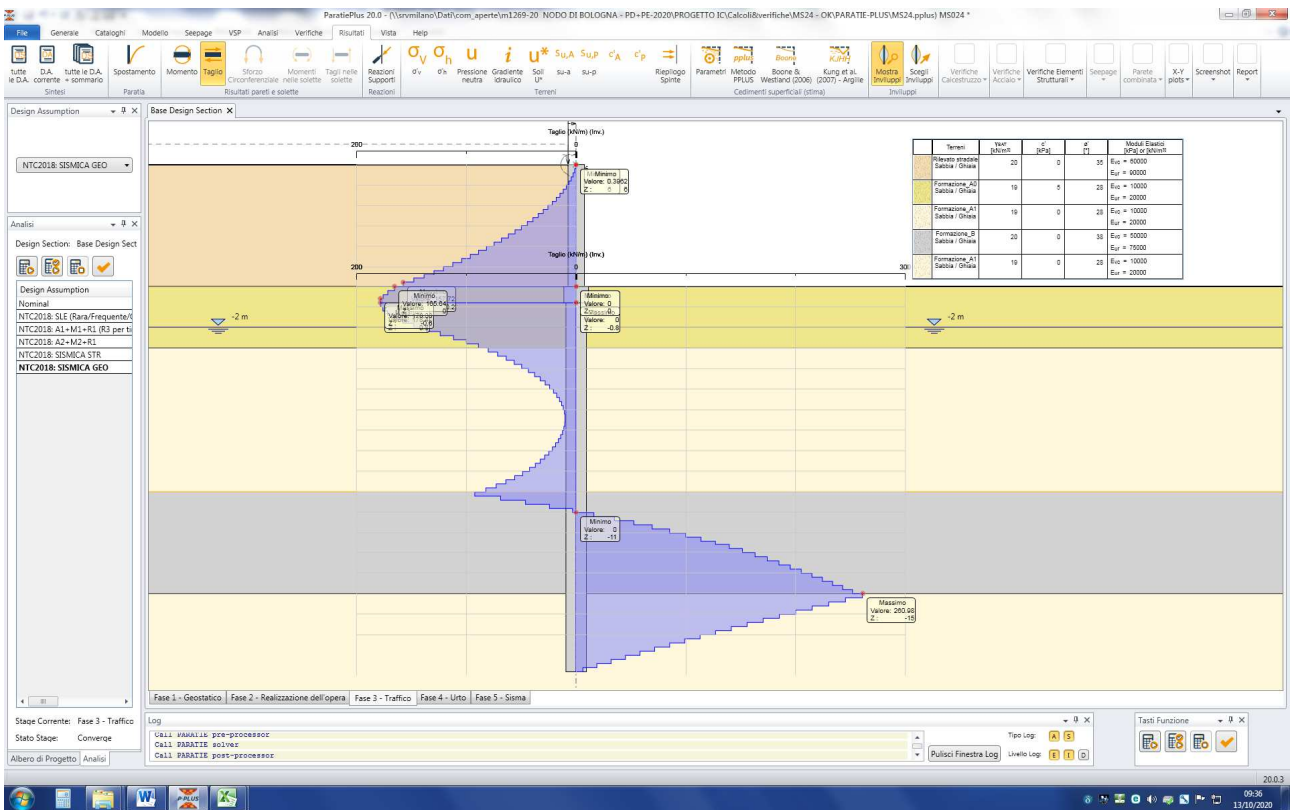


Figura n. 14.12 – Azione di taglio - Involuppo SLV

14.4 SOPRALZO - AZIONI INTERNE

Nelle successive figure sono illustrati i grafici di involuppo delle azioni interne (momento flettente e taglio) calcolate nel sopralzo per differenti verifiche (SLE, SLU e SLV). Si rammenta che le azioni sono **esprese per metro lineare di paratia**.

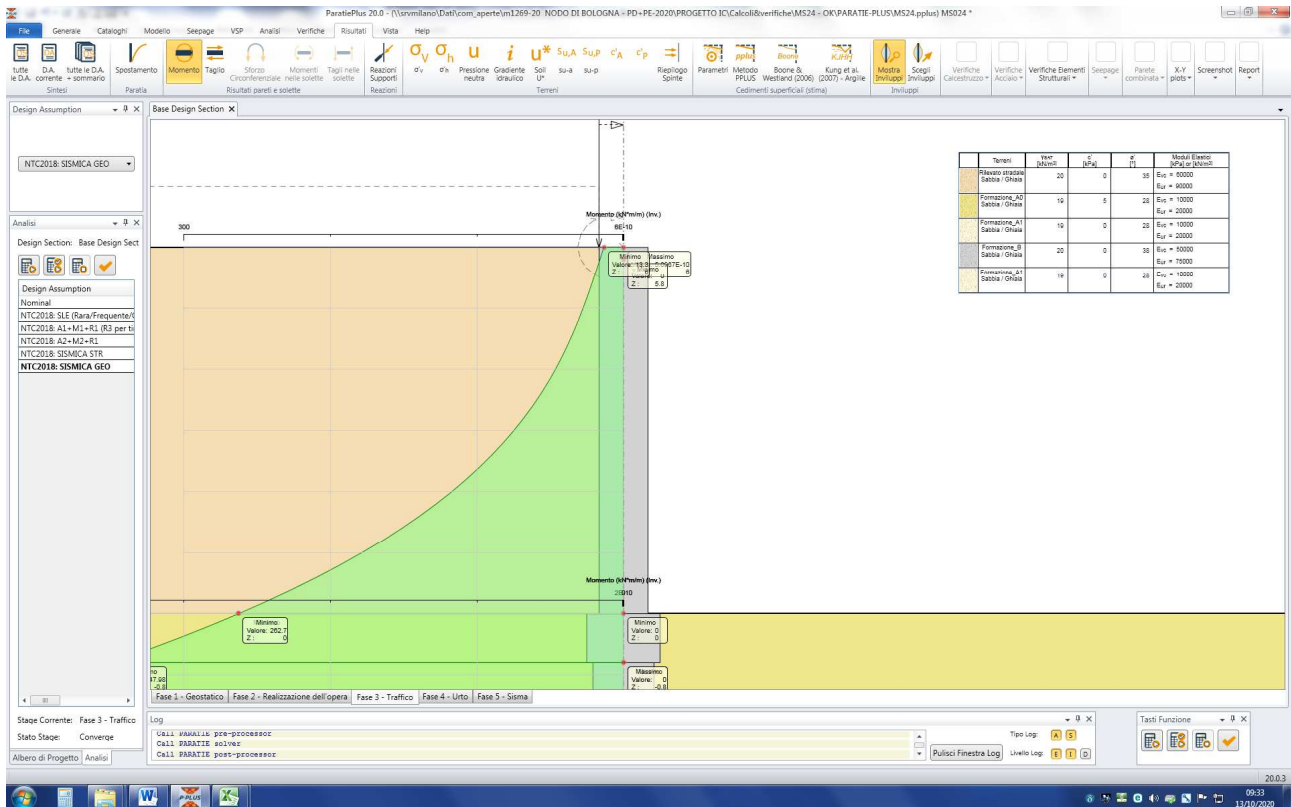


Figura n. 14.13 – Momento flettente - Involuppo SLE-QP

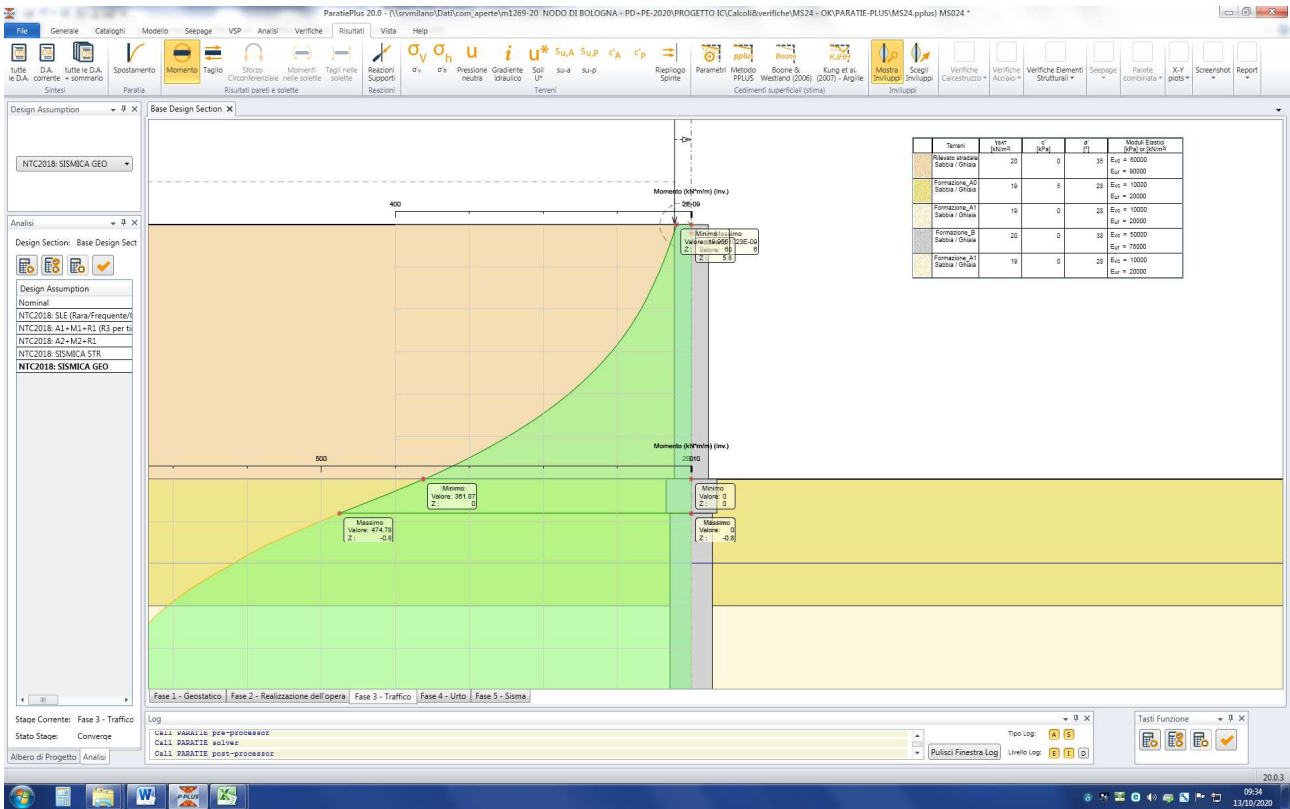


Figura n. 14.14 – Momento flettente - Involuppo SLU

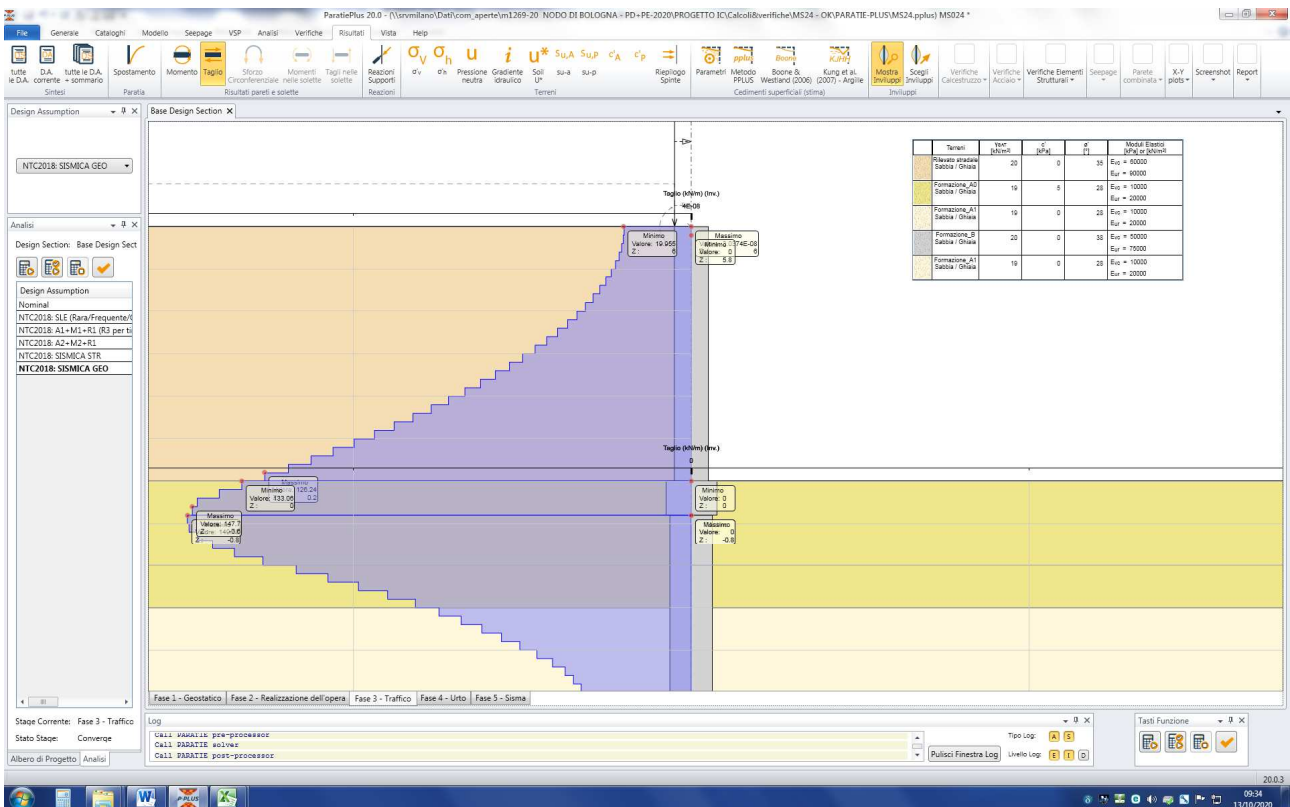


Figura n. 14.15 – Azione di taglio - Involuppo SLU

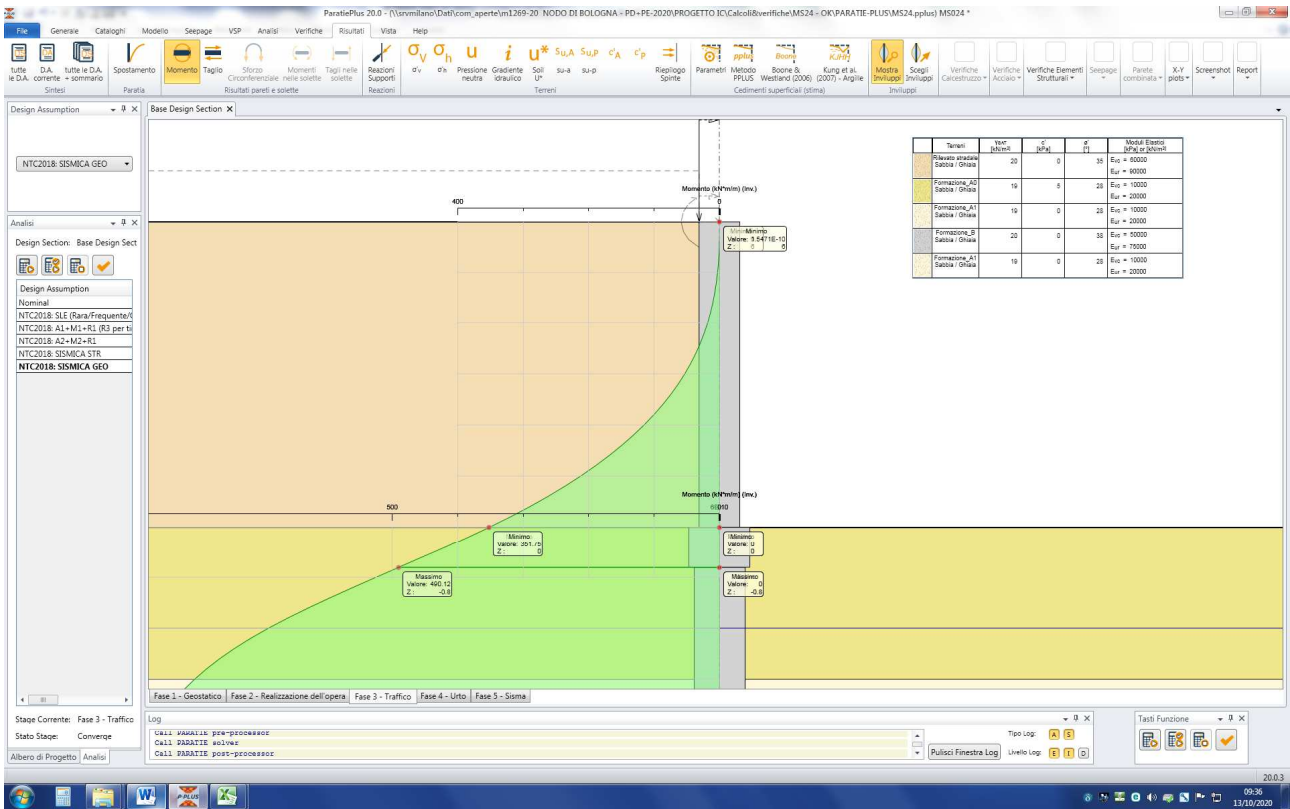


Figura n. 14.16 – Momento flettente - Involuppo SLV

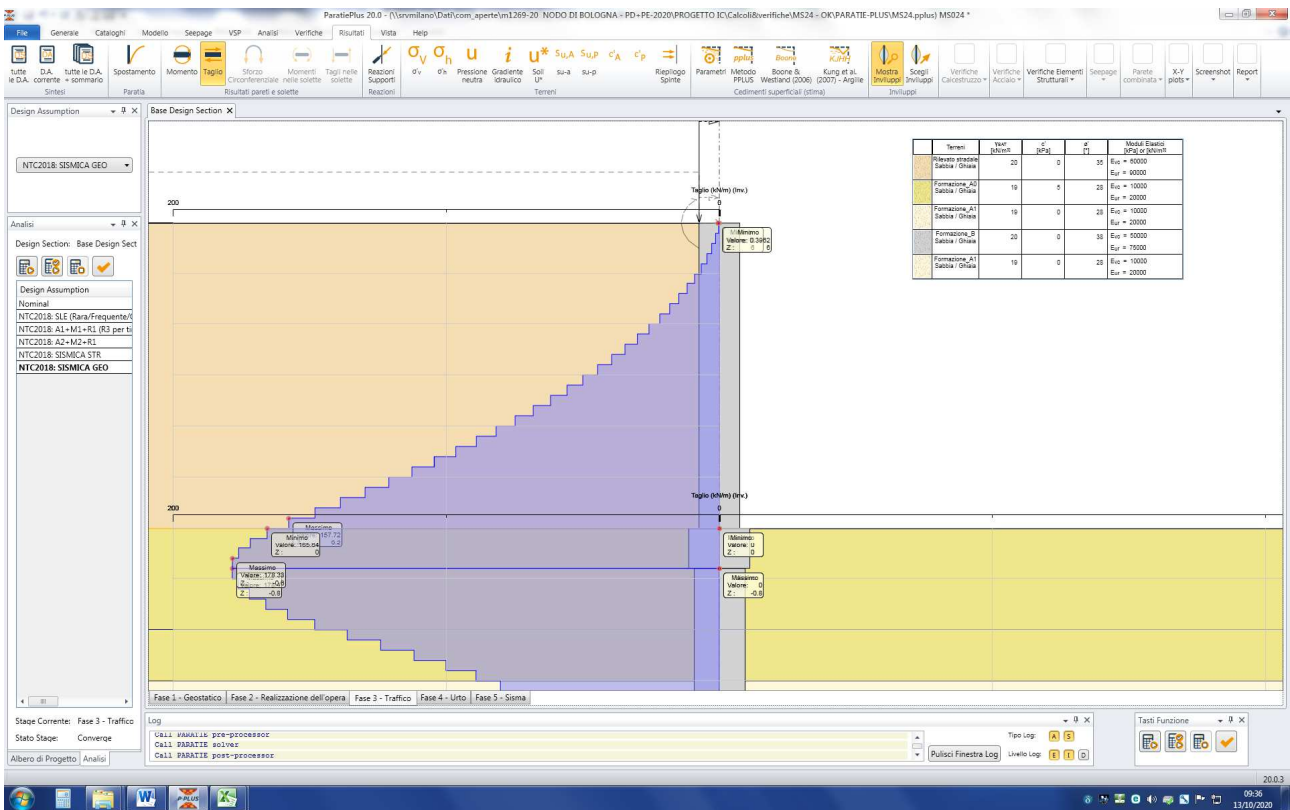


Figura n. 14.17 – Azione di taglio - Involuppo SLV

14.5 SINTESI AZIONI INTERNE

Nella tabella n.8.1 di cui al seguito sono, infine, riassunti i valori di "design", calcolati tenendo conto dell'interasse dei pali, nella sezione di momento massimo e di taglio massimo per differenti verifiche (SLE, SLU e SLV). Si rammenta che le azioni sono **esprese per metro lineare** di paratia.

MS024

Interasse pali = 1.20 m
Diametro pali = 1.00 m
Altezza soprizzo = 6.00 m
Spessore soprizzo = 0.80 m
Testa palo = -0.80 m da p.c.

ANALISI	SEZIONE	z (m da p.c.)	z (m da t.p.)	AZIONE	PALI		SPICCATO SOPRALZO
					CALCOLO PARATIE (a ml)	VALORI DI DESIGN (a palo)	VALORI DI DESIGN
SLE	SEZIONE DI MOMENTO MASSIMO	10.6	9.8	M (kNm)	584	701	263
				V (kN)	7	8	100
				N (kN)		352	120
SLU	SEZIONE DI MOMENTO MASSIMO	10.4	9.6	M (kNm)	802	962	362
				V (kN)	21	25	133
				N (kN)		348	120
	SEZIONE DI TAGLIO MASSIMO	15.0	14.2	M (kNm)	320	384	362
				V (kN)	175	210	133
				N (kN)		439	120
SLV	SEZIONE DI MOMENTO MASSIMO	11.0	10.2	M (kNm)	1089	1307	352
				V (kN)	0	0	166
				N (kN)		360	120
	SEZIONE DI TAGLIO MASSIMO	15.0	14.2	M (kNm)	490	588	352
				V (kN)	261	313	166
				N (kN)		439	120

Tabella n. 14.1 – Azioni di design

15 TRATTO SU PALI - VERIFICHE

15.1 VERIFICA DELL'IMMORSAMENTO DEI PALI

Si riportano di seguito i valori della percentuale di mobilitazione della spinta passiva calcolata nelle condizioni più sfavorevoli SLU-GEO e SISMA. Si osserva che sono rispettati i limiti di cui al §5.4.

Massimi rapporti di mobilitazione spinta passiva fase statica

Result Title :Wall <Left Wall>

STAGE THRUST_RATIO [--]

1	0.124
2	0.236
3	0.234
4	0.230

Massimi rapporti di mobilitazione spinta passiva fase sismica

Result Title :Wall <Left Wall>

STAGE THRUST_RATIO [--]

5	0.387
---	-------

15.2 VERIFICA STRUTTURALE DEI PALI

Si dispongono **25φ26** con spirale φ12 passo 15cm. Si verifica la sezioni imponendo un comportamento non dissipativo.

Segue tabulato di calcolo.

DATI GENERALI SEZIONE RETTANGOLARE DI PILASTRO IN C.A.

NOME SEZIONE: Palo-DN1000

Descrizione Sezione:	
Metodo di calcolo resistenza:	Resistenze in campo sostanzialmente elastico
Normativa di riferimento:	N.T.C.
Tipologia sezione:	Sezione predefinita di Palo
Forma della sezione:	Circolare
Percorso sollecitazione:	A Sforzo Norm. costante
Condizioni Ambientali:	Poco aggressive
Riferimento Sforzi assegnati:	Assi x,y principali d'inerzia

CARATTERISTICHE DI RESISTENZA DEI MATERIALI IMPIEGATI

CALCESTRUZZO -	Classe:	C25/30	
	Resistenza compress. di progetto fcd:	14.16	MPa
	Resistenza compress. ridotta fcd':	7.080	MPa
	Deform. unitaria max resistenza ec2:	0.0020	
	Deformazione unitaria ultima ecu:	0.0035	
	Diagramma tensioni-deformaz.:	Parabola-Rettangolo	
	Modulo Elastico Normale Ec:	31475.0	MPa
	Resis. media a trazione fctm:	2.560	MPa
	Coeff.Omogen. S.L.E.:	15.00	
	Sc limite S.L.E. comb. Rare:	15.000	MPa
ACCIAIO -	Tipo:	B450C	
	Resist. caratt. a snervamento fyk:	450.00	MPa
	Resist. caratt. a rottura ftk:	450.00	MPa

Resist. a snerv. di progetto fyd:	391.30	MPa
Resist. ultima di progetto ftd:	391.30	MPa
Deform. ultima di progetto Epu:	0.068	
Modulo Elastico Ef:	200000.0	MPa
Diagramma tensioni-deformaz.:	Bilineare finito	
Coeff. Aderenza istant. $\beta_1 \cdot \beta_2$:	1.00	
Coeff. Aderenza differito $\beta_1 \cdot \beta_2$:	0.50	
Comb.Rare - Sf Limite:	360.00	MPa

CARATTERISTICHE GEOMETRICHE ED ARMATURE SEZIONE

Diametro sezione:	100.0	cm
Barre circonferenza:	25Ø26	(132.7 cm ²)
Coprif. (dal baric. barre):	10.5	cm

CALCOLO DI RESISTENZA - SFORZI PER OGNI COMBINAZIONE ASSEGNATA

N	Sforzo normale [kN] applicato nel baricentro (posit. se di compress.)
Mx	Momento flettente [kNm] intorno all'asse x baric. della sezione con verso positivo se tale da comprimere il lembo sup. della sezione
Vy	Taglio [kN] in direzione parallela all'asse Y del riferim. generale
MT	Momento torcente [kN m]

N°Comb.	N	Mx	Vy	MT
1	348.00	962.00	25.00	0.00
2	439.00	384.00	210.00	0.00
3	360.00	1307.00	0.00	0.00
4	439.00	588.00	313.00	0.00

COMB. RARE (S.L.E.) - SFORZI PER OGNI COMBINAZIONE ASSEGNATA

N	Sforzo normale [kN] applicato nel baricentro (positivo se di compress.)
Mx	Coppia [kNm] applicata all'asse x baricentrico (tra parentesi il Momento di fessurazione) con verso positivo se tale da comprimere il lembo superiore della sezione

N°Comb.	N	Mx
1	352.00	701.00

RISULTATI DEL CALCOLO

Sezione verificata per tutte le combinazioni assegnate

Copriferro netto minimo barre longitudinali:	9.2	cm
Interfero netto minimo barre longitudinali:	7.3	cm
Copriferro netto minimo staffe:	8.0	cm

VERIFICHE DI RESISTENZA IN PRESSO-TENSO FLESSIONE ALLO STATO LIMITE SOSTANZIALMENTE ELASTICO

Ver	S = combinazione verificata / N = combin. non verificata
N	Sforzo normale baricentrico assegnato [kN] (positivo se di compressione)
Mx	Momento flettente assegnato [kNm] riferito all'asse x baricentrico
N Ult	Sforzo normale alla massima resistenza [kN] nella sezione (positivo se di compress.)
Mx re	Momento resistente sostanzialmente elastico [kNm] riferito all'asse x baricentrico
Mis.Sic.	Misura sicurezza = rapporto vettoriale tra (N re, Mx re) e (N, Mx) Verifica positiva se tale rapporto risulta ≥ 1.000
Yn	Ordinata [cm] dell'asse neutro alla massima resistenza nel sistema di rif. X,Y,O sez.
x/d	Rapp. di duttilità (travi e solette) [§ 4.1.2.1.2.1 NTC]: deve essere < 0.45
C.Rid.	Coeff. di riduz. momenti in travi continue [formula (4.1.1)NTC]

N°Comb	Ver	N	Mx	N re	Mx re	Mis.Sic.	Yn	x/d	C.Rid.	
1	S	348.00	962.00			1.383	13.4	0.41	0.95	79.6 (15.7)
2	S	439.00	384.00			3.523	13.0	0.41	0.96	79.6 (15.7)
3	S	360.00	1307.00			1.020	13.4	0.41	0.95	79.6 (15.7)
4	S	439.00	588.00			2.301	13.0	0.41	0.96	79.6 (15.7)

DEFORMAZIONI UNITARIE ALLO STATO LIMITE SOSTANZIALMENTE ELASTICO

ec max	Deform. unit. massima del conglomerato a compressione
Yc max	Ordinata in cm della fibra corrisp. a ec max (sistema rif. X,Y,O sez.)
es min	Deform. unit. minima nell'acciaio (negativa se di trazione)
Ys min	Ordinata in cm della barra corrisp. a es min (sistema rif. X,Y,O sez.)
es max	Deform. unit. massima nell'acciaio (positiva se di compressione)
Ys max	Ordinata in cm della barra corrisp. a es max (sistema rif. X,Y,O sez.)

N°Comb	ec max	Yc max	es min	Ys min	es max	Ys max
1	0.00135	50.0	0.00096	39.5	-0.00196	-39.5
2	0.00138	50.0	0.00099	39.5	-0.00196	-39.5
3	0.00136	50.0	0.00097	39.5	-0.00196	-39.5
4	0.00138	50.0	0.00099	39.5	-0.00196	-39.5

ARMATURE A TAGLIO E/O TORSIONE DI INVILUPPO PER LE COMBINAZIONI ASSEGNATE

Diametro staffe:	12	mm	
Passo staffe:	15.0	cm	[Passo massimo di normativa = 20.8 cm]
N.Bracci staffe:	2		
Area staffe/m :	15.1	cm ² /m	[Area Staffe Minima NTC = 2.7 cm ² /m]

VERIFICHE A TAGLIO

Ver	S = comb.verificata a taglio-tors./ N = comb. non verificata
Ved	Taglio agente [kN] uguale al taglio Vy di comb. (sollecit. retta)
Vrd	Taglio resistente [kN] in assenza di staffe [formula (4.1.23)NTC]
Vcd	Taglio compressione resistente [kN] lato conglomerato [formula (4.1.28)NTC]
Vwd	Taglio trazione resistente [kN] assorbito dalle staffe [formula (4.1.27)NTC]
bw d	Larghezza minima [cm] sezione misurata parallelam. all'asse neutro Altezza utile sezione
Ctg	Cotangente dell'angolo di inclinazione dei puntoni di conglomerato
Acw	Coefficiente maggiorativo della resistenza a taglio per compressione
Ast	Area staffe/metro strettamente necessaria per taglio e torsione [cm ² /m]

N°Comb	Ver	Ved	Vrd	Vcd	Vwd	bw d	Ctg	Acw	ASt
1	S	25.00	0.00	1442.90	937.75	90.2 75.0	2.500	1.031	0.4
2	S	210.00	0.00	1449.85	935.21	90.1 75.0	2.500	1.039	3.4
3	S	0.00	0.00	2093.52	374.96	90.1 75.0	1.000	1.032	0.0
4	S	313.00	0.00	1449.85	935.21	90.1 75.0	2.500	1.039	5.0

COMBINAZIONI RARE IN ESERCIZIO - VERIFICA MASSIME TENSIONI NORMALI

Ver	S = combinazione verificata / N = combin. non verificata
Sc max	Massima tensione di compress.(+) nel conglom. in fase fessurata ([Mpa])
Yc max	Ordinata in cm della fibra corrisp. a Sc max (sistema rif. X,Y,O)
Sc min	Minima tensione di compress.(+) nel conglom. in fase fessurata ([Mpa])
Yc min	Ordinata in cm della fibra corrisp. a Sc min (sistema rif. X,Y,O)
Sf min	Minima tensione di trazione (-) nell'acciaio [Mpa]
Ys min	Ordinata in cm della barra corrisp. a Sf min (sistema rif. X,Y,O)
Dw Eff.	Spessore di conglomerato [cm] in zona tesa considerata aderente alle barre
Ac eff.	Area di congl. [cm ²] in zona tesa aderente alle barre (verifica fess.)
As eff.	Area Barre tese di acciaio [cm ²] ricadente nell'area efficace(verifica fess.)

N°Comb	Ver	Sc max	Yc max	Sc min	Yc min	Sf min	Ys min	Dw Eff.	Ac Eff.	As Eff.	D barre
1	S	8.76	-50.0	0.00	50.0	-186.3	39.2	26.3	2859	58.4	---

COMBINAZIONI RARE IN ESERCIZIO - VERIFICA APERTURA FESSURE (NTC/EC2)

Ver	Esito verifica
e1	Minima deformazione unitaria (trazione: segno -) nel calcestruzzo in sez. fessurata
e2	Massima deformazione unitaria (compress.: segno +) nel calcestruzzo in sez. fessurata
K2	= 0.5 per flessione; =(e1 + e2)/(2*e2)in trazione eccentrica per la (7.13)EC2 e la (C4.1.11)NTC
Kt	fattore di durata del carico di cui alla (7.9) dell'EC2
e sm	Deformazione media acciaio tra le fessure al netto di quella del cls. Tra parentesi il valore minimo = 0.6 Ss/Es

srm Distanza massima in mm tra le fessure
wk Apertura delle fessure in mm fornito dalla (7.8)EC2 e dalla (C4.1.7)NTC. Tra parentesi è indicato il valore limite.
M fess. Momento di prima fessurazione [kNm]

N°Comb	Ver	e1	e2	e3	K2	Kt	e sm	srm	wk	M Fess.
1	S	-0.00112	0.00066		0.50	0.60	0.000559 (0.000559)	529	0.296 (990.00)	354.20

15.3 VERIFICA STRUTTURALE DEL SOPRALZO

Si documenta la verifica strutturale dell'elevazione svolta in corrispondenza della sezione più gravosa (spiccato da trave di collegamento pali). Si dispongono **10φ16 (lato terra) + 10φ12 (lato valle)**. Si verifica la sezioni imponendo un comportamento non dissipativo.

Segue tabulato di calcolo.

DATI GENERALI SEZIONE RETTANGOLARE DI PILASTRO IN C.A.

NOME SEZIONE: Sopralzo

Descrizione Sezione:	
Metodo di calcolo resistenza:	Resistenze in campo sostanzialmente elastico
Normativa di riferimento:	N.T.C.
Tipologia sezione:	Sezione predefinita di trave (solette, nervature solai) senza staffe
Forma della sezione:	Rettangolare
Percorso sollecitazione:	A Sforzo Norm. costante
Condizioni Ambientali:	Poco aggressive
Riferimento Sforzi assegnati:	Assi x,y principali d'inerzia

CARATTERISTICHE DI RESISTENZA DEI MATERIALI IMPIEGATI

CALCESTRUZZO -	Classe:	C30/37
	Resistenza compress. di progetto fcd:	17.00 MPa
	Deform. unitaria max resistenza ec2:	0.0020
	Deformazione unitaria ultima ecu:	0.0035
	Diagramma tensioni-deformaz.:	Parabola-Rettangolo
	Modulo Elastico Normale Ec:	32836.0 MPa
	Resis. media a trazione fctm:	2.900 MPa
	Coeff.Omogen. S.L.E.:	15.00
	Sc limite S.L.E. comb. Rare:	18.000 MPa
ACCIAIO -	Tipo:	B450C
	Resist. caratt. a snervamento fyk:	450.00 MPa
	Resist. caratt. a rottura ftk:	450.00 MPa
	Resist. a snerv. di progetto fyd:	391.30 MPa
	Resist. ultima di progetto ftd:	391.30 MPa
	Deform. ultima di progetto Epu:	0.068
	Modulo Elastico Ef:	200000.0 MPa
	Diagramma tensioni-deformaz.:	Bilineare finito
	Coeff. Aderenza istant. β1*β2:	1.00
	Coeff. Aderenza differito β1*β2:	0.50
Comb.Rare - Sf Limite:	360.00 MPa	

CARATTERISTICHE GEOMETRICHE ED ARMATURE SEZIONE

Base:	100.0	cm
Altezza:	80.0	cm
Barre inferiori:	10Ø16	(20.1 cm²)
Barre superiori:	10Ø12	(11.3 cm²)
Coprif.Inf.(dal baric. barre):	4.8	cm
Coprif.Sup.(dal baric. barre):	4.8	cm
Coprif.Lat. (dal baric.barre):	10.0	cm

CALCOLO DI RESISTENZA - SFORZI PER OGNI COMBINAZIONE ASSEGNATA

N	Sforzo normale [kN] applicato nel baricentro (posit. se di compress.)
Mx	Momento flettente [kNm] intorno all'asse x baric. della sezione con verso positivo se tale da comprimere il lembo sup. della sezione
Vy	Taglio [kN] in direzione parallela all'asse Y del riferim. generale
MT	Momento torcente [kN m]

N°Comb.	N	Mx	Vy	MT
1	120.00	362.00	133.00	0.00
2	120.00	352.00	166.00	0.00

COMB. RARE (S.L.E.) - SFORZI PER OGNI COMBINAZIONE ASSEGNATA

N	Sforzo normale [kN] applicato nel baricentro (positivo se di compress.)
Mx	Coppia [kNm] applicata all'asse x baricentrico (tra parentesi il Momento di fessurazione) con verso positivo se tale da comprimere il lembo superiore della sezione

N°Comb.	N	Mx
1	120.00	263.00

RISULTATI DEL CALCOLO

Sezione verificata per tutte le combinazioni assegnate

Copriferro netto minimo barre longitudinali:	4.0	cm
Interferro netto minimo barre longitudinali:	7.3	cm
Copriferro netto minimo staffe:	4.0	cm

VERIFICHE DI RESISTENZA IN PRESSO-TENSO FLESSIONE ALLO STATO LIMITE SOSTANZIALMENTE ELASTICO

Ver	S = combinazione verificata / N = combin. non verificata
N	Sforzo normale baricentrico assegnato [kN] (positivo se di compressione)
Mx	Momento flettente assegnato [kNm] riferito all'asse x baricentrico
N Ult	Sforzo normale alla massima resistenza [kN] nella sezione (positivo se di compress.)
Mx re	Momento resistente sostanzialmente elastico [kNm] riferito all'asse x baricentrico
Mis.Sic.	Misura sicurezza = rapporto vettoriale tra (N re, Mx re) e (N, Mx) Verifica positiva se tale rapporto risulta >=1.000
Yn	Ordinata [cm] dell'asse neutro alla massima resistenza nel sistema di rif. X,Y,O sez.
x/d	Rapp. di duttilità (travi e solette)[§ 4.1.2.1.2.1 NTC]: deve essere < 0.45
C.Rid.	Coeff. di riduz. momenti in travi continue [formula (4.1.1)NTC]

N°Comb	Ver	N	Mx	N re	Mx re	Mis.Sic.	Yn	x/d	C.Rid.	
1	S	120.00	362.00			1.617	62.4	0.23	0.73	20.1 (12.6)
2	S	120.00	352.00			1.663	62.4	0.23	0.73	20.1 (12.6)

DEFORMAZIONI UNITARIE ALLO STATO LIMITE SOSTANZIALMENTE ELASTICO

ec max	Deform. unit. massima del conglomerato a compressione
Yc max	Ordinata in cm della fibra corrisp. a ec max (sistema rif. X,Y,O sez.)
es min	Deform. unit. minima nell'acciaio (negativa se di trazione)
Ys min	Ordinata in cm della barra corrisp. a es min (sistema rif. X,Y,O sez.)
es max	Deform. unit. massima nell'acciaio (positiva se di compressione)
Ys max	Ordinata in cm della barra corrisp. a es max (sistema rif. X,Y,O sez.)

N°Comb	ec max	Yc max	es min	Ys min	es max	Ys max
1	0.00060	80.0	0.00044	75.2	-0.00196	4.8
2	0.00060	80.0	0.00044	75.2	-0.00196	4.8

VERIFICHE A TAGLIO SENZA ARMATURE TRASVERSALI (§ 4.1.2.1.3.1 NTC)

Ver	S = comb.verificata a taglio/ N = comb. non verificata
Ved	Taglio agente [daN] uguale al taglio Vy di comb. (sollecit. retta)
Vwct	Taglio trazione resistente [kN] in assenza di staffe [formula (4.1.23)NTC]
d	Altezza utile sezione [cm]
bw	Larghezza minima sezione [cm]
Ro	Rapporto geometrico di armatura longitudinale [<0.02]
Scp	Tensione media di compressione nella sezione [Mpa]

N°Comb	Ver	Ved	Vwct	d	bw	Ro	Scp
1	S	133.00	290.72	75.2	100.0	0.0027	0.02
2	S	166.00	290.72	75.2	100.0	0.0027	0.02

COMBINAZIONI RARE IN ESERCIZIO - VERIFICA MASSIME TENSIONI NORMALI

Ver	S = combinazione verificata / N = combin. non verificata
Sc max	Massima tensione di compress.(+) nel conglom. in fase fessurata ([Mpa]
Yc max	Ordinata in cm della fibra corrisp. a Sc max (sistema rif. X,Y,O)
Sc min	Minima tensione di compress.(+) nel conglom. in fase fessurata ([Mpa]
Yc min	Ordinata in cm della fibra corrisp. a Sc min (sistema rif. X,Y,O)
Sf min	Minima tensione di trazione (-) nell'acciaio [Mpa]
Ys min	Ordinata in cm della barra corrisp. a Sf min (sistema rif. X,Y,O)
Dw Eff.	Spessore di conglomerato [cm] in zona tesa considerata aderente alle barre
Ac eff.	Area di congl. [cm ²] in zona tesa aderente alle barre (verifica fess.)
As eff.	Area Barre tese di acciaio [cm ²] ricadente nell'area efficace(verifica fess.)
D barre	Distanza in cm tra le barre tese efficaci. (D barre = 0 indica spaziatura superiore a $5(c+\emptyset/2)$ e nel calcolo di fess. si usa la (C4.1.11)NTC/(7.14)EC2)

N°Comb	Ver	Sc max	Yc max	Sc min	Yc min	Sf min	Ys min	Dw Eff.	Ac Eff.	As Eff.	D barre
1	S	3.92	80.0	0.00	59.9	-161.2	75.2	12.0	1200	20.1	10.0

COMBINAZIONI RARE IN ESERCIZIO - VERIFICA APERTURA FESSURE (NTC/EC2)

Ver	Esito verifica
e1	Minima deformazione unitaria (trazione: segno -) nel calcestruzzo in sez. fessurata
e2	Massima deformazione unitaria (compress.: segno +) nel calcestruzzo in sez. fessurata
K2	= 0.5 per flessione; $=(e1 + e2)/(2 \cdot e2)$ in trazione eccentrica per la (7.13)EC2 e la (C4.1.11)NTC
Kt	fattore di durata del carico di cui alla (7.9) dell'EC2
e sm	Deformazione media acciaio tra le fessure al netto di quella del cls. Tra parentesi il valore minimo = 0.6 Ss/Es
srm	Distanza massima in mm tra le fessure
wk	Apertura delle fessure in mm fornito dalla (7.8)EC2 e dalla (C4.1.7)NTC. Tra parentesi è indicato il valore limite.
M fess.	Momento di prima fessurazione [kNm]

N°Comb	Ver	e1	e2	K2	Kt	e sm	srm	wk	M Fess.
1	S	-0.00088	0.00029	0.50	0.60	0.000484 (0.000484)	298	0.144 (990.00)	380.60

15.4 VERIFICA DI STABILITÀ GLOBALE

In tabella n.15.1 sono riassunti i risultati delle analisi di stabilità in condizioni statiche e sismiche per la configurazione di progetto. Nelle successive figure n.15.1 e 15.2 sono illustrati i risultati ottenuti.

ANALISI		METODO	FIGURA	FS _{min}	VERIFICA
CONFIGURAZIONE FINALE	STATICA	Morghestern con superficie circolare	15.1	4.54	FS _{min} = 4.54 ≥ 1.1 = γ _R
	SISMICA		15.2	1.67	FS _{min} = 1.67 ≥ 1.2 = γ _R

Tabella n.15.1 – Analisi di stabilità – coefficienti di sicurezza

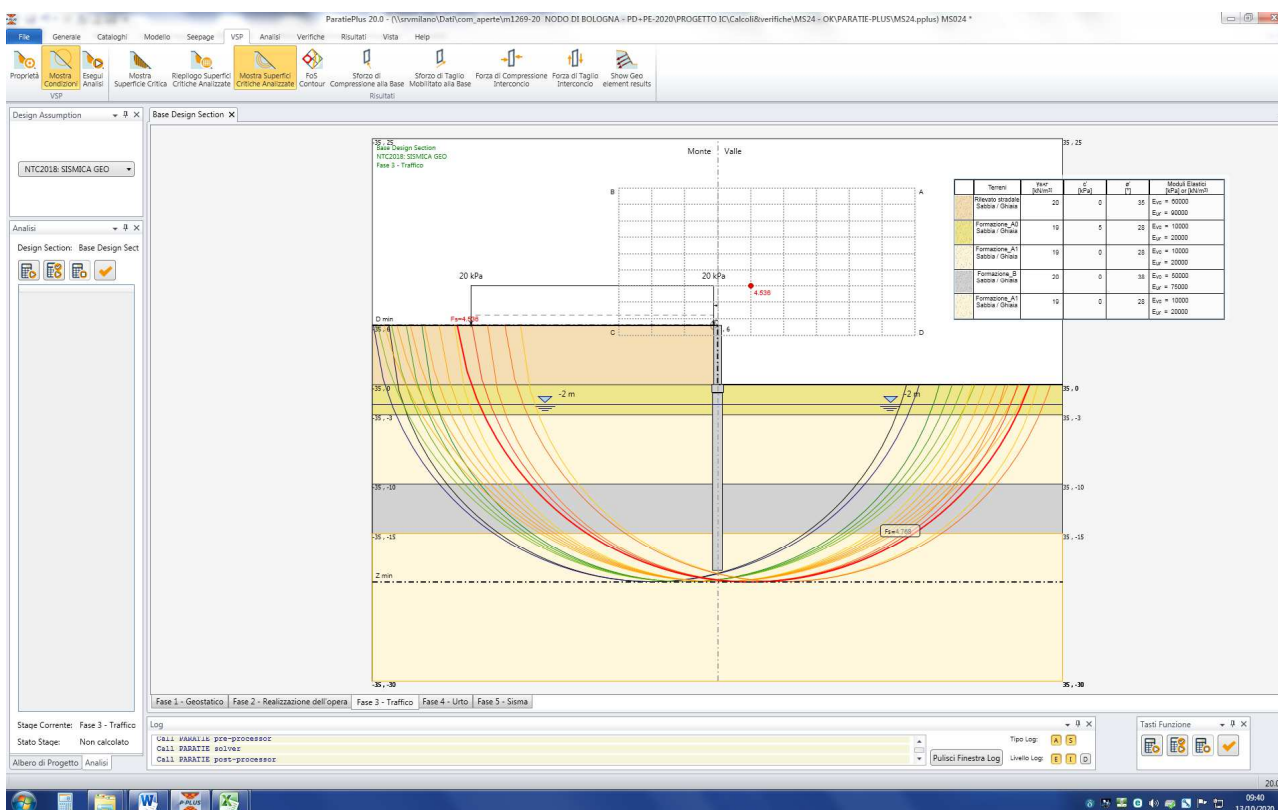


Figura n.15.1 – Analisi di stabilità – Configurazione finale – Verifica statica

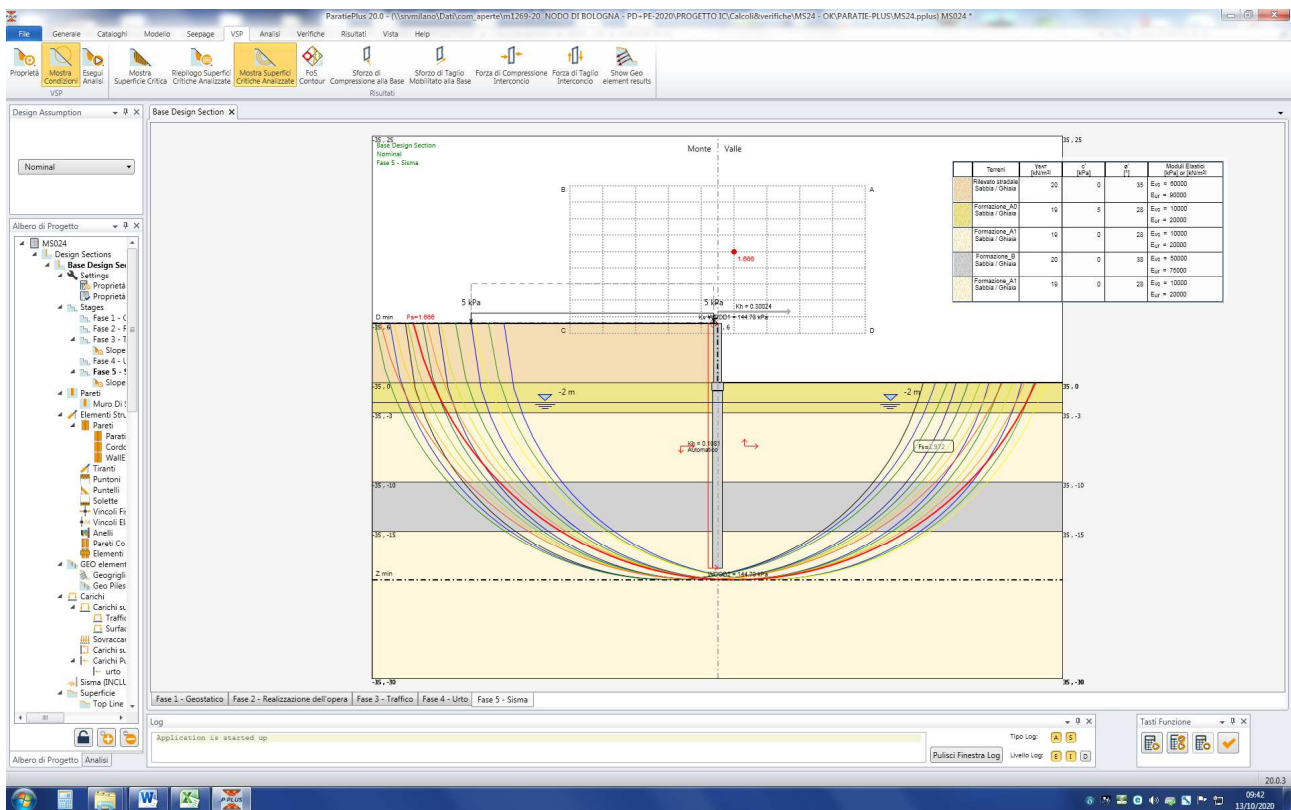


Figura n.15.2 – Analisi di stabilità – Configurazione finale – Verifica sismica

16 ALLEGATO 1 – TABULATO SEZIONE TIPO 1

Dati

Materiali

Simbologia adottata

n°	Indice materiale
Descr	Descrizione del materiale
Calcestruzzo armato	
C	Classe di resistenza del cls
A	Classe di resistenza dell'acciaio
γ	Peso specifico, espresso in [kN/mc]
R_{ck}	Resistenza caratteristica a compressione, espressa in [kPa]
E	Modulo elastico, espresso in [kPa]
ν	Coeff. di Poisson
n	Coeff. di omogenizzazione acciaio/cls
ntc	Coeff. di omogenizzazione cls teso/compresso

Calcestruzzo armato

n°	Descr	C	A	γ [kN/mc]	R_{ck} [kPa]	E [kPa]	ν	n	ntc
1	C32/40	C32/40	B450C	24.5170	40000	33642648	0.30	15.00	0.50
6	C28/35	C28/35	B450C	24.5170	35000	32587986	0.30	15.00	0.50

Acciai

Descr	f_{yk} [kPa]	f_{uk} [kPa]
B450C	450000	540000

Geometria profilo terreno a monte del muro

Simbologia adottata

(Sistema di riferimento con origine in testa al muro, ascissa X positiva verso monte, ordinata Y positiva verso l'alto)

n°	numero ordine del punto
X	ascissa del punto espressa in [m]
Y	ordinata del punto espressa in [m]
A	inclinazione del tratto espressa in [°]

n°	X [m]	Y [m]	A [°]
1	0.00	0.00	0.000
2	12.00	0.00	0.000

Inclinazione terreno a valle del muro rispetto all'orizzontale 0.000 [°]

Falda

Simbologia adottata

(Sistema di riferimento con origine in testa al muro, ascissa X positiva verso monte, ordinata Y positiva verso l'alto)

n°	numero ordine del punto
X	ascissa del punto espressa in [m]
Y	ordinata del punto espressa in [m]
A	inclinazione del tratto espressa in [°]

n°	X [m]	Y [m]	A [°]
1	-8.00	-2.30	0.000
2	10.00	-2.30	0.000
3	12.00	-2.30	0.000

Geometria muro

Geometria paramento e fondazione

Lunghezza muro	1.00	[m]
<u>Paramento</u>		
Materiale	C32/40	
Altezza paramento	1.50	[m]
Altezza paramento libero	1.50	[m]
Spessore in sommità	0.70	[m]
Spessore all'attacco con la fondazione	0.70	[m]
Inclinazione paramento esterno	0.00	[°]
Inclinazione paramento interno	0.00	[°]
<u>Fondazione</u>		
Materiale	C28/35	
Lunghezza mensola di valle	0.50	[m]
Lunghezza mensola di monte	1.70	[m]
Lunghezza totale	2.90	[m]
Inclinazione piano di posa	0.00	[°]
Spessore	0.80	[m]
Spessore magrone	0.00	[m]
<u>Sperone</u>		
Posizione	Monte	
Distanza dal tacco della fondazione	0.00	[m]
Altezza	0.60	[m]
Spessore	0.60	[m]

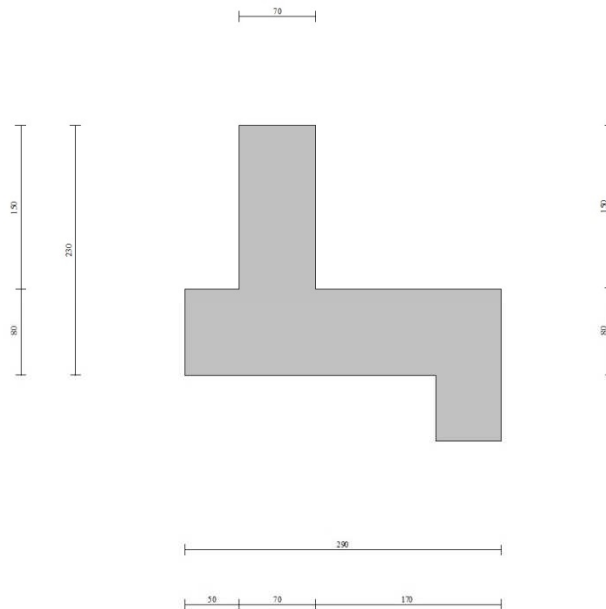


Fig. 1 - Sezione quotata del muro

Descrizione terreni

Parametri di resistenza

Simbologia adottata

n°	Indice del terreno
Descr	Descrizione terreno
γ	Peso di volume del terreno espresso in [kN/mc]
γ_s	Peso di volume saturo del terreno espresso in [kN/mc]
ϕ	Angolo d'attrito interno espresso in [°]
δ	Angolo d'attrito terra-muro espresso in [°]
c	Coesione espressa in [kPa]

n°	Descr	γ [kN/mc]	γ_{sat} [kN/mc]	ϕ [°]	δ [°]	c [kPa]
1	RILEVATO	20.0000	20.0000	35.000	23.000	0
2	FORMAZIONE B	20.0000	20.0000	38.000	25.000	0
3	FORMAZIONE A-SUP	19.0000	19.0000	28.000	18.000	5
4	FORMAZIONE A-INF	19.0000	19.0000	28.000	18.000	0

Stratigrafia

Simbologia adottata

n°	Indice dello strato
H	Spessore dello strato espresso in [m]
α	Inclinazione espressa in [°]
Terreno	Terreno dello strato

n°	H [m]	α [°]	Terreno
1	2.30	0.000	RILEVATO
2	2.00	0.000	FORMAZIONE A-SUP
3	7.00	0.000	FORMAZIONE A-INF

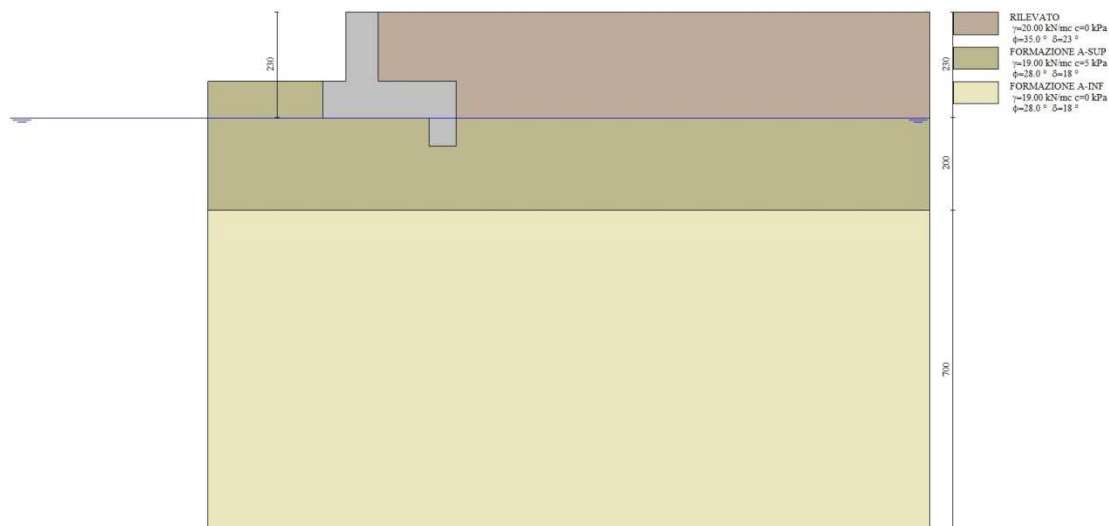


Fig. 2 - Stratigrafia

Condizioni di carico

Simbologia adottata

Carichi verticali positivi verso il basso.
Carichi orizzontali positivi verso sinistra.
Momento positivo senso antiorario.

X	Ascissa del punto di applicazione del carico concentrato espressa in [m]
F _x	Componente orizzontale del carico concentrato espressa in [kN]
F _y	Componente verticale del carico concentrato espressa in [kN]
M	Momento espresso in [kNm]
X _i	Ascissa del punto iniziale del carico ripartito espressa in [m]
X _f	Ascissa del punto finale del carico ripartito espressa in [m]
Q _i	Intensità del carico per x=X _i espressa in [kN]
Q _f	Intensità del carico per x=X _f espressa in [kN]

Condizione n° 1 (Traffico) - VARIABILE TF

Coeff. di combinazione $\Psi_0=0.75 - \Psi_1=0.75 - \Psi_2=0.25$

Carichi sul terreno

n°	Tipo	X [m]	F _x [kN]	F _y [kN]	M [kNm]	X _i [m]	X _f [m]	Q _i [kN]	Q _f [kN]
1	Distribuito					0.00	12.00	20.0000	20.0000

Condizione n° 2 (Urto-STR) - ECCEZIONALE

Carichi sul muro

n°	Tipo	Dest	X; Y [m]	F _x [kN]	F _y [kN]	M [kNm]	X _i [m]	X _f [m]	Q _i [kN]	Q _f [kN]
1	Concentrato	Paramento	-0.35; 0.00	33.3000	0.0000	33.3000				

Condizione n° 3 (Urto-GEO) - VARIABILE

Coeff. di combinazione $\Psi_0=0.00 - \Psi_1=0.00 - \Psi_2=0.00$

Carichi sul muro

n°	Tipo	Dest	X; Y [m]	F _x [kN]	F _y [kN]	M [kNm]	X _i [m]	X _f [m]	Q _i [kN]	Q _f [kN]
1	Concentrato	Paramento	-0.35; 0.00	14.5000	0.0000	14.5000				

Normativa

Normativa usata: **Norme Tecniche sulle Costruzioni 2018 (D.M. 17.01.2018) + Circolare C.S.LL.PP. 21/01/2019 n.7**

Coeff. parziali per le azioni o per l'effetto delle azioni

Carichi	Effetto		Combinazioni statiche				Combinazioni sismiche			
			HYD	UPL	EQU	A1	A2	EQU	A1	A2
Permanenti strutturali	Favorevoli	$\gamma_{G1, fav}$	1.00	0.90	1.00	1.00	1.00	1.00	1.00	1.00
Permanenti strutturali	Sfavorevoli	$\gamma_{G1, sfav}$	1.00	1.10	1.30	1.30	1.00	1.00	1.00	1.00
Permanenti non strutturali	Favorevoli	$\gamma_{G2, fav}$	0.00	0.80	0.80	0.80	0.80	0.00	0.00	0.00
Permanenti non strutturali	Sfavorevoli	$\gamma_{G2, sfav}$	1.00	1.50	1.50	1.50	1.30	1.00	1.00	1.00
Variabili	Favorevoli	$\gamma_{O, fav}$	0.00	0.00	0.00	0.00	0.00	0.00	0.00	0.00
Variabili	Sfavorevoli	$\gamma_{O, sfav}$	1.00	1.50	1.50	1.50	1.30	1.00	1.00	1.00
Variabili da traffico	Favorevoli	$\gamma_{OT, fav}$	0.00	0.00	0.00	0.00	0.00	0.00	0.00	0.00
Variabili da traffico	Sfavorevoli	$\gamma_{OT, sfav}$	1.00	1.50	1.35	1.35	1.15	1.00	1.00	1.00

Coeff. parziali per i parametri geotecnici del terreno

Parametro		Combinazioni statiche		Combinazioni sismiche	
		M1	M2	M1	M2
Tangente dell'angolo di attrito	$\gamma_{\tan(\phi')}$	1.00	1.25	1.00	1.00
Coazione efficace	γ_c	1.00	1.25	1.00	1.00
Resistenza non drenata	γ_{cu}	1.00	1.40	1.00	1.00
Peso nell'unità di volume	γ_v	1.00	1.00	1.00	1.00

Coeff. parziali γ_R per le verifiche agli stati limite ultimi STR e GEO

Verifica	Combinazioni statiche			Combinazioni sismiche		
	R1	R2	R3	R1	R2	R3
Capacità portante	--	--	1.40	--	--	1.20
Scorrimento	--	--	1.10	--	--	1.00
Resistenza terreno a valle	--	--	1.40	--	--	1.20
Ribaltamento	--	--	1.15	--	--	1.00
Stabilità fronte di scavo	--	1.10	--	--	1.20	--

Descrizione combinazioni di carico

Con riferimento alle azioni elementari prima determinate, si sono considerate le seguenti combinazioni di carico:

- Combinazione fondamentale, impiegata per gli stati limite ultimi (SLU):

$$\gamma_{G1} G_1 + \gamma_{G2} G_2 + \gamma_{Q1} Q_{k1} + \gamma_{Q2} Q_{k2} + \gamma_{Q3} Q_{k3} + \dots$$

- Combinazione caratteristica, cosiddetta rara, impiegata per gli stati limite di esercizio (SLE) irreversibili:

$$G_1 + G_2 + Q_{k1} + \Psi_{0,2} Q_{k2} + \Psi_{0,3} Q_{k3} + \dots$$

- Combinazione frequente, impiegata per gli stati limite di esercizio (SLE) reversibili:

$$G_1 + G_2 + \Psi_{1,1} Q_{k1} + \Psi_{2,2} Q_{k2} + \Psi_{2,3} Q_{k3} + \dots$$

- Combinazione quasi permanente, impiegata per gli effetti di lungo periodo:

$$G_1 + G_2 + \Psi_{2,1} Q_{k1} + \Psi_{2,2} Q_{k2} + \Psi_{2,3} Q_{k3} + \dots$$

- Combinazione sismica, impiegata per gli stati limite ultimi connessi all'azione sismica E:

$$E + G_1 + G_2 + \Psi_{2,1} Q_{k1} + \Psi_{2,2} Q_{k2} + \Psi_{2,3} Q_{k3} + \dots$$

- Combinazione eccezionale, impiegata per gli stati limite ultimi connessi alle azioni eccezionali Ad:

$$G_1 + G_2 + A_d + \Psi_{2,1} Q_{k1} + \Psi_{2,2} Q_{k2} + \Psi_{2,3} Q_{k3} + \dots$$

I valori dei coeff. $\Psi_{0,j}$, $\Psi_{1,j}$, $\Psi_{2,j}$ sono definiti nelle singole condizioni variabili. Per i valori dei coeff. γ_G e γ_Q , sono definiti nella tabella normativa.

In particolare si sono considerate le seguenti combinazioni:

Simbologia adottata

γ Coefficiente di partecipazione della condizione
 Ψ Coefficiente di combinazione della condizione

Combinazione n° 1 - STR (A1-M1-R3)

Condizione	γ	Ψ	Effetto
Peso muro	1.00	--	Favorevole
Peso terrapieno	1.00	--	Favorevole
Spinta terreno	1.30	--	Sfavorevole
Traffico	1.35	1.00	Sfavorevole

Combinazione n° 2 - STR (A1-M1-R3)

Condizione	γ	Ψ	Effetto
Peso muro	1.00	--	Favorevole
Peso terrapieno	1.00	--	Favorevole
Spinta terreno	1.30	--	Sfavorevole
Traffico	1.35	0.25	Sfavorevole
Urto-GEO	1.50	1.00	Sfavorevole

Combinazione n° 3 - STR (A1-M1-R3) H + V

Condizione	γ	Ψ	Effetto
Peso muro	1.00	--	Favorevole
Peso terrapieno	1.00	--	Favorevole
Spinta terreno	1.00	--	Sfavorevole
Traffico	1.00	0.25	Sfavorevole

Combinazione n° 4 - STR (A1-M1-R3) H - V

Condizione	γ	Ψ	Effetto
Peso muro	1.00	--	Sfavorevole
Peso terrapieno	1.00	--	Sfavorevole
Spinta terreno	1.00	--	Sfavorevole
Traffico	1.00	0.25	Sfavorevole

Combinazione n° 5 - STR (A1-M1-R3)

Condizione	γ	Ψ	Effetto
Peso muro	1.30	--	Sfavorevole
Peso terrapieno	1.30	--	Sfavorevole

Condizione	γ	Ψ	Effetto
Spinta terreno	1.30	--	Sfavorevole
Traffico	1.35	1.00	Sfavorevole

Combinazione n° 6 - STR (A1-M1-R3)

Condizione	γ	Ψ	Effetto
Peso muro	1.00	--	Favorevole
Peso terrapieno	1.30	--	Sfavorevole
Spinta terreno	1.30	--	Sfavorevole
Traffico	1.35	1.00	Sfavorevole

Combinazione n° 7 - STR (A1-M1-R3)

Condizione	γ	Ψ	Effetto
Peso muro	1.30	--	Sfavorevole
Peso terrapieno	1.00	--	Favorevole
Spinta terreno	1.30	--	Sfavorevole
Traffico	1.35	1.00	Sfavorevole

Combinazione n° 8 - STR (A1-M1-R3)

Condizione	γ	Ψ	Effetto
Peso muro	1.30	--	Sfavorevole
Peso terrapieno	1.30	--	Sfavorevole
Spinta terreno	1.30	--	Sfavorevole
Traffico	1.35	0.25	Sfavorevole
Urto-GEO	1.50	1.00	Sfavorevole

Combinazione n° 9 - STR (A1-M1-R3)

Condizione	γ	Ψ	Effetto
Peso muro	1.00	--	Favorevole
Peso terrapieno	1.30	--	Sfavorevole
Spinta terreno	1.30	--	Sfavorevole
Traffico	1.35	0.25	Sfavorevole
Urto-GEO	1.50	1.00	Sfavorevole

Combinazione n° 10 - STR (A1-M1-R3)

Condizione	γ	Ψ	Effetto
Peso muro	1.30	--	Sfavorevole
Peso terrapieno	1.00	--	Favorevole
Spinta terreno	1.30	--	Sfavorevole
Traffico	1.35	0.25	Sfavorevole
Urto-GEO	1.50	1.00	Sfavorevole

Combinazione n° 11 - GEO (A2-M2-R2)

Condizione	γ	Ψ	Effetto
Peso muro	1.00	--	Sfavorevole
Peso terrapieno	1.00	--	Sfavorevole
Spinta terreno	1.00	--	Sfavorevole
Traffico	1.15	1.00	Sfavorevole

Combinazione n° 12 - GEO (A2-M2-R2)

Condizione	γ	Ψ	Effetto
Peso muro	1.00	--	Sfavorevole
Peso terrapieno	1.00	--	Sfavorevole
Spinta terreno	1.00	--	Sfavorevole
Traffico	1.15	0.25	Sfavorevole
Urto-GEO	1.30	1.00	Sfavorevole

Combinazione n° 13 - GEO (A2-M2-R2) H + V

Condizione	γ	Ψ	Effetto
Peso muro	1.00	--	Sfavorevole
Peso terrapieno	1.00	--	Sfavorevole
Spinta terreno	1.00	--	Sfavorevole
Traffico	1.00	0.25	Sfavorevole

Combinazione n° 14 - GEO (A2-M2-R2) H - V

Condizione	γ	Ψ	Effetto
Peso muro	1.00	--	Sfavorevole
Peso terrapieno	1.00	--	Sfavorevole
Spinta terreno	1.00	--	Sfavorevole
Traffico	1.00	0.25	Sfavorevole

Combinazione n° 15 - EQU (A1-M1-R3)

Condizione	γ	Ψ	Effetto
Peso muro	1.00	--	Favorevole
Peso terrapieno	1.00	--	Favorevole
Spinta terreno	1.30	--	Sfavorevole
Traffico	1.35	1.00	Sfavorevole

Combinazione n° 16 - EQU (A1-M1-R3)

Condizione	γ	Ψ	Effetto
Peso muro	1.00	--	Favorevole
Peso terrapieno	1.00	--	Favorevole
Spinta terreno	1.30	--	Sfavorevole
Traffico	1.35	0.25	Sfavorevole
Urto-GEO	1.50	1.00	Sfavorevole

Combinazione n° 17 - EQU (A1-M1-R3) H + V

Condizione	γ	Ψ	Effetto
Peso muro	1.00	--	Favorevole
Peso terrapieno	1.00	--	Favorevole
Spinta terreno	1.00	--	Sfavorevole
Traffico	1.00	0.25	Sfavorevole

Combinazione n° 18 - EQU (A1-M1-R3) H - V

Condizione	γ	Ψ	Effetto
Peso muro	1.00	--	Favorevole
Peso terrapieno	1.00	--	Favorevole
Spinta terreno	1.00	--	Sfavorevole
Traffico	1.00	0.25	Sfavorevole

Combinazione n° 19 - ECC

Condizione	γ	Ψ	Effetto
Peso muro	1.00	--	Sfavorevole
Peso terrapieno	1.00	--	Sfavorevole
Spinta terreno	1.00	--	Sfavorevole
Traffico	1.00	0.25	Sfavorevole
Urto-STR	1.00	1.00	Sfavorevole

Combinazione n° 20 - SLER

Condizione	γ	Ψ	Effetto
Peso muro	1.00	--	Sfavorevole
Peso terrapieno	1.00	--	Sfavorevole
Spinta terreno	1.00	--	Sfavorevole
Traffico	1.00	1.00	Sfavorevole

Combinazione n° 21 - SLEF

Condizione	γ	Ψ	Effetto
Peso muro	1.00	--	Sfavorevole
Peso terrapieno	1.00	--	Sfavorevole
Spinta terreno	1.00	--	Sfavorevole
Traffico	1.00	0.75	Sfavorevole

Combinazione n° 22 - SLEQ

Condizione	γ	Ψ	Effetto
Peso muro	1.00	--	Sfavorevole
Peso terrapieno	1.00	--	Sfavorevole
Spinta terreno	1.00	--	Sfavorevole
Traffico	1.00	0.25	Sfavorevole

Dati sismici

Vita nominale	50 anni
Classe d'uso	IV
Tipo costruzione	Normali affollamenti
Vita di riferimento	100 anni

	Simbolo	U.M.	SLU
Accelerazione al suolo	a_g	[m/s ²]	2.120
Accelerazione al suolo	a_g/g	[%]	0.216
Massimo fattore amplificazione spettro orizzontale	F0		2.462
Periodo inizio tratto spettro a velocità costante	Tc*		0.284
Tipo di sottosuolo - Coefficiente stratigrafico	Ss	C	1.389
Categoria topografica - Coefficiente amplificazione topografica	St	T1	1.000

Stato limite ...	Coeff. di riduzione β_m	kh	kv
Ultimo	0.380	11.407	5.703
Ultimo - Ribaltamento	0.570	17.110	8.555
Esercizio	0.470	6.139	3.070

Forma diagramma incremento sismico **Rettangolare**

Opzioni di calcolo

Spinta

Metodo di calcolo della spinta	Culmann
Tipo di spinta	Spinta attiva
Terreno a bassa permeabilità	NO
Superficie di spinta limitata	NO

Capacità portante

Metodo di calcolo della portanza	Hansen
Criterio di media calcolo del terreno equivalente (terreni stratificati)	Ponderata
Criterio di riduzione per eccentricità della portanza	Meyerhof
Criterio di riduzione per rottura locale (punzonamento)	Nessuna
Larghezza fondazione nel terzo termine della formula del carico limite ($0.5B\gamma N_{\gamma}$)	Larghezza ridotta (B')
Fattori di forma e inclinazione del carico	Fattori di inclinazione e fattori di forma

Stabilità globale

Metodo di calcolo della stabilità globale	Bishop
---	--------

Altro

Partecipazione spinta passiva terreno antistante	0.00
--	------

Condizioni ambientali	Aggressive
Armatura ad aderenza migliorata	SI

Verifica a fessurazione

Sensibilità armatura	Poco sensibile
Metodo di calcolo aperture delle fessure	NTC 2018 - CIRCOLARE 21 gennaio 2019, n. 7 C.S.LL.PP.

Valori limite aperture delle fessure:

$$w_1=0.20$$

$$w_2=0.30$$

$$w_3=0.40$$

Verifica delle tensioni

Valori limite delle tensioni nei materiali:

Combinazione	Calcestruzzo	Acciaio
Rara	$0.60 f_{ck}$	$0.80 f_{yk}$
Frequente	$1.00 f_{ck}$	$1.00 f_{yk}$
Quasi permanente	$0.45 f_{ck}$	$1.00 f_{yk}$

Risultati per inviluppo

Spinta e forze

Simbologia adottata

- Ic Indice della combinazione
- A Tipo azione
- I Inclinazione della spinta, espressa in [°]
- V Valore dell'azione, espressa in [kN]
- C_x, C_y Componente in direzione X ed Y dell'azione, espressa in [kN]
- P_x, P_y Coordinata X ed Y del punto di applicazione dell'azione, espressa in [m]

Ic	A	V [kN]	I [°]	C _x [kN]	C _y [kN]	P _x [m]	P _y [m]
1	Spinta statica	46.12	21.47	42.93	16.88	1.70	-1.74
	Peso/Inerzia muro			0.00	91.45/0.00	0.19	-1.64
	Peso/Inerzia terrapieno			0.00	96.90/0.00	0.85	-0.75
	Spinta falda da monte			2.29		1.70	-2.70
	Peso dell'acqua sulla fondazione di valle				0.00	0.00	0.00
	Resistenza passiva sperone			-69.36			

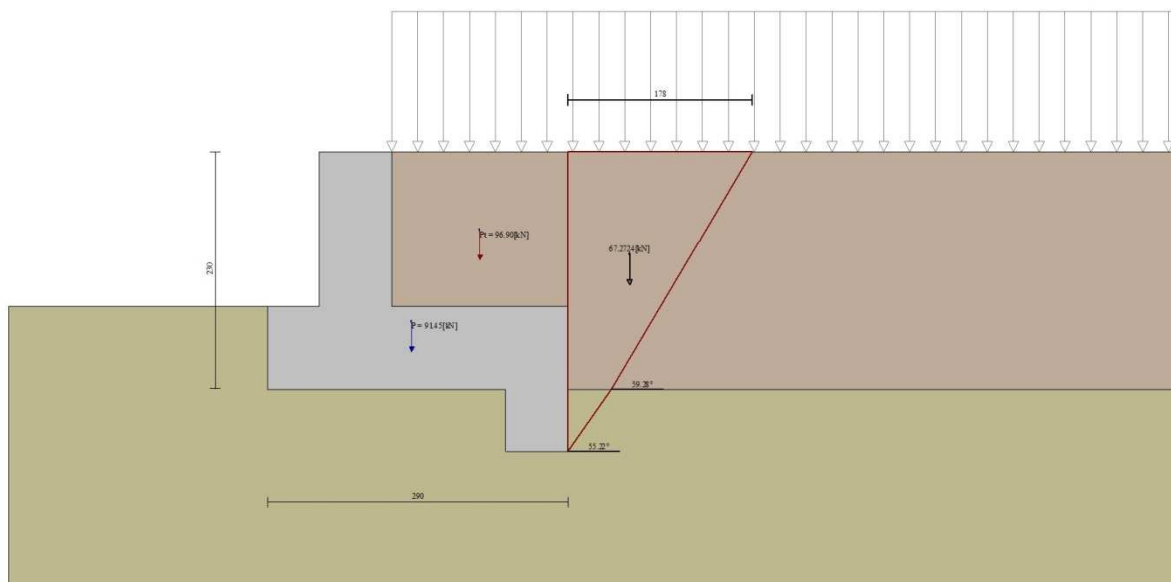


Fig. 3 - Cuneo di spinta (combinazione statica) (Combinazione n° 1)

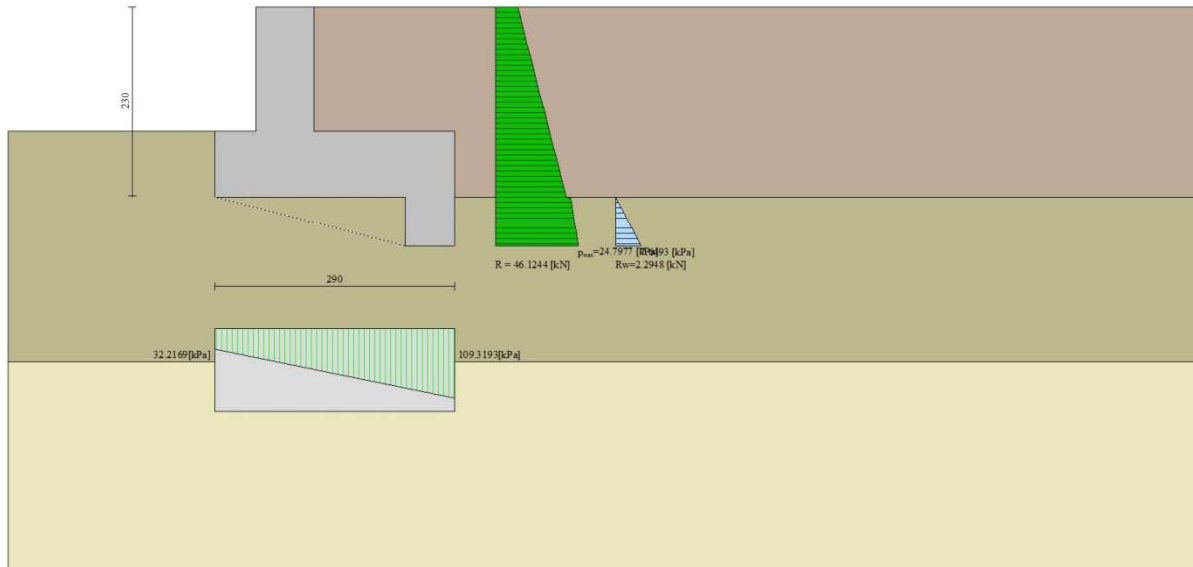


Fig. 4 - Diagramma delle pressioni (combinazione statica) (Combinazione n° 1)

Risultanti globali

Simbologia adottata

Cmb	Indice/Tipo combinazione
N	Componente normale al piano di posa, espressa in [kN]
T	Componente parallela al piano di posa, espressa in [kN]
M _r	Momento ribaltante, espresso in [kNm]
M _s	Momento stabilizzante, espresso in [kNm]
ecc	Eccentricità risultante, espressa in [m]

Ic	N [kN]	T [kN]	M _r [kNm]	M _s [kNm]	ecc [m]
1 - STR (A1-M1-R3)	205.23	45.22	23.28	374.90	-0.263
2 - STR (A1-M1-R3)	165.15	52.79	83.99	287.94	0.215
3 - STR (A1-M1-R3)	170.98	48.16	33.57	296.62	-0.089
4 - STR (A1-M1-R3)	152.73	45.46	45.50	279.41	-0.082
5 - STR (A1-M1-R3)	247.96	45.22	23.28	444.45	-0.249
6 - STR (A1-M1-R3)	220.53	45.22	23.28	406.26	-0.287
7 - STR (A1-M1-R3)	232.66	45.22	23.28	413.09	-0.225
8 - STR (A1-M1-R3)	207.89	52.79	83.99	357.50	0.134
9 - STR (A1-M1-R3)	180.45	52.79	83.99	319.30	0.146
10 - STR (A1-M1-R3)	192.59	52.79	83.99	326.13	0.193
11 - GEO (A2-M2-R2)	195.48	45.94	24.88	352.41	-0.226
12 - GEO (A2-M2-R2)	161.23	49.38	74.92	278.01	0.190
13 - GEO (A2-M2-R2)	170.98	48.16	33.57	296.62	-0.089
14 - GEO (A2-M2-R2)	152.73	45.46	45.50	279.41	-0.082
15 - EQU (A1-M1-R3)	205.23	45.22	23.28	374.90	-0.263
16 - EQU (A1-M1-R3)	165.15	52.79	83.99	287.94	0.215
17 - EQU (A1-M1-R3)	177.06	61.33	46.13	308.87	-0.034
18 - EQU (A1-M1-R3)	149.76	57.49	64.19	283.29	-0.013
19 - ECC	159.30	56.34	119.38	273.51	0.482
20 - SLER	188.99	33.54	17.69	337.92	-0.244
21 - SLEF	179.09	30.04	14.96	316.45	-0.233
22 - SLEQ	159.30	23.04	9.49	273.51	-0.207

Verifiche geotecniche

Quadro riassuntivo coeff. di sicurezza calcolati

Simbologia adottata

Cmb	Indice/Tipo combinazione
S	Sisma (H: componente orizzontale, V: componente verticale)
FS _{SCO}	Coeff. di sicurezza allo scorrimento
FS _{RIB}	Coeff. di sicurezza al ribaltamento
FS _{OLIM}	Coeff. di sicurezza a carico limite
FS _{STAB}	Coeff. di sicurezza a stabilità globale

Cmb	Sismica	FS _{SCO}	FS _{RIB}	FS _{OLIM}	FS _{STAB}
1 - STR (A1-M1-R3)		1.972		2.556	
2 - STR (A1-M1-R3)		1.438		2.379	
3 - STR (A1-M1-R3)	H + V	1.581		2.964	
4 - STR (A1-M1-R3)	H - V	1.504		3.171	
5 - STR (A1-M1-R3)		2.373		2.416	
6 - STR (A1-M1-R3)		2.109		2.452	
7 - STR (A1-M1-R3)		2.236		2.529	
8 - STR (A1-M1-R3)		1.782		2.542	
9 - STR (A1-M1-R3)		1.556		2.545	
10 - STR (A1-M1-R3)		1.664		2.427	
11 - GEO (A2-M2-R2)					2.088
12 - GEO (A2-M2-R2)					2.688
13 - GEO (A2-M2-R2)	H + V				2.385
14 - GEO (A2-M2-R2)	H - V				2.287
15 - EQU (A1-M1-R3)			16.102		
16 - EQU (A1-M1-R3)			3.428		
17 - EQU (A1-M1-R3)	H + V		6.696		
18 - EQU (A1-M1-R3)	H - V		4.413		

Verifica a scorrimento fondazione

Simbologia adottata

n°	Indice combinazione
Rsa	Resistenza allo scorrimento per attrito, espresso in [kN]
Rpt	Resistenza passiva terreno antistante, espresso in [kN]
Rps	Resistenza passiva sperone, espresso in [kN]
Rp	Resistenza a carichi orizzontali pali (solo per fondazione mista), espresso in [kN]
Rt	Resistenza a carichi orizzontali tiranti (solo se presenti), espresso in [kN]
R	Resistenza allo scorrimento (somma di Rsa+Rpt+Rps+Rp), espresso in [kN]
T	Carico parallelo al piano di posa, espresso in [kN]
FS	Fattore di sicurezza (rapporto R/T)

n°	Rsa [kN]	Rpt [kN]	Rps [kN]	Rp [kN]	Rt [kN]	R [kN]	T [kN]	FS
2 - STR (A1-M1-R3)	7.31	0.00	68.62	--	--	75.93	52.79	1.438

Dettagli verifica a scorrimento

Simbologia adottata

n°	Indice combinazione
Ncss	Carico sul cuneo di spinta passiva, espresso in [kN]
φ _{Rp}	Angolo di rottura passivo, espresso in [°]
Nrpp	Carico residuo sul piano di posa, espresso in [kN]
Lr	Lunghezza base residua, espresso in [m]

n°	Ncss [kN]	φ _{Rp}	Nrpp [kN]	Lr [m]
2	142.66	14.649	22.49	0.60

Verifica a carico limite

Simbologia adottata

n°	Indice combinazione
N	Carico normale totale al piano di posa, espresso in [kN]
Qu	carico limite del terreno, espresso in [kN]
Qd	Portanza di progetto, espresso in [kN]
FS	Fattore di sicurezza (rapporto tra il carico limite e carico agente al piano di posa)

n°	N [kN]	Qu [kN]	Qd [kN]	FS
2 - STR (A1-M1-R3)	165.15	392.88	280.63	2.379

Dettagli calcolo portanza

Simbologia adottata

n°	Indice combinazione
Nc, Nq, Ny	Fattori di capacità portante
ic, iq, iy	Fattori di inclinazione del carico
dc, dq, dy	Fattori di profondità del piano di posa
gc, gq, gy	Fattori di inclinazione del profilo topografico
bc, bq, by	Fattori di inclinazione del piano di posa
sc, sq, sy	Fattori di forma della fondazione
pc, pq, py	Fattori di riduzione per punzonamento secondo Vesic
Re	Fattore di riduzione capacità portante per eccentricità secondo Meyerhof
Ir, Irc	Indici di rigidezza per punzonamento secondo Vesic
r _γ	Fattori per tener conto dell'effetto piastra. Per fondazioni che hanno larghezza maggiore di 2 m, il terzo termine della formula trinomia 0.5B _γ N _γ viene moltiplicato per questo fattore
D	Affondamento del piano di posa, espresso in [m]
B'	Larghezza fondazione ridotta, espresso in [m]
H	Altezza del cuneo di rottura, espresso in [m]
γ	Peso di volume del terreno medio, espresso in [kN/mc]
φ	Angolo di attrito del terreno medio, espresso in [°]
c	Coesione del terreno medio, espresso in [kPa]

Per i coeff. che in tabella sono indicati con il simbolo '--' sono coeff. non presenti nel metodo scelto (Hansen).

n°	Nc Nq Ny	ic iq iy	dc dq dy	gc gq gy	bc bq by	sc sq sy	pc pq py	Ir	Irc	Re	r _γ
2	25.803 14.720 10.942	0.376 0.419 0.282	1.110 1.083 1.000	1.000 1.000 1.000	1.000 1.000 1.000	1.006 1.005 0.996	-- -- --	--	--	0.728	0.960

n°	D [m]	B' [m]	H [m]	γ [°]	φ [kN/mc]	c [kPa]
2	0.80	2.90	2.41	9.19	28.00	4

Verifica a ribaltamento

Simbologia adottata

n°	Indice combinazione
Ms	Momento stabilizzante, espresso in [kNm]
Mr	Momento ribaltante, espresso in [kNm]
FS	Fattore di sicurezza (rapporto tra momento stabilizzante e momento ribaltante)

La verifica viene eseguita rispetto allo spigolo inferiore esterno della fondazione

n°	Ms [kNm]	Mr [kNm]	FS
16 - EQU (A1-M1-R3)	287.94	83.99	3.428

Verifica stabilità globale muro + terreno

Simbologia adottata

Ic	Indice/Tipo combinazione
C	Centro superficie di scorrimento, espresso in [m]
R	Raggio, espresso in [m]
FS	Fattore di sicurezza

Ic	C [m]	R [m]	FS
11 - GEO (A2-M2-R2)	-1.00; 2.00	5.60	2.088

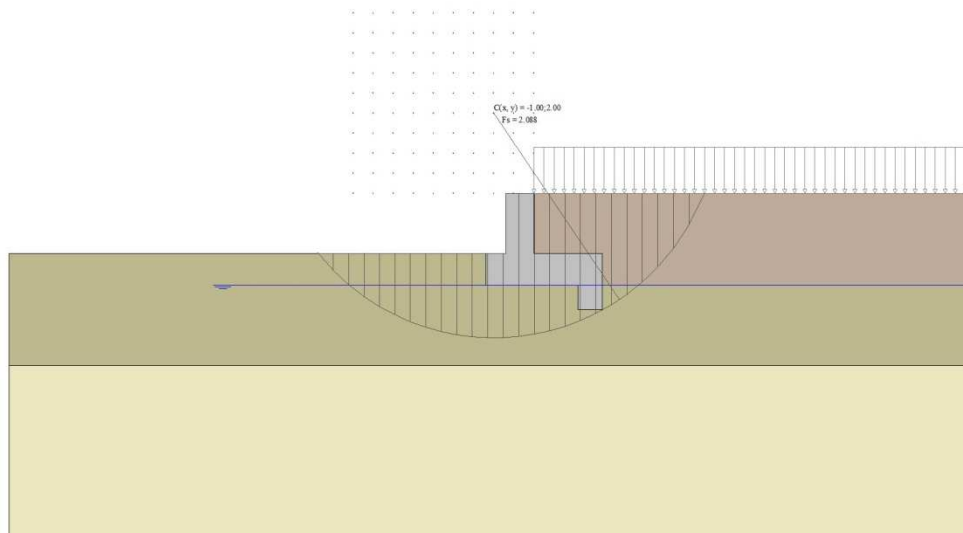


Fig. 5 - Stabilità fronte di scavo - Cerchio critico (Combinazione n° 11)

Sollecitazioni

Elementi calcolati a trave

Simbologia adottata

- N Sforzo normale, espresso in [kN]. Positivo se di compressione.
- T Taglio, espresso in [kN]. Positivo se diretto da monte verso valle
- M Momento, espresso in [kNm]. Positivo se tende le fibre contro terra (a monte)

Paramento

n°	X [m]	N _{min} [kN]	N _{max} [kN]	T _{min} [kN]	T _{max} [kN]	M _{min} [kNm]	M _{max} [kNm]
1	0.00	0.00	0.00	0.00	33.30	0.00	33.30
2	-0.10	1.72	2.23	0.14	33.44	0.01	36.64
3	-0.20	3.43	4.46	0.32	33.62	0.03	39.99
4	-0.30	5.15	6.69	0.54	33.84	0.07	43.36
5	-0.40	6.86	8.92	0.81	34.11	0.14	46.76
6	-0.50	8.58	11.16	1.13	34.43	0.24	50.19
7	-0.60	10.30	13.39	1.49	34.79	0.37	53.65
8	-0.70	12.01	15.62	1.89	35.19	0.53	57.14
9	-0.80	13.73	17.85	2.34	35.64	0.75	60.69
10	-0.90	15.45	20.08	2.84	36.14	1.00	64.27
11	-1.00	17.16	22.31	3.38	36.68	1.31	67.91
12	-1.10	18.88	24.54	3.96	37.26	1.68	71.61
13	-1.20	20.59	26.77	4.59	37.89	2.11	75.37
14	-1.30	22.31	29.00	5.27	38.57	2.60	79.19
15	-1.40	24.03	31.23	5.99	39.29	3.16	83.08
16	-1.50	25.74	33.47	6.75	40.05	3.80	87.05

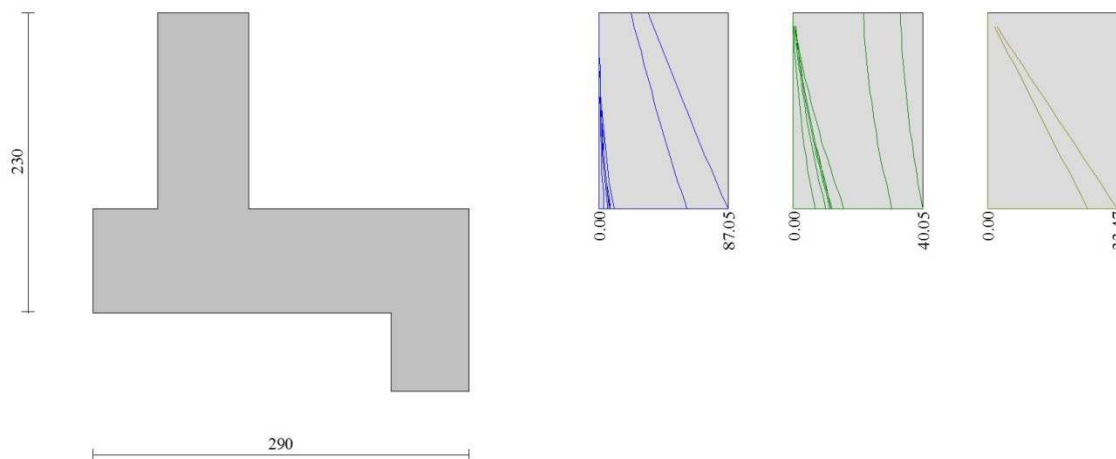


Fig. 6 - Paramento

Fondazione

n°	X [m]	N _{min} [kN]	N _{max} [kN]	T _{min} [kN]	T _{max} [kN]	M _{min} [kNm]	M _{max} [kNm]
1	-1.20	0.00	0.00	0.00	0.00	0.00	0.00
2	-1.10	0.00	0.00	1.26	8.83	0.06	0.44
3	-1.00	0.00	0.00	2.68	17.27	0.26	1.75
4	-0.90	0.00	0.00	4.26	25.34	0.60	3.89
5	-0.80	0.00	0.00	6.00	33.04	1.11	6.81
6	-0.70	0.00	0.00	7.91	40.35	1.81	10.48
7	0.00	0.00	0.00	-46.86	9.27	-60.17	13.98
8	0.10	0.00	0.00	-47.65	10.47	-55.44	12.99
9	0.20	0.00	0.00	-48.06	11.37	-50.65	11.90
10	0.30	0.00	0.00	-48.09	11.97	-45.84	10.89
11	0.40	0.00	0.00	-47.74	12.27	-41.05	9.81
12	0.50	0.00	0.00	-47.02	12.26	-36.30	8.68
13	0.60	0.00	0.00	-45.92	11.95	-31.65	7.54
14	0.70	0.00	0.00	-44.43	11.34	-27.13	6.40
15	0.80	0.00	0.00	-42.58	10.55	-22.78	5.32
16	0.90	0.00	0.00	-40.34	9.65	-18.63	4.30
17	1.00	0.00	0.00	-37.72	8.43	-14.73	3.40
18	1.10	0.00	0.00	-34.73	6.89	-11.10	2.63
19	1.20	0.00	0.00	-29.89	6.52	-7.87	1.95
20	1.30	0.00	0.00	-24.67	5.84	-5.13	1.33
21	1.40	0.00	0.00	-19.07	4.85	-2.95	0.80
22	1.50	0.00	0.00	-13.09	3.54	-1.33	0.37
23	1.60	0.00	0.00	-6.73	1.93	-0.34	0.10
24	1.70	0.00	0.00	0.00	0.00	0.00	0.00

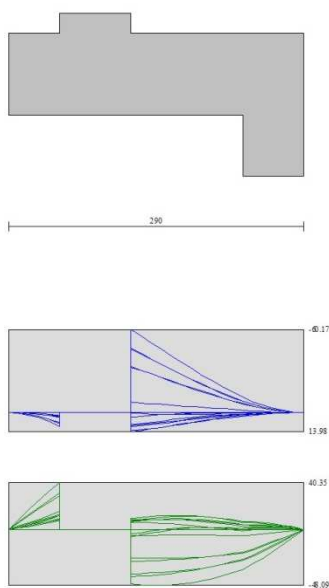


Fig. 7 - Fondazione

Verifiche strutturali

Verifiche a flessione

Elementi calcolati a trave

Simbologia adottata

n°	indice sezione
Y	ordinata sezione espressa in [m]
B	larghezza sezione espressa in [cm]
H	altezza sezione espressa in [cm]
Afi	area ferri inferiori espressa in [cmq]
Afs	area ferri superiori espressa in [cmq]
M	momento agente espressa in [kNm]
N	sfuerzo normale agente espressa in [kN]
Mu	momento ultimi espresso in [kNm]
Nu	sfuerzo normale ultimo espressa in [kN]
FS	fattore di sicurezza (rapporto tra sollecitazione ultima e sollecitazione agente)

Paramento

n°	B [cm]	H [cm]	Afi [cmq]	Afs [cmq]	M [kNm]	N [kN]	Mu [kNm]	Nu [kN]	FS
1	100	70	5.65	10.05	33.30	0.00	287.60	0.00	8.637
2	100	70	5.65	10.05	36.64	1.72	291.82	13.67	7.965
3	100	70	5.65	10.05	39.99	3.43	295.42	25.36	7.388
4	100	70	5.65	10.05	43.36	5.15	298.53	35.45	6.885
5	100	70	5.65	10.05	46.76	6.86	301.24	44.23	6.442
6	100	70	5.65	10.05	50.19	8.58	303.61	51.91	6.050
7	100	70	5.65	10.05	53.65	10.30	305.69	58.68	5.698
8	100	70	5.65	10.05	57.14	12.01	307.53	64.65	5.382
9	100	70	5.65	10.05	60.69	13.73	309.16	69.95	5.095
10	100	70	5.65	10.05	64.27	15.45	310.61	74.64	4.833
11	100	70	5.65	10.05	67.91	17.16	311.90	78.82	4.593
12	100	70	5.65	10.05	71.61	18.88	313.04	82.52	4.371
13	100	70	5.65	10.05	75.37	20.59	314.06	85.82	4.167
14	100	70	5.65	10.05	79.19	22.31	314.96	88.73	3.977
15	100	70	5.65	10.05	83.08	24.03	315.75	91.31	3.800
16	100	70	5.65	10.05	87.05	25.74	316.45	93.58	3.635

Fondazione

n°	B [cm]	H [cm]	Afi [cmq]	Afs [cmq]	M [kNm]	N [kN]	Mu [kNm]	Nu [kN]	FS
1	100	80	5.65	10.05	0.00	0.00	0.00	0.00	100000.000
2	100	80	5.65	10.05	0.44	0.00	188.34	0.00	423.754
3	100	80	5.65	10.05	1.75	0.00	188.34	0.00	107.462
4	100	80	5.65	10.05	3.89	0.00	188.34	0.00	48.458
5	100	80	5.65	10.05	6.81	0.00	188.34	0.00	27.661
6	100	80	5.65	10.05	10.48	0.00	188.34	0.00	17.969
7	100	80	5.65	10.05	-60.17	0.00	-331.54	0.00	5.510
8	100	80	5.65	10.05	-55.44	0.00	-331.54	0.00	5.980
9	100	80	5.65	10.05	-50.65	0.00	-331.54	0.00	6.546
10	100	80	5.65	10.05	-45.84	0.00	-331.54	0.00	7.233
11	100	80	5.65	10.05	-41.05	0.00	-331.54	0.00	8.077
12	100	80	5.65	10.05	-36.30	0.00	-331.54	0.00	9.132
13	100	80	5.65	10.05	-31.65	0.00	-331.54	0.00	10.474
14	100	80	5.65	10.05	-27.13	0.00	-331.54	0.00	12.219
15	100	80	5.65	10.05	-22.78	0.00	-331.54	0.00	14.554
16	100	80	5.65	10.05	-18.63	0.00	-331.54	0.00	17.795
17	100	80	5.65	10.05	-14.73	0.00	-331.54	0.00	22.515
18	100	80	5.65	10.05	-11.10	0.00	-331.54	0.00	29.870
19	100	80	5.65	10.05	-7.87	0.00	-331.54	0.00	42.151
20	100	80	5.65	10.05	-5.13	0.00	-331.54	0.00	64.567
21	100	80	5.65	10.05	-2.95	0.00	-331.54	0.00	112.575
22	100	80	5.65	10.05	-1.33	0.00	-331.54	0.00	248.508
23	100	80	5.65	10.05	-0.34	0.00	-331.54	0.00	975.594
24	100	80	5.65	10.05	0.00	0.00	0.00	0.00	100000.000

Sperone

n°	B [cm]	H [cm]	Afi [cmq]	Afs [cmq]	M [kNm]	N [kN]	Mu [kNm]	Nu [kN]	FS
1	100	60	10.05	10.05	21.13	0.00	209.34	0.00	9.909

Verifiche a taglio

Simbologia adottata

Is	indice sezione
Y	ordinata sezione espressa in [m]
B	larghezza sezione espresso in [cm]
H	altezza sezione espressa in [cm]
A _{sw}	area ferri a taglio espresso in [cmq]
cotgθ	inclinazione delle bielle compresse, θ inclinazione dei puntoni di calcestruzzo
V _{Rcd}	resistenza di progetto a 'taglio compressione' espressa in [kN]
V _{Rsd}	resistenza di progetto a 'taglio trazione' espressa in [kN]
V _{Rd}	resistenza di progetto a taglio espresso in [kN]. Per elementi con armature trasversali resistenti al taglio (A _{sw} >0.0) V _{Rd} =min(V _{Rcd} , V _{Rsd}).
T	taglio agente espressa in [kN]
FS	fattore di sicurezza (rapporto tra sollecitazione resistente e sollecitazione agente)

Paramento

n°	B [cm]	H [cm]	A _{sw} [cmq]	cotθ	V _{Rcd} [kN]	V _{Rsd} [kN]	V _{Rd} [kN]	T [kN]	FS
1	100	70	0.00	--	0.00	0.00	259.67	33.30	7.798
2	100	70	0.00	--	0.00	0.00	259.91	33.44	7.774
3	100	70	0.00	--	0.00	0.00	260.15	33.62	7.739
4	100	70	0.00	--	0.00	0.00	260.40	33.84	7.694
5	100	70	0.00	--	0.00	0.00	260.64	34.11	7.641
6	100	70	0.00	--	0.00	0.00	260.88	34.43	7.578
7	100	70	0.00	--	0.00	0.00	261.12	34.79	7.506
8	100	70	0.00	--	0.00	0.00	261.37	35.19	7.427
9	100	70	0.00	--	0.00	0.00	261.61	35.64	7.340
10	100	70	0.00	--	0.00	0.00	261.85	36.14	7.246
11	100	70	0.00	--	0.00	0.00	262.10	36.68	7.146
12	100	70	0.00	--	0.00	0.00	262.34	37.26	7.040
13	100	70	0.00	--	0.00	0.00	262.58	37.89	6.930
14	100	70	0.00	--	0.00	0.00	262.82	38.57	6.815
15	100	70	0.00	--	0.00	0.00	263.07	39.29	6.696
16	100	70	0.00	--	0.00	0.00	263.31	40.05	6.574

Fondazione

n°	B [cm]	H [cm]	A _{sw} [cmq]	cotθ	V _{Rcd} [kN]	V _{Rsd} [kN]	V _{Rd} [kN]	T [kN]	FS
1	100	80	0.00	--	0.00	0.00	269.62	0.00	100.000
2	100	80	0.00	--	0.00	0.00	269.62	-8.83	30.547
3	100	80	0.00	--	0.00	0.00	269.62	-17.27	15.608
4	100	80	0.00	--	0.00	0.00	269.62	-25.34	10.638
5	100	80	0.00	--	0.00	0.00	269.62	-33.04	8.161
6	100	80	0.00	--	0.00	0.00	269.62	-40.35	6.682
7	100	80	0.00	--	0.00	0.00	269.62	-46.86	5.754
8	100	80	0.00	--	0.00	0.00	269.62	-47.65	5.659
9	100	80	0.00	--	0.00	0.00	269.62	-48.06	5.610
10	100	80	0.00	--	0.00	0.00	269.62	-48.09	5.607
11	100	80	0.00	--	0.00	0.00	269.62	-47.74	5.647
12	100	80	0.00	--	0.00	0.00	269.62	-47.02	5.734
13	100	80	0.00	--	0.00	0.00	269.62	-45.92	5.872
14	100	80	0.00	--	0.00	0.00	269.62	-44.43	6.068
15	100	80	0.00	--	0.00	0.00	269.62	-42.58	6.333
16	100	80	0.00	--	0.00	0.00	269.62	-40.34	6.684
17	100	80	0.00	--	0.00	0.00	269.62	-37.72	7.147
18	100	80	0.00	--	0.00	0.00	269.62	-34.73	7.763
19	100	80	0.00	--	0.00	0.00	269.62	-29.89	9.021
20	100	80	0.00	--	0.00	0.00	269.62	-24.67	10.931
21	100	80	0.00	--	0.00	0.00	269.62	-19.07	14.141
22	100	80	0.00	--	0.00	0.00	269.62	-13.09	20.598
23	100	80	0.00	--	0.00	0.00	269.62	-6.73	40.040
24	100	80	0.00	--	0.00	0.00	269.62	0.00	100.000

Sperone

n°	B [cm]	H [cm]	A _{sw} [cmq]	cotθ	V _{Rcd} [kN]	V _{Rsd} [kN]	V _{Rd} [kN]	T [kN]	FS
1	100	60	0.00	--	0.00	0.00	236.26	56.34	4.194

Verifica a fessurazione

Simbologia adottata

n°	indice sezione
Y	ordinata sezione espressa in [m]
B	larghezza sezione espressa in [cm]
H	altezza sezione espressa in [cm]
Af	area ferri zona tesa espressa in [cmq]
Aeff	area efficace espressa in [cmq]
M	momento agente espressa in [kNm]
Mpf	momento di prima fessurazione espressa in [kNm]
ε	deformazione espressa in %
Sm	spaziatura tra le fessure espressa in [mm]
w	apertura delle fessure espressa in [mm]

Combinazioni SLER

Paramento

Apertura limite fessure $w_{lim}=0.40$

n°	B [cm]	H [cm]	Af [cmq]	Aeff [cmq]	M [kNm]	Mpf [kNm]	ε [%]	Sm [mm]	w [mm]
1	100	70	0.00	0.00	0.00	0.00	---	---	0.00 (20)
2	100	70	10.05	1200.00	0.02	274.50	0.000000	0.00	0.00 (20)
3	100	70	10.05	1200.00	0.10	274.71	0.000000	0.00	0.00 (20)
4	100	70	10.05	1200.00	0.22	274.91	0.000000	0.00	0.00 (20)
5	100	70	10.05	1200.00	0.41	275.11	0.000000	0.00	0.00 (20)
6	100	70	10.05	1200.00	0.66	275.30	0.000000	0.00	0.00 (20)
7	100	70	10.05	1200.00	0.97	275.53	0.000000	0.00	0.00 (20)
8	100	70	10.05	1200.00	1.36	275.72	0.000000	0.00	0.00 (20)
9	100	70	10.05	1200.00	1.83	275.94	0.000000	0.00	0.00 (20)
10	100	70	10.05	1200.00	2.37	276.14	0.000000	0.00	0.00 (20)
11	100	70	10.05	1200.00	3.00	276.35	0.000000	0.00	0.00 (20)
12	100	70	10.05	1200.00	3.72	276.55	0.000000	0.00	0.00 (20)
13	100	70	10.05	1200.00	4.54	276.75	0.000000	0.00	0.00 (20)
14	100	70	10.05	1200.00	5.45	276.96	0.000000	0.00	0.00 (20)
15	100	70	10.05	1200.00	6.47	277.15	0.000000	0.00	0.00 (20)
16	100	70	10.05	1200.00	7.60	277.36	0.000000	0.00	0.00 (20)

Fondazione

Apertura limite fessure $w_{lim}=0.40$

n°	B [cm]	H [cm]	Af [cmq]	Aeff [cmq]	M [kNm]	Mpf [kNm]	ε [%]	Sm [mm]	w [mm]
1	100	80	0.00	0.00	0.00	0.00	---	---	0.00 (20)
2	100	80	5.65	1150.00	0.07	320.88	0.000000	0.00	0.00 (20)
3	100	80	5.65	1150.00	0.28	320.88	0.000000	0.00	0.00 (20)
4	100	80	5.65	1150.00	0.67	320.88	0.000000	0.00	0.00 (20)
5	100	80	5.65	1150.00	1.25	320.88	0.000000	0.00	0.00 (20)
6	100	80	5.65	1150.00	2.05	320.88	0.000000	0.00	0.00 (20)
7	100	80	5.65	1150.00	10.23	320.88	0.000000	0.00	0.00 (20)
8	100	80	5.65	1150.00	9.51	320.88	0.000000	0.00	0.00 (20)
9	100	80	5.65	1150.00	8.70	320.88	0.000000	0.00	0.00 (20)
10	100	80	5.65	1150.00	7.84	320.88	0.000000	0.00	0.00 (20)
11	100	80	5.65	1150.00	6.94	320.88	0.000000	0.00	0.00 (20)
12	100	80	5.65	1150.00	6.04	320.88	0.000000	0.00	0.00 (20)
13	100	80	5.65	1150.00	5.15	320.88	0.000000	0.00	0.00 (20)
14	100	80	5.65	1150.00	4.29	320.88	0.000000	0.00	0.00 (20)
15	100	80	5.65	1150.00	3.49	320.88	0.000000	0.00	0.00 (20)
16	100	80	5.65	1150.00	2.77	320.88	0.000000	0.00	0.00 (20)
17	100	80	5.65	1150.00	2.16	320.88	0.000000	0.00	0.00 (20)
18	100	80	5.65	1150.00	1.67	320.88	0.000000	0.00	0.00 (20)
19	100	80	5.65	1150.00	1.25	320.88	0.000000	0.00	0.00 (20)
20	100	80	5.65	1150.00	0.86	320.88	0.000000	0.00	0.00 (20)
21	100	80	5.65	1150.00	0.52	320.88	0.000000	0.00	0.00 (20)
22	100	80	5.65	1150.00	0.25	320.88	0.000000	0.00	0.00 (20)
23	100	80	5.65	1150.00	0.07	320.88	0.000000	0.00	0.00 (20)
24	100	80	0.00	0.00	0.00	0.00	---	---	0.00 (20)

Sperone

Apertura limite fessure $w_{lim}=0.40$

n°	B [cm]	H [cm]	Af [cmq]	Aeff [cmq]	M [kNm]	Mpf [kNm]	ε [%]	Sm [mm]	w [mm]
1	100	60	10.05	1200.00	13.42	188.20	0.000000	0.00	0.00 (20)

Combinazioni SLEF

Paramento

Apertura limite fessure $w_{lim}=0.30$

n°	B [cm]	H [cm]	Af [cmq]	Aeff [cmq]	M [kNm]	Mpf [kNm]	ε [%]	Sm [mm]	w [mm]
1	100	70	0.00	0.00	0.00	0.00	---	---	0.000 (21)
2	100	70	10.05	1200.00	0.02	274.49	0.000000	0.00	0.000 (21)
3	100	70	10.05	1200.00	0.07	274.70	0.000000	0.00	0.000 (21)
4	100	70	10.05	1200.00	0.17	274.90	0.000000	0.00	0.000 (21)
5	100	70	10.05	1200.00	0.32	275.10	0.000000	0.00	0.000 (21)
6	100	70	10.05	1200.00	0.52	275.32	0.000000	0.00	0.000 (21)
7	100	70	10.05	1200.00	0.77	275.51	0.000000	0.00	0.000 (21)
8	100	70	10.05	1200.00	1.09	275.72	0.000000	0.00	0.000 (21)
9	100	70	10.05	1200.00	1.47	275.92	0.000000	0.00	0.000 (21)
10	100	70	10.05	1200.00	1.92	276.14	0.000000	0.00	0.000 (21)
11	100	70	10.05	1200.00	2.44	276.34	0.000000	0.00	0.000 (21)
12	100	70	10.05	1200.00	3.04	276.54	0.000000	0.00	0.000 (21)
13	100	70	10.05	1200.00	3.73	276.75	0.000000	0.00	0.000 (21)
14	100	70	10.05	1200.00	4.50	276.95	0.000000	0.00	0.000 (21)
15	100	70	10.05	1200.00	5.37	277.16	0.000000	0.00	0.000 (21)
16	100	70	10.05	1200.00	6.33	277.36	0.000000	0.00	0.000 (21)

Fondazione

Apertura limite fessure $w_{lim}=0.30$

n°	B [cm]	H [cm]	Af [cmq]	Aeff [cmq]	M [kNm]	Mpf [kNm]	ε [%]	Sm [mm]	w [mm]
1	100	80	0.00	0.00	0.00	0.00	---	---	0.000 (21)
2	100	80	5.65	1150.00	0.07	320.88	0.000000	0.00	0.000 (21)
3	100	80	5.65	1150.00	0.27	320.88	0.000000	0.00	0.000 (21)
4	100	80	5.65	1150.00	0.65	320.88	0.000000	0.00	0.000 (21)
5	100	80	5.65	1150.00	1.20	320.88	0.000000	0.00	0.000 (21)
6	100	80	5.65	1150.00	1.97	320.88	0.000000	0.00	0.000 (21)
7	100	80	5.65	1150.00	9.77	320.88	0.000000	0.00	0.000 (21)
8	100	80	5.65	1150.00	9.00	320.88	0.000000	0.00	0.000 (21)
9	100	80	5.65	1150.00	8.18	320.88	0.000000	0.00	0.000 (21)
10	100	80	5.65	1150.00	7.31	320.88	0.000000	0.00	0.000 (21)
11	100	80	5.65	1150.00	6.43	320.88	0.000000	0.00	0.000 (21)
12	100	80	5.65	1150.00	5.55	320.88	0.000000	0.00	0.000 (21)
13	100	80	5.65	1150.00	4.69	320.88	0.000000	0.00	0.000 (21)
14	100	80	5.65	1150.00	3.88	320.88	0.000000	0.00	0.000 (21)
15	100	80	5.65	1150.00	3.13	320.88	0.000000	0.00	0.000 (21)
16	100	80	5.65	1150.00	2.46	320.88	0.000000	0.00	0.000 (21)
17	100	80	5.65	1150.00	1.90	320.88	0.000000	0.00	0.000 (21)
18	100	80	5.65	1150.00	1.47	320.88	0.000000	0.00	0.000 (21)
19	100	80	5.65	1150.00	1.10	320.88	0.000000	0.00	0.000 (21)
20	100	80	5.65	1150.00	0.76	320.88	0.000000	0.00	0.000 (21)
21	100	80	5.65	1150.00	0.46	320.88	0.000000	0.00	0.000 (21)
22	100	80	5.65	1150.00	0.22	320.88	0.000000	0.00	0.000 (21)
23	100	80	5.65	1150.00	0.06	320.88	0.000000	0.00	0.000 (21)
24	100	80	0.00	0.00	0.00	0.00	---	---	0.000 (21)

Sperone

Apertura limite fessure $w_{lim}=0.30$

n°	B [cm]	H [cm]	Af [cmq]	Aeff [cmq]	M [kNm]	Mpf [kNm]	ε [%]	Sm [mm]	w [mm]
1	100	60	10.05	1200.00	12.02	188.20	0.000000	0.00	0.000 (21)

Combinazioni SLEQ

Paramento

Apertura limite fessure $w_{lim}=0.20$

n°	B [cm]	H [cm]	Af [cmq]	Aeff [cmq]	M [kNm]	Mpf [kNm]	ε [%]	Sm [mm]	w [mm]
1	100	70	0.00	0.00	0.00	0.00	---	---	0.000 (22)
2	100	70	10.05	1200.00	0.01	274.49	0.000000	0.00	0.000 (22)
3	100	70	10.05	1200.00	0.03	274.70	0.000000	0.00	0.000 (22)
4	100	70	10.05	1200.00	0.07	274.91	0.000000	0.00	0.000 (22)
5	100	70	10.05	1200.00	0.14	275.11	0.000000	0.00	0.000 (22)
6	100	70	10.05	1200.00	0.24	275.31	0.000000	0.00	0.000 (22)
7	100	70	10.05	1200.00	0.37	275.51	0.000000	0.00	0.000 (22)
8	100	70	10.05	1200.00	0.53	275.72	0.000000	0.00	0.000 (22)
9	100	70	10.05	1200.00	0.75	275.93	0.000000	0.00	0.000 (22)
10	100	70	10.05	1200.00	1.00	276.13	0.000000	0.00	0.000 (22)
11	100	70	10.05	1200.00	1.31	276.35	0.000000	0.00	0.000 (22)
12	100	70	10.05	1200.00	1.68	276.54	0.000000	0.00	0.000 (22)
13	100	70	10.05	1200.00	2.11	276.76	0.000000	0.00	0.000 (22)
14	100	70	10.05	1200.00	2.60	276.96	0.000000	0.00	0.000 (22)
15	100	70	10.05	1200.00	3.16	277.16	0.000000	0.00	0.000 (22)
16	100	70	10.05	1200.00	3.80	277.37	0.000000	0.00	0.000 (22)

Fondazione

Apertura limite fessure $w_{lim}=0.20$

n°	B [cm]	H [cm]	Af [cmq]	Aeff [cmq]	M [kNm]	Mpf [kNm]	ε [%]	Sm [mm]	w [mm]
1	100	80	0.00	0.00	0.00	0.00	---	---	0.000 (22)
2	100	80	5.65	1150.00	0.06	320.88	0.000000	0.00	0.000 (22)
3	100	80	5.65	1150.00	0.26	320.88	0.000000	0.00	0.000 (22)
4	100	80	5.65	1150.00	0.60	320.88	0.000000	0.00	0.000 (22)
5	100	80	5.65	1150.00	1.11	320.88	0.000000	0.00	0.000 (22)
6	100	80	5.65	1150.00	1.81	320.88	0.000000	0.00	0.000 (22)
7	100	80	5.65	1150.00	2.85	320.88	0.000000	0.00	0.000 (22)
8	100	80	5.65	1150.00	4.00	320.88	0.000000	0.00	0.000 (22)
9	100	80	5.65	1150.00	5.34	320.88	0.000000	0.00	0.000 (22)
10	100	80	5.65	1150.00	6.86	320.88	0.000000	0.00	0.000 (22)
11	100	80	5.65	1150.00	8.57	320.88	0.000000	0.00	0.000 (22)
12	100	80	5.65	1150.00	10.47	320.88	0.000000	0.00	0.000 (22)
13	100	80	5.65	1150.00	12.56	320.88	0.000000	0.00	0.000 (22)
14	100	80	5.65	1150.00	14.84	320.88	0.000000	0.00	0.000 (22)
15	100	80	5.65	1150.00	17.31	320.88	0.000000	0.00	0.000 (22)
16	100	80	5.65	1150.00	20.00	320.88	0.000000	0.00	0.000 (22)
17	100	80	5.65	1150.00	22.90	320.88	0.000000	0.00	0.000 (22)
18	100	80	5.65	1150.00	26.03	320.88	0.000000	0.00	0.000 (22)
19	100	80	5.65	1150.00	29.40	320.88	0.000000	0.00	0.000 (22)
20	100	80	5.65	1150.00	33.03	320.88	0.000000	0.00	0.000 (22)
21	100	80	5.65	1150.00	36.93	320.88	0.000000	0.00	0.000 (22)
22	100	80	5.65	1150.00	41.10	320.88	0.000000	0.00	0.000 (22)
23	100	80	5.65	1150.00	45.55	320.88	0.000000	0.00	0.000 (22)
24	100	80	0.00	0.00	0.00	0.00	---	---	0.000 (22)

Sperone

Apertura limite fessure $w_{lim}=0.20$

n°	B [cm]	H [cm]	Af [cmq]	Aeff [cmq]	M [kNm]	Mpf [kNm]	ε [%]	Sm [mm]	w [mm]
1	100	60	10.05	1200.00	9.22	188.20	0.000000	0.00	0.000 (22)

17 ALLEGATO 2 – TABULATO SEZIONE TIPO 2

Dati

Materiali

Simbologia adottata

n°	Indice materiale
Descr	Descrizione del materiale
Calcestruzzo armato	
C	Classe di resistenza del cls
A	Classe di resistenza dell'acciaio
γ	Peso specifico, espresso in [kN/mc]
R_{ck}	Resistenza caratteristica a compressione, espressa in [kPa]
E	Modulo elastico, espresso in [kPa]
ν	Coeff. di Poisson
n	Coeff. di omogenizzazione acciaio/cls
ntc	Coeff. di omogenizzazione cls tesoro/compresso

Calcestruzzo armato

n°	Descr	C	A	γ [kN/mc]	R_{ck} [kPa]	E [kPa]	ν	n	ntc
1	C32/40	C32/40	B450C	24.5170	40000	33642648	0.30	15.00	0.50
6	C28/35	C28/35	B450C	24.5170	35000	32587986	0.30	15.00	0.50

Acciai

Descr	f_{yk} [kPa]	f_{uk} [kPa]
B450C	450000	540000

Geometria profilo terreno a monte del muro

Simbologia adottata

(Sistema di riferimento con origine in testa al muro, ascissa X positiva verso monte, ordinata Y positiva verso l'alto)

n°	numero ordine del punto
X	ascissa del punto espressa in [m]
Y	ordinata del punto espressa in [m]
A	inclinazione del tratto espressa in [°]

n°	X [m]	Y [m]	A [°]
1	0.00	0.00	0.000
2	12.00	0.00	0.000

Inclinazione terreno a valle del muro rispetto all'orizzontale 0.000 [°]

Falda

Simbologia adottata

(Sistema di riferimento con origine in testa al muro, ascissa X positiva verso monte, ordinata Y positiva verso l'alto)

n°	numero ordine del punto
X	ascissa del punto espressa in [m]
Y	ordinata del punto espressa in [m]
A	inclinazione del tratto espressa in [°]

n°	X [m]	Y [m]	A [°]
1	-8.00	-2.80	0.000
2	10.00	-2.80	0.000
3	12.00	-2.80	0.000

Geometria muro

Geometria paramento e fondazione

Lunghezza muro	1.00	[m]
<u>Paramento</u>		
Materiale	C32/40	
Altezza paramento	2.00	[m]
Altezza paramento libero	2.00	[m]
Spessore in sommità	0.70	[m]
Spessore all'attacco con la fondazione	0.70	[m]
Inclinazione paramento esterno	0.00	[°]
Inclinazione paramento interno	0.00	[°]
<u>Fondazione</u>		
Materiale	C28/35	
Lunghezza mensola di valle	0.50	[m]
Lunghezza mensola di monte	2.00	[m]
Lunghezza totale	3.20	[m]
Inclinazione piano di posa	0.00	[°]
Spessore	0.80	[m]
Spessore magrone	0.00	[m]
<u>Sperone</u>		
Posizione	Monte	
Distanza dal tacco della fondazione	0.00	[m]
Altezza	0.60	[m]
Spessore	0.60	[m]

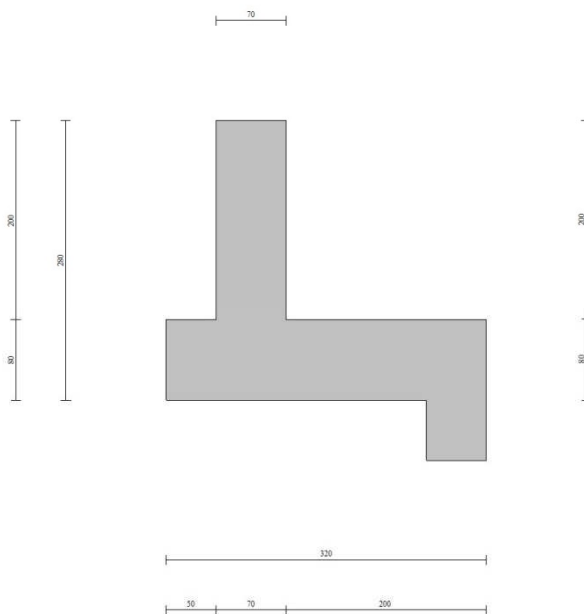


Fig. 1 - Sezione quotata del muro

Descrizione terreni

Parametri di resistenza

Simbologia adottata

n°	Indice del terreno
Descr	Descrizione terreno
γ	Peso di volume del terreno espresso in [kN/mc]
γ_s	Peso di volume saturo del terreno espresso in [kN/mc]
ϕ	Angolo d'attrito interno espresso in [°]
δ	Angolo d'attrito terra-muro espresso in [°]
c	Coesione espressa in [kPa]

n°	Descr	γ [kN/mc]	γ_{sat} [kN/mc]	ϕ [°]	δ [°]	c [kPa]
1	RILEVATO	20.0000	20.0000	35.000	23.000	0
2	FORMAZIONE B	20.0000	20.0000	38.000	25.000	0
3	FORMAZIONE A-SUP	19.0000	19.0000	28.000	18.000	5
4	FORMAZIONE A-INF	19.0000	19.0000	28.000	18.000	0

Stratigrafia

Simbologia adottata

n°	Indice dello strato
H	Spessore dello strato espresso in [m]
α	Inclinazione espressa in [°]
Terreno	Terreno dello strato

n°	H [m]	α [°]	Terreno
1	2.80	0.000	RILEVATO
2	2.00	0.000	FORMAZIONE A-SUP
3	7.00	0.000	FORMAZIONE A-INF

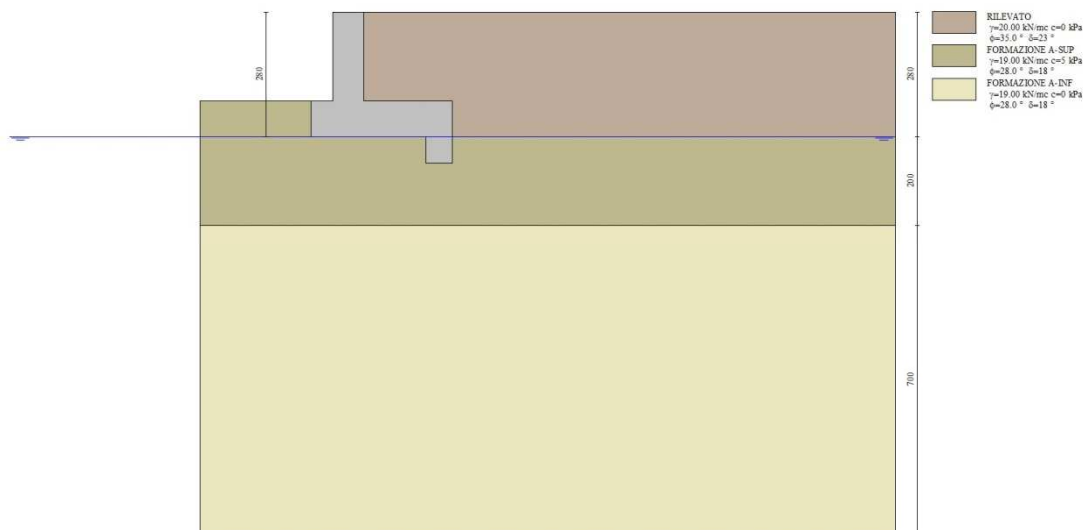


Fig. 2 - Stratigrafia

Condizioni di carico

Simbologia adottata

Carichi verticali positivi verso il basso.
Carichi orizzontali positivi verso sinistra.
Momento positivo senso antiorario.

X	Ascissa del punto di applicazione del carico concentrato espressa in [m]
F _x	Componente orizzontale del carico concentrato espressa in [kN]
F _y	Componente verticale del carico concentrato espressa in [kN]
M	Momento espresso in [kNm]
X _i	Ascissa del punto iniziale del carico ripartito espressa in [m]
X _f	Ascissa del punto finale del carico ripartito espressa in [m]
Q _i	Intensità del carico per x=X _i espressa in [kN]
Q _f	Intensità del carico per x=X _f espressa in [kN]

Condizione n° 1 (Traffico) - VARIABILE TF

Coeff. di combinazione $\Psi_0=0.75 - \Psi_1=0.75 - \Psi_2=0.25$

Carichi sul terreno

n°	Tipo	X [m]	F _x [kN]	F _y [kN]	M [kNm]	X _i [m]	X _f [m]	Q _i [kN]	Q _f [kN]
1	Distribuito					0.00	12.00	20.0000	20.0000

Condizione n° 2 (Urto-STR) - ECCEZIONALE

Carichi sul muro

n°	Tipo	Dest	X; Y [m]	F _x [kN]	F _y [kN]	M [kNm]	X _i [m]	X _f [m]	Q _i [kN]	Q _f [kN]
1	Concentrato	Paramento	-0.35; 0.00	25.0000	0.0000	25.0000				

Condizione n° 3 (Urto-GEO) - VARIABILE

Coeff. di combinazione $\Psi_0=0.00 - \Psi_1=0.00 - \Psi_2=0.00$

Carichi sul muro

n°	Tipo	Dest	X; Y [m]	F _x [kN]	F _y [kN]	M [kNm]	X _i [m]	X _f [m]	Q _i [kN]	Q _f [kN]
1	Concentrato	Paramento	-0.35; 0.00	11.9000	0.0000	11.9000				

Normativa

Normativa usata: **Norme Tecniche sulle Costruzioni 2018 (D.M. 17.01.2018) + Circolare C.S.LL.PP. 21/01/2019 n.7**

Coeff. parziali per le azioni o per l'effetto delle azioni

Carichi	Effetto		Combinazioni statiche					Combinazioni sismiche			
			HYD	UPL	EQU	A1	A2	EQU	A1	A2	
Permanenti strutturali	Favorevoli	$\gamma_{G1, fav}$	1.00	0.90	1.00	1.00	1.00	1.00	1.00	1.00	1.00
Permanenti strutturali	Sfavorevoli	$\gamma_{G1, sfav}$	1.00	1.10	1.30	1.30	1.00	1.00	1.00	1.00	1.00
Permanenti non strutturali	Favorevoli	$\gamma_{G2, fav}$	0.00	0.80	0.80	0.80	0.80	0.80	0.00	0.00	0.00
Permanenti non strutturali	Sfavorevoli	$\gamma_{G2, sfav}$	1.00	1.50	1.50	1.50	1.30	1.00	1.00	1.00	1.00
Variabili	Favorevoli	$\gamma_{O, fav}$	0.00	0.00	0.00	0.00	0.00	0.00	0.00	0.00	0.00
Variabili	Sfavorevoli	$\gamma_{O, sfav}$	1.00	1.50	1.50	1.50	1.30	1.00	1.00	1.00	1.00
Variabili da traffico	Favorevoli	$\gamma_{OT, fav}$	0.00	0.00	0.00	0.00	0.00	0.00	0.00	0.00	0.00
Variabili da traffico	Sfavorevoli	$\gamma_{OT, sfav}$	1.00	1.50	1.35	1.35	1.15	1.00	1.00	1.00	1.00

Coeff. parziali per i parametri geotecnici del terreno

Parametro		Combinazioni statiche		Combinazioni sismiche	
		M1	M2	M1	M2
Tangente dell'angolo di attrito	$\gamma_{\tan(\phi')}$	1.00	1.25	1.00	1.00
Coazione efficace	γ_c	1.00	1.25	1.00	1.00
Resistenza non drenata	γ_{cu}	1.00	1.40	1.00	1.00
Peso nell'unità di volume	γ_v	1.00	1.00	1.00	1.00

Coeff. parziali γ_R per le verifiche agli stati limite ultimi STR e GEO

Verifica	Combinazioni statiche			Combinazioni sismiche		
	R1	R2	R3	R1	R2	R3
Capacità portante	--	--	1.40	--	--	1.20
Scorrimento	--	--	1.10	--	--	1.00
Resistenza terreno a valle	--	--	1.40	--	--	1.20
Ribaltamento	--	--	1.15	--	--	1.00
Stabilità fronte di scavo	--	1.10	--	--	1.20	--

Descrizione combinazioni di carico

Con riferimento alle azioni elementari prima determinate, si sono considerate le seguenti combinazioni di carico:

- Combinazione fondamentale, impiegata per gli stati limite ultimi (SLU):

$$\gamma_{G1} G_1 + \gamma_{G2} G_2 + \gamma_{Q1} Q_{k1} + \gamma_{Q2} Q_{k2} + \gamma_{Q3} Q_{k3} + \dots$$

- Combinazione caratteristica, cosiddetta rara, impiegata per gli stati limite di esercizio (SLE) irreversibili:

$$G_1 + G_2 + Q_{k1} + \Psi_{0,2} Q_{k2} + \Psi_{0,3} Q_{k3} + \dots$$

- Combinazione frequente, impiegata per gli stati limite di esercizio (SLE) reversibili:

$$G_1 + G_2 + \Psi_{1,1} Q_{k1} + \Psi_{2,2} Q_{k2} + \Psi_{2,3} Q_{k3} + \dots$$

- Combinazione quasi permanente, impiegata per gli effetti di lungo periodo:

$$G_1 + G_2 + \Psi_{2,1} Q_{k1} + \Psi_{2,2} Q_{k2} + \Psi_{2,3} Q_{k3} + \dots$$

- Combinazione sismica, impiegata per gli stati limite ultimi connessi all'azione sismica E:

$$E + G_1 + G_2 + \Psi_{2,1} Q_{k1} + \Psi_{2,2} Q_{k2} + \Psi_{2,3} Q_{k3} + \dots$$

- Combinazione eccezionale, impiegata per gli stati limite ultimi connessi alle azioni eccezionali Ad:

$$G_1 + G_2 + A_d + \Psi_{2,1} Q_{k1} + \Psi_{2,2} Q_{k2} + \Psi_{2,3} Q_{k3} + \dots$$

I valori dei coeff. $\Psi_{0,j}$, $\Psi_{1,j}$, $\Psi_{2,j}$ sono definiti nelle singole condizioni variabili. Per i valori dei coeff. γ_G e γ_Q , sono definiti nella tabella normativa.

In particolare si sono considerate le seguenti combinazioni:

Simbologia adottata

γ Coefficiente di partecipazione della condizione
 Ψ Coefficiente di combinazione della condizione

Combinazione n° 1 - STR (A1-M1-R3)

Condizione	γ	Ψ	Effetto
Peso muro	1.00	--	Favorevole
Peso terrapieno	1.00	--	Favorevole
Spinta terreno	1.30	--	Sfavorevole
Traffico	1.35	1.00	Sfavorevole

Combinazione n° 2 - STR (A1-M1-R3)

Condizione	γ	Ψ	Effetto
Peso muro	1.00	--	Favorevole
Peso terrapieno	1.00	--	Favorevole
Spinta terreno	1.30	--	Sfavorevole
Traffico	1.35	0.25	Sfavorevole
Urto-GEO	1.50	1.00	Sfavorevole

Combinazione n° 3 - STR (A1-M1-R3) H + V

Condizione	γ	Ψ	Effetto
Peso muro	1.00	--	Favorevole
Peso terrapieno	1.00	--	Favorevole
Spinta terreno	1.00	--	Sfavorevole
Traffico	1.00	0.25	Sfavorevole

Combinazione n° 4 - STR (A1-M1-R3) H - V

Condizione	γ	Ψ	Effetto
Peso muro	1.00	--	Sfavorevole
Peso terrapieno	1.00	--	Sfavorevole
Spinta terreno	1.00	--	Sfavorevole
Traffico	1.00	0.25	Sfavorevole

Combinazione n° 5 - STR (A1-M1-R3)

Condizione	γ	Ψ	Effetto
Peso muro	1.30	--	Sfavorevole
Peso terrapieno	1.30	--	Sfavorevole

Condizione	γ	Ψ	Effetto
Spinta terreno	1.30	--	Sfavorevole
Traffico	1.35	1.00	Sfavorevole

Combinazione n° 6 - STR (A1-M1-R3)

Condizione	γ	Ψ	Effetto
Peso muro	1.00	--	Favorevole
Peso terrapieno	1.30	--	Sfavorevole
Spinta terreno	1.30	--	Sfavorevole
Traffico	1.35	1.00	Sfavorevole

Combinazione n° 7 - STR (A1-M1-R3)

Condizione	γ	Ψ	Effetto
Peso muro	1.30	--	Sfavorevole
Peso terrapieno	1.00	--	Favorevole
Spinta terreno	1.30	--	Sfavorevole
Traffico	1.35	1.00	Sfavorevole

Combinazione n° 8 - STR (A1-M1-R3)

Condizione	γ	Ψ	Effetto
Peso muro	1.30	--	Sfavorevole
Peso terrapieno	1.30	--	Sfavorevole
Spinta terreno	1.30	--	Sfavorevole
Traffico	1.35	0.25	Sfavorevole
Urto-GEO	1.50	1.00	Sfavorevole

Combinazione n° 9 - STR (A1-M1-R3)

Condizione	γ	Ψ	Effetto
Peso muro	1.00	--	Favorevole
Peso terrapieno	1.30	--	Sfavorevole
Spinta terreno	1.30	--	Sfavorevole
Traffico	1.35	0.25	Sfavorevole
Urto-GEO	1.50	1.00	Sfavorevole

Combinazione n° 10 - STR (A1-M1-R3)

Condizione	γ	Ψ	Effetto
Peso muro	1.30	--	Sfavorevole
Peso terrapieno	1.00	--	Favorevole
Spinta terreno	1.30	--	Sfavorevole
Traffico	1.35	0.25	Sfavorevole
Urto-GEO	1.50	1.00	Sfavorevole

Combinazione n° 11 - GEO (A2-M2-R2)

Condizione	γ	Ψ	Effetto
Peso muro	1.00	--	Sfavorevole
Peso terrapieno	1.00	--	Sfavorevole
Spinta terreno	1.00	--	Sfavorevole
Traffico	1.15	1.00	Sfavorevole

Combinazione n° 12 - GEO (A2-M2-R2)

Condizione	γ	Ψ	Effetto
Peso muro	1.00	--	Sfavorevole
Peso terrapieno	1.00	--	Sfavorevole
Spinta terreno	1.00	--	Sfavorevole
Traffico	1.15	0.25	Sfavorevole
Urto-GEO	1.30	1.00	Sfavorevole

Combinazione n° 13 - GEO (A2-M2-R2) H + V

Condizione	γ	Ψ	Effetto
Peso muro	1.00	--	Sfavorevole
Peso terrapieno	1.00	--	Sfavorevole
Spinta terreno	1.00	--	Sfavorevole
Traffico	1.00	0.25	Sfavorevole

Combinazione n° 14 - GEO (A2-M2-R2) H - V

Condizione	γ	Ψ	Effetto
Peso muro	1.00	--	Sfavorevole
Peso terrapieno	1.00	--	Sfavorevole
Spinta terreno	1.00	--	Sfavorevole
Traffico	1.00	0.25	Sfavorevole

Combinazione n° 15 - EQU (A1-M1-R3)

Condizione	γ	Ψ	Effetto
Peso muro	1.00	--	Favorevole
Peso terrapieno	1.00	--	Favorevole
Spinta terreno	1.30	--	Sfavorevole
Traffico	1.35	1.00	Sfavorevole

Combinazione n° 16 - EQU (A1-M1-R3)

Condizione	γ	Ψ	Effetto
Peso muro	1.00	--	Favorevole
Peso terrapieno	1.00	--	Favorevole
Spinta terreno	1.30	--	Sfavorevole
Traffico	1.35	0.25	Sfavorevole
Urto-GEO	1.50	1.00	Sfavorevole

Combinazione n° 17 - EQU (A1-M1-R3) H + V

Condizione	γ	Ψ	Effetto
Peso muro	1.00	--	Favorevole
Peso terrapieno	1.00	--	Favorevole
Spinta terreno	1.00	--	Sfavorevole
Traffico	1.00	0.25	Sfavorevole

Combinazione n° 18 - EQU (A1-M1-R3) H - V

Condizione	γ	Ψ	Effetto
Peso muro	1.00	--	Favorevole
Peso terrapieno	1.00	--	Favorevole
Spinta terreno	1.00	--	Sfavorevole
Traffico	1.00	0.25	Sfavorevole

Combinazione n° 19 - ECC

Condizione	γ	Ψ	Effetto
Peso muro	1.00	--	Sfavorevole
Peso terrapieno	1.00	--	Sfavorevole
Spinta terreno	1.00	--	Sfavorevole
Traffico	1.00	0.25	Sfavorevole
Urto-STR	1.00	1.00	Sfavorevole

Combinazione n° 20 - SLER

Condizione	γ	Ψ	Effetto
Peso muro	1.00	--	Sfavorevole
Peso terrapieno	1.00	--	Sfavorevole
Spinta terreno	1.00	--	Sfavorevole
Traffico	1.00	1.00	Sfavorevole

Combinazione n° 21 - SLEF

Condizione	γ	Ψ	Effetto
Peso muro	1.00	--	Sfavorevole
Peso terrapieno	1.00	--	Sfavorevole
Spinta terreno	1.00	--	Sfavorevole
Traffico	1.00	0.75	Sfavorevole

Combinazione n° 22 - SLEQ

Condizione	γ	Ψ	Effetto
Peso muro	1.00	--	Sfavorevole
Peso terrapieno	1.00	--	Sfavorevole
Spinta terreno	1.00	--	Sfavorevole
Traffico	1.00	0.25	Sfavorevole

Dati sismici

Vita nominale	50 anni
Classe d'uso	IV
Tipo costruzione	Normali affollamenti
Vita di riferimento	100 anni

	Simbolo	U.M.	SLU
Accelerazione al suolo	a_g	[m/s ²]	2.120
Accelerazione al suolo	a_g/g	[%]	0.216
Massimo fattore amplificazione spettro orizzontale	F0		2.421
Periodo inizio tratto spettro a velocità costante	Tc*		0.315
Tipo di sottosuolo - Coefficiente stratigrafico	Ss	C	1.389
Categoria topografica - Coefficiente amplificazione topografica	St	T1	1.000

Stato limite ...	Coeff. di riduzione β_m	kh	kv
Ultimo	0.380	11.407	5.703
Ultimo - Ribaltamento	0.570	17.110	8.555
Esercizio	0.470	6.139	3.070

Forma diagramma incremento sismico **Rettangolare**

Opzioni di calcolo

Spinta

Metodo di calcolo della spinta	Culmann
Tipo di spinta	Spinta attiva
Terreno a bassa permeabilità	NO
Superficie di spinta limitata	NO

Capacità portante

Metodo di calcolo della portanza	Hansen
Criterio di media calcolo del terreno equivalente (terreni stratificati)	Ponderata
Criterio di riduzione per eccentricità della portanza	Meyerhof
Criterio di riduzione per rottura locale (punzonamento)	Nessuna
Larghezza fondazione nel terzo termine della formula del carico limite ($0.5B\gamma N_{\gamma}$)	Larghezza ridotta (B')
Fattori di forma e inclinazione del carico	Fattori di inclinazione e fattori di forma

Stabilità globale

Metodo di calcolo della stabilità globale	Bishop
---	--------

Altro

Partecipazione spinta passiva terreno antistante	0.00
--	------

Condizioni ambientali	Aggressive
Armatura ad aderenza migliorata	SI

Verifica a fessurazione

Sensibilità armatura	Poco sensibile
Metodo di calcolo aperture delle fessure	NTC 2018 - CIRCOLARE 21 gennaio 2019, n. 7 C.S.LL.PP.

Valori limite aperture delle fessure:

$$w_1=0.20$$

$$w_2=0.30$$

$$w_3=0.40$$

Verifica delle tensioni

Valori limite delle tensioni nei materiali:

Combinazione	Calcestruzzo	Acciaio
Rara	$0.60 f_{ck}$	$0.80 f_{yk}$
Frequente	$1.00 f_{ck}$	$1.00 f_{yk}$
Quasi permanente	$0.45 f_{ck}$	$1.00 f_{yk}$

Risultati per inviluppo

Spinta e forze

Simbologia adottata

Ic	Indice della combinazione
A	Tipo azione
I	Inclinazione della spinta, espressa in [°]
V	Valore dell'azione, espressa in [kN]
C _x , C _y	Componente in direzione X ed Y dell'azione, espressa in [kN]
P _x , P _y	Coordinata X ed Y del punto di applicazione dell'azione, espressa in [m]

Ic	A	V [kN]	I [°]	C _x [kN]	C _y [kN]	P _x [m]	P _y [m]
1	Spinta statica	60.02	21.61	55.80	22.11	2.00	-2.07
	Peso/Inerzia muro			0.00	105.91/0.00	0.27	-2.00
	Peso/Inerzia terrapieno			0.00	134.00/0.00	1.00	-1.00
	Spinta falda da monte			2.29		2.00	-3.20
	Peso dell'acqua sulla fondazione di valle				0.00	0.00	0.00
	Resistenza passiva sperone			-88.00			

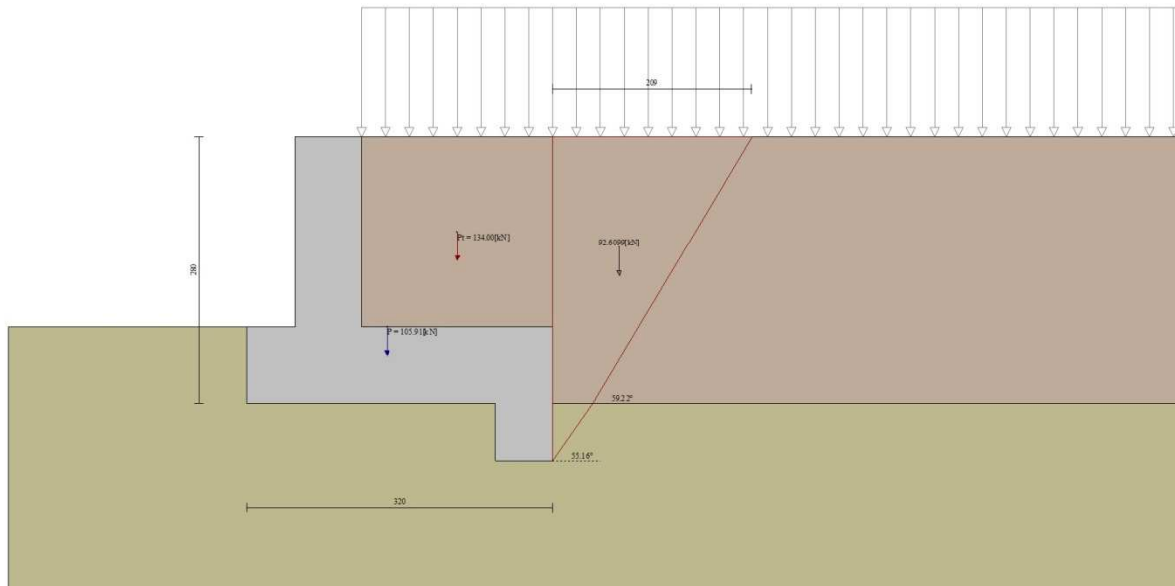


Fig. 3 - Cuneo di spinta (combinazione statica) (Combinazione n° 1)

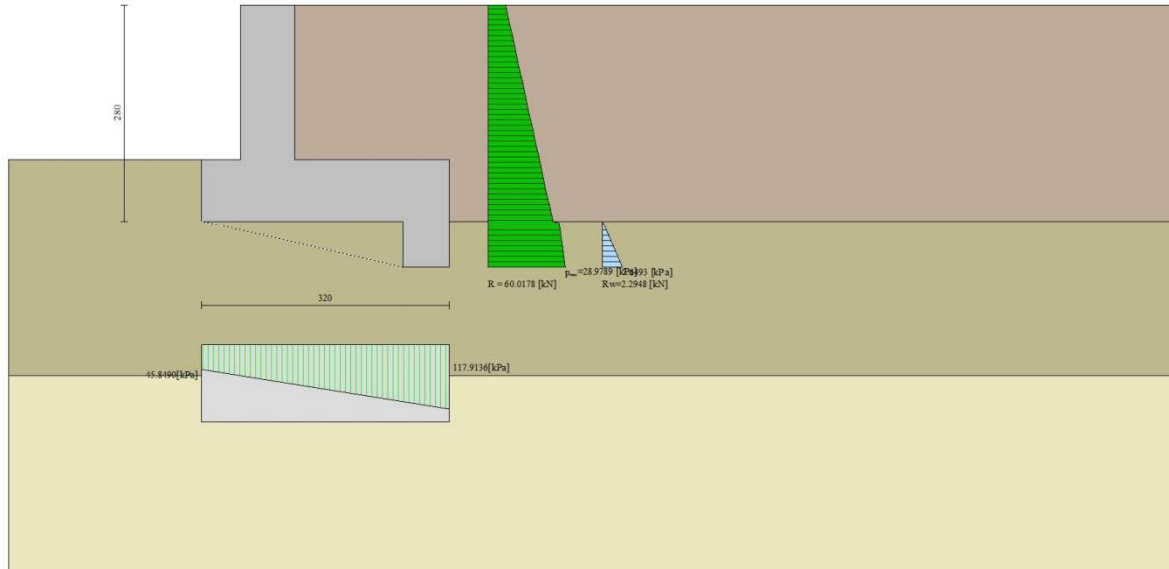


Fig. 4 - Diagramma delle pressioni (combinazione statica) (Combinazione n° 1)

Risultanti globali

Simbologia adottata

Cmb	Indice/Tipo combinazione
N	Componente normale al piano di posa, espressa in [kN]
T	Componente parallela al piano di posa, espressa in [kN]
M _r	Momento ribaltante, espresso in [kNm]
M _s	Momento stabilizzante, espresso in [kNm]
ecc	Eccentricità risultante, espressa in [m]

Ic	N [kN]	T [kN]	M _r [kNm]	M _s [kNm]	ecc [m]
1 - STR (A1-M1-R3)	262.02	58.09	40.01	520.73	-0.235
2 - STR (A1-M1-R3)	214.90	59.48	90.92	410.46	0.113
3 - STR (A1-M1-R3)	222.89	64.17	57.61	423.91	-0.043
4 - STR (A1-M1-R3)	199.15	60.58	73.81	399.31	-0.034
5 - STR (A1-M1-R3)	317.79	58.09	40.01	620.09	-0.225
6 - STR (A1-M1-R3)	286.02	58.09	40.01	573.53	-0.265
7 - STR (A1-M1-R3)	293.79	58.09	40.01	567.29	-0.195
8 - STR (A1-M1-R3)	270.68	59.48	90.92	509.81	0.052
9 - STR (A1-M1-R3)	238.90	59.48	90.92	463.26	0.041
10 - STR (A1-M1-R3)	246.68	59.48	90.92	457.01	0.116
11 - GEO (A2-M2-R2)	250.08	58.94	42.28	490.52	-0.192
12 - GEO (A2-M2-R2)	209.80	56.50	82.49	396.14	0.105
13 - GEO (A2-M2-R2)	222.89	64.17	57.61	423.91	-0.043
14 - GEO (A2-M2-R2)	199.15	60.58	73.81	399.31	-0.034
15 - EQU (A1-M1-R3)	262.02	58.09	40.01	520.73	-0.235
16 - EQU (A1-M1-R3)	214.90	59.48	90.92	410.46	0.113
17 - EQU (A1-M1-R3)	230.89	81.50	78.42	441.71	0.027
18 - EQU (A1-M1-R3)	195.40	76.41	103.05	405.19	0.054
19 - ECC	207.54	56.16	112.80	390.38	0.262
20 - SLER	242.44	43.36	30.33	472.07	-0.222
21 - SLEF	230.80	39.29	26.15	444.84	-0.214
22 - SLEQ	207.54	31.16	17.80	390.38	-0.195

Verifiche geotecniche

Quadro riassuntivo coeff. di sicurezza calcolati

Simbologia adottata

Cmb	Indice/Tipo combinazione
S	Sisma (H: componente orizzontale, V: componente verticale)
FS _{SCO}	Coeff. di sicurezza allo scorrimento
FS _{RIB}	Coeff. di sicurezza al ribaltamento
FS _{OLIM}	Coeff. di sicurezza a carico limite
FS _{STAB}	Coeff. di sicurezza a stabilità globale

Cmb	Sismica	FS _{SCO}	FS _{RIB}	FS _{OLIM}	FS _{STAB}
1 - STR (A1-M1-R3)		1.888		2.279	
2 - STR (A1-M1-R3)		1.561		2.580	
3 - STR (A1-M1-R3)	H + V	1.482		2.608	
4 - STR (A1-M1-R3)	H - V	1.409		2.801	
5 - STR (A1-M1-R3)		2.280		2.144	
6 - STR (A1-M1-R3)		2.051		2.165	
7 - STR (A1-M1-R3)		2.117		2.268	
8 - STR (A1-M1-R3)		1.944		2.655	
9 - STR (A1-M1-R3)		1.720		2.779	
10 - STR (A1-M1-R3)		1.784		2.523	
11 - GEO (A2-M2-R2)					1.909
12 - GEO (A2-M2-R2)					2.324
13 - GEO (A2-M2-R2)	H + V				2.143
14 - GEO (A2-M2-R2)	H - V				2.035
15 - EQU (A1-M1-R3)			13.016		
16 - EQU (A1-M1-R3)			4.514		
17 - EQU (A1-M1-R3)	H + V		5.632		
18 - EQU (A1-M1-R3)	H - V		3.932		

Verifica a scorrimento fondazione

Simbologia adottata

n°	Indice combinazione
Rsa	Resistenza allo scorrimento per attrito, espresso in [kN]
Rpt	Resistenza passiva terreno antistante, espresso in [kN]
Rps	Resistenza passiva sperone, espresso in [kN]
Rp	Resistenza a carichi orizzontali pali (solo per fondazione mista), espresso in [kN]
Rt	Resistenza a carichi orizzontali tiranti (solo se presenti), espresso in [kN]
R	Resistenza allo scorrimento (somma di Rsa+Rpt+Rps+Rp), espresso in [kN]
T	Carico parallelo al piano di posa, espresso in [kN]
FS	Fattore di sicurezza (rapporto R/T)

n°	Rsa [kN]	Rpt [kN]	Rps [kN]	Rp [kN]	Rt [kN]	R [kN]	T [kN]	FS
4 - STR (A1-M1-R3) H - V	12.77	0.00	72.58	--	--	85.35	60.58	1.409

Dettagli verifica a scorrimento

Simbologia adottata

n°	Indice combinazione
Ncss	Carico sul cuneo di spinta passiva, espresso in [kN]
φ _{Rp}	Angolo di rottura passivo, espresso in [°]
Nrpp	Carico residuo sul piano di posa, espresso in [kN]
Lr	Lunghezza base residua, espresso in [m]

n°	Ncss [kN]	φ _{Rp}	Nrpp [kN]	Lr [m]
4	159.84	12.996	39.32	0.60

Verifica a carico limite

Simbologia adottata

n°	Indice combinazione
N	Carico normale totale al piano di posa, espresso in [kN]
Qu	carico limite del terreno, espresso in [kN]
Qd	Portanza di progetto, espresso in [kN]
FS	Fattore di sicurezza (rapporto tra il carico limie e carico agente al piano di posa)

n°	N [kN]	Qu [kN]	Qd [kN]	FS
5 - STR (A1-M1-R3)	317.79	681.35	486.68	2.144

Dettagli calcolo portanza

Simbologia adottata

n°	Indice combinazione
Nc, Nq, Ny	Fattori di capacità portante
ic, iq, iy	Fattori di inclinazione del carico
dc, dq, dy	Fattori di profondità del piano di posa
gc, gq, gy	Fattori di inclinazione del profilo topografico
bc, bq, by	Fattori di inclinazione del piano di posa
sc, sq, sy	Fattori di forma della fondazione
pc, pq, py	Fattori di riduzione per punzonamento secondo Vesic
Re	Fattore di riduzione capacità portante per eccentricità secondo Meyerhof
Ir, Irc	Indici di rigidezza per punzonamento secondo Vesic
r _γ	Fattori per tener conto dell'effetto piastra. Per fondazioni che hanno larghezza maggiore di 2 m, il terzo termine della formula trinomia 0.5B _γ N _γ viene moltiplicato per questo fattore
D	Affondamento del piano di posa, espresso in [m]
B'	Larghezza fondazione ridotta, espresso in [m]
H	Altezza del cono di rottura, espresso in [m]
γ	Peso di volume del terreno medio, espresso in [kN/mc]
φ	Angolo di attrito del terreno medio, espresso in [°]
c	Coesione del terreno medio, espresso in [kPa]

Per i coeff. che in tabella sono indicati con il simbolo '--' sono coeff. non presenti nel metodo scelto (Hansen).

n°	Nc Nq Ny	ic iq iy	dc dq dy	gc gq gy	bc bq by	sc sq sy	pc pq py	Ir	Irc	Re	r _γ
5	25.803 14.720 10.942	0.591 0.619 0.504	1.100 1.075 1.000	1.000 1.000 1.000	1.000 1.000 1.000	1.006 1.005 0.996	-- -- --	--	--	0.735	0.949

n°	D [m]	B' [m]	H [m]	γ [°]	φ [kN/mc]	c [kPa]
5	0.80	3.20	2.66	9.19	28.00	4

Verifica a ribaltamento

Simbologia adottata

n°	Indice combinazione
Ms	Momento stabilizzante, espresso in [kNm]
Mr	Momento ribaltante, espresso in [kNm]
FS	Fattore di sicurezza (rapporto tra momento stabilizzante e momento ribaltante)

La verifica viene eseguita rispetto allo spigolo inferiore esterno della fondazione

n°	Ms [kNm]	Mr [kNm]	FS
18 - EQU (A1-M1-R3) H - V	405.19	103.05	3.932

Verifica stabilità globale muro + terreno

Simbologia adottata

Ic	Indice/Tipo combinazione
C	Centro superficie di scorrimento, espresso in [m]
R	Raggio, espresso in [m]
FS	Fattore di sicurezza

Ic	C [m]	R [m]	FS
11 - GEO (A2-M2-R2)	-1.00; 1.50	5.76	1.909

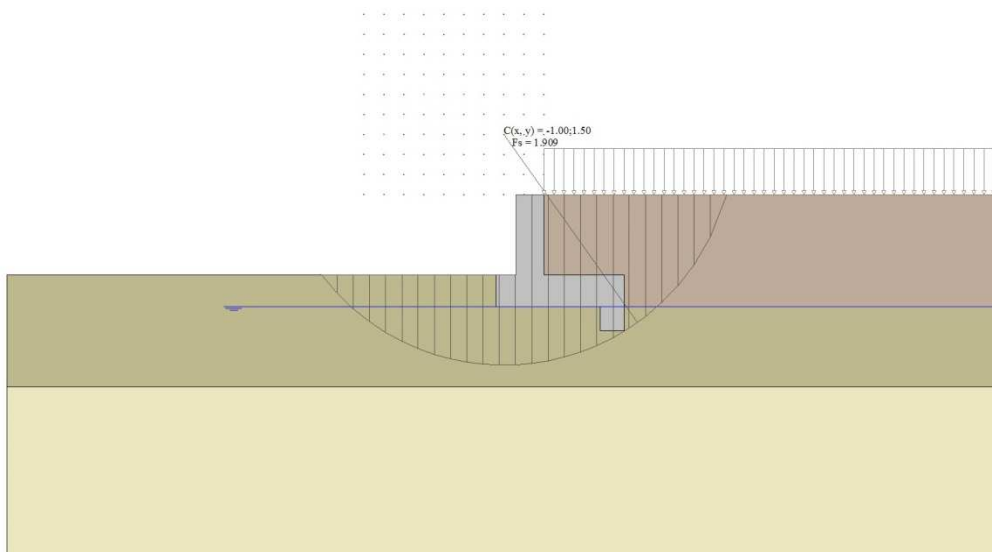


Fig. 5 - Stabilità fronte di scavo - Cerchio critico (Combinazione n° 11)

Sollecitazioni

Elementi calcolati a trave

Simbologia adottata

- N Sforzo normale, espresso in [kN]. Positivo se di compressione.
- T Taglio, espresso in [kN]. Positivo se diretto da monte verso valle
- M Momento, espresso in [kNm]. Positivo se tende le fibre contro terra (a monte)

Paramento

n°	X [m]	N _{min} [kN]	N _{max} [kN]	T _{min} [kN]	T _{max} [kN]	M _{min} [kNm]	M _{max} [kNm]
1	0.00	0.00	0.00	0.00	25.00	0.00	25.00
2	-0.10	1.72	2.23	0.14	25.14	0.01	27.51
3	-0.20	3.43	4.46	0.32	25.32	0.03	30.03
4	-0.30	5.15	6.69	0.54	25.54	0.07	32.57
5	-0.40	6.86	8.92	0.81	25.81	0.14	35.14
6	-0.50	8.58	11.16	1.13	26.13	0.24	37.74
7	-0.60	10.30	13.39	1.49	26.49	0.37	40.37
8	-0.70	12.01	15.62	1.89	26.89	0.53	43.03
9	-0.80	13.73	17.85	2.34	27.34	0.75	45.75
10	-0.90	15.45	20.08	2.84	27.84	1.00	48.50
11	-1.00	17.16	22.31	3.38	28.38	1.31	51.31
12	-1.10	18.88	24.54	3.96	28.96	1.68	54.18
13	-1.20	20.59	26.77	4.59	29.59	2.11	57.11
14	-1.30	22.31	29.00	5.27	30.27	2.60	60.10
15	-1.40	24.03	31.23	5.99	30.99	3.16	63.16
16	-1.50	25.74	33.47	6.75	31.75	3.80	66.30
17	-1.60	27.46	35.70	7.56	32.56	4.52	69.52
18	-1.70	29.18	37.93	8.42	33.42	5.31	72.81
19	-1.80	30.89	40.16	9.32	34.32	6.20	76.20
20	-1.90	32.61	42.39	10.26	35.26	7.18	79.68
21	-2.00	34.32	44.62	11.25	36.25	8.25	83.25

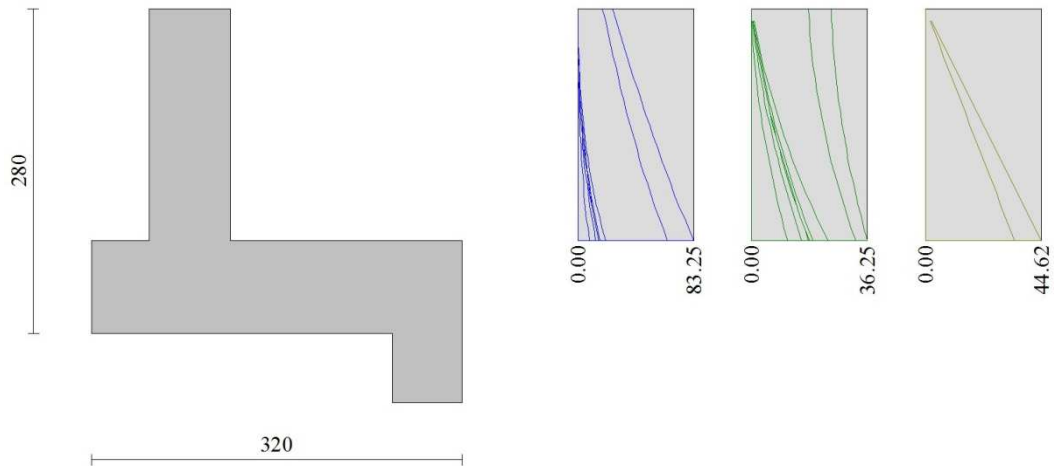


Fig. 6 - Paramento

Fondazione

n°	X [m]	N _{min} [kN]	N _{max} [kN]	T _{min} [kN]	T _{max} [kN]	M _{min} [kNm]	M _{max} [kNm]
1	-1.20	0.00	0.00	0.00	0.00	0.00	0.00
2	-1.10	0.00	0.00	2.22	7.62	0.11	0.38
3	-1.00	0.00	0.00	4.60	15.03	0.45	1.52
4	-0.90	0.00	0.00	7.12	22.25	1.03	3.38
5	-0.80	0.00	0.00	9.79	29.27	1.88	5.96
6	-0.70	0.00	0.00	12.60	36.09	3.00	9.23
7	0.00	0.00	0.00	-41.92	9.62	-54.03	19.08
8	0.10	0.00	0.00	-41.11	11.06	-49.88	18.04
9	0.20	0.00	0.00	-40.21	12.23	-45.82	16.87
10	0.30	0.00	0.00	-39.23	13.15	-42.04	15.80
11	0.40	0.00	0.00	-38.15	13.80	-38.40	14.66
12	0.50	0.00	0.00	-36.99	14.18	-35.01	13.42
13	0.60	0.00	0.00	-35.73	14.31	-31.63	12.11
14	0.70	0.00	0.00	-34.39	14.17	-28.29	10.77
15	0.80	0.00	0.00	-32.96	13.77	-25.01	9.42
16	0.90	0.00	0.00	-31.60	13.12	-21.80	8.09
17	1.00	0.00	0.00	-30.53	12.51	-18.69	6.81
18	1.10	0.00	0.00	-29.26	11.63	-15.70	5.60
19	1.20	0.00	0.00	-27.78	10.47	-12.85	4.49
20	1.30	0.00	0.00	-26.11	9.03	-10.15	3.51
21	1.40	0.00	0.00	-24.24	7.31	-7.63	2.69
22	1.50	0.00	0.00	-20.70	6.79	-5.38	1.99
23	1.60	0.00	0.00	-16.96	5.99	-3.50	1.35
24	1.70	0.00	0.00	-13.02	4.91	-2.00	0.80
25	1.80	0.00	0.00	-8.88	3.55	-0.90	0.37
26	1.90	0.00	0.00	-4.54	1.91	-0.23	0.10
27	2.00	0.00	0.00	0.00	0.00	0.00	0.00

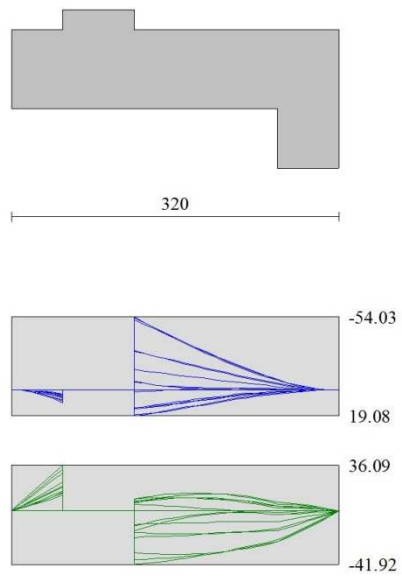


Fig. 7 - Fondazione

Verifiche strutturali

Verifiche a flessione

Elementi calcolati a trave

Simbologia adottata

n°	indice sezione
Y	ordinata sezione espressa in [m]
B	larghezza sezione espressa in [cm]
H	altezza sezione espressa in [cm]
Afi	area ferri inferiori espressa in [cmq]
Afs	area ferri superiori espressa in [cmq]
M	momento agente espressa in [kNm]
N	sfuerzo normale agente espressa in [kN]
Mu	momento ultimi espresso in [kNm]
Nu	sfuerzo normale ultimo espressa in [kN]
FS	fattore di sicurezza (rapporto tra sollecitazione ultima e sollecitazione agente)

Paramento

n°	B [cm]	H [cm]	Afi [cmq]	Afs [cmq]	M [kNm]	N [kN]	Mu [kNm]	Nu [kN]	FS
1	100	70	5.65	10.05	25.00	0.00	287.60	0.00	11.504
2	100	70	5.65	10.05	27.51	1.72	293.24	18.30	10.661
3	100	70	5.65	10.05	30.03	3.43	298.11	34.07	9.927
4	100	70	5.65	10.05	32.57	5.15	302.33	47.79	9.282
5	100	70	5.65	10.05	35.14	6.86	306.03	59.79	8.709
6	100	70	5.65	10.05	37.74	8.58	309.28	70.33	8.196
7	100	70	5.65	10.05	40.37	10.30	312.15	79.63	7.733
8	100	70	5.65	10.05	43.03	12.01	314.68	87.85	7.312
9	100	70	5.65	10.05	45.75	13.73	316.92	95.12	6.928
10	100	70	5.65	10.05	48.50	15.45	318.91	101.55	6.575
11	100	70	5.65	10.05	51.31	17.16	320.66	107.24	6.249
12	100	70	5.65	10.05	54.18	18.88	322.21	112.27	5.947
13	100	70	5.65	10.05	57.11	20.59	323.57	116.69	5.666
14	100	70	5.65	10.05	60.10	22.31	324.77	120.56	5.404
15	100	70	5.65	10.05	63.16	24.03	325.81	123.93	5.158
16	100	70	5.65	10.05	66.30	25.74	326.71	126.85	4.928
17	100	70	5.65	10.05	69.52	27.46	327.48	129.36	4.711
18	100	70	5.65	10.05	72.81	29.18	328.13	131.48	4.506
19	100	70	5.65	10.05	76.20	30.89	328.68	133.25	4.313
20	100	70	5.65	10.05	79.68	32.61	329.12	134.69	4.131
21	100	70	5.65	10.05	83.25	34.32	329.47	135.84	3.957

Fondazione

n°	B [cm]	H [cm]	Afi [cmq]	Afs [cmq]	M [kNm]	N [kN]	Mu [kNm]	Nu [kN]	FS
1	100	80	5.65	10.05	0.00	0.00	0.00	0.00	100000.000
2	100	80	5.65	10.05	0.34	0.00	162.99	0.00	479.448
3	100	80	5.65	10.05	1.35	0.00	162.99	0.00	120.481
4	100	80	5.65	10.05	3.03	0.00	162.99	0.00	53.825
5	100	80	5.65	10.05	5.36	0.00	162.99	0.00	30.434
6	100	80	5.65	10.05	8.32	0.00	162.99	0.00	19.580
7	100	80	5.65	10.05	-54.03	0.00	-286.98	0.00	5.311
8	100	80	5.65	10.05	-49.88	0.00	-286.98	0.00	5.753
9	100	80	5.65	10.05	-45.82	0.00	-286.98	0.00	6.264
10	100	80	5.65	10.05	-42.04	0.00	-286.98	0.00	6.826
11	100	80	5.65	10.05	-38.38	0.00	-286.98	0.00	7.478
12	100	80	5.65	10.05	-34.78	0.00	-286.98	0.00	8.251
13	100	80	5.65	10.05	-31.27	0.00	-286.98	0.00	9.178
14	100	80	5.65	10.05	-27.85	0.00	-286.98	0.00	10.306
15	100	80	5.65	10.05	-24.53	0.00	-286.98	0.00	11.700
16	100	80	5.65	10.05	-21.32	0.00	-286.98	0.00	13.458
17	100	80	5.65	10.05	-18.24	0.00	-286.98	0.00	15.731
18	100	80	5.65	10.05	-15.30	0.00	-286.98	0.00	18.761
19	100	80	5.65	10.05	-12.50	0.00	-286.98	0.00	22.967
20	100	80	5.65	10.05	-9.85	0.00	-286.98	0.00	29.136
21	100	80	5.65	10.05	-7.37	0.00	-286.98	0.00	38.941
22	100	80	5.65	10.05	-5.16	0.00	-286.98	0.00	55.602
23	100	80	5.65	10.05	-3.33	0.00	-286.98	0.00	86.150
24	100	80	5.65	10.05	-1.89	0.00	-286.98	0.00	151.882
25	100	80	5.65	10.05	-0.85	0.00	-286.98	0.00	338.918
26	100	80	5.65	10.05	-0.21	0.00	-286.98	0.00	1344.588
27	100	80	5.65	10.05	0.00	0.00	0.00	0.00	100000.000

Sperone

n°	B [cm]	H [cm]	Afi [cmq]	Afs [cmq]	M [kNm]	N [kN]	Mu [kNm]	Nu [kN]	FS
1	100	60	10.05	10.05	25.68	0.00	209.34	0.00	8.152

Verifiche a taglio

Simbologia adottata

Is	indice sezione
Y	ordinata sezione espressa in [m]
B	larghezza sezione espressa in [cm]
H	altezza sezione espressa in [cm]
A _{sw}	area ferri a taglio espresso in [cmq]
cotθ	inclinazione delle bielle compresse, θ inclinazione dei puntoni di calcestruzzo
V _{Rcd}	resistenza di progetto a 'taglio compressione' espressa in [kN]
V _{Rsd}	resistenza di progetto a 'taglio trazione' espressa in [kN]
V _{Rd}	resistenza di progetto a taglio espresso in [kN]. Per elementi con armature trasversali resistenti al taglio (A _{sw} >0.0) V _{Rd} =min(V _{Rcd} , V _{Rsd}).
T	taglio agente espressa in [kN]
FS	fattore di sicurezza (rapporto tra sollecitazione resistente e sollecitazione agente)

Paramento

n°	B [cm]	H [cm]	A _{sw} [cmq]	cotθ	V _{Rcd} [kN]	V _{Rsd} [kN]	V _{Rd} [kN]	T [kN]	FS
1	100	70	0.00	--	0.00	0.00	259.67	25.00	10.387
2	100	70	0.00	--	0.00	0.00	259.91	25.14	10.340
3	100	70	0.00	--	0.00	0.00	260.15	25.32	10.276
4	100	70	0.00	--	0.00	0.00	260.40	25.54	10.195
5	100	70	0.00	--	0.00	0.00	260.64	25.81	10.098
6	100	70	0.00	--	0.00	0.00	260.88	26.13	9.985
7	100	70	0.00	--	0.00	0.00	261.12	26.49	9.859
8	100	70	0.00	--	0.00	0.00	261.37	26.89	9.719
9	100	70	0.00	--	0.00	0.00	261.61	27.34	9.568
10	100	70	0.00	--	0.00	0.00	261.85	27.84	9.407
11	100	70	0.00	--	0.00	0.00	262.10	28.38	9.236
12	100	70	0.00	--	0.00	0.00	262.34	28.96	9.058
13	100	70	0.00	--	0.00	0.00	262.58	29.59	8.873
14	100	70	0.00	--	0.00	0.00	262.82	30.27	8.683
15	100	70	0.00	--	0.00	0.00	263.07	30.99	8.490
16	100	70	0.00	--	0.00	0.00	263.31	31.75	8.293
17	100	70	0.00	--	0.00	0.00	263.55	32.56	8.094
18	100	70	0.00	--	0.00	0.00	263.79	33.42	7.894
19	100	70	0.00	--	0.00	0.00	264.04	34.32	7.694
20	100	70	0.00	--	0.00	0.00	264.28	35.26	7.495
21	100	70	0.00	--	0.00	0.00	264.52	36.25	7.297

Fondazione

n°	B [cm]	H [cm]	A _{sw} [cmq]	cotθ	V _{Rcd} [kN]	V _{Rsd} [kN]	V _{Rd} [kN]	T [kN]	FS
1	100	80	0.00	--	0.00	0.00	269.62	0.00	100.000
2	100	80	0.00	--	0.00	0.00	269.62	-7.62	35.400
3	100	80	0.00	--	0.00	0.00	269.62	-15.03	17.935
4	100	80	0.00	--	0.00	0.00	269.62	-22.25	12.117
5	100	80	0.00	--	0.00	0.00	269.62	-29.27	9.212
6	100	80	0.00	--	0.00	0.00	269.62	-36.09	7.471
7	100	80	0.00	--	0.00	0.00	269.62	-41.92	6.431
8	100	80	0.00	--	0.00	0.00	269.62	-41.11	6.558
9	100	80	0.00	--	0.00	0.00	269.62	-40.21	6.704
10	100	80	0.00	--	0.00	0.00	269.62	-39.23	6.873
11	100	80	0.00	--	0.00	0.00	269.62	-38.15	7.067
12	100	80	0.00	--	0.00	0.00	269.62	-36.99	7.290
13	100	80	0.00	--	0.00	0.00	269.62	-35.73	7.546
14	100	80	0.00	--	0.00	0.00	269.62	-34.39	7.840
15	100	80	0.00	--	0.00	0.00	269.62	-32.96	8.181
16	100	80	0.00	--	0.00	0.00	269.62	-31.60	8.532
17	100	80	0.00	--	0.00	0.00	269.62	-30.53	8.832
18	100	80	0.00	--	0.00	0.00	269.62	-29.26	9.216
19	100	80	0.00	--	0.00	0.00	269.62	-27.78	9.704
20	100	80	0.00	--	0.00	0.00	269.62	-26.11	10.325
21	100	80	0.00	--	0.00	0.00	269.62	-24.24	11.122
22	100	80	0.00	--	0.00	0.00	269.62	-20.70	13.025
23	100	80	0.00	--	0.00	0.00	269.62	-16.96	15.898
24	100	80	0.00	--	0.00	0.00	269.62	-13.02	20.710
25	100	80	0.00	--	0.00	0.00	269.62	-8.88	30.367
26	100	80	0.00	--	0.00	0.00	269.62	-4.54	59.400
27	100	80	0.00	--	0.00	0.00	269.62	0.00	100.000

Sperone

n°	B [cm]	H [cm]	A _{sw} [cmq]	cotθ	V _{Rcd} [kN]	V _{Rsd} [kN]	V _{Rd} [kN]	T [kN]	FS
1	100	60	0.00	--	0.00	0.00	236.26	64.17	3.682

Verifica a fessurazione

Simbologia adottata

n°	indice sezione
Y	ordinata sezione espressa in [m]
B	larghezza sezione espressa in [cm]
H	altezza sezione espressa in [cm]
Af	area ferri zona tesa espressa in [cmq]
Aeff	area efficace espressa in [cmq]
M	momento agente espressa in [kNm]
Mpf	momento di prima fessurazione espressa in [kNm]
ε	deformazione espressa in %
Sm	spaziatura tra le fessure espressa in [mm]
w	apertura delle fessure espressa in [mm]

Combinazioni SLER

Paramento

Apertura limite fessure $w_{lim}=0.40$

n°	B [cm]	H [cm]	Af [cmq]	Aeff [cmq]	M [kNm]	Mpf [kNm]	ε [%]	Sm [mm]	w [mm]
1	100	70	0.00	0.00	0.00	0.00	---	---	0.000 (20)
2	100	70	10.05	1200.00	0.02	274.50	0.000000	0.00	0.000 (20)
3	100	70	10.05	1200.00	0.10	274.71	0.000000	0.00	0.000 (20)
4	100	70	10.05	1200.00	0.22	274.91	0.000000	0.00	0.000 (20)
5	100	70	10.05	1200.00	0.41	275.11	0.000000	0.00	0.000 (20)
6	100	70	10.05	1200.00	0.66	275.30	0.000000	0.00	0.000 (20)
7	100	70	10.05	1200.00	0.97	275.53	0.000000	0.00	0.000 (20)
8	100	70	10.05	1200.00	1.36	275.72	0.000000	0.00	0.000 (20)
9	100	70	10.05	1200.00	1.83	275.94	0.000000	0.00	0.000 (20)
10	100	70	10.05	1200.00	2.37	276.14	0.000000	0.00	0.000 (20)
11	100	70	10.05	1200.00	3.00	276.35	0.000000	0.00	0.000 (20)
12	100	70	10.05	1200.00	3.72	276.55	0.000000	0.00	0.000 (20)
13	100	70	10.05	1200.00	4.54	276.75	0.000000	0.00	0.000 (20)
14	100	70	10.05	1200.00	5.45	276.96	0.000000	0.00	0.000 (20)
15	100	70	10.05	1200.00	6.47	277.15	0.000000	0.00	0.000 (20)
16	100	70	10.05	1200.00	7.60	277.36	0.000000	0.00	0.000 (20)
17	100	70	10.05	1200.00	8.84	277.56	0.000000	0.00	0.000 (20)
18	100	70	10.05	1200.00	10.19	277.77	0.000000	0.00	0.000 (20)
19	100	70	10.05	1200.00	11.67	277.98	0.000000	0.00	0.000 (20)
20	100	70	10.05	1200.00	13.27	278.19	0.000000	0.00	0.000 (20)
21	100	70	10.05	1200.00	15.00	278.39	0.000000	0.00	0.000 (20)

Fondazione

Apertura limite fessure $w_{lim}=0.40$

n°	B [cm]	H [cm]	Af [cmq]	Aeff [cmq]	M [kNm]	Mpf [kNm]	ε [%]	Sm [mm]	w [mm]
1	100	80	0.00	0.00	0.00	0.00	---	---	0.000 (20)
2	100	80	5.65	1150.00	0.13	320.88	0.000000	0.00	0.000 (20)
3	100	80	5.65	1150.00	0.52	320.88	0.000000	0.00	0.000 (20)
4	100	80	5.65	1150.00	1.20	320.88	0.000000	0.00	0.000 (20)
5	100	80	5.65	1150.00	2.18	320.88	0.000000	0.00	0.000 (20)
6	100	80	5.65	1150.00	3.49	320.88	0.000000	0.00	0.000 (20)
7	100	80	5.65	1150.00	14.10	320.88	0.000000	0.00	0.000 (20)
8	100	80	5.65	1150.00	13.33	320.88	0.000000	0.00	0.000 (20)
9	100	80	5.65	1150.00	12.46	320.88	0.000000	0.00	0.000 (20)
10	100	80	5.65	1150.00	11.52	320.88	0.000000	0.00	0.000 (20)
11	100	80	5.65	1150.00	10.52	320.88	0.000000	0.00	0.000 (20)
12	100	80	5.65	1150.00	9.48	320.88	0.000000	0.00	0.000 (20)
13	100	80	5.65	1150.00	8.42	320.88	0.000000	0.00	0.000 (20)
14	100	80	5.65	1150.00	7.36	320.88	0.000000	0.00	0.000 (20)
15	100	80	5.65	1150.00	6.32	320.88	0.000000	0.00	0.000 (20)
16	100	80	5.65	1150.00	5.32	320.88	0.000000	0.00	0.000 (20)
17	100	80	5.65	1150.00	4.38	320.88	0.000000	0.00	0.000 (20)
18	100	80	5.65	1150.00	3.53	320.88	0.000000	0.00	0.000 (20)
19	100	80	5.65	1150.00	2.77	320.88	0.000000	0.00	0.000 (20)
20	100	80	5.65	1150.00	2.13	320.88	0.000000	0.00	0.000 (20)
21	100	80	5.65	1150.00	1.63	320.88	0.000000	0.00	0.000 (20)
22	100	80	5.65	1150.00	1.21	320.88	0.000000	0.00	0.000 (20)
23	100	80	5.65	1150.00	0.83	320.88	0.000000	0.00	0.000 (20)
24	100	80	5.65	1150.00	0.50	320.88	0.000000	0.00	0.000 (20)
25	100	80	5.65	1150.00	0.23	320.88	0.000000	0.00	0.000 (20)
26	100	80	5.65	1150.00	0.06	320.88	0.000000	0.00	0.000 (20)
27	100	80	0.00	0.00	0.00	0.00	---	---	0.000 (20)

Sperone

Apertura limite fessure $w_{lim}=0.40$

n°	B [cm]	H [cm]	Af [cmq]	Aeff [cmq]	M [kNm]	Mpf [kNm]	ε [%]	Sm [mm]	w [mm]
1	100	60	10.05	1200.00	17.35	188.20	0.000000	0.00	0.00 (20)

Combinazioni SLEF

Paramento

Apertura limite fessure $w_{lim}=0.30$

n°	B [cm]	H [cm]	Af [cmq]	Aeff [cmq]	M [kNm]	Mpf [kNm]	ε [%]	Sm [mm]	w [mm]
1	100	70	0.00	0.00	0.00	0.00	---	---	0.00 (21)
2	100	70	10.05	1200.00	0.02	274.49	0.000000	0.00	0.00 (21)
3	100	70	10.05	1200.00	0.07	274.70	0.000000	0.00	0.00 (21)
4	100	70	10.05	1200.00	0.17	274.90	0.000000	0.00	0.00 (21)
5	100	70	10.05	1200.00	0.32	275.10	0.000000	0.00	0.00 (21)
6	100	70	10.05	1200.00	0.52	275.32	0.000000	0.00	0.00 (21)
7	100	70	10.05	1200.00	0.77	275.51	0.000000	0.00	0.00 (21)
8	100	70	10.05	1200.00	1.09	275.72	0.000000	0.00	0.00 (21)
9	100	70	10.05	1200.00	1.47	275.92	0.000000	0.00	0.00 (21)
10	100	70	10.05	1200.00	1.92	276.14	0.000000	0.00	0.00 (21)
11	100	70	10.05	1200.00	2.44	276.34	0.000000	0.00	0.00 (21)
12	100	70	10.05	1200.00	3.04	276.54	0.000000	0.00	0.00 (21)
13	100	70	10.05	1200.00	3.73	276.75	0.000000	0.00	0.00 (21)
14	100	70	10.05	1200.00	4.50	276.95	0.000000	0.00	0.00 (21)
15	100	70	10.05	1200.00	5.37	277.16	0.000000	0.00	0.00 (21)
16	100	70	10.05	1200.00	6.33	277.36	0.000000	0.00	0.00 (21)
17	100	70	10.05	1200.00	7.40	277.57	0.000000	0.00	0.00 (21)
18	100	70	10.05	1200.00	8.56	277.77	0.000000	0.00	0.00 (21)
19	100	70	10.05	1200.00	9.84	277.98	0.000000	0.00	0.00 (21)
20	100	70	10.05	1200.00	11.24	278.19	0.000000	0.00	0.00 (21)
21	100	70	10.05	1200.00	12.75	278.40	0.000000	0.00	0.00 (21)

Fondazione

Apertura limite fessure $w_{lim}=0.30$

n°	B [cm]	H [cm]	Af [cmq]	Aeff [cmq]	M [kNm]	Mpf [kNm]	ε [%]	Sm [mm]	w [mm]
1	100	80	0.00	0.00	0.00	0.00	---	---	0.00 (21)
2	100	80	5.65	1150.00	0.12	320.88	0.000000	0.00	0.00 (21)
3	100	80	5.65	1150.00	0.50	320.88	0.000000	0.00	0.00 (21)
4	100	80	5.65	1150.00	1.14	320.88	0.000000	0.00	0.00 (21)
5	100	80	5.65	1150.00	2.08	320.88	0.000000	0.00	0.00 (21)
6	100	80	5.65	1150.00	3.32	320.88	0.000000	0.00	0.00 (21)
7	100	80	5.65	1150.00	13.79	320.88	0.000000	0.00	0.00 (21)
8	100	80	5.65	1150.00	12.96	320.88	0.000000	0.00	0.00 (21)
9	100	80	5.65	1150.00	12.04	320.88	0.000000	0.00	0.00 (21)
10	100	80	5.65	1150.00	11.06	320.88	0.000000	0.00	0.00 (21)
11	100	80	5.65	1150.00	10.04	320.88	0.000000	0.00	0.00 (21)
12	100	80	5.65	1150.00	9.00	320.88	0.000000	0.00	0.00 (21)
13	100	80	5.65	1150.00	7.95	320.88	0.000000	0.00	0.00 (21)
14	100	80	5.65	1150.00	6.91	320.88	0.000000	0.00	0.00 (21)
15	100	80	5.65	1150.00	5.90	320.88	0.000000	0.00	0.00 (21)
16	100	80	5.65	1150.00	4.93	320.88	0.000000	0.00	0.00 (21)
17	100	80	5.65	1150.00	4.04	320.88	0.000000	0.00	0.00 (21)
18	100	80	5.65	1150.00	3.22	320.88	0.000000	0.00	0.00 (21)
19	100	80	5.65	1150.00	2.51	320.88	0.000000	0.00	0.00 (21)
20	100	80	5.65	1150.00	1.92	320.88	0.000000	0.00	0.00 (21)
21	100	80	5.65	1150.00	1.46	320.88	0.000000	0.00	0.00 (21)
22	100	80	5.65	1150.00	1.09	320.88	0.000000	0.00	0.00 (21)
23	100	80	5.65	1150.00	0.75	320.88	0.000000	0.00	0.00 (21)
24	100	80	5.65	1150.00	0.45	320.88	0.000000	0.00	0.00 (21)
25	100	80	5.65	1150.00	0.21	320.88	0.000000	0.00	0.00 (21)
26	100	80	5.65	1150.00	0.06	320.88	0.000000	0.00	0.00 (21)
27	100	80	0.00	0.00	0.00	0.00	---	---	0.00 (21)

Sperone

Apertura limite fessure $w_{lim}=0.30$

n°	B [cm]	H [cm]	Af [cmq]	Aeff [cmq]	M [kNm]	Mpf [kNm]	ε [%]	Sm [mm]	w [mm]
1	100	60	10.05	1200.00	15.72	188.20	0.000000	0.00	0.00 (21)

Combinazioni SLEQ

Paramento

Apertura limite fessure $w_{lim}=0.20$

n°	B [cm]	H [cm]	Af [cmq]	Aeff [cmq]	M [kNm]	Mpf [kNm]	ε [%]	Sm [mm]	w [mm]
1	100	70	0.00	0.00	0.00	0.00	---	---	0.00 (22)
2	100	70	10.05	1200.00	0.01	274.49	0.000000	0.00	0.00 (22)
3	100	70	10.05	1200.00	0.03	274.70	0.000000	0.00	0.00 (22)
4	100	70	10.05	1200.00	0.07	274.91	0.000000	0.00	0.00 (22)
5	100	70	10.05	1200.00	0.14	275.11	0.000000	0.00	0.00 (22)
6	100	70	10.05	1200.00	0.24	275.31	0.000000	0.00	0.00 (22)
7	100	70	10.05	1200.00	0.37	275.51	0.000000	0.00	0.00 (22)
8	100	70	10.05	1200.00	0.53	275.72	0.000000	0.00	0.00 (22)
9	100	70	10.05	1200.00	0.75	275.93	0.000000	0.00	0.00 (22)
10	100	70	10.05	1200.00	1.00	276.13	0.000000	0.00	0.00 (22)
11	100	70	10.05	1200.00	1.31	276.35	0.000000	0.00	0.00 (22)
12	100	70	10.05	1200.00	1.68	276.54	0.000000	0.00	0.00 (22)
13	100	70	10.05	1200.00	2.11	276.76	0.000000	0.00	0.00 (22)
14	100	70	10.05	1200.00	2.60	276.96	0.000000	0.00	0.00 (22)
15	100	70	10.05	1200.00	3.16	277.16	0.000000	0.00	0.00 (22)
16	100	70	10.05	1200.00	3.80	277.37	0.000000	0.00	0.00 (22)
17	100	70	10.05	1200.00	4.52	277.57	0.000000	0.00	0.00 (22)
18	100	70	10.05	1200.00	5.31	277.78	0.000000	0.00	0.00 (22)
19	100	70	10.05	1200.00	6.20	277.97	0.000000	0.00	0.00 (22)
20	100	70	10.05	1200.00	7.18	278.19	0.000000	0.00	0.00 (22)
21	100	70	10.05	1200.00	8.25	278.40	0.000000	0.00	0.00 (22)

Fondazione

Apertura limite fessure $w_{lim}=0.20$

n°	B [cm]	H [cm]	Af [cmq]	Aeff [cmq]	M [kNm]	Mpf [kNm]	ε [%]	Sm [mm]	w [mm]
1	100	80	0.00	0.00	0.00	0.00	---	---	0.00 (22)
2	100	80	5.65	1150.00	0.11	320.88	0.000000	0.00	0.00 (22)
3	100	80	5.65	1150.00	0.45	320.88	0.000000	0.00	0.00 (22)
4	100	80	5.65	1150.00	1.03	320.88	0.000000	0.00	0.00 (22)
5	100	80	5.65	1150.00	1.88	320.88	0.000000	0.00	0.00 (22)
6	100	80	5.65	1150.00	3.00	320.88	0.000000	0.00	0.00 (22)
7	100	80	5.65	1150.00	13.18	320.88	0.000000	0.00	0.00 (22)
8	100	80	5.65	1150.00	12.21	320.88	0.000000	0.00	0.00 (22)
9	100	80	5.65	1150.00	11.19	320.88	0.000000	0.00	0.00 (22)
10	100	80	5.65	1150.00	10.15	320.88	0.000000	0.00	0.00 (22)
11	100	80	5.65	1150.00	9.10	320.88	0.000000	0.00	0.00 (22)
12	100	80	5.65	1150.00	8.05	320.88	0.000000	0.00	0.00 (22)
13	100	80	5.65	1150.00	7.01	320.88	0.000000	0.00	0.00 (22)
14	100	80	5.65	1150.00	6.01	320.88	0.000000	0.00	0.00 (22)
15	100	80	5.65	1150.00	5.05	320.88	0.000000	0.00	0.00 (22)
16	100	80	5.65	1150.00	4.16	320.88	0.000000	0.00	0.00 (22)
17	100	80	5.65	1150.00	3.34	320.88	0.000000	0.00	0.00 (22)
18	100	80	5.65	1150.00	2.62	320.88	0.000000	0.00	0.00 (22)
19	100	80	5.65	1150.00	2.00	320.88	0.000000	0.00	0.00 (22)
20	100	80	5.65	1150.00	1.50	320.88	0.000000	0.00	0.00 (22)
21	100	80	5.65	1150.00	1.14	320.88	0.000000	0.00	0.00 (22)
22	100	80	5.65	1150.00	0.85	320.88	0.000000	0.00	0.00 (22)
23	100	80	5.65	1150.00	0.58	320.88	0.000000	0.00	0.00 (22)
24	100	80	5.65	1150.00	0.35	320.88	0.000000	0.00	0.00 (22)
25	100	80	5.65	1150.00	0.17	320.88	0.000000	0.00	0.00 (22)
26	100	80	5.65	1150.00	0.04	320.88	0.000000	0.00	0.00 (22)
27	100	80	0.00	0.00	0.00	0.00	---	---	0.00 (22)

Sperone

Apertura limite fessure $w_{lim}=0.20$

n°	B [cm]	H [cm]	Af [cmq]	Aeff [cmq]	M [kNm]	Mpf [kNm]	ε [%]	Sm [mm]	w [mm]
1	100	60	10.05	1200.00	12.47	188.20	0.000000	0.00	0.00 (22)

18 ALLEGATO 3 – TABULATO SEZIONE TIPO 3

Dati

Materiali

Simbologia adottata

n°	Indice materiale
Descr	Descrizione del materiale
Calcestruzzo armato	
C	Classe di resistenza del cls
A	Classe di resistenza dell'acciaio
γ	Peso specifico, espresso in [kN/mc]
R_{ck}	Resistenza caratteristica a compressione, espressa in [kPa]
E	Modulo elastico, espresso in [kPa]
ν	Coeff. di Poisson
n	Coeff. di omogenizzazione acciaio/cls
ntc	Coeff. di omogenizzazione cls teso/compresso

Calcestruzzo armato

n°	Descr	C	A	γ [kN/mc]	R_{ck} [kPa]	E [kPa]	ν	n	ntc
5	C25/30	C25/30	B450C	24.5170	30000	31447048	0.30	15.00	0.50
6	C28/35	C28/35	B450C	24.5170	35000	32587986	0.30	15.00	0.50

Acciai

Descr	f_{yk} [kPa]	f_{uk} [kPa]
B450C	450000	540000

Geometria profilo terreno a monte del muro

Simbologia adottata

(Sistema di riferimento con origine in testa al muro, ascissa X positiva verso monte, ordinata Y positiva verso l'alto)

n°	numero ordine del punto
X	ascissa del punto espressa in [m]
Y	ordinata del punto espressa in [m]
A	inclinazione del tratto espressa in [°]

n°	X [m]	Y [m]	A [°]
1	0.00	0.00	0.000
2	12.00	0.00	0.000

Inclinazione terreno a valle del muro rispetto all'orizzontale 0.000 [°]

Falda

Simbologia adottata

(Sistema di riferimento con origine in testa al muro, ascissa X positiva verso monte, ordinata Y positiva verso l'alto)

n°	numero ordine del punto
X	ascissa del punto espressa in [m]
Y	ordinata del punto espressa in [m]
A	inclinazione del tratto espressa in [°]

n°	X [m]	Y [m]	A [°]
1	-8.00	-3.80	0.000
2	10.00	-3.80	0.000
3	12.00	-3.80	0.000

Geometria muro

Geometria paramento e fondazione

Lunghezza muro	1.00	[m]
<u>Paramento</u>		
Materiale	C25/30	
Altezza paramento	3.00	[m]
Altezza paramento libero	3.00	[m]
Spessore in sommità	0.70	[m]
Spessore all'attacco con la fondazione	0.70	[m]
Inclinazione paramento esterno	0.00	[°]
Inclinazione paramento interno	0.00	[°]
<u>Fondazione</u>		
Materiale	C28/35	
Lunghezza mensola di valle	0.50	[m]
Lunghezza mensola di monte	2.30	[m]
Lunghezza totale	3.50	[m]
Inclinazione piano di posa	0.00	[°]
Spessore	0.80	[m]
Spessore magrone	0.00	[m]

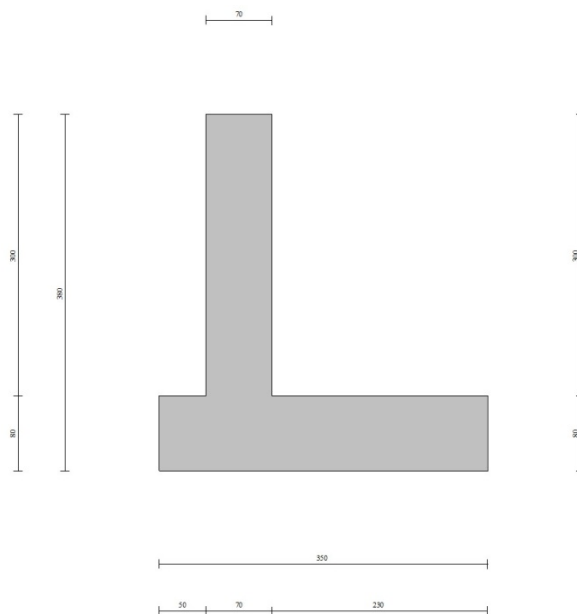


Fig. 1 - Sezione quotata del muro

Descrizione terreni

Parametri di resistenza

Simbologia adottata

n°	Indice del terreno
Descr	Descrizione terreno
γ	Peso di volume del terreno espresso in [kN/mc]
γ_s	Peso di volume saturo del terreno espresso in [kN/mc]
ϕ	Angolo d'attrito interno espresso in [°]
δ	Angolo d'attrito terra-muro espresso in [°]
c	Coesione espressa in [kPa]

n°	Descr	γ [kN/mc]	γ_{sat} [kN/mc]	ϕ [°]	δ [°]	c [kPa]
1	RILEVATO	20.0000	20.0000	35.000	23.000	0
2	FORMAZIONE B	20.0000	20.0000	38.000	25.000	0
3	FORMAZIONE A-SUP	19.0000	19.0000	28.000	18.000	5
4	FORMAZIONE A-INF	19.0000	19.0000	28.000	18.000	0

Stratigrafia

Simbologia adottata

n°	Indice dello strato
H	Spessore dello strato espresso in [m]
α	Inclinazione espressa in [°]
Terreno	Terreno dello strato

n°	H [m]	α [°]	Terreno
1	3.80	0.000	RILEVATO
2	2.00	0.000	FORMAZIONE A-SUP
3	7.00	0.000	FORMAZIONE A-INF

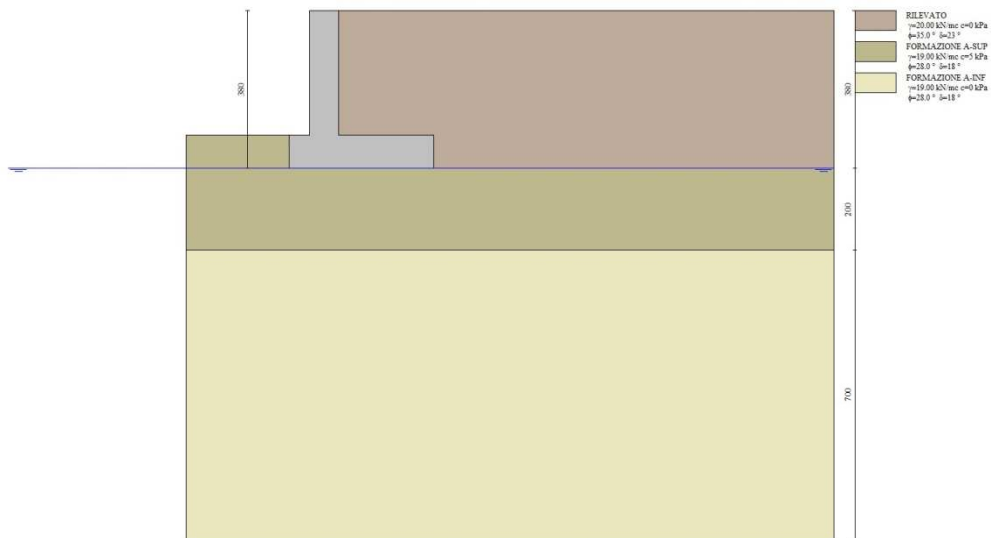


Fig. 2 - Stratigrafia

Condizioni di carico

Simbologia adottata

Carichi verticali positivi verso il basso.
Carichi orizzontali positivi verso sinistra.
Momento positivo senso antiorario.

X	Ascissa del punto di applicazione del carico concentrato espressa in [m]
F _x	Componente orizzontale del carico concentrato espressa in [kN]
F _y	Componente verticale del carico concentrato espressa in [kN]
M	Momento espresso in [kNm]
X _i	Ascissa del punto iniziale del carico ripartito espressa in [m]
X _f	Ascissa del punto finale del carico ripartito espressa in [m]
Q _i	Intensità del carico per x=X _i espressa in [kN]
Q _f	Intensità del carico per x=X _f espressa in [kN]

Condizione n° 1 (Traffico) - VARIABILE TF

Coeff. di combinazione $\Psi_0=0.75 - \Psi_1=0.75 - \Psi_2=0.25$

Carichi sul terreno

n°	Tipo	X [m]	F _x [kN]	F _y [kN]	M [kNm]	X _i [m]	X _f [m]	Q _i [kN]	Q _f [kN]
1	Distribuito					0.00	12.00	20.0000	20.0000

Condizione n° 2 (Urto-STR) - ECCEZIONALE

Carichi sul muro

n°	Tipo	Dest	X; Y [m]	F _x [kN]	F _y [kN]	M [kNm]	X _i [m]	X _f [m]	Q _i [kN]	Q _f [kN]
1	Concentrato	Paramento	-0.35; 0.00	16.7000	0.0000	16.7000				

Condizione n° 3 (Urto-GEO) - VARIABILE

Coeff. di combinazione $\Psi_0=0.00 - \Psi_1=0.00 - \Psi_2=0.00$

Carichi sul muro

n°	Tipo	Dest	X; Y [m]	F _x [kN]	F _y [kN]	M [kNm]	X _i [m]	X _f [m]	Q _i [kN]	Q _f [kN]
1	Concentrato	Paramento	-0.35; 0.00	8.8000	0.0000	8.8000				

Normativa

Normativa usata: **Norme Tecniche sulle Costruzioni 2018 (D.M. 17.01.2018) + Circolare C.S.LL.PP. 21/01/2019 n.7**

Coeff. parziali per le azioni o per l'effetto delle azioni

Carichi	Effetto		Combinazioni statiche				Combinazioni sismiche			
			HYD	UPL	EQU	A1	A2	EQU	A1	A2
Permanenti strutturali	Favorevoli	$\gamma_{G1, fav}$	1.00	0.90	1.00	1.00	1.00	1.00	1.00	1.00
Permanenti strutturali	Sfavorevoli	$\gamma_{G1, sfav}$	1.00	1.10	1.30	1.30	1.00	1.00	1.00	1.00
Permanenti non strutturali	Favorevoli	$\gamma_{G2, fav}$	0.00	0.80	0.80	0.80	0.80	0.00	0.00	0.00
Permanenti non strutturali	Sfavorevoli	$\gamma_{G2, sfav}$	1.00	1.50	1.50	1.50	1.30	1.00	1.00	1.00
Variabili	Favorevoli	$\gamma_{O, fav}$	0.00	0.00	0.00	0.00	0.00	0.00	0.00	0.00
Variabili	Sfavorevoli	$\gamma_{O, sfav}$	1.00	1.50	1.50	1.50	1.30	1.00	1.00	1.00
Variabili da traffico	Favorevoli	$\gamma_{OT, fav}$	0.00	0.00	0.00	0.00	0.00	0.00	0.00	0.00
Variabili da traffico	Sfavorevoli	$\gamma_{OT, sfav}$	1.00	1.50	1.35	1.35	1.15	1.00	1.00	1.00

Coeff. parziali per i parametri geotecnici del terreno

Parametro		Combinazioni statiche		Combinazioni sismiche	
		M1	M2	M1	M2
Tangente dell'angolo di attrito	$\gamma_{\tan(\phi')}$	1.00	1.25	1.00	1.00
Coazione efficace	γ_c	1.00	1.25	1.00	1.00
Resistenza non drenata	γ_{cu}	1.00	1.40	1.00	1.00
Peso nell'unità di volume	γ_v	1.00	1.00	1.00	1.00

Coeff. parziali γ_R per le verifiche agli stati limite ultimi STR e GEO

Verifica	Combinazioni statiche			Combinazioni sismiche		
	R1	R2	R3	R1	R2	R3
Capacità portante	--	--	1.40	--	--	1.20
Scorrimento	--	--	1.10	--	--	1.00
Resistenza terreno a valle	--	--	1.40	--	--	1.20
Ribaltamento	--	--	1.15	--	--	1.00
Stabilità fronte di scavo	--	1.10	--	--	1.20	--

Descrizione combinazioni di carico

Con riferimento alle azioni elementari prima determinate, si sono considerate le seguenti combinazioni di carico:

- Combinazione fondamentale, impiegata per gli stati limite ultimi (SLU):

$$\gamma_{G1} G_1 + \gamma_{G2} G_2 + \gamma_{Q1} Q_{k1} + \gamma_{Q2} Q_{k2} + \gamma_{Q3} Q_{k3} + \dots$$

- Combinazione caratteristica, cosiddetta rara, impiegata per gli stati limite di esercizio (SLE) irreversibili:

$$G_1 + G_2 + Q_{k1} + \Psi_{0,2} Q_{k2} + \Psi_{0,3} Q_{k3} + \dots$$

- Combinazione frequente, impiegata per gli stati limite di esercizio (SLE) reversibili:

$$G_1 + G_2 + \Psi_{1,1} Q_{k1} + \Psi_{2,2} Q_{k2} + \Psi_{2,3} Q_{k3} + \dots$$

- Combinazione quasi permanente, impiegata per gli effetti di lungo periodo:

$$G_1 + G_2 + \Psi_{2,1} Q_{k1} + \Psi_{2,2} Q_{k2} + \Psi_{2,3} Q_{k3} + \dots$$

- Combinazione sismica, impiegata per gli stati limite ultimi connessi all'azione sismica E:

$$E + G_1 + G_2 + \Psi_{2,1} Q_{k1} + \Psi_{2,2} Q_{k2} + \Psi_{2,3} Q_{k3} + \dots$$

- Combinazione eccezionale, impiegata per gli stati limite ultimi connessi alle azioni eccezionali Ad:

$$G_1 + G_2 + A_d + \Psi_{2,1} Q_{k1} + \Psi_{2,2} Q_{k2} + \Psi_{2,3} Q_{k3} + \dots$$

I valori dei coeff. $\Psi_{0,j}$, $\Psi_{1,j}$, $\Psi_{2,j}$ sono definiti nelle singole condizioni variabili. I valori dei coeff. γ_G e γ_Q , sono definiti nella tabella normativa.

In particolare si sono considerate le seguenti combinazioni:

Simbologia adottata

γ Coefficiente di partecipazione della condizione
 Ψ Coefficiente di combinazione della condizione

Combinazione n° 1 - STR (A1-M1-R3)

Condizione	γ	Ψ	Effetto
Peso muro	1.00	--	Favorevole
Peso terrapieno	1.00	--	Favorevole
Spinta terreno	1.30	--	Sfavorevole
Traffico	1.35	1.00	Sfavorevole

Combinazione n° 2 - STR (A1-M1-R3)

Condizione	γ	Ψ	Effetto
Peso muro	1.00	--	Favorevole
Peso terrapieno	1.00	--	Favorevole
Spinta terreno	1.30	--	Sfavorevole
Traffico	1.35	0.25	Sfavorevole
Urto-GEO	1.50	1.00	Sfavorevole

Combinazione n° 3 - STR (A1-M1-R3) H + V

Condizione	γ	Ψ	Effetto
Peso muro	1.00	--	Favorevole
Peso terrapieno	1.00	--	Favorevole
Spinta terreno	1.00	--	Sfavorevole
Traffico	1.00	0.25	Sfavorevole

Combinazione n° 4 - STR (A1-M1-R3) H - V

Condizione	γ	Ψ	Effetto
Peso muro	1.00	--	Sfavorevole
Peso terrapieno	1.00	--	Sfavorevole
Spinta terreno	1.00	--	Sfavorevole
Traffico	1.00	0.25	Sfavorevole

Combinazione n° 5 - STR (A1-M1-R3)

Condizione	γ	Ψ	Effetto
Peso muro	1.30	--	Sfavorevole
Peso terrapieno	1.30	--	Sfavorevole

Condizione	γ	Ψ	Effetto
Spinta terreno	1.30	--	Sfavorevole
Traffico	1.35	1.00	Sfavorevole

Combinazione n° 6 - STR (A1-M1-R3)

Condizione	γ	Ψ	Effetto
Peso muro	1.00	--	Favorevole
Peso terrapieno	1.30	--	Sfavorevole
Spinta terreno	1.30	--	Sfavorevole
Traffico	1.35	1.00	Sfavorevole

Combinazione n° 7 - STR (A1-M1-R3)

Condizione	γ	Ψ	Effetto
Peso muro	1.30	--	Sfavorevole
Peso terrapieno	1.00	--	Favorevole
Spinta terreno	1.30	--	Sfavorevole
Traffico	1.35	1.00	Sfavorevole

Combinazione n° 8 - STR (A1-M1-R3)

Condizione	γ	Ψ	Effetto
Peso muro	1.30	--	Sfavorevole
Peso terrapieno	1.30	--	Sfavorevole
Spinta terreno	1.30	--	Sfavorevole
Traffico	1.35	0.25	Sfavorevole
Urto-GEO	1.50	1.00	Sfavorevole

Combinazione n° 9 - STR (A1-M1-R3)

Condizione	γ	Ψ	Effetto
Peso muro	1.00	--	Favorevole
Peso terrapieno	1.30	--	Sfavorevole
Spinta terreno	1.30	--	Sfavorevole
Traffico	1.35	0.25	Sfavorevole
Urto-GEO	1.50	1.00	Sfavorevole

Combinazione n° 10 - STR (A1-M1-R3)

Condizione	γ	Ψ	Effetto
Peso muro	1.30	--	Sfavorevole
Peso terrapieno	1.00	--	Favorevole
Spinta terreno	1.30	--	Sfavorevole
Traffico	1.35	0.25	Sfavorevole
Urto-GEO	1.50	1.00	Sfavorevole

Combinazione n° 11 - GEO (A2-M2-R2)

Condizione	γ	Ψ	Effetto
Peso muro	1.00	--	Sfavorevole
Peso terrapieno	1.00	--	Sfavorevole
Spinta terreno	1.00	--	Sfavorevole
Traffico	1.15	1.00	Sfavorevole

Combinazione n° 12 - GEO (A2-M2-R2)

Condizione	γ	Ψ	Effetto
Peso muro	1.00	--	Sfavorevole
Peso terrapieno	1.00	--	Sfavorevole
Spinta terreno	1.00	--	Sfavorevole
Traffico	1.15	0.25	Sfavorevole
Urto-GEO	1.30	1.00	Sfavorevole

Combinazione n° 13 - GEO (A2-M2-R2) H + V

Condizione	γ	Ψ	Effetto
Peso muro	1.00	--	Sfavorevole
Peso terrapieno	1.00	--	Sfavorevole
Spinta terreno	1.00	--	Sfavorevole
Traffico	1.00	0.25	Sfavorevole

Combinazione n° 14 - GEO (A2-M2-R2) H - V

Condizione	γ	Ψ	Effetto
Peso muro	1.00	--	Sfavorevole
Peso terrapieno	1.00	--	Sfavorevole
Spinta terreno	1.00	--	Sfavorevole
Traffico	1.00	0.25	Sfavorevole

Combinazione n° 15 - EQU (A1-M1-R3)

Condizione	γ	Ψ	Effetto
Peso muro	1.00	--	Favorevole
Peso terrapieno	1.00	--	Favorevole
Spinta terreno	1.30	--	Sfavorevole
Traffico	1.35	1.00	Sfavorevole

Combinazione n° 16 - EQU (A1-M1-R3)

Condizione	γ	Ψ	Effetto
Peso muro	1.00	--	Favorevole
Peso terrapieno	1.00	--	Favorevole
Spinta terreno	1.30	--	Sfavorevole
Traffico	1.35	0.25	Sfavorevole
Urto-GEO	1.50	1.00	Sfavorevole

Combinazione n° 17 - EQU (A1-M1-R3) H + V

Condizione	γ	Ψ	Effetto
Peso muro	1.00	--	Favorevole
Peso terrapieno	1.00	--	Favorevole
Spinta terreno	1.00	--	Sfavorevole
Traffico	1.00	0.25	Sfavorevole

Combinazione n° 18 - EQU (A1-M1-R3) H - V

Condizione	γ	Ψ	Effetto
Peso muro	1.00	--	Favorevole
Peso terrapieno	1.00	--	Favorevole
Spinta terreno	1.00	--	Sfavorevole
Traffico	1.00	0.25	Sfavorevole

Combinazione n° 19 - ECC

Condizione	γ	Ψ	Effetto
Peso muro	1.00	--	Sfavorevole
Peso terrapieno	1.00	--	Sfavorevole
Spinta terreno	1.00	--	Sfavorevole
Traffico	1.00	0.25	Sfavorevole
Urto-STR	1.00	1.00	Sfavorevole

Combinazione n° 20 - SLER

Condizione	γ	Ψ	Effetto
Peso muro	1.00	--	Sfavorevole
Peso terrapieno	1.00	--	Sfavorevole
Spinta terreno	1.00	--	Sfavorevole
Traffico	1.00	1.00	Sfavorevole

Combinazione n° 21 - SLEF

Condizione	γ	Ψ	Effetto
Peso muro	1.00	--	Sfavorevole
Peso terrapieno	1.00	--	Sfavorevole
Spinta terreno	1.00	--	Sfavorevole
Traffico	1.00	0.75	Sfavorevole

Combinazione n° 22 - SLEQ

Condizione	γ	Ψ	Effetto
Peso muro	1.00	--	Sfavorevole
Peso terrapieno	1.00	--	Sfavorevole
Spinta terreno	1.00	--	Sfavorevole
Traffico	1.00	0.25	Sfavorevole

Dati sismici

Vita nominale	50 anni
Classe d'uso	IV
Tipo costruzione	Normali affollamenti
Vita di riferimento	100 anni

	Simbolo	U.M.	SLU
Accelerazione al suolo	a_g	[m/s ²]	2.120
Accelerazione al suolo	a_g/g	[%]	0.216
Massimo fattore amplificazione spettro orizzontale	F0		2.421
Periodo inizio tratto spettro a velocità costante	Tc*		0.315
Tipo di sottosuolo - Coefficiente stratigrafico	Ss	C	1.389
Categoria topografica - Coefficiente amplificazione topografica	St	T1	1.000

Stato limite ...	Coeff. di riduzione β_m	kh	kv
Ultimo	0.380	11.407	5.703
Ultimo - Ribaltamento	0.570	17.110	8.555
Esercizio	0.470	6.139	3.070

Forma diagramma incremento sismico **Rettangolare**

Opzioni di calcolo

Spinta

Metodo di calcolo della spinta	Culmann
Tipo di spinta	Spinta attiva
Terreno a bassa permeabilità	NO
Superficie di spinta limitata	NO

Capacità portante

Metodo di calcolo della portanza	Hansen
Criterio di media calcolo del terreno equivalente (terreni stratificati)	Ponderata
Criterio di riduzione per eccentricità della portanza	Meyerhof
Criterio di riduzione per rottura locale (punzonamento)	Nessuna
Larghezza fondazione nel terzo termine della formula del carico limite ($0.5B\gamma N_{\gamma}$)	Larghezza ridotta (B')
Fattori di forma e inclinazione del carico	Fattori di inclinazione e fattori di forma

Stabilità globale

Metodo di calcolo della stabilità globale	Bishop
---	--------

Altro

Partecipazione spinta passiva terreno antistante	0.00
--	------

Condizioni ambientali	Aggressive
Armatura ad aderenza migliorata	SI

Verifica a fessurazione

Sensibilità armatura	Poco sensibile
Metodo di calcolo aperture delle fessure	NTC 2018 - CIRCOLARE 21 gennaio 2019, n. 7 C.S.LL.PP.

Valori limite aperture delle fessure:

$$w_1=0.20$$

$$w_2=0.30$$

$$w_3=0.40$$

Verifica delle tensioni

Valori limite delle tensioni nei materiali:

Combinazione	Calcestruzzo	Acciaio
Rara	$0.60 f_{ck}$	$0.80 f_{yk}$
Frequente	$1.00 f_{ck}$	$1.00 f_{yk}$
Quasi permanente	$0.45 f_{ck}$	$1.00 f_{yk}$

Risultati per involucro

Spinta e forze

Simbologia adottata

Ic	Indice della combinazione
A	Tipo azione
I	Inclinazione della spinta, espressa in [°]
V	Valore dell'azione, espressa in [kN]
C _x , C _y	Componente in direzione X ed Y dell'azione, espressa in [kN]
P _x , P _y	Coordinata X ed Y del punto di applicazione dell'azione, espressa in [m]

Ic	A	V [kN]	I [°]	C _x [kN]	C _y [kN]	P _x [m]	P _y [m]
1	Spinta statica	70.97	23.00	65.32	27.73	2.30	-2.31
	Peso/Inerzia muro			0.00	120.13/0.00	0.16	-2.59
	Peso/Inerzia terrapieno			0.00	200.10/0.00	1.15	-1.50
	Peso dell'acqua sulla fondazione di valle				0.00	0.00	0.00

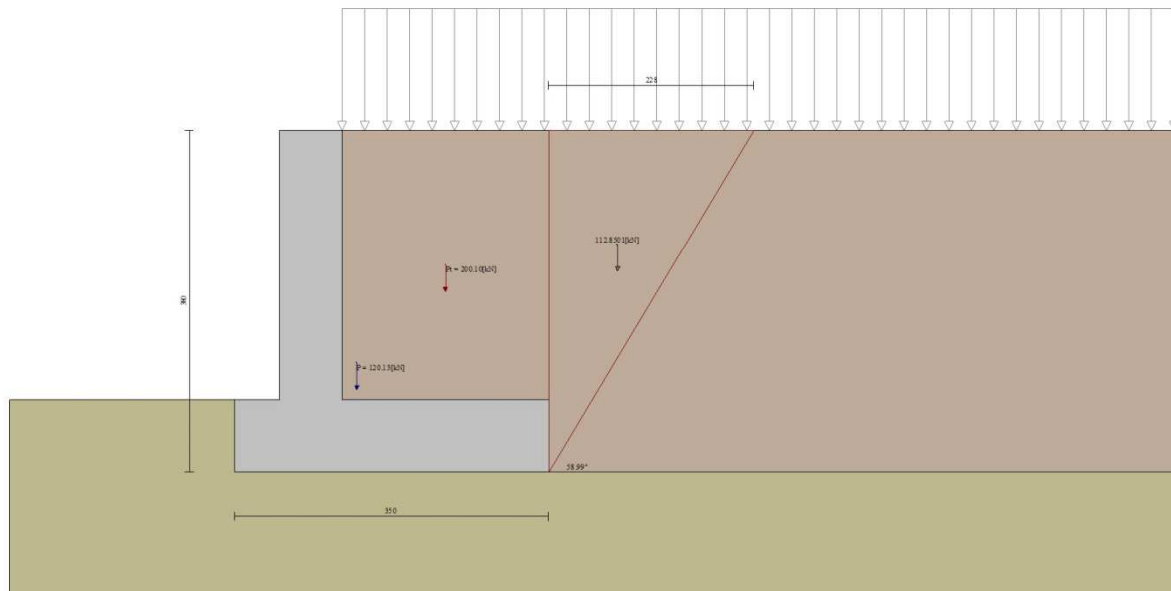


Fig. 3 - Cuneo di spinta (combinazione statica) (Combinazione n° 1)

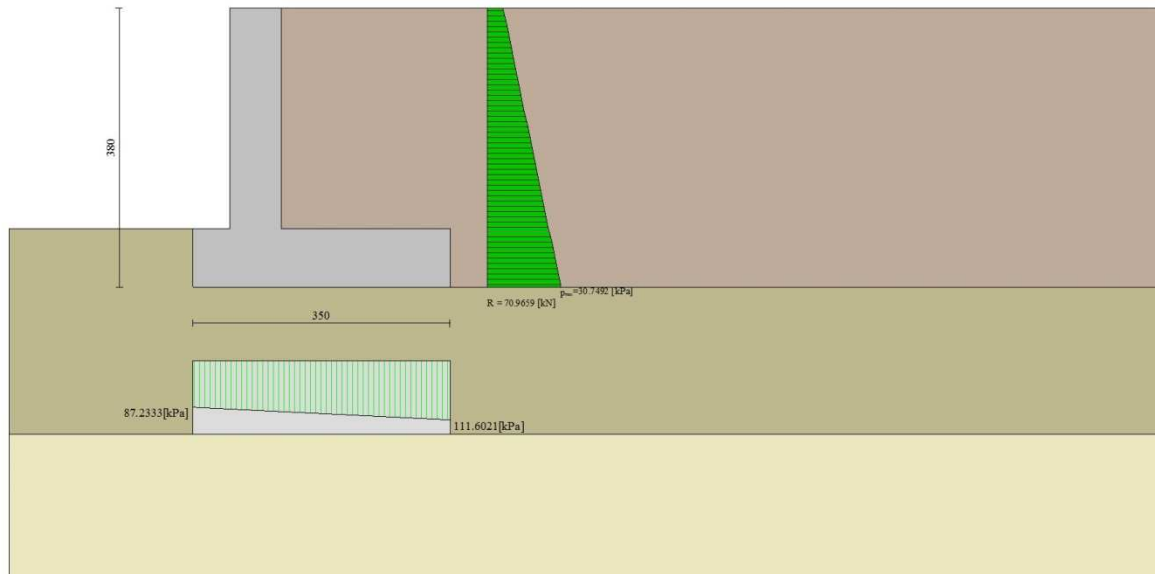


Fig. 4 - Diagramma delle pressioni (combinazione statica) (Combinazione n° 1)

Risultanti globali

Simbologia adottata

Cmb	Indice/Tipo combinazione
N	Componente normale al piano di posa, espressa in [kN]
T	Componente parallela al piano di posa, espressa in [kN]
M _r	Momento ribaltante, espresso in [kNm]
M _s	Momento stabilizzante, espresso in [kNm]
ecc	Eccentricità risultante, espressa in [m]

Ic	N [kN]	T [kN]	M _r [kNm]	M _s [kNm]	ecc [m]
1 - STR (A1-M1-R3)	347.96	65.32	97.37	731.18	-0.071
2 - STR (A1-M1-R3)	294.04	61.21	127.84	596.01	0.158
3 - STR (A1-M1-R3)	306.03	80.28	129.38	618.18	0.153
4 - STR (A1-M1-R3)	273.57	76.26	151.12	582.82	0.172
5 - STR (A1-M1-R3)	425.40	65.32	97.37	877.64	-0.084
6 - STR (A1-M1-R3)	389.36	65.32	97.37	828.47	-0.128
7 - STR (A1-M1-R3)	384.00	65.32	97.37	780.35	-0.029
8 - STR (A1-M1-R3)	371.48	61.21	127.84	742.47	0.095
9 - STR (A1-M1-R3)	335.44	61.21	127.84	693.30	0.064
10 - STR (A1-M1-R3)	330.08	61.21	127.84	645.18	0.183
11 - GEO (A2-M2-R2)	333.88	67.28	101.30	692.48	-0.021
12 - GEO (A2-M2-R2)	287.75	59.70	120.06	576.63	0.163
13 - GEO (A2-M2-R2)	306.03	80.28	129.38	618.18	0.153
14 - GEO (A2-M2-R2)	273.57	76.26	151.12	582.82	0.172
15 - EQU (A1-M1-R3)	347.96	65.32	97.37	731.18	-0.071
16 - EQU (A1-M1-R3)	294.04	61.21	127.84	596.01	0.158
17 - EQU (A1-M1-R3)	316.86	103.04	171.34	643.84	0.259
18 - EQU (A1-M1-R3)	268.33	97.40	204.70	591.39	0.309
19 - ECC	285.24	53.47	129.44	569.84	0.206
20 - SLER	325.18	49.59	73.65	669.97	-0.084
21 - SLEF	311.87	45.32	65.53	636.60	-0.081
22 - SLEQ	285.24	36.77	49.28	569.84	-0.075

Verifiche geotecniche

Quadro riassuntivo coeff. di sicurezza calcolati

Simbologia adottata

Cmb	Indice/Tipo combinazione
S	Sisma (H: componente orizzontale, V: componente verticale)
FS _{SCO}	Coeff. di sicurezza allo scorrimento
FS _{RIB}	Coeff. di sicurezza al ribaltamento
FS _{OLIM}	Coeff. di sicurezza a carico limite
FS _{STAB}	Coeff. di sicurezza a stabilità globale

Cmb	Sismica	FS _{SCO}	FS _{RIB}	FS _{OLIM}	FS _{STAB}
1 - STR (A1-M1-R3)		1.731		2.456	
2 - STR (A1-M1-R3)		1.561		2.501	
3 - STR (A1-M1-R3)	H + V	1.239		2.020	
4 - STR (A1-M1-R3)	H - V	1.166		2.104	
5 - STR (A1-M1-R3)		2.116		2.206	
6 - STR (A1-M1-R3)		1.937		2.207	
7 - STR (A1-M1-R3)		1.910		2.498	
8 - STR (A1-M1-R3)		1.972		2.410	
9 - STR (A1-M1-R3)		1.781		2.613	
10 - STR (A1-M1-R3)		1.752		2.348	
11 - GEO (A2-M2-R2)					1.573
12 - GEO (A2-M2-R2)					1.794
13 - GEO (A2-M2-R2)	H + V				1.762
14 - GEO (A2-M2-R2)	H - V				1.722
15 - EQU (A1-M1-R3)			7.509		
16 - EQU (A1-M1-R3)			4.662		
17 - EQU (A1-M1-R3)	H + V		3.758		
18 - EQU (A1-M1-R3)	H - V		2.889		

Verifica a scorrimento fondazione

Simbologia adottata

n°	Indice combinazione
Rsa	Resistenza allo scorrimento per attrito, espresso in [kN]
Rpt	Resistenza passiva terreno antistante, espresso in [kN]
Rps	Resistenza passiva sperone, espresso in [kN]
Rp	Resistenza a carichi orizzontali pali (solo per fondazione mista), espresso in [kN]
Rt	Resistenza a carichi orizzontali tiranti (solo se presenti), espresso in [kN]
R	Resistenza allo scorrimento (somma di Rsa+Rpt+Rps+Rp), espresso in [kN]
T	Carico parallelo al piano di posa, espresso in [kN]
FS	Fattore di sicurezza (rapporto R/T)

n°	Rsa [kN]	Rpt [kN]	Rps [kN]	Rp [kN]	Rt [kN]	R [kN]	T [kN]	FS
4 - STR (A1-M1-R3) H - V	88.89	0.00	0.00	--	--	88.89	76.26	1.166

Verifica a carico limite

Simbologia adottata

n°	Indice combinazione
N	Carico normale totale al piano di posa, espresso in [kN]
Qu	carico limite del terreno, espresso in [kN]
Qd	Portanza di progetto, espresso in [kN]
FS	Fattore di sicurezza (rapporto tra il carico limite e carico agente al piano di posa)

n°	N [kN]	Qu [kN]	Qd [kN]	FS
3 - STR (A1-M1-R3) H + V	306.03	618.16	515.14	2.020

Dettagli calcolo portanza

Simbologia adottata

n°	Indice combinazione
Nc, Nq, Ny	Fattori di capacità portante
ic, iq, iy	Fattori di inclinazione del carico
dc, dq, dy	Fattori di profondità del piano di posa
gc, gq, gy	Fattori di inclinazione del profilo topografico
bc, bq, by	Fattori di inclinazione del piano di posa
sc, sq, sy	Fattori di forma della fondazione
pc, pq, py	Fattori di riduzione per punzonamento secondo Vesic
Re	Fattore di riduzione capacità portante per eccentricità secondo Meyerhof
Ir, Irc	Indici di rigidezza per punzonamento secondo Vesic
r _γ	Fattori per tener conto dell'effetto piastra. Per fondazioni che hanno larghezza maggiore di 2 m, il terzo termine della formula trinomia 0.5B _γ N _γ viene moltiplicato per questo fattore
D	Affondamento del piano di posa, espresso in [m]
B'	Larghezza fondazione ridotta, espresso in [m]
H	Altezza del cuneo di rottura, espresso in [m]
γ	Peso di volume del terreno medio, espresso in [kN/mc]
φ	Angolo di attrito del terreno medio, espresso in [°]
c	Coesione del terreno medio, espresso in [kPa]

Per i coeff. che in tabella sono indicati con il simbolo '--' sono coeff. non presenti nel metodo scelto (Hansen).

n°	Nc Nq Ny	ic iq iy	dc dq dy	gc gq gy	bc bq by	sc sq sy	pc pq py	Ir	Irc	Re	r _γ
3	25.803 14.720 10.942	0.458 0.495 0.363	1.091 1.068 1.000	1.000 1.000 1.000	1.000 1.000 1.000	1.006 1.005 0.996	-- -- --	--	--	0.791	0.939

n°	D [m]	B' [m]	H [m]	γ [°]	φ [kN/mc]	c [kPa]
3	0.80	3.50	2.91	9.19	28.00	3

Verifica a ribaltamento

Simbologia adottata

n°	Indice combinazione
Ms	Momento stabilizzante, espresso in [kNm]
Mr	Momento ribaltante, espresso in [kNm]
FS	Fattore di sicurezza (rapporto tra momento stabilizzante e momento ribaltante)

La verifica viene eseguita rispetto allo spigolo inferiore esterno della fondazione

n°	Ms [kNm]	Mr [kNm]	FS
18 - EQU (A1-M1-R3) H - V	591.39	204.70	2.889

Verifica stabilità globale muro + terreno

Simbologia adottata

Ic	Indice/Tipo combinazione
C	Centro superficie di scorrimento, espresso in [m]
R	Raggio, espresso in [m]
FS	Fattore di sicurezza

Ic	C [m]	R [m]	FS
11 - GEO (A2-M2-R2)	-1.50; 1.00	6.13	1.573

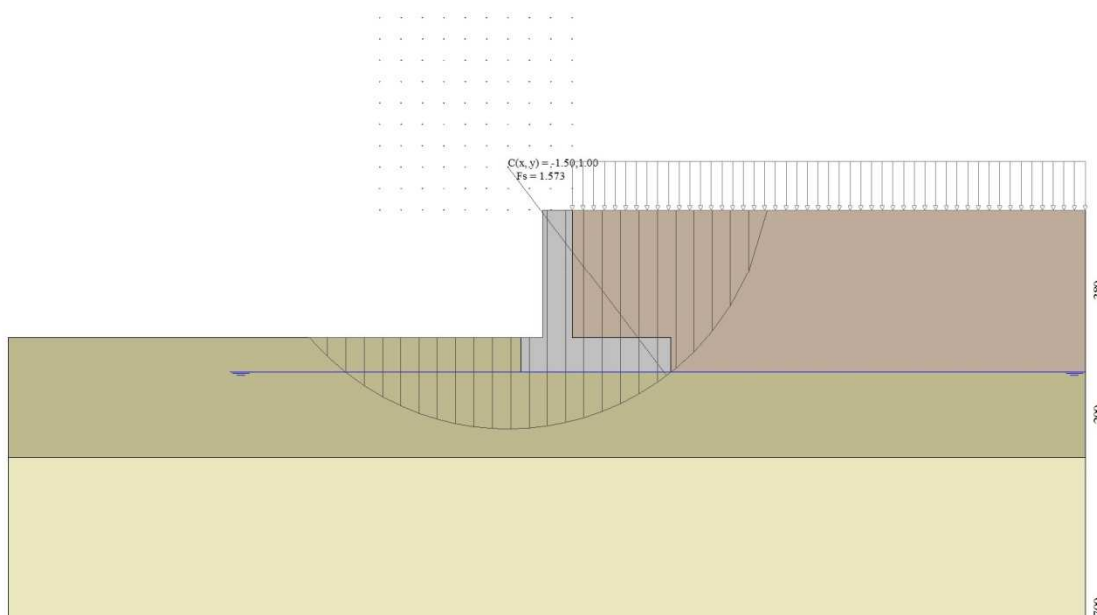


Fig. 5 - Stabilità fronte di scavo - Cerchio critico (Combinazione n° 11)

Sollecitazioni

Elementi calcolati a trave

Simbologia adottata

N Sforzo normale, espresso in [kN]. Positivo se di compressione.
T Taglio, espresso in [kN]. Positivo se diretto da monte verso valle
M Momento, espresso in [kNm]. Positivo se tende le fibre contro terra (a monte)

Paramento

n°	X [m]	N _{min} [kN]	N _{max} [kN]	T _{min} [kN]	T _{max} [kN]	M _{min} [kNm]	M _{max} [kNm]
1	0.00	0.00	0.00	0.00	16.70	0.00	16.70
2	-0.10	1.72	2.23	0.14	16.84	0.01	18.38
3	-0.20	3.43	4.46	0.32	17.02	0.03	20.07
4	-0.30	5.15	6.69	0.54	17.24	0.07	21.78
5	-0.40	6.86	8.92	0.81	17.51	0.14	23.52
6	-0.50	8.58	11.16	1.13	17.83	0.24	25.29
7	-0.60	10.30	13.39	1.49	18.19	0.37	27.09
8	-0.70	12.01	15.62	1.89	18.59	0.53	28.92
9	-0.80	13.73	17.85	2.34	19.04	0.75	30.81
10	-0.90	15.45	20.08	2.84	19.54	1.00	32.73
11	-1.00	17.16	22.31	3.38	20.08	1.31	34.71
12	-1.10	18.88	24.54	3.96	20.66	1.68	36.75
13	-1.20	20.59	26.77	4.59	21.29	2.11	38.85
14	-1.30	22.31	29.00	5.27	21.97	2.60	41.01
15	-1.40	24.03	31.23	5.99	22.69	3.16	43.24
16	-1.50	25.74	33.47	6.75	23.45	3.80	45.55
17	-1.60	27.46	35.70	7.56	24.26	4.52	47.94
18	-1.70	29.18	37.93	8.42	25.12	5.31	50.40
19	-1.80	30.89	40.16	9.32	26.02	6.20	52.96
20	-1.90	32.61	42.39	10.26	26.96	7.18	55.61
21	-2.00	34.32	44.62	11.25	27.95	8.25	58.35
22	-2.10	36.04	46.85	12.29	29.29	9.43	61.20
23	-2.20	37.76	49.08	13.37	30.70	10.71	64.15
24	-2.30	39.47	51.31	14.49	32.17	12.11	67.22
25	-2.40	41.19	53.55	15.66	33.70	13.61	70.39
26	-2.50	42.90	55.78	16.88	35.28	15.24	73.69
27	-2.60	44.62	58.01	18.14	36.92	16.99	77.11
28	-2.70	46.34	60.24	19.44	38.63	18.87	80.66
29	-2.80	48.05	62.47	20.79	40.39	20.88	84.34
30	-2.90	49.77	64.70	22.19	42.22	23.03	88.16
31	-3.00	51.49	66.93	23.63	44.55	25.32	92.12

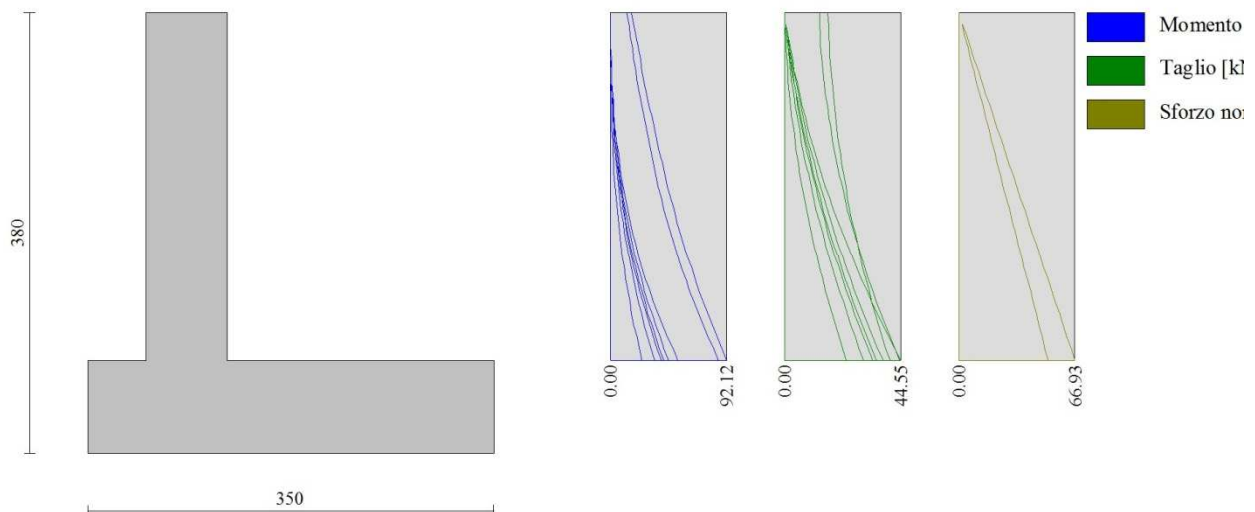


Fig. 6 - Paramento

Fondazione

n°	X [m]	N _{min} [kN]	N _{max} [kN]	T _{min} [kN]	T _{max} [kN]	M _{min} [kNm]	M _{max} [kNm]
1	-1.20	0.00	0.00	0.00	0.00	0.00	0.00
2	-1.10	0.00	0.00	5.17	9.75	0.26	0.49
3	-1.00	0.00	0.00	10.40	19.40	1.04	1.95
4	-0.90	0.00	0.00	15.69	28.95	2.34	4.37
5	-0.80	0.00	0.00	21.04	38.41	4.18	7.73
6	-0.70	0.00	0.00	26.45	47.76	6.55	12.04
7	0.00	0.00	0.00	-64.73	1.09	-87.61	7.33
8	0.10	0.00	0.00	-63.34	1.70	-81.20	7.19
9	0.20	0.00	0.00	-61.83	2.26	-74.94	6.99
10	0.30	0.00	0.00	-60.18	2.75	-68.84	6.74
11	0.40	0.00	0.00	-58.41	3.18	-62.91	6.44
12	0.50	0.00	0.00	-56.50	3.55	-57.26	6.10
13	0.60	0.00	0.00	-54.47	3.86	-51.89	5.73
14	0.70	0.00	0.00	-52.30	4.11	-46.68	5.33
15	0.80	0.00	0.00	-50.01	4.31	-41.66	4.91
16	0.90	0.00	0.00	-47.58	4.44	-36.84	4.48
17	1.00	0.00	0.00	-45.03	4.51	-32.24	4.19
18	1.10	0.00	0.00	-42.42	4.52	-27.88	3.90
19	1.20	0.00	0.00	-39.81	4.47	-23.77	3.56
20	1.30	0.00	0.00	-37.03	4.37	-19.92	3.17
21	1.40	0.00	0.00	-34.09	4.25	-16.37	2.76
22	1.50	0.00	0.00	-30.98	4.33	-13.11	2.33
23	1.60	0.00	0.00	-27.70	4.28	-10.18	1.90
24	1.70	0.00	0.00	-24.25	4.09	-7.58	1.48
25	1.80	0.00	0.00	-20.63	3.75	-5.33	1.08
26	1.90	0.00	0.00	-16.84	3.28	-3.46	0.73
27	2.00	0.00	0.00	-12.88	2.67	-1.97	0.43
28	2.10	0.00	0.00	-8.76	1.92	-0.89	0.20
29	2.20	0.00	0.00	-4.46	1.03	-0.22	0.05
30	2.30	0.00	0.00	0.00	0.00	0.00	0.00

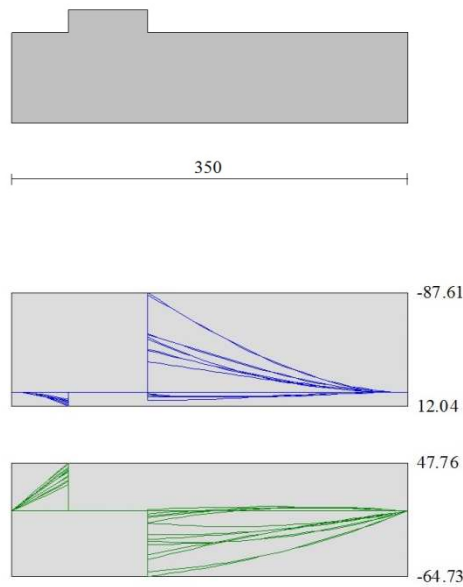


Fig. 7 - Fondazione

Verifiche strutturali

Verifiche a flessione

Elementi calcolati a trave

Simbologia adottata

n°	indice sezione
Y	ordinata sezione espressa in [m]
B	larghezza sezione espressa in [cm]
H	altezza sezione espressa in [cm]
Afi	area ferri inferiori espressa in [cmq]
Afs	area ferri superiori espressa in [cmq]
M	momento agente espressa in [kNm]
N	sfuerzo normale agente espressa in [kN]
Mu	momento ultimi espresso in [kNm]
Nu	sfuerzo normale ultimo espressa in [kN]
FS	fattore di sicurezza (rapporto tra sollecitazione ultima e sollecitazione agente)

Paramento

n°	B [cm]	H [cm]	Afi [cmq]	Afs [cmq]	M [kNm]	N [kN]	Mu [kNm]	Nu [kN]	FS
1	100	70	5.65	10.05	16.70	0.00	275.04	0.00	16.469
2	100	70	5.65	10.05	18.38	1.72	283.03	26.43	15.402
3	100	70	5.65	10.05	20.07	3.43	290.05	49.61	14.453
4	100	70	5.65	10.05	21.78	5.15	296.22	70.02	13.600
5	100	70	5.65	10.05	23.52	6.86	301.68	88.06	12.827
6	100	70	5.65	10.05	25.29	8.58	306.51	104.02	12.122
7	100	70	5.65	10.05	27.09	10.30	310.78	118.15	11.474
8	100	70	5.65	10.05	28.92	12.01	314.56	130.65	10.875
9	100	70	5.65	10.05	30.81	13.73	317.90	141.68	10.320
10	100	70	5.65	10.05	32.73	15.45	320.84	151.39	9.801
11	100	70	5.65	10.05	34.71	17.16	323.41	159.88	9.316
12	100	70	5.65	10.05	36.75	18.88	325.64	167.27	8.861
13	100	70	5.65	10.05	38.85	20.59	327.57	173.65	8.432
14	100	70	5.65	10.05	41.01	22.31	329.22	179.10	8.028
15	100	70	5.65	10.05	43.24	24.03	330.61	183.69	7.645
16	100	70	5.65	10.05	45.55	25.74	331.76	187.50	7.283
17	100	70	5.65	10.05	47.94	27.46	332.69	190.58	6.940
18	100	70	5.65	10.05	50.40	29.18	333.42	192.99	6.615
19	100	70	5.65	10.05	52.96	30.89	333.97	194.80	6.306
20	100	70	5.65	10.05	55.61	32.61	334.35	196.05	6.012
21	100	70	5.65	10.05	58.35	34.32	334.57	196.79	5.733
22	100	70	5.65	10.05	61.20	36.04	334.66	197.07	5.468
23	100	70	5.65	10.05	64.15	37.76	334.61	196.93	5.216
24	100	70	5.65	10.05	67.22	39.47	334.45	196.41	4.976
25	100	70	5.65	10.05	70.44	41.19	334.17	195.61	4.747
26	100	70	5.65	10.05	73.79	42.90	333.77	194.63	4.528
27	100	70	5.65	10.05	77.26	44.62	333.25	193.47	4.319
28	100	70	5.65	10.05	80.85	46.34	332.62	192.13	4.120
29	100	70	5.65	10.05	84.56	48.05	331.88	190.61	3.931
30	100	70	5.65	10.05	88.39	49.77	331.03	188.91	3.752
31	100	70	5.65	10.05	92.34	51.49	330.07	187.03	3.583

Fondazione

n°	B [cm]	H [cm]	Afi [cmq]	Afs [cmq]	M [kNm]	N [kN]	Mu [kNm]	Nu [kN]	FS
1	100	80	5.65	10.05	0.00	0.00	0.00	0.00	100000.000
2	100	80	5.65	10.05	0.49	0.00	160.35	0.00	327.976
3	100	80	5.65	10.05	1.95	0.00	160.35	0.00	82.362
4	100	80	5.65	10.05	4.37	0.00	160.35	0.00	36.730
5	100	80	5.65	10.05	7.73	0.00	160.35	0.00	20.731
6	100	80	5.65	10.05	12.04	0.00	160.35	0.00	13.314
7	100	80	5.65	10.05	-87.61	0.00	-276.80	0.00	3.160
8	100	80	5.65	10.05	-81.20	0.00	-276.80	0.00	3.409
9	100	80	5.65	10.05	-74.94	0.00	-276.80	0.00	3.694
10	100	80	5.65	10.05	-68.84	0.00	-276.80	0.00	4.021
11	100	80	5.65	10.05	-62.91	0.00	-276.80	0.00	4.400
12	100	80	5.65	10.05	-57.26	0.00	-276.80	0.00	4.834
13	100	80	5.65	10.05	-51.89	0.00	-276.80	0.00	5.334
14	100	80	5.65	10.05	-46.68	0.00	-276.80	0.00	5.929
15	100	80	5.65	10.05	-41.66	0.00	-276.80	0.00	6.644
16	100	80	5.65	10.05	-36.84	0.00	-276.80	0.00	7.513
17	100	80	5.65	10.05	-32.24	0.00	-276.80	0.00	8.584
18	100	80	5.65	10.05	-27.88	0.00	-276.80	0.00	9.928
19	100	80	5.65	10.05	-23.77	0.00	-276.80	0.00	11.646
20	100	80	5.65	10.05	-19.92	0.00	-276.80	0.00	13.893
21	100	80	5.65	10.05	-16.37	0.00	-276.80	0.00	16.913
22	100	80	5.65	10.05	-13.11	0.00	-276.80	0.00	21.112
23	100	80	5.65	10.05	-10.18	0.00	-276.80	0.00	27.201
24	100	80	5.65	10.05	-7.58	0.00	-276.80	0.00	36.529

n°	B [cm]	H [cm]	Afi [cmq]	Afs [cmq]	M [kNm]	N [kN]	Mu [kNm]	Nu [kN]	FS
25	100	80	5.65	10.05	-5.33	0.00	-276.80	0.00	51.909
26	100	80	5.65	10.05	-3.46	0.00	-276.80	0.00	80.052
27	100	80	5.65	10.05	-1.97	0.00	-276.80	0.00	140.485
28	100	80	5.65	10.05	-0.89	0.00	-276.80	0.00	312.083
29	100	80	5.65	10.05	-0.22	0.00	-276.80	0.00	1232.695
30	100	80	5.65	10.05	0.00	0.00	0.00	0.00	100000.000

Verifiche a taglio

Simbologia adottata

Is indice sezione
Y ordinata sezione espressa in [m]
B larghezza sezione espressa in [cm]
H altezza sezione espressa in [cm]
A_{sw} area ferri a taglio espresso in [cmq]
cotθ inclinazione delle bielle compresse, θ inclinazione dei puntoni di calcestruzzo
V_{Rcd} resistenza di progetto a 'taglio compressione' espressa in [kN]
V_{Rsd} resistenza di progetto a 'taglio trazione' espressa in [kN]
V_{Rd} resistenza di progetto a taglio espresso in [kN]. Per elementi con armature trasversali resistenti al taglio (A_{sw}>0.0) V_{Rd}=min(V_{Rcd}, V_{Rsd}).
T taglio agente espressa in [kN]
FS fattore di sicurezza (rapporto tra sollecitazione resistente e sollecitazione agente)

Paramento

n°	B [cm]	H [cm]	A _{sw} [cmq]	cotθ	V _{Rcd} [kN]	V _{Rsd} [kN]	V _{Rd} [kN]	T [kN]	FS
1	100	70	0.00	--	0.00	0.00	218.80	16.70	13.102
2	100	70	0.00	--	0.00	0.00	219.03	16.84	13.010
3	100	70	0.00	--	0.00	0.00	219.27	17.02	12.886
4	100	70	0.00	--	0.00	0.00	219.50	17.24	12.730
5	100	70	0.00	--	0.00	0.00	219.73	17.51	12.547
6	100	70	0.00	--	0.00	0.00	219.96	17.83	12.339
7	100	70	0.00	--	0.00	0.00	220.19	18.19	12.107
8	100	70	0.00	--	0.00	0.00	220.43	18.59	11.856
9	100	70	0.00	--	0.00	0.00	220.66	19.04	11.588
10	100	70	0.00	--	0.00	0.00	220.89	19.54	11.306
11	100	70	0.00	--	0.00	0.00	221.12	20.08	11.013
12	100	70	0.00	--	0.00	0.00	221.35	20.66	10.713
13	100	70	0.00	--	0.00	0.00	221.58	21.29	10.407
14	100	70	0.00	--	0.00	0.00	221.82	21.97	10.098
15	100	70	0.00	--	0.00	0.00	222.05	22.69	9.787
16	100	70	0.00	--	0.00	0.00	222.28	23.45	9.478
17	100	70	0.00	--	0.00	0.00	222.51	24.26	9.171
18	100	70	0.00	--	0.00	0.00	222.74	25.12	8.868
19	100	70	0.00	--	0.00	0.00	222.97	26.02	8.570
20	100	70	0.00	--	0.00	0.00	223.21	26.96	8.278
21	100	70	0.00	--	0.00	0.00	223.44	27.95	7.994
22	100	70	0.00	--	0.00	0.00	223.67	29.29	7.636
23	100	70	0.00	--	0.00	0.00	223.90	30.70	7.293
24	100	70	0.00	--	0.00	0.00	224.13	32.17	6.967
25	100	70	0.00	--	0.00	0.00	224.36	33.70	6.659
26	100	70	0.00	--	0.00	0.00	224.60	35.28	6.366
27	100	70	0.00	--	0.00	0.00	224.83	36.92	6.089
28	100	70	0.00	--	0.00	0.00	225.06	38.63	5.827
29	100	70	0.00	--	0.00	0.00	225.29	40.39	5.578
30	100	70	0.00	--	0.00	0.00	225.52	42.22	5.342
31	100	70	0.00	--	0.00	0.00	225.75	44.55	5.067

Fondazione

n°	B [cm]	H [cm]	A _{sw} [cmq]	cotθ	V _{Rcd} [kN]	V _{Rsd} [kN]	V _{Rd} [kN]	T [kN]	FS
1	100	80	0.00	--	0.00	0.00	261.66	0.00	100.000
2	100	80	0.00	--	0.00	0.00	261.66	-9.75	26.834
3	100	80	0.00	--	0.00	0.00	261.66	-19.40	13.486
4	100	80	0.00	--	0.00	0.00	261.66	-28.95	9.037
5	100	80	0.00	--	0.00	0.00	261.66	-38.41	6.813
6	100	80	0.00	--	0.00	0.00	261.66	-47.76	5.478
7	100	80	0.00	--	0.00	0.00	261.66	-56.93	4.480
8	100	80	0.00	--	0.00	0.00	261.66	-65.93	3.753
9	100	80	0.00	--	0.00	0.00	261.66	-74.76	3.161
10	100	80	0.00	--	0.00	0.00	261.66	-83.41	2.673
11	100	80	0.00	--	0.00	0.00	261.66	-91.88	2.261
12	100	80	0.00	--	0.00	0.00	261.66	-100.17	1.908
13	100	80	0.00	--	0.00	0.00	261.66	-108.28	1.601
14	100	80	0.00	--	0.00	0.00	261.66	-116.21	1.328
15	100	80	0.00	--	0.00	0.00	261.66	-123.96	1.087
16	100	80	0.00	--	0.00	0.00	261.66	-131.53	0.875
17	100	80	0.00	--	0.00	0.00	261.66	-138.93	0.689
18	100	80	0.00	--	0.00	0.00	261.66	-146.16	0.526
19	100	80	0.00	--	0.00	0.00	261.66	-153.21	0.384
20	100	80	0.00	--	0.00	0.00	261.66	-160.08	0.269
21	100	80	0.00	--	0.00	0.00	261.66	-166.78	0.186
22	100	80	0.00	--	0.00	0.00	261.66	-173.31	0.131
23	100	80	0.00	--	0.00	0.00	261.66	-179.67	0.097
24	100	80	0.00	--	0.00	0.00	261.66	-185.87	0.072
25	100	80	0.00	--	0.00	0.00	261.66	-191.91	0.053
26	100	80	0.00	--	0.00	0.00	261.66	-197.79	0.039
27	100	80	0.00	--	0.00	0.00	261.66	-203.51	0.029
28	100	80	0.00	--	0.00	0.00	261.66	-209.07	0.021
29	100	80	0.00	--	0.00	0.00	261.66	-214.48	0.016
30	100	80	0.00	--	0.00	0.00	261.66	-219.74	0.012

Verifica a fessurazione

Simbologia adottata

n°	indice sezione
Y	ordinata sezione espressa in [m]
B	larghezza sezione espressa in [cm]
H	altezza sezione espressa in [cm]
Af	area ferri zona tesa espressa in [cmq]
Aeff	area efficace espressa in [cmq]
M	momento agente espressa in [kNm]
Mpf	momento di prima fessurazione espressa in [kNm]
ε	deformazione espressa in %
Sm	spaziatura tra le fessure espressa in [mm]
w	apertura delle fessure espressa in [mm]

Combinazioni SLER

Paramento

Apertura limite fessure $w_{lim}=0.40$

n°	B [cm]	H [cm]	Af [cmq]	Aeff [cmq]	M [kNm]	Mpf [kNm]	ε [%]	Sm [mm]	w [mm]
1	100	70	0.00	0.00	0.00	0.00	---	---	0.000 (20)
2	100	70	10.05	1950.00	0.02	223.45	0.000000	0.00	0.000 (20)
3	100	70	10.05	1950.00	0.10	223.66	0.000000	0.00	0.000 (20)
4	100	70	10.05	1950.00	0.22	223.86	0.000000	0.00	0.000 (20)
5	100	70	10.05	1950.00	0.41	224.07	0.000000	0.00	0.000 (20)
6	100	70	10.05	1950.00	0.66	224.27	0.000000	0.00	0.000 (20)
7	100	70	10.05	1950.00	0.97	224.47	0.000000	0.00	0.000 (20)
8	100	70	10.05	1950.00	1.36	224.68	0.000000	0.00	0.000 (20)
9	100	70	10.05	1950.00	1.83	224.87	0.000000	0.00	0.000 (20)
10	100	70	10.05	1950.00	2.37	225.07	0.000000	0.00	0.000 (20)
11	100	70	10.05	1950.00	3.00	225.28	0.000000	0.00	0.000 (20)
12	100	70	10.05	1950.00	3.72	225.49	0.000000	0.00	0.000 (20)
13	100	70	10.05	1950.00	4.54	225.69	0.000000	0.00	0.000 (20)
14	100	70	10.05	1950.00	5.45	225.90	0.000000	0.00	0.000 (20)
15	100	70	10.05	1950.00	6.47	226.09	0.000000	0.00	0.000 (20)
16	100	70	10.05	1950.00	7.60	226.30	0.000000	0.00	0.000 (20)
17	100	70	10.05	1950.00	8.84	226.50	0.000000	0.00	0.000 (20)
18	100	70	10.05	1950.00	10.19	226.71	0.000000	0.00	0.000 (20)
19	100	70	10.05	1950.00	11.67	226.90	0.000000	0.00	0.000 (20)
20	100	70	10.05	1950.00	13.27	227.10	0.000000	0.00	0.000 (20)
21	100	70	10.05	1950.00	15.00	227.31	0.000000	0.00	0.000 (20)
22	100	70	10.05	1950.00	16.87	227.51	0.000000	0.00	0.000 (20)
23	100	70	10.05	1950.00	18.88	227.72	0.000000	0.00	0.000 (20)
24	100	70	10.05	1950.00	21.03	227.91	0.000000	0.00	0.000 (20)
25	100	70	10.05	1950.00	23.33	228.13	0.000000	0.00	0.000 (20)
26	100	70	10.05	1950.00	25.79	228.32	0.000000	0.00	0.000 (20)
27	100	70	10.05	1950.00	28.40	228.53	0.000000	0.00	0.000 (20)
28	100	70	10.05	1950.00	31.17	228.72	0.000000	0.00	0.000 (20)
29	100	70	10.05	1950.00	34.11	228.92	0.000000	0.00	0.000 (20)
30	100	70	10.05	1950.00	37.22	229.14	0.000000	0.00	0.000 (20)
31	100	70	10.05	1950.00	40.51	229.34	0.000000	0.00	0.000 (20)

Fondazione

Apertura limite fessure $w_{lim}=0.40$

n°	B [cm]	H [cm]	Af [cmq]	Aeff [cmq]	M [kNm]	Mpf [kNm]	ε [%]	Sm [mm]	w [mm]
1	100	80	0.00	0.00	0.00	0.00	---	---	0.000 (20)
2	100	80	5.65	1900.00	0.30	317.72	0.000000	0.00	0.000 (20)
3	100	80	5.65	1900.00	1.21	317.72	0.000000	0.00	0.000 (20)
4	100	80	5.65	1900.00	2.73	317.72	0.000000	0.00	0.000 (20)
5	100	80	5.65	1900.00	4.88	317.72	0.000000	0.00	0.000 (20)
6	100	80	5.65	1900.00	7.65	317.72	0.000000	0.00	0.000 (20)
7	100	80	5.65	1900.00	2.10	317.72	0.000000	0.00	0.000 (20)
8	100	80	5.65	1900.00	2.54	317.72	0.000000	0.00	0.000 (20)
9	100	80	5.65	1900.00	2.88	317.72	0.000000	0.00	0.000 (20)
10	100	80	5.65	1900.00	3.12	317.72	0.000000	0.00	0.000 (20)
11	100	80	5.65	1900.00	3.27	317.72	0.000000	0.00	0.000 (20)
12	100	80	5.65	1900.00	3.35	317.72	0.000000	0.00	0.000 (20)
13	100	80	5.65	1900.00	3.35	317.72	0.000000	0.00	0.000 (20)
14	100	80	5.65	1900.00	3.30	317.72	0.000000	0.00	0.000 (20)
15	100	80	5.65	1900.00	3.18	317.72	0.000000	0.00	0.000 (20)
16	100	80	5.65	1900.00	3.02	317.72	0.000000	0.00	0.000 (20)
17	100	80	5.65	1900.00	2.82	317.72	0.000000	0.00	0.000 (20)
18	100	80	5.65	1900.00	2.59	317.72	0.000000	0.00	0.000 (20)
19	100	80	5.65	1900.00	2.33	317.72	0.000000	0.00	0.000 (20)
20	100	80	5.65	1900.00	2.05	317.72	0.000000	0.00	0.000 (20)

n°	B [cm]	H [cm]	Af [cmq]	Aeff [cmq]	M [kNm]	Mpf [kNm]	ε [%]	Sm [mm]	w [mm]
21	100	80	5.65	1900.00	1.76	317.72	0.000000	0.00	0.000 (20)
22	100	80	5.65	1900.00	1.47	317.72	0.000000	0.00	0.000 (20)
23	100	80	5.65	1900.00	1.19	317.72	0.000000	0.00	0.000 (20)
24	100	80	5.65	1900.00	0.92	317.72	0.000000	0.00	0.000 (20)
25	100	80	5.65	1900.00	0.67	317.72	0.000000	0.00	0.000 (20)
26	100	80	5.65	1900.00	0.45	317.72	0.000000	0.00	0.000 (20)
27	100	80	5.65	1900.00	0.26	317.72	0.000000	0.00	0.000 (20)
28	100	80	5.65	1900.00	0.12	317.72	0.000000	0.00	0.000 (20)
29	100	80	5.65	1900.00	0.03	317.72	0.000000	0.00	0.000 (20)
30	100	80	0.00	0.00	0.00	0.00	---	---	0.000 (20)

Combinazioni SLEF

Paramento

Apertura limite fessure $w_{lim}=0.30$

n°	B [cm]	H [cm]	Af [cmq]	Aeff [cmq]	M [kNm]	Mpf [kNm]	ε [%]	Sm [mm]	w [mm]
1	100	70	0.00	0.00	0.00	0.00	---	---	0.000 (21)
2	100	70	10.05	1950.00	0.02	223.46	0.000000	0.00	0.000 (21)
3	100	70	10.05	1950.00	0.07	223.66	0.000000	0.00	0.000 (21)
4	100	70	10.05	1950.00	0.17	223.87	0.000000	0.00	0.000 (21)
5	100	70	10.05	1950.00	0.32	224.06	0.000000	0.00	0.000 (21)
6	100	70	10.05	1950.00	0.52	224.27	0.000000	0.00	0.000 (21)
7	100	70	10.05	1950.00	0.77	224.47	0.000000	0.00	0.000 (21)
8	100	70	10.05	1950.00	1.09	224.67	0.000000	0.00	0.000 (21)
9	100	70	10.05	1950.00	1.47	224.88	0.000000	0.00	0.000 (21)
10	100	70	10.05	1950.00	1.92	225.08	0.000000	0.00	0.000 (21)
11	100	70	10.05	1950.00	2.44	225.28	0.000000	0.00	0.000 (21)
12	100	70	10.05	1950.00	3.04	225.49	0.000000	0.00	0.000 (21)
13	100	70	10.05	1950.00	3.73	225.68	0.000000	0.00	0.000 (21)
14	100	70	10.05	1950.00	4.50	225.88	0.000000	0.00	0.000 (21)
15	100	70	10.05	1950.00	5.37	226.10	0.000000	0.00	0.000 (21)
16	100	70	10.05	1950.00	6.33	226.29	0.000000	0.00	0.000 (21)
17	100	70	10.05	1950.00	7.40	226.50	0.000000	0.00	0.000 (21)
18	100	70	10.05	1950.00	8.56	226.71	0.000000	0.00	0.000 (21)
19	100	70	10.05	1950.00	9.84	226.90	0.000000	0.00	0.000 (21)
20	100	70	10.05	1950.00	11.24	227.10	0.000000	0.00	0.000 (21)
21	100	70	10.05	1950.00	12.75	227.32	0.000000	0.00	0.000 (21)
22	100	70	10.05	1950.00	14.39	227.52	0.000000	0.00	0.000 (21)
23	100	70	10.05	1950.00	16.16	227.71	0.000000	0.00	0.000 (21)
24	100	70	10.05	1950.00	18.06	227.93	0.000000	0.00	0.000 (21)
25	100	70	10.05	1950.00	20.09	228.12	0.000000	0.00	0.000 (21)
26	100	70	10.05	1950.00	22.27	228.33	0.000000	0.00	0.000 (21)
27	100	70	10.05	1950.00	24.59	228.53	0.000000	0.00	0.000 (21)
28	100	70	10.05	1950.00	27.07	228.72	0.000000	0.00	0.000 (21)
29	100	70	10.05	1950.00	29.70	228.94	0.000000	0.00	0.000 (21)
30	100	70	10.05	1950.00	32.49	229.14	0.000000	0.00	0.000 (21)
31	100	70	10.05	1950.00	35.44	229.34	0.000000	0.00	0.000 (21)

Fondazione

Apertura limite fessure $w_{lim}=0.30$

n°	B [cm]	H [cm]	Af [cmq]	Aeff [cmq]	M [kNm]	Mpf [kNm]	ε [%]	Sm [mm]	w [mm]
1	100	80	0.00	0.00	0.00	0.00	---	---	0.000 (21)
2	100	80	5.65	1900.00	0.29	317.72	0.000000	0.00	0.000 (21)
3	100	80	5.65	1900.00	1.15	317.72	0.000000	0.00	0.000 (21)
4	100	80	5.65	1900.00	2.60	317.72	0.000000	0.00	0.000 (21)
5	100	80	5.65	1900.00	4.64	317.72	0.000000	0.00	0.000 (21)
6	100	80	5.65	1900.00	7.29	317.72	0.000000	0.00	0.000 (21)
7	100	80	5.65	1900.00	3.85	317.72	0.000000	0.00	0.000 (21)
8	100	80	5.65	1900.00	4.09	317.72	0.000000	0.00	0.000 (21)
9	100	80	5.65	1900.00	4.25	317.72	0.000000	0.00	0.000 (21)
10	100	80	5.65	1900.00	4.32	317.72	0.000000	0.00	0.000 (21)
11	100	80	5.65	1900.00	4.33	317.72	0.000000	0.00	0.000 (21)
12	100	80	5.65	1900.00	4.27	317.72	0.000000	0.00	0.000 (21)
13	100	80	5.65	1900.00	4.15	317.72	0.000000	0.00	0.000 (21)
14	100	80	5.65	1900.00	3.98	317.72	0.000000	0.00	0.000 (21)
15	100	80	5.65	1900.00	3.76	317.72	0.000000	0.00	0.000 (21)
16	100	80	5.65	1900.00	3.51	317.72	0.000000	0.00	0.000 (21)
17	100	80	5.65	1900.00	3.22	317.72	0.000000	0.00	0.000 (21)
18	100	80	5.65	1900.00	2.92	317.72	0.000000	0.00	0.000 (21)
19	100	80	5.65	1900.00	2.59	317.72	0.000000	0.00	0.000 (21)
20	100	80	5.65	1900.00	2.26	317.72	0.000000	0.00	0.000 (21)
21	100	80	5.65	1900.00	1.93	317.72	0.000000	0.00	0.000 (21)
22	100	80	5.65	1900.00	1.60	317.72	0.000000	0.00	0.000 (21)
23	100	80	5.65	1900.00	1.28	317.72	0.000000	0.00	0.000 (21)

n°	B [cm]	H [cm]	Af [cmq]	Aeff [cmq]	M [kNm]	Mpf [kNm]	ε [%]	Sm [mm]	w [mm]
24	100	80	5.65	1900.00	0.98	317.72	0.000000	0.00	0.000 (21)
25	100	80	5.65	1900.00	0.71	317.72	0.000000	0.00	0.000 (21)
26	100	80	5.65	1900.00	0.48	317.72	0.000000	0.00	0.000 (21)
27	100	80	5.65	1900.00	0.28	317.72	0.000000	0.00	0.000 (21)
28	100	80	5.65	1900.00	0.13	317.72	0.000000	0.00	0.000 (21)
29	100	80	5.65	1900.00	0.03	317.72	0.000000	0.00	0.000 (21)
30	100	80	0.00	0.00	0.00	0.00	---	---	0.000 (21)

Combinazioni SLEQ

Paramento

Apertura limite fessure $w_{lim}=0.20$

n°	B [cm]	H [cm]	Af [cmq]	Aeff [cmq]	M [kNm]	Mpf [kNm]	ε [%]	Sm [mm]	w [mm]
1	100	70	0.00	0.00	0.00	0.00	---	---	0.000 (22)
2	100	70	10.05	1950.00	0.01	223.46	0.000000	0.00	0.000 (22)
3	100	70	10.05	1950.00	0.03	223.66	0.000000	0.00	0.000 (22)
4	100	70	10.05	1950.00	0.07	223.87	0.000000	0.00	0.000 (22)
5	100	70	10.05	1950.00	0.14	224.07	0.000000	0.00	0.000 (22)
6	100	70	10.05	1950.00	0.24	224.27	0.000000	0.00	0.000 (22)
7	100	70	10.05	1950.00	0.37	224.47	0.000000	0.00	0.000 (22)
8	100	70	10.05	1950.00	0.53	224.67	0.000000	0.00	0.000 (22)
9	100	70	10.05	1950.00	0.75	224.88	0.000000	0.00	0.000 (22)
10	100	70	10.05	1950.00	1.00	225.09	0.000000	0.00	0.000 (22)
11	100	70	10.05	1950.00	1.31	225.28	0.000000	0.00	0.000 (22)
12	100	70	10.05	1950.00	1.68	225.48	0.000000	0.00	0.000 (22)
13	100	70	10.05	1950.00	2.11	225.69	0.000000	0.00	0.000 (22)
14	100	70	10.05	1950.00	2.60	225.90	0.000000	0.00	0.000 (22)
15	100	70	10.05	1950.00	3.16	226.10	0.000000	0.00	0.000 (22)
16	100	70	10.05	1950.00	3.80	226.29	0.000000	0.00	0.000 (22)
17	100	70	10.05	1950.00	4.52	226.50	0.000000	0.00	0.000 (22)
18	100	70	10.05	1950.00	5.31	226.69	0.000000	0.00	0.000 (22)
19	100	70	10.05	1950.00	6.20	226.91	0.000000	0.00	0.000 (22)
20	100	70	10.05	1950.00	7.18	227.10	0.000000	0.00	0.000 (22)
21	100	70	10.05	1950.00	8.25	227.32	0.000000	0.00	0.000 (22)
22	100	70	10.05	1950.00	9.43	227.52	0.000000	0.00	0.000 (22)
23	100	70	10.05	1950.00	10.71	227.71	0.000000	0.00	0.000 (22)
24	100	70	10.05	1950.00	12.11	227.91	0.000000	0.00	0.000 (22)
25	100	70	10.05	1950.00	13.61	228.12	0.000000	0.00	0.000 (22)
26	100	70	10.05	1950.00	15.24	228.33	0.000000	0.00	0.000 (22)
27	100	70	10.05	1950.00	16.99	228.53	0.000000	0.00	0.000 (22)
28	100	70	10.05	1950.00	18.87	228.74	0.000000	0.00	0.000 (22)
29	100	70	10.05	1950.00	20.88	228.93	0.000000	0.00	0.000 (22)
30	100	70	10.05	1950.00	23.03	229.14	0.000000	0.00	0.000 (22)
31	100	70	10.05	1950.00	25.32	229.35	0.000000	0.00	0.000 (22)

Fondazione

Apertura limite fessure $w_{lim}=0.20$

n°	B [cm]	H [cm]	Af [cmq]	Aeff [cmq]	M [kNm]	Mpf [kNm]	ε [%]	Sm [mm]	w [mm]
1	100	80	0.00	0.00	0.00	0.00	---	---	0.000 (22)
2	100	80	5.65	1900.00	0.26	317.72	0.000000	0.00	0.000 (22)
3	100	80	5.65	1900.00	1.04	317.72	0.000000	0.00	0.000 (22)
4	100	80	5.65	1900.00	2.34	317.72	0.000000	0.00	0.000 (22)
5	100	80	5.65	1900.00	4.18	317.72	0.000000	0.00	0.000 (22)
6	100	80	5.65	1900.00	6.55	317.72	0.000000	0.00	0.000 (22)
7	100	80	5.65	1900.00	7.33	317.72	0.000000	0.00	0.000 (22)
8	100	80	5.65	1900.00	7.19	317.72	0.000000	0.00	0.000 (22)
9	100	80	5.65	1900.00	6.99	317.72	0.000000	0.00	0.000 (22)
10	100	80	5.65	1900.00	6.74	317.72	0.000000	0.00	0.000 (22)
11	100	80	5.65	1900.00	6.44	317.72	0.000000	0.00	0.000 (22)
12	100	80	5.65	1900.00	6.10	317.72	0.000000	0.00	0.000 (22)
13	100	80	5.65	1900.00	5.73	317.72	0.000000	0.00	0.000 (22)
14	100	80	5.65	1900.00	5.33	317.72	0.000000	0.00	0.000 (22)
15	100	80	5.65	1900.00	4.91	317.72	0.000000	0.00	0.000 (22)
16	100	80	5.65	1900.00	4.48	317.72	0.000000	0.00	0.000 (22)
17	100	80	5.65	1900.00	4.03	317.72	0.000000	0.00	0.000 (22)
18	100	80	5.65	1900.00	3.58	317.72	0.000000	0.00	0.000 (22)
19	100	80	5.65	1900.00	3.12	317.72	0.000000	0.00	0.000 (22)
20	100	80	5.65	1900.00	2.68	317.72	0.000000	0.00	0.000 (22)
21	100	80	5.65	1900.00	2.25	317.72	0.000000	0.00	0.000 (22)
22	100	80	5.65	1900.00	1.84	317.72	0.000000	0.00	0.000 (22)
23	100	80	5.65	1900.00	1.46	317.72	0.000000	0.00	0.000 (22)
24	100	80	5.65	1900.00	1.11	317.72	0.000000	0.00	0.000 (22)
25	100	80	5.65	1900.00	0.80	317.72	0.000000	0.00	0.000 (22)
26	100	80	5.65	1900.00	0.52	317.72	0.000000	0.00	0.000 (22)

n°	B [cm]	H [cm]	Af [cmq]	Aeff [cmq]	M [kNm]	Mpf [kNm]	ε [%]	Sm [mm]	w [mm]
27	100	80	5.65	1900.00	0.30	317.72	0.000000	0.00	0.000 (22)
28	100	80	5.65	1900.00	0.14	317.72	0.000000	0.00	0.000 (22)
29	100	80	5.65	1900.00	0.04	317.72	0.000000	0.00	0.000 (22)
30	100	80	0.00	0.00	0.00	0.00	---	---	0.000 (22)

19 ALLEGATO 4 – TABULATO SEZIONE TIPO 4

Dati

Materiali

Simbologia adottata

n°	Indice materiale
Descr	Descrizione del materiale
Calcestruzzo armato	
C	Classe di resistenza del cls
A	Classe di resistenza dell'acciaio
γ	Peso specifico, espresso in [kN/mc]
R_{ck}	Resistenza caratteristica a compressione, espressa in [kPa]
E	Modulo elastico, espresso in [kPa]
ν	Coeff. di Poisson
n	Coeff. di omogenizzazione acciaio/cls
ntc	Coeff. di omogenizzazione cls teso/compresso

Calcestruzzo armato

n°	Descr	C	A	γ [kN/mc]	R_{ck} [kPa]	E [kPa]	ν	n	ntc
5	C25/30	C25/30	B450C	24.5170	30000	31447048	0.30	15.00	0.50
6	C28/35	C28/35	B450C	24.5170	35000	32587986	0.30	15.00	0.50

Acciai

Descr	f_{yk} [kPa]	f_{uk} [kPa]
B450C	450000	540000

Geometria profilo terreno a monte del muro

Simbologia adottata

(Sistema di riferimento con origine in testa al muro, ascissa X positiva verso monte, ordinata Y positiva verso l'alto)

n°	numero ordine del punto
X	ascissa del punto espressa in [m]
Y	ordinata del punto espressa in [m]
A	inclinazione del tratto espressa in [°]

n°	X [m]	Y [m]	A [°]
1	0.00	0.00	0.000
2	12.00	0.00	0.000

Inclinazione terreno a valle del muro rispetto all'orizzontale 0.000 [°]

Falda

Simbologia adottata

(Sistema di riferimento con origine in testa al muro, ascissa X positiva verso monte, ordinata Y positiva verso l'alto)

n°	numero ordine del punto
X	ascissa del punto espressa in [m]
Y	ordinata del punto espressa in [m]
A	inclinazione del tratto espressa in [°]

n°	X [m]	Y [m]	A [°]
1	-8.00	-4.80	0.000
2	10.00	-4.80	0.000
3	12.00	-4.80	0.000

Geometria muro

Geometria paramento e fondazione

Lunghezza muro	1.00	[m]
<u>Paramento</u>		
Materiale	C25/30	
Altezza paramento	4.00	[m]
Altezza paramento libero	4.00	[m]
Spessore in sommità	0.70	[m]
Spessore all'attacco con la fondazione	0.70	[m]
Inclinazione paramento esterno	0.00	[°]
Inclinazione paramento interno	0.00	[°]
<u>Fondazione</u>		
Materiale	C28/35	
Lunghezza mensola di valle	0.50	[m]
Lunghezza mensola di monte	2.60	[m]
Lunghezza totale	3.80	[m]
Inclinazione piano di posa	0.00	[°]
Spessore	0.80	[m]
Spessore magrone	0.00	[m]

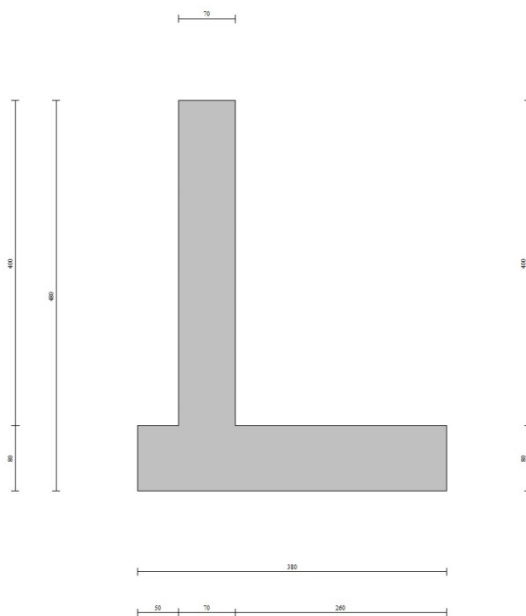


Fig. 1 - Sezione quotata del muro

Descrizione terreni

Parametri di resistenza

Simbologia adottata

n°	Indice del terreno
Descr	Descrizione terreno
γ	Peso di volume del terreno espresso in [kN/mc]
γ_s	Peso di volume saturo del terreno espresso in [kN/mc]
ϕ	Angolo d'attrito interno espresso in [°]
δ	Angolo d'attrito terra-muro espresso in [°]
c	Coesione espressa in [kPa]

n°	Descr	γ [kN/mc]	γ_{sat} [kN/mc]	ϕ [°]	δ [°]	c [kPa]
1	RILEVATO	20.0000	20.0000	35.000	23.000	0
2	FORMAZIONE B	20.0000	20.0000	38.000	25.000	0
3	FORMAZIONE A-SUP	19.0000	19.0000	28.000	18.000	5
4	FORMAZIONE A-INF	19.0000	19.0000	28.000	18.000	0

Stratigrafia

Simbologia adottata

n°	Indice dello strato
H	Spessore dello strato espresso in [m]
α	Inclinazione espressa in [°]
Terreno	Terreno dello strato

n°	H [m]	α [°]	Terreno
1	4.80	0.000	RILEVATO
2	2.00	0.000	FORMAZIONE A-SUP
3	7.00	0.000	FORMAZIONE A-INF

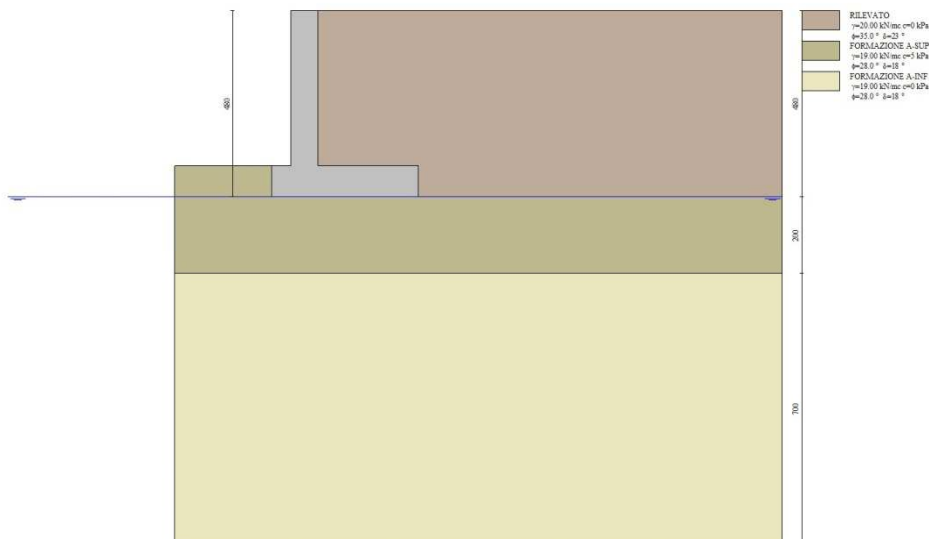


Fig. 2 - Stratigrafia

Condizioni di carico

Simbologia adottata

Carichi verticali positivi verso il basso.
Carichi orizzontali positivi verso sinistra.
Momento positivo senso antiorario.

X	Ascissa del punto di applicazione del carico concentrato espressa in [m]
F _x	Componente orizzontale del carico concentrato espressa in [kN]
F _y	Componente verticale del carico concentrato espressa in [kN]
M	Momento espresso in [kNm]
X _i	Ascissa del punto iniziale del carico ripartito espressa in [m]
X _f	Ascissa del punto finale del carico ripartito espressa in [m]
Q _i	Intensità del carico per x=X _i espressa in [kN]
Q _f	Intensità del carico per x=X _f espressa in [kN]

Condizione n° 1 (Traffico) - VARIABILE TF

Coeff. di combinazione $\Psi_0=0.75 - \Psi_1=0.75 - \Psi_2=0.25$

Carichi sul terreno

n°	Tipo	X [m]	F _x [kN]	F _y [kN]	M [kNm]	X _i [m]	X _f [m]	Q _i [kN]	Q _f [kN]
1	Distribuito					0.00	12.00	20.0000	20.0000

Condizione n° 2 (Urto-STR) - ECCEZIONALE

Carichi sul muro

n°	Tipo	Dest	X; Y [m]	F _x [kN]	F _y [kN]	M [kNm]	X _i [m]	X _f [m]	Q _i [kN]	Q _f [kN]
1	Concentrato	Paramento	-0.35; 0.00	12.5000	0.0000	12.5000				

Condizione n° 3 (Urto-GEO) - VARIABILE

Coeff. di combinazione $\Psi_0=0.00 - \Psi_1=0.00 - \Psi_2=0.00$

Carichi sul muro

n°	Tipo	Dest	X; Y [m]	F _x [kN]	F _y [kN]	M [kNm]	X _i [m]	X _f [m]	Q _i [kN]	Q _f [kN]
1	Concentrato	Paramento	-0.35; 0.00	6.9000	0.0000	6.9000				

Normativa

Normativa usata: **Norme Tecniche sulle Costruzioni 2018 (D.M. 17.01.2018) + Circolare C.S.LL.PP. 21/01/2019 n.7**

Coeff. parziali per le azioni o per l'effetto delle azioni

Carichi	Effetto		Combinazioni statiche				Combinazioni sismiche			
			HYD	UPL	EQU	A1	A2	EQU	A1	A2
Permanenti strutturali	Favorevoli	$\gamma_{G1, fav}$	1.00	0.90	1.00	1.00	1.00	1.00	1.00	1.00
Permanenti strutturali	Sfavorevoli	$\gamma_{G1, sfav}$	1.00	1.10	1.30	1.30	1.00	1.00	1.00	1.00
Permanenti non strutturali	Favorevoli	$\gamma_{G2, fav}$	0.00	0.80	0.80	0.80	0.80	0.00	0.00	0.00
Permanenti non strutturali	Sfavorevoli	$\gamma_{G2, sfav}$	1.00	1.50	1.50	1.50	1.30	1.00	1.00	1.00
Variabili	Favorevoli	$\gamma_{O, fav}$	0.00	0.00	0.00	0.00	0.00	0.00	0.00	0.00
Variabili	Sfavorevoli	$\gamma_{O, sfav}$	1.00	1.50	1.50	1.50	1.30	1.00	1.00	1.00
Variabili da traffico	Favorevoli	$\gamma_{OT, fav}$	0.00	0.00	0.00	0.00	0.00	0.00	0.00	0.00
Variabili da traffico	Sfavorevoli	$\gamma_{OT, sfav}$	1.00	1.50	1.35	1.35	1.15	1.00	1.00	1.00

Coeff. parziali per i parametri geotecnici del terreno

Parametro		Combinazioni statiche		Combinazioni sismiche	
		M1	M2	M1	M2
Tangente dell'angolo di attrito	$\gamma_{\tan(\phi')}$	1.00	1.25	1.00	1.00
Coazione efficace	γ_c	1.00	1.25	1.00	1.00
Resistenza non drenata	γ_{cu}	1.00	1.40	1.00	1.00
Peso nell'unità di volume	γ_v	1.00	1.00	1.00	1.00

Coeff. parziali γ_R per le verifiche agli stati limite ultimi STR e GEO

Verifica	Combinazioni statiche			Combinazioni sismiche		
	R1	R2	R3	R1	R2	R3
Capacità portante	--	--	1.40	--	--	1.20
Scorrimento	--	--	1.10	--	--	1.00
Resistenza terreno a valle	--	--	1.40	--	--	1.20
Ribaltamento	--	--	1.15	--	--	1.00
Stabilità fronte di scavo	--	1.10	--	--	1.20	--

Descrizione combinazioni di carico

Con riferimento alle azioni elementari prima determinate, si sono considerate le seguenti combinazioni di carico:

- Combinazione fondamentale, impiegata per gli stati limite ultimi (SLU):

$$\gamma_{G1} G_1 + \gamma_{G2} G_2 + \gamma_{Q1} Q_{k1} + \gamma_{Q2} Q_{k2} + \gamma_{Q3} Q_{k3} + \dots$$

- Combinazione caratteristica, cosiddetta rara, impiegata per gli stati limite di esercizio (SLE) irreversibili:

$$G_1 + G_2 + Q_{k1} + \Psi_{0,2} Q_{k2} + \Psi_{0,3} Q_{k3} + \dots$$

- Combinazione frequente, impiegata per gli stati limite di esercizio (SLE) reversibili:

$$G_1 + G_2 + \Psi_{1,1} Q_{k1} + \Psi_{2,2} Q_{k2} + \Psi_{2,3} Q_{k3} + \dots$$

- Combinazione quasi permanente, impiegata per gli effetti di lungo periodo:

$$G_1 + G_2 + \Psi_{2,1} Q_{k1} + \Psi_{2,2} Q_{k2} + \Psi_{2,3} Q_{k3} + \dots$$

- Combinazione sismica, impiegata per gli stati limite ultimi connessi all'azione sismica E:

$$E + G_1 + G_2 + \Psi_{2,1} Q_{k1} + \Psi_{2,2} Q_{k2} + \Psi_{2,3} Q_{k3} + \dots$$

- Combinazione eccezionale, impiegata per gli stati limite ultimi connessi alle azioni eccezionali Ad:

$$G_1 + G_2 + A_d + \Psi_{2,1} Q_{k1} + \Psi_{2,2} Q_{k2} + \Psi_{2,3} Q_{k3} + \dots$$

I valori dei coeff. $\Psi_{0,j}$, $\Psi_{1,j}$, $\Psi_{2,j}$ sono definiti nelle singole condizioni variabili. I valori dei coeff. γ_G e γ_Q , sono definiti nella tabella normativa.

In particolare si sono considerate le seguenti combinazioni:

Simbologia adottata

γ Coefficiente di partecipazione della condizione
 Ψ Coefficiente di combinazione della condizione

Combinazione n° 1 - STR (A1-M1-R3)

Condizione	γ	Ψ	Effetto
Peso muro	1.00	--	Favorevole
Peso terrapieno	1.00	--	Favorevole
Spinta terreno	1.30	--	Sfavorevole
Traffico	1.35	1.00	Sfavorevole

Combinazione n° 2 - STR (A1-M1-R3)

Condizione	γ	Ψ	Effetto
Peso muro	1.00	--	Favorevole
Peso terrapieno	1.00	--	Favorevole
Spinta terreno	1.30	--	Sfavorevole
Traffico	1.35	0.25	Sfavorevole
Urto-GEO	1.50	1.00	Sfavorevole

Combinazione n° 3 - STR (A1-M1-R3) H + V

Condizione	γ	Ψ	Effetto
Peso muro	1.00	--	Favorevole
Peso terrapieno	1.00	--	Favorevole
Spinta terreno	1.00	--	Sfavorevole
Traffico	1.00	0.25	Sfavorevole

Combinazione n° 4 - STR (A1-M1-R3) H - V

Condizione	γ	Ψ	Effetto
Peso muro	1.00	--	Sfavorevole
Peso terrapieno	1.00	--	Sfavorevole
Spinta terreno	1.00	--	Sfavorevole
Traffico	1.00	0.25	Sfavorevole

Combinazione n° 5 - STR (A1-M1-R3)

Condizione	γ	Ψ	Effetto
Peso muro	1.30	--	Sfavorevole
Peso terrapieno	1.30	--	Sfavorevole

Condizione	γ	Ψ	Effetto
Spinta terreno	1.30	--	Sfavorevole
Traffico	1.35	1.00	Sfavorevole

Combinazione n° 6 - STR (A1-M1-R3)

Condizione	γ	Ψ	Effetto
Peso muro	1.00	--	Favorevole
Peso terrapieno	1.30	--	Sfavorevole
Spinta terreno	1.30	--	Sfavorevole
Traffico	1.35	1.00	Sfavorevole

Combinazione n° 7 - STR (A1-M1-R3)

Condizione	γ	Ψ	Effetto
Peso muro	1.30	--	Sfavorevole
Peso terrapieno	1.00	--	Favorevole
Spinta terreno	1.30	--	Sfavorevole
Traffico	1.35	1.00	Sfavorevole

Combinazione n° 8 - STR (A1-M1-R3)

Condizione	γ	Ψ	Effetto
Peso muro	1.30	--	Sfavorevole
Peso terrapieno	1.30	--	Sfavorevole
Spinta terreno	1.30	--	Sfavorevole
Traffico	1.35	0.25	Sfavorevole
Urto-GEO	1.50	1.00	Sfavorevole

Combinazione n° 9 - STR (A1-M1-R3)

Condizione	γ	Ψ	Effetto
Peso muro	1.00	--	Favorevole
Peso terrapieno	1.30	--	Sfavorevole
Spinta terreno	1.30	--	Sfavorevole
Traffico	1.35	0.25	Sfavorevole
Urto-GEO	1.50	1.00	Sfavorevole

Combinazione n° 10 - STR (A1-M1-R3)

Condizione	γ	Ψ	Effetto
Peso muro	1.30	--	Sfavorevole
Peso terrapieno	1.00	--	Favorevole
Spinta terreno	1.30	--	Sfavorevole
Traffico	1.35	0.25	Sfavorevole
Urto-GEO	1.50	1.00	Sfavorevole

Combinazione n° 11 - GEO (A2-M2-R2)

Condizione	γ	Ψ	Effetto
Peso muro	1.00	--	Sfavorevole
Peso terrapieno	1.00	--	Sfavorevole
Spinta terreno	1.00	--	Sfavorevole
Traffico	1.15	1.00	Sfavorevole

Combinazione n° 12 - GEO (A2-M2-R2)

Condizione	γ	Ψ	Effetto
Peso muro	1.00	--	Sfavorevole
Peso terrapieno	1.00	--	Sfavorevole
Spinta terreno	1.00	--	Sfavorevole
Traffico	1.15	0.25	Sfavorevole
Urto-GEO	1.30	1.00	Sfavorevole

Combinazione n° 13 - GEO (A2-M2-R2) H + V

Condizione	γ	Ψ	Effetto
Peso muro	1.00	--	Sfavorevole
Peso terrapieno	1.00	--	Sfavorevole
Spinta terreno	1.00	--	Sfavorevole
Traffico	1.00	0.25	Sfavorevole

Combinazione n° 14 - GEO (A2-M2-R2) H - V

Condizione	γ	Ψ	Effetto
Peso muro	1.00	--	Sfavorevole
Peso terrapieno	1.00	--	Sfavorevole
Spinta terreno	1.00	--	Sfavorevole
Traffico	1.00	0.25	Sfavorevole

Combinazione n° 15 - EQU (A1-M1-R3)

Condizione	γ	Ψ	Effetto
Peso muro	1.00	--	Favorevole
Peso terrapieno	1.00	--	Favorevole
Spinta terreno	1.30	--	Sfavorevole
Traffico	1.35	1.00	Sfavorevole

Combinazione n° 16 - EQU (A1-M1-R3)

Condizione	γ	Ψ	Effetto
Peso muro	1.00	--	Favorevole
Peso terrapieno	1.00	--	Favorevole
Spinta terreno	1.30	--	Sfavorevole
Traffico	1.35	0.25	Sfavorevole
Urto-GEO	1.50	1.00	Sfavorevole

Combinazione n° 17 - EQU (A1-M1-R3) H + V

Condizione	γ	Ψ	Effetto
Peso muro	1.00	--	Favorevole
Peso terrapieno	1.00	--	Favorevole
Spinta terreno	1.00	--	Sfavorevole
Traffico	1.00	0.25	Sfavorevole

Combinazione n° 18 - EQU (A1-M1-R3) H - V

Condizione	γ	Ψ	Effetto
Peso muro	1.00	--	Favorevole
Peso terrapieno	1.00	--	Favorevole
Spinta terreno	1.00	--	Sfavorevole
Traffico	1.00	0.25	Sfavorevole

Combinazione n° 19 - ECC

Condizione	γ	Ψ	Effetto
Peso muro	1.00	--	Sfavorevole
Peso terrapieno	1.00	--	Sfavorevole
Spinta terreno	1.00	--	Sfavorevole
Traffico	1.00	0.25	Sfavorevole
Urto-STR	1.00	1.00	Sfavorevole

Combinazione n° 20 - SLER

Condizione	γ	Ψ	Effetto
Peso muro	1.00	--	Sfavorevole
Peso terrapieno	1.00	--	Sfavorevole
Spinta terreno	1.00	--	Sfavorevole
Traffico	1.00	1.00	Sfavorevole

Combinazione n° 21 - SLEF

Condizione	γ	Ψ	Effetto
Peso muro	1.00	--	Sfavorevole
Peso terrapieno	1.00	--	Sfavorevole
Spinta terreno	1.00	--	Sfavorevole
Traffico	1.00	0.75	Sfavorevole

Combinazione n° 22 - SLEQ

Condizione	γ	Ψ	Effetto
Peso muro	1.00	--	Sfavorevole
Peso terrapieno	1.00	--	Sfavorevole
Spinta terreno	1.00	--	Sfavorevole
Traffico	1.00	0.25	Sfavorevole

Dati sismici

Vita nominale	50 anni
Classe d'uso	IV
Tipo costruzione	Normali affollamenti
Vita di riferimento	100 anni

	Simbolo	U.M.	SLU
Accelerazione al suolo	a_g	[m/s ²]	2.120
Accelerazione al suolo	a_g/g	[%]	0.216
Massimo fattore amplificazione spettro orizzontale	F0		2.421
Periodo inizio tratto spettro a velocità costante	Tc*		0.315
Tipo di sottosuolo - Coefficiente stratigrafico	Ss	C	1.386
Categoria topografica - Coefficiente amplificazione topografica	St	T1	1.000

Stato limite ...	Coeff. di riduzione β_m	kh	kv
Ultimo	0.380	11.382	5.691
Ultimo - Ribaltamento	0.570	17.073	8.536
Esercizio	0.470	6.139	3.070

Forma diagramma incremento sismico **Rettangolare**

Opzioni di calcolo

Spinta

Metodo di calcolo della spinta	Culmann
Tipo di spinta	Spinta attiva
Terreno a bassa permeabilità	NO
Superficie di spinta limitata	NO

Capacità portante

Metodo di calcolo della portanza	Hansen
Criterio di media calcolo del terreno equivalente (terreni stratificati)	Ponderata
Criterio di riduzione per eccentricità della portanza	Meyerhof
Criterio di riduzione per rottura locale (punzonamento)	Nessuna
Larghezza fondazione nel terzo termine della formula del carico limite ($0.5B\gamma N_{\gamma}$)	Larghezza ridotta (B')
Fattori di forma e inclinazione del carico	Fattori di inclinazione e fattori di forma

Stabilità globale

Metodo di calcolo della stabilità globale	Bishop
---	--------

Altro

Partecipazione spinta passiva terreno antistante	0.00
--	------

Condizioni ambientali	Aggressive
Armatura ad aderenza migliorata	SI

Verifica a fessurazione

Sensibilità armatura	Poco sensibile
Metodo di calcolo aperture delle fessure	NTC 2018 - CIRCOLARE 21 gennaio 2019, n. 7 C.S.LL.PP.

Valori limite aperture delle fessure:

$$w_1=0.20$$

$$w_2=0.30$$

$$w_3=0.40$$

Verifica delle tensioni

Valori limite delle tensioni nei materiali:

Combinazione	Calcestruzzo	Acciaio
Rara	$0.60 f_{ck}$	$0.80 f_{yk}$
Frequente	$1.00 f_{ck}$	$1.00 f_{yk}$
Quasi permanente	$0.45 f_{ck}$	$1.00 f_{yk}$

Risultati per involucro

Spinta e forze

Simbologia adottata

Ic	Indice della combinazione
A	Tipo azione
I	Inclinazione della spinta, espressa in [°]
V	Valore dell'azione, espressa in [kN]
C _x , C _y	Componente in direzione X ed Y dell'azione, espressa in [kN]
P _x , P _y	Coordinata X ed Y del punto di applicazione dell'azione, espressa in [m]

Ic	A	V [kN]	I [°]	C _x [kN]	C _y [kN]	P _x [m]	P _y [m]
1	Spinta statica	104.89	23.00	96.55	40.98	2.60	-2.96
	Peso/Inerzia muro			0.00	143.18/0.00	0.20	-3.25
	Peso/Inerzia terrapieno			0.00	278.20/0.00	1.30	-2.00
	Peso dell'acqua sulla fondazione di valle				0.00	0.00	0.00

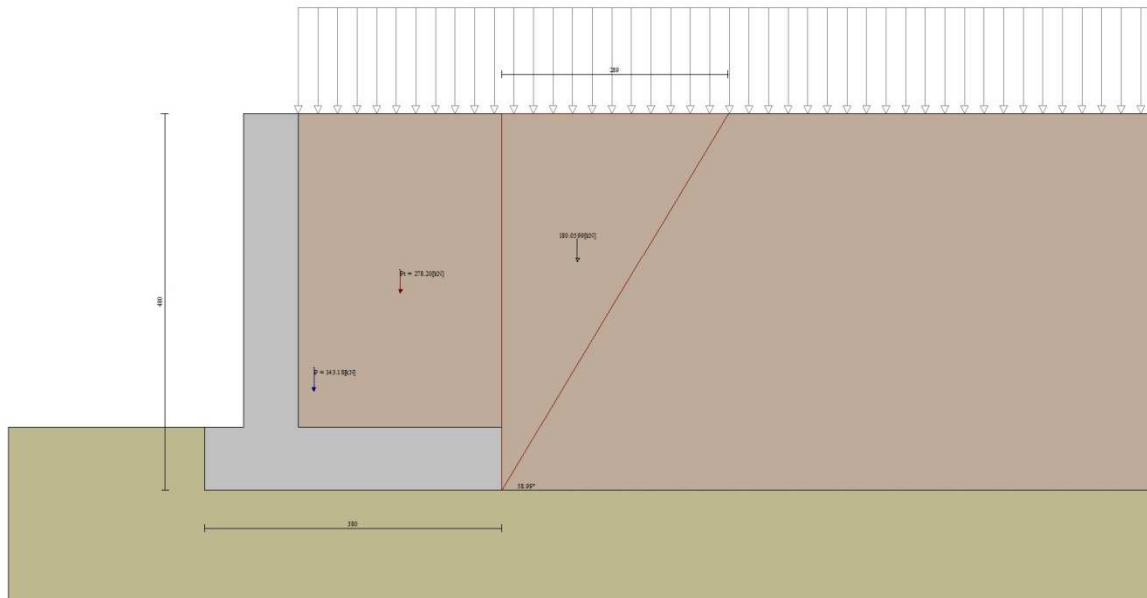


Fig. 3 - Cuneo di spinta (combinazione statica) (Combinazione n° 1)

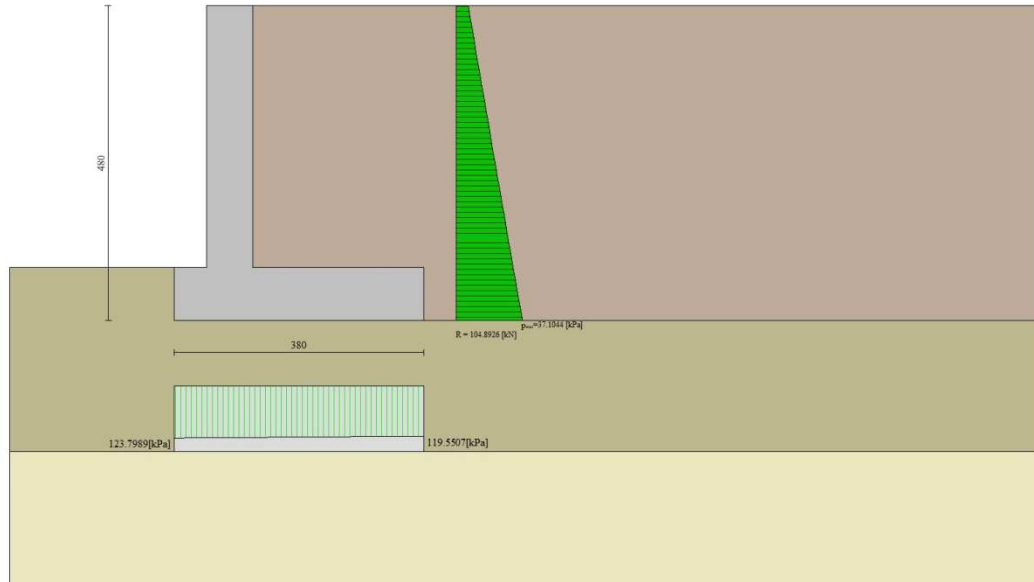


Fig. 4 - Diagramma delle pressioni (combinazione statica) (Combinazione n° 1)

Risultanti globali

Simbologia adottata

Cmb	Indice/Tipo combinazione
N	Componente normale al piano di posa, espressa in [kN]
T	Componente parallela al piano di posa, espressa in [kN]
M _r	Momento ribaltante, espresso in [kNm]
M _s	Momento stabilizzante, espresso in [kNm]
ecc	Eccentricità risultante, espressa in [m]

Ic	N [kN]	T [kN]	M _r [kNm]	M _s [kNm]	ecc [m]
1 - STR (A1-M1-R3)	462.36	96.55	177.82	1051.20	0.011
2 - STR (A1-M1-R3)	400.43	85.03	185.37	884.30	0.155
3 - STR (A1-M1-R3)	417.61	118.51	239.17	919.58	0.271
4 - STR (A1-M1-R3)	373.51	112.25	266.98	866.67	0.294
5 - STR (A1-M1-R3)	567.72	96.55	177.82	1267.19	-0.019
6 - STR (A1-M1-R3)	524.76	96.55	177.82	1207.20	-0.062
7 - STR (A1-M1-R3)	505.32	96.55	177.82	1111.19	0.053
8 - STR (A1-M1-R3)	505.78	85.03	185.37	1100.29	0.091
9 - STR (A1-M1-R3)	462.83	85.03	185.37	1040.30	0.053
10 - STR (A1-M1-R3)	443.38	85.03	185.37	944.29	0.188
11 - GEO (A2-M2-R2)	444.57	98.92	183.92	997.11	0.071
12 - GEO (A2-M2-R2)	391.56	83.86	178.26	853.97	0.174
13 - GEO (A2-M2-R2)	417.61	118.51	239.17	919.58	0.271
14 - GEO (A2-M2-R2)	373.51	112.25	266.98	866.67	0.294
15 - EQU (A1-M1-R3)	462.36	96.55	177.82	1051.20	0.011
16 - EQU (A1-M1-R3)	400.43	85.03	185.37	884.30	0.155
17 - EQU (A1-M1-R3)	432.84	150.69	314.53	959.47	0.410
18 - EQU (A1-M1-R3)	366.94	141.93	357.72	881.10	0.474
19 - ECC	388.48	69.74	168.41	844.79	0.159
20 - SLER	434.35	73.44	134.79	968.42	-0.019
21 - SLEF	419.06	68.04	121.83	927.21	-0.022
22 - SLEQ	388.48	57.24	95.91	844.79	-0.028

Verifiche geotecniche

Quadro riassuntivo coeff. di sicurezza calcolati

Simbologia adottata

Cmb	Indice/Tipo combinazione
S	Sisma (H: componente orizzontale, V: componente verticale)
FS _{SCO}	Coeff. di sicurezza allo scorrimento
FS _{RIB}	Coeff. di sicurezza al ribaltamento
FS _{OLIM}	Coeff. di sicurezza a carico limite
FS _{STAB}	Coeff. di sicurezza a stabilità globale

Cmb	Sismica	FS _{SCO}	FS _{RIB}	FS _{OLIM}	FS _{STAB}
1 - STR (A1-M1-R3)		1.556		2.073	
2 - STR (A1-M1-R3)		1.530		1.997	
3 - STR (A1-M1-R3)	H + V	1.145		1.386	
4 - STR (A1-M1-R3)	H - V	1.081		1.440	
5 - STR (A1-M1-R3)		1.910		1.879	
6 - STR (A1-M1-R3)		1.766		1.826	
7 - STR (A1-M1-R3)		1.700		1.873	
8 - STR (A1-M1-R3)		1.933		1.930	
9 - STR (A1-M1-R3)		1.768		2.094	
10 - STR (A1-M1-R3)		1.694		1.877	
11 - GEO (A2-M2-R2)					1.435
12 - GEO (A2-M2-R2)					1.583
13 - GEO (A2-M2-R2)	H + V				1.596
14 - GEO (A2-M2-R2)	H - V				1.545
15 - EQU (A1-M1-R3)			5.912		
16 - EQU (A1-M1-R3)			4.771		
17 - EQU (A1-M1-R3)	H + V		3.050		
18 - EQU (A1-M1-R3)	H - V		2.463		

Verifica a scorrimento fondazione

Simbologia adottata

n°	Indice combinazione
Rsa	Resistenza allo scorrimento per attrito, espresso in [kN]
Rpt	Resistenza passiva terreno antistante, espresso in [kN]
Rps	Resistenza passiva sperone, espresso in [kN]
Rp	Resistenza a carichi orizzontali pali (solo per fondazione mista), espresso in [kN]
Rt	Resistenza a carichi orizzontali tiranti (solo se presenti), espresso in [kN]
R	Resistenza allo scorrimento (somma di Rsa+Rpt+Rps+Rp), espresso in [kN]
T	Carico parallelo al piano di posa, espresso in [kN]
FS	Fattore di sicurezza (rapporto R/T)

n°	Rsa [kN]	Rpt [kN]	Rps [kN]	Rp [kN]	Rt [kN]	R [kN]	T [kN]	FS
4 - STR (A1-M1-R3) H - V	121.36	0.00	0.00	--	--	121.36	112.25	1.081

Verifica a carico limite

Simbologia adottata

n°	Indice combinazione
N	Carico normale totale al piano di posa, espresso in [kN]
Qu	carico limite del terreno, espresso in [kN]
Qd	Portanza di progetto, espresso in [kN]
FS	Fattore di sicurezza (rapporto tra il carico limite e carico agente al piano di posa)

n°	N [kN]	Qu [kN]	Qd [kN]	FS
3 - STR (A1-M1-R3) H + V	417.61	578.63	482.19	1.386

Dettagli calcolo portanza

Simbologia adottata

n°	Indice combinazione
Nc, Nq, Ny	Fattori di capacità portante
ic, iq, iy	Fattori di inclinazione del carico
dc, dq, dy	Fattori di profondità del piano di posa
gc, gq, gy	Fattori di inclinazione del profilo topografico
bc, bq, by	Fattori di inclinazione del piano di posa
sc, sq, sy	Fattori di forma della fondazione
pc, pq, py	Fattori di riduzione per punzonamento secondo Vesic
Re	Fattore di riduzione capacità portante per eccentricità secondo Meyerhof
Ir, Irc	Indici di rigidezza per punzonamento secondo Vesic
ry	Fattori per tener conto dell'effetto piastra. Per fondazioni che hanno larghezza maggiore di 2 m, il terzo termine della formula trinomia $0.5B\gamma N_c$ viene moltiplicato per questo fattore
D	Affondamento del piano di posa, espresso in [m]
B'	Larghezza fondazione ridotta, espresso in [m]

H Altezza del cono di rottura, espresso in [m]
 γ Peso di volume del terreno medio, espresso in [kN/mc]
 ϕ Angolo di attrito del terreno medio, espresso in [°]
 c Coesione del terreno medio, espresso in [kPa]

Per i coeff. che in tabella sono indicati con il simbolo '--' sono coeff. non presenti nel metodo scelto (Hansen).

n°	Nc Nq Ny	ic iq iy	dc dq dy	gc gq gy	bc bq by	sc sq sy	pc pq py	Ir	Irc	Re	ry
3	25.803 14.720 10.942	0.426 0.465 0.330	1.084 1.063 1.000	1.000 1.000 1.000	1.000 1.000 1.000	1.006 1.005 0.996	-- -- --	--	--	0.733	0.930

n°	D [m]	B' [m]	H [m]	γ [°]	ϕ [kN/mc]	c [kPa]
3	0.80	3.80	3.16	9.19	28.00	3

Verifica a ribaltamento

Simbologia adottata

n° Indice combinazione
 Ms Momento stabilizzante, espresso in [kNm]
 Mr Momento ribaltante, espresso in [kNm]
 FS Fattore di sicurezza (rapporto tra momento stabilizzante e momento ribaltante)
 La verifica viene eseguita rispetto allo spigolo inferiore esterno della fondazione

n°	Ms [kNm]	Mr [kNm]	FS
18 - EQU (A1-M1-R3) H - V	881.10	357.72	2.463

Verifica stabilità globale muro + terreno

Simbologia adottata

Ic Indice/Tipo combinazione
 C Centro superficie di scorrimento, espresso in [m]
 R Raggio, espresso in [m]
 FS Fattore di sicurezza

Ic	C [m]	R [m]	FS
11 - GEO (A2-M2-R2)	-2.00; 2.00	8.22	1.435

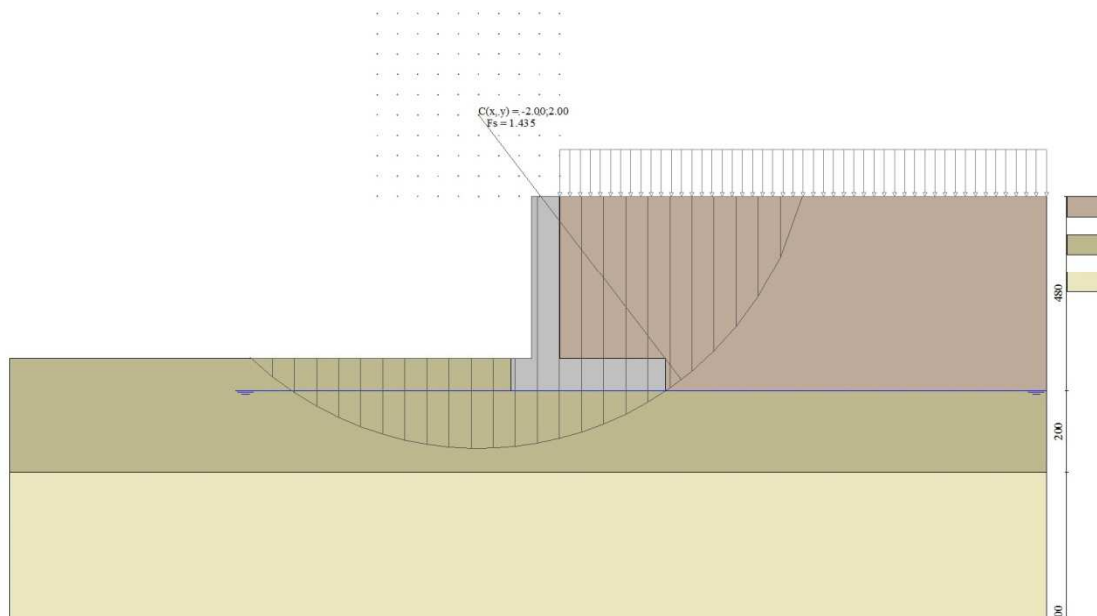


Fig. 5 - Stabilità fronte di scavo - Cerchio critico (Combinazione n° 11)

Sollecitazioni

Elementi calcolati a trave

Simbologia adottata

N Sforzo normale, espresso in [kN]. Positivo se di compressione.
T Taglio, espresso in [kN]. Positivo se diretto da monte verso valle
M Momento, espresso in [kNm]. Positivo se tende le fibre contro terra (a monte)

Paramento

n°	X [m]	N _{min} [kN]	N _{max} [kN]	T _{min} [kN]	T _{max} [kN]	M _{min} [kNm]	M _{max} [kNm]
1	0.00	0.00	0.00	0.00	12.50	0.00	12.50
2	-0.10	1.72	2.23	0.14	12.64	0.01	13.76
3	-0.20	3.43	4.46	0.32	12.82	0.03	15.03
4	-0.30	5.15	6.69	0.54	13.04	0.07	16.32
5	-0.40	6.86	8.92	0.81	13.31	0.14	17.64
6	-0.50	8.58	11.16	1.13	13.63	0.24	18.99
7	-0.60	10.30	13.39	1.49	13.99	0.37	20.37
8	-0.70	12.01	15.62	1.89	14.39	0.53	21.78
9	-0.80	13.73	17.85	2.34	14.84	0.75	23.25
10	-0.90	15.45	20.08	2.84	15.34	1.00	24.75
11	-1.00	17.16	22.31	3.38	15.88	1.31	26.31
12	-1.10	18.88	24.54	3.96	16.46	1.68	27.93
13	-1.20	20.59	26.77	4.59	17.09	2.11	29.61
14	-1.30	22.31	29.00	5.27	17.77	2.60	31.35
15	-1.40	24.03	31.23	5.99	18.49	3.16	33.16
16	-1.50	25.74	33.47	6.75	19.25	3.80	35.05
17	-1.60	27.46	35.70	7.56	20.07	4.52	37.02
18	-1.70	29.18	37.93	8.42	21.39	5.31	39.06
19	-1.80	30.89	40.16	9.32	22.56	6.20	41.20
20	-1.90	32.61	42.39	10.26	23.80	7.18	43.43
21	-2.00	34.32	44.62	11.25	25.09	8.25	45.75
22	-2.10	36.04	46.85	12.29	26.44	9.43	48.18
23	-2.20	37.76	49.08	13.37	27.85	10.71	50.71
24	-2.30	39.47	51.31	14.49	29.45	12.11	53.36
25	-2.40	41.19	53.55	15.66	31.43	13.61	56.11
26	-2.50	42.90	55.78	16.88	33.47	15.24	58.99
27	-2.60	44.62	58.01	18.14	35.57	16.99	61.99
28	-2.70	46.34	60.24	19.44	37.73	18.87	65.12
29	-2.80	48.05	62.47	20.79	39.94	20.88	68.38
30	-2.90	49.77	64.70	22.19	42.22	23.03	71.78
31	-3.00	51.49	66.93	23.63	44.55	25.32	75.32
32	-3.10	53.20	69.16	25.11	46.94	27.76	79.01
33	-3.20	54.92	71.39	26.64	49.39	30.34	83.20
34	-3.30	56.63	73.62	28.22	51.90	33.09	87.82
35	-3.40	58.35	75.86	29.84	54.47	35.99	92.65
36	-3.50	60.07	78.09	31.50	57.10	39.05	97.69
37	-3.60	61.78	80.32	33.21	59.78	42.29	102.95
38	-3.70	63.50	82.55	34.97	62.52	45.70	108.44
39	-3.80	65.22	84.78	36.77	65.32	49.28	114.16
40	-3.90	66.93	87.01	38.61	68.18	53.05	120.11
41	-4.00	68.65	89.24	40.50	71.10	57.01	126.31

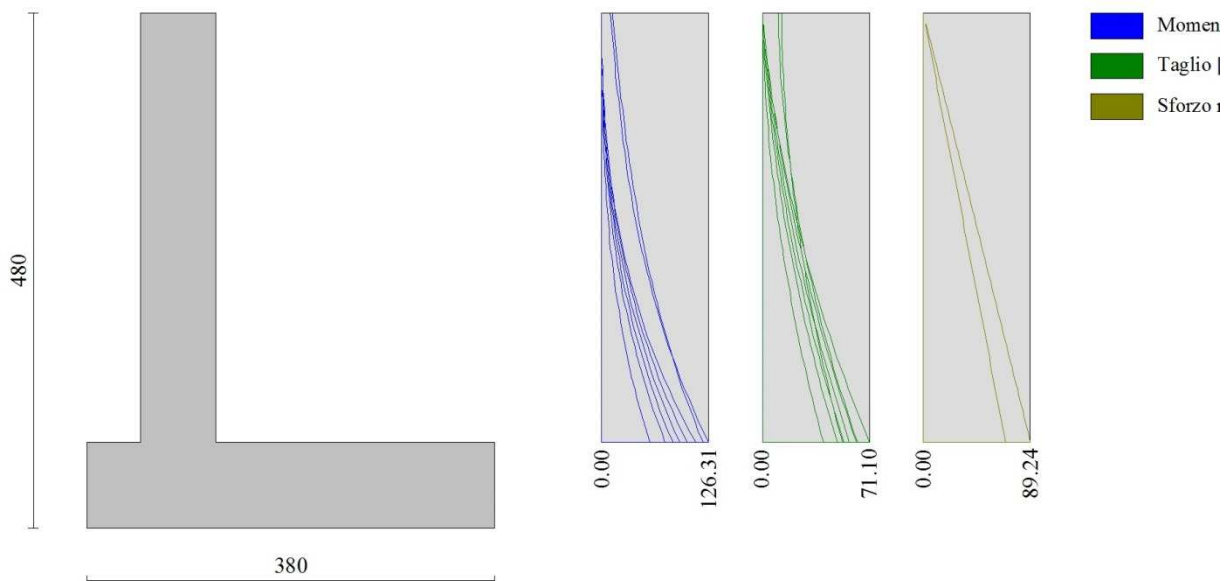


Fig. 6 - Paramento

Fondazione

n°	X [m]	N _{min} [kN]	N _{max} [kN]	T _{min} [kN]	T _{max} [kN]	M _{min} [kNm]	M _{max} [kNm]
1	-1.20	0.00	0.00	0.00	0.00	0.00	0.00
2	-1.10	0.00	0.00	7.83	13.60	0.39	0.68
3	-1.00	0.00	0.00	15.68	26.96	1.57	2.71
4	-0.90	0.00	0.00	23.55	40.07	3.53	6.07
5	-0.80	0.00	0.00	31.44	52.93	6.28	10.72
6	-0.70	0.00	0.00	39.37	65.54	9.82	16.64
7	0.00	0.00	0.00	-86.08	-2.52	-131.72	0.17
8	0.10	0.00	0.00	-84.46	-2.13	-123.19	0.41
9	0.20	0.00	0.00	-82.70	-1.76	-114.84	0.60
10	0.30	0.00	0.00	-80.81	-1.42	-106.66	0.76
11	0.40	0.00	0.00	-78.79	-1.10	-98.91	0.88
12	0.50	0.00	0.00	-76.63	-0.80	-91.47	0.98
13	0.60	0.00	0.00	-74.33	-0.53	-84.18	1.05
14	0.70	0.00	0.00	-71.90	-0.28	-77.07	1.09
15	0.80	0.00	0.00	-69.34	-0.05	-70.16	1.10
16	0.90	0.00	0.00	-66.63	0.15	-63.46	1.10
17	1.00	0.00	0.00	-63.80	0.33	-56.99	1.07
18	1.10	0.00	0.00	-60.85	0.49	-50.78	1.03
19	1.20	0.00	0.00	-58.07	0.62	-44.83	0.97
20	1.30	0.00	0.00	-55.11	0.73	-39.17	0.91
21	1.40	0.00	0.00	-51.97	0.82	-33.81	0.83
22	1.50	0.00	0.00	-48.64	0.88	-28.78	0.74
23	1.60	0.00	0.00	-45.13	0.92	-24.09	0.65
24	1.70	0.00	0.00	-41.44	0.93	-19.76	0.56
25	1.80	0.00	0.00	-37.57	0.92	-15.81	0.47
26	1.90	0.00	0.00	-33.51	0.89	-12.25	0.38
27	2.00	0.00	0.00	-29.27	0.83	-9.11	0.29
28	2.10	0.00	0.00	-24.85	0.75	-6.40	0.21
29	2.20	0.00	0.00	-20.25	0.65	-4.15	0.14
30	2.30	0.00	0.00	-15.46	0.52	-2.36	0.08
31	2.40	0.00	0.00	-10.49	0.37	-1.06	0.04
32	2.50	0.00	0.00	-5.34	0.20	-0.27	0.01
33	2.60	0.00	0.00	0.00	0.00	0.00	0.00

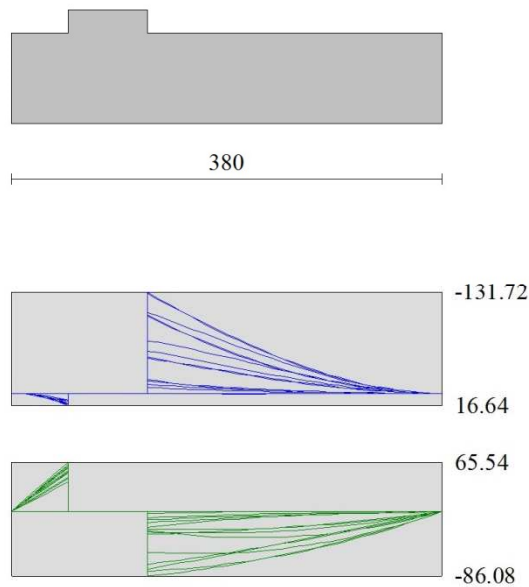


Fig. 7 - Fondazione

Verifiche strutturali

Verifiche a flessione

Elementi calcolati a trave

Simbologia adottata

n°	indice sezione
Y	ordinata sezione espressa in [m]
B	larghezza sezione espressa in [cm]
H	altezza sezione espressa in [cm]
Afi	area ferri inferiori espressa in [cmq]
Afs	area ferri superiori espressa in [cmq]
M	momento agente espressa in [kNm]
N	sforz normale agente espressa in [kN]
Mu	momento ultimi espresso in [kNm]
Nu	sforz normale ultimo espressa in [kN]
FS	fattore di sicurezza (rapporto tra sollecitazione ultima e sollecitazione agente)

Paramento

n°	B [cm]	H [cm]	Afi [cmq]	Afs [cmq]	M [kNm]	N [kN]	Mu [kNm]	Nu [kN]	FS
1	100	70	5.65	10.05	12.50	0.00	275.04	0.00	22.003
2	100	70	5.65	10.05	13.76	1.72	285.83	35.66	20.778
3	100	70	5.65	10.05	15.03	3.43	295.45	67.48	19.659
4	100	70	5.65	10.05	16.32	5.15	304.05	95.92	18.630
5	100	70	5.65	10.05	17.64	6.86	311.74	121.33	17.674
6	100	70	5.65	10.05	18.99	8.58	318.60	144.00	16.782
7	100	70	5.65	10.05	20.37	10.30	324.70	164.18	15.944
8	100	70	5.65	10.05	21.78	12.01	330.11	182.05	15.154
9	100	70	5.65	10.05	23.25	13.73	334.87	197.79	14.406
10	100	70	5.65	10.05	24.75	15.45	339.03	211.55	13.696
11	100	70	5.65	10.05	26.31	17.16	342.64	223.47	13.021
12	100	70	5.65	10.05	27.93	18.88	345.73	233.67	12.378
13	100	70	5.65	10.05	29.61	20.59	348.33	242.29	11.765
14	100	70	5.65	10.05	31.35	22.31	350.49	249.42	11.180
15	100	70	5.65	10.05	33.16	24.03	352.24	255.20	10.621
16	100	70	5.65	10.05	35.05	25.74	353.60	259.71	10.089
17	100	70	5.65	10.05	37.02	27.46	354.62	263.07	9.580
18	100	70	5.65	10.05	34.93	29.18	316.35	264.20	9.056
19	100	70	5.65	10.05	37.13	30.89	315.95	262.86	8.509
20	100	70	5.65	10.05	39.45	32.61	315.28	260.60	7.992
21	100	70	5.65	10.05	41.89	34.32	314.37	257.57	7.504
22	100	70	5.65	10.05	44.47	36.04	313.27	253.89	7.045
23	100	70	5.65	10.05	47.18	37.76	312.01	249.67	6.613
24	100	70	5.65	10.05	50.04	39.47	310.61	245.01	6.207
25	100	70	5.65	10.05	53.05	41.19	309.12	240.01	5.827
26	100	70	5.65	10.05	56.21	42.90	307.54	234.74	5.471
27	100	70	5.65	10.05	59.54	44.62	305.91	229.27	5.138
28	100	70	5.65	10.05	63.03	46.34	304.23	223.66	4.827
29	100	70	5.65	10.05	66.69	48.05	302.53	217.97	4.536
30	100	70	5.65	10.05	70.54	49.77	300.82	212.25	4.265
31	100	70	5.65	10.05	74.57	51.49	299.10	206.52	4.011
32	100	70	5.65	10.05	78.79	53.20	297.40	200.82	3.775
33	100	70	5.65	10.05	83.20	54.92	295.71	195.18	3.554
34	100	70	5.65	10.05	87.82	56.63	294.05	189.63	3.348
35	100	70	5.65	10.05	92.65	58.35	292.42	184.17	3.156
36	100	70	5.65	10.05	97.69	60.07	290.82	178.82	2.977
37	100	70	5.65	10.05	102.95	61.78	289.25	173.59	2.810
38	100	70	5.65	10.05	108.44	63.50	287.73	168.49	2.653
39	100	70	5.65	10.05	114.16	65.22	286.25	163.53	2.508
40	100	70	5.65	10.05	120.11	66.93	284.80	158.71	2.371
41	100	70	5.65	10.05	126.31	68.65	283.40	154.03	2.244

Fondazione

n°	B [cm]	H [cm]	Afi [cmq]	Afs [cmq]	M [kNm]	N [kN]	Mu [kNm]	Nu [kN]	FS
1	100	80	7.70	10.05	0.00	0.00	0.00	0.00	100000.000
2	100	80	7.70	10.05	0.68	0.00	214.84	0.00	314.925
3	100	80	7.70	10.05	2.71	0.00	214.84	0.00	79.210
4	100	80	7.70	10.05	6.07	0.00	214.84	0.00	35.420
5	100	80	7.70	10.05	10.72	0.00	214.84	0.00	20.046
6	100	80	7.70	10.05	16.64	0.00	214.84	0.00	12.909
7	100	80	7.70	10.05	-131.72	0.00	-277.14	0.00	2.104
8	100	80	7.70	10.05	-123.19	0.00	-277.14	0.00	2.250
9	100	80	7.70	10.05	-114.84	0.00	-277.14	0.00	2.413
10	100	80	7.70	10.05	-106.66	0.00	-277.14	0.00	2.598
11	100	80	7.70	10.05	-98.91	0.00	-277.14	0.00	2.802
12	100	80	7.70	10.05	-91.47	0.00	-277.14	0.00	3.030
13	100	80	7.70	10.05	-84.18	0.00	-277.14	0.00	3.292
14	100	80	7.70	10.05	-77.07	0.00	-277.14	0.00	3.596

n°	B [cm]	H [cm]	Afi [cmq]	Afs [cmq]	M [kNm]	N [kN]	Mu [kNm]	Nu [kN]	FS
15	100	80	7.70	10.05	-70.16	0.00	-277.14	0.00	3.950
16	100	80	7.70	10.05	-63.46	0.00	-277.14	0.00	4.367
17	100	80	7.70	10.05	-56.99	0.00	-277.14	0.00	4.863
18	100	80	7.70	10.05	-50.78	0.00	-277.14	0.00	5.458
19	100	80	7.70	10.05	-44.83	0.00	-277.14	0.00	6.182
20	100	80	7.70	10.05	-39.17	0.00	-277.14	0.00	7.076
21	100	80	7.70	10.05	-33.81	0.00	-277.14	0.00	8.197
22	100	80	7.70	10.05	-28.78	0.00	-277.14	0.00	9.630
23	100	80	7.70	10.05	-24.09	0.00	-277.14	0.00	11.505
24	100	80	7.70	10.05	-19.76	0.00	-277.14	0.00	14.026
25	100	80	7.70	10.05	-15.81	0.00	-277.14	0.00	17.533
26	100	80	7.70	10.05	-12.25	0.00	-277.14	0.00	22.622
27	100	80	7.70	10.05	-9.11	0.00	-277.14	0.00	30.421
28	100	80	7.70	10.05	-6.40	0.00	-277.14	0.00	43.285
29	100	80	7.70	10.05	-4.15	0.00	-277.14	0.00	66.839
30	100	80	7.70	10.05	-2.36	0.00	-277.14	0.00	117.445
31	100	80	7.70	10.05	-1.06	0.00	-277.14	0.00	261.219
32	100	80	7.70	10.05	-0.27	0.00	-277.14	0.00	1033.020
33	100	80	7.70	10.05	0.00	0.00	0.00	0.00	100000.000

Verifiche a taglio

Simbologia adottata

Is	indice sezione
Y	ordinata sezione espressa in [m]
B	larghezza sezione espresso in [cm]
H	altezza sezione espressa in [cm]
A _{sw}	area ferri a taglio espresso in [cmq]
cotgθ	inclinazione delle bielle compresse, θ inclinazione dei puntoni di calcestruzzo
V _{Rcd}	resistenza di progetto a 'taglio compressione' espressa in [kN]
V _{Rsd}	resistenza di progetto a 'taglio trazione' espressa in [kN]
V _{Rd}	resistenza di progetto a taglio espresso in [kN]. Per elementi con armature trasversali resistenti al taglio (A _{sw} >0.0) V _{Rd} =min(V _{Rcd} , V _{Rsd}).
T	taglio agente espressa in [kN]
FS	fattore di sicurezza (rapporto tra sollecitazione resistente e sollecitazione agente)

Paramento

n°	B [cm]	H [cm]	A _{sw} [cmq]	cotθ	V _{Rcd} [kN]	V _{Rsd} [kN]	V _{Rd} [kN]	T [kN]	FS
1	100	70	0.00	--	0.00	0.00	218.80	12.50	17.504
2	100	70	0.00	--	0.00	0.00	219.03	12.64	17.335
3	100	70	0.00	--	0.00	0.00	219.27	12.82	17.109
4	100	70	0.00	--	0.00	0.00	219.50	13.04	16.830
5	100	70	0.00	--	0.00	0.00	219.73	13.31	16.506
6	100	70	0.00	--	0.00	0.00	219.96	13.63	16.141
7	100	70	0.00	--	0.00	0.00	220.19	13.99	15.742
8	100	70	0.00	--	0.00	0.00	220.43	14.39	15.316
9	100	70	0.00	--	0.00	0.00	220.66	14.84	14.867
10	100	70	0.00	--	0.00	0.00	220.89	15.34	14.402
11	100	70	0.00	--	0.00	0.00	221.12	15.88	13.927
12	100	70	0.00	--	0.00	0.00	221.35	16.46	13.446
13	100	70	0.00	--	0.00	0.00	221.58	17.09	12.964
14	100	70	0.00	--	0.00	0.00	221.82	17.77	12.485
15	100	70	0.00	--	0.00	0.00	222.05	18.49	12.011
16	100	70	0.00	--	0.00	0.00	222.28	19.25	11.546
17	100	70	0.00	--	0.00	0.00	222.51	20.27	10.977
18	100	70	0.00	--	0.00	0.00	222.74	21.39	10.414
19	100	70	0.00	--	0.00	0.00	222.97	22.56	9.882
20	100	70	0.00	--	0.00	0.00	223.21	23.80	9.379
21	100	70	0.00	--	0.00	0.00	223.44	25.09	8.905
22	100	70	0.00	--	0.00	0.00	223.67	26.44	8.459
23	100	70	0.00	--	0.00	0.00	223.90	27.85	8.039
24	100	70	0.00	--	0.00	0.00	224.13	29.45	7.611
25	100	70	0.00	--	0.00	0.00	224.36	31.43	7.138
26	100	70	0.00	--	0.00	0.00	224.60	33.47	6.710
27	100	70	0.00	--	0.00	0.00	224.83	35.57	6.321
28	100	70	0.00	--	0.00	0.00	225.06	37.73	5.965
29	100	70	0.00	--	0.00	0.00	225.29	39.94	5.640
30	100	70	0.00	--	0.00	0.00	225.52	42.22	5.342
31	100	70	0.00	--	0.00	0.00	225.75	44.55	5.067
32	100	70	0.00	--	0.00	0.00	225.99	46.94	4.814
33	100	70	0.00	--	0.00	0.00	226.22	49.39	4.580
34	100	70	0.00	--	0.00	0.00	226.45	51.90	4.363
35	100	70	0.00	--	0.00	0.00	226.68	54.47	4.162
36	100	70	0.00	--	0.00	0.00	226.91	57.10	3.974
37	100	70	0.00	--	0.00	0.00	227.14	59.78	3.800
38	100	70	0.00	--	0.00	0.00	227.38	62.52	3.637
39	100	70	0.00	--	0.00	0.00	227.61	65.32	3.484
40	100	70	0.00	--	0.00	0.00	227.84	68.18	3.342
41	100	70	0.00	--	0.00	0.00	228.07	71.10	3.208

Fondazione

n°	B [cm]	H [cm]	A _{sw} [cmq]	cotθ	V _{Rcd} [kN]	V _{Rsd} [kN]	V _{Rd} [kN]	T [kN]	FS
1	100	80	0.00	--	0.00	0.00	261.66	0.00	100.000
2	100	80	0.00	--	0.00	0.00	261.66	-13.60	19.236
3	100	80	0.00	--	0.00	0.00	261.66	-26.96	9.706
4	100	80	0.00	--	0.00	0.00	261.66	-40.07	6.531
5	100	80	0.00	--	0.00	0.00	261.66	-52.93	4.944
6	100	80	0.00	--	0.00	0.00	261.66	-65.54	3.992
7	100	80	0.00	--	0.00	0.00	261.66	-86.08	3.040
8	100	80	0.00	--	0.00	0.00	261.66	-84.46	3.098
9	100	80	0.00	--	0.00	0.00	261.66	-82.70	3.164
10	100	80	0.00	--	0.00	0.00	261.66	-80.81	3.238
11	100	80	0.00	--	0.00	0.00	261.66	-78.79	3.321
12	100	80	0.00	--	0.00	0.00	261.66	-76.63	3.415
13	100	80	0.00	--	0.00	0.00	261.66	-74.33	3.520
14	100	80	0.00	--	0.00	0.00	261.66	-71.90	3.639
15	100	80	0.00	--	0.00	0.00	261.66	-69.34	3.774
16	100	80	0.00	--	0.00	0.00	261.66	-66.63	3.927
17	100	80	0.00	--	0.00	0.00	261.66	-63.80	4.101
18	100	80	0.00	--	0.00	0.00	261.66	-60.85	4.300
19	100	80	0.00	--	0.00	0.00	261.66	-58.07	4.506
20	100	80	0.00	--	0.00	0.00	261.66	-55.11	4.748
21	100	80	0.00	--	0.00	0.00	261.66	-51.97	5.035
22	100	80	0.00	--	0.00	0.00	261.66	-48.64	5.379
23	100	80	0.00	--	0.00	0.00	261.66	-45.13	5.797
24	100	80	0.00	--	0.00	0.00	261.66	-41.44	6.314
25	100	80	0.00	--	0.00	0.00	261.66	-37.57	6.965
26	100	80	0.00	--	0.00	0.00	261.66	-33.51	7.808
27	100	80	0.00	--	0.00	0.00	261.66	-29.27	8.939
28	100	80	0.00	--	0.00	0.00	261.66	-24.85	10.529
29	100	80	0.00	--	0.00	0.00	261.66	-20.25	12.924
30	100	80	0.00	--	0.00	0.00	261.66	-15.46	16.927
31	100	80	0.00	--	0.00	0.00	261.66	-10.49	24.949
32	100	80	0.00	--	0.00	0.00	261.66	-5.34	49.043
33	100	80	0.00	--	0.00	0.00	261.66	0.00	100.000

Verifica a fessurazione

Simbologia adottata

n°	indice sezione
Y	ordinata sezione espressa in [m]
B	larghezza sezione espresso in [cm]
H	altezza sezione espressa in [cm]
A _f	area ferri zona tesa espresso in [cmq]
A _{eff}	area efficace espressa in [cmq]
M	momento agente espressa in [kNm]
M _{pf}	momento di prima fessurazione espressa in [kNm]
ε	deformazione espresso in %
S _m	spaziatura tra le fessure espressa in [mm]
w	apertura delle fessure espressa in [mm]

Combinazioni SLER

Paramento

Apertura limite fessure w_{lim}=0.40

n°	B [cm]	H [cm]	A _f [cmq]	A _{eff} [cmq]	M [kNm]	M _{pf} [kNm]	ε [%]	S _m [mm]	w [mm]
1	100	70	0.00	0.00	0.00	0.00	---	---	0.000 (20)
2	100	70	10.05	1950.00	0.02	223.45	0.000000	0.00	0.000 (20)
3	100	70	10.05	1950.00	0.10	223.66	0.000000	0.00	0.000 (20)
4	100	70	10.05	1950.00	0.22	223.86	0.000000	0.00	0.000 (20)
5	100	70	10.05	1950.00	0.41	224.07	0.000000	0.00	0.000 (20)
6	100	70	10.05	1950.00	0.66	224.27	0.000000	0.00	0.000 (20)
7	100	70	10.05	1950.00	0.97	224.47	0.000000	0.00	0.000 (20)
8	100	70	10.05	1950.00	1.36	224.68	0.000000	0.00	0.000 (20)
9	100	70	10.05	1950.00	1.83	224.87	0.000000	0.00	0.000 (20)
10	100	70	10.05	1950.00	2.37	225.07	0.000000	0.00	0.000 (20)
11	100	70	10.05	1950.00	3.00	225.28	0.000000	0.00	0.000 (20)
12	100	70	10.05	1950.00	3.72	225.49	0.000000	0.00	0.000 (20)
13	100	70	10.05	1950.00	4.54	225.69	0.000000	0.00	0.000 (20)
14	100	70	10.05	1950.00	5.45	225.90	0.000000	0.00	0.000 (20)
15	100	70	10.05	1950.00	6.47	226.09	0.000000	0.00	0.000 (20)
16	100	70	10.05	1950.00	7.60	226.30	0.000000	0.00	0.000 (20)
17	100	70	10.05	1950.00	8.84	226.50	0.000000	0.00	0.000 (20)
18	100	70	10.05	1950.00	10.19	226.71	0.000000	0.00	0.000 (20)

n°	B [cm]	H [cm]	Af [cmq]	Aeff [cmq]	M [kNm]	Mpf [kNm]	ε [%]	Sm [mm]	w [mm]
19	100	70	10.05	1950.00	11.67	226.90	0.000000	0.00	0.000 (20)
20	100	70	10.05	1950.00	13.27	227.10	0.000000	0.00	0.000 (20)
21	100	70	10.05	1950.00	15.00	227.31	0.000000	0.00	0.000 (20)
22	100	70	10.05	1950.00	16.87	227.51	0.000000	0.00	0.000 (20)
23	100	70	10.05	1950.00	18.88	227.72	0.000000	0.00	0.000 (20)
24	100	70	10.05	1950.00	21.03	227.91	0.000000	0.00	0.000 (20)
25	100	70	10.05	1950.00	23.33	228.13	0.000000	0.00	0.000 (20)
26	100	70	10.05	1950.00	25.79	228.32	0.000000	0.00	0.000 (20)
27	100	70	10.05	1950.00	28.40	228.53	0.000000	0.00	0.000 (20)
28	100	70	10.05	1950.00	31.17	228.72	0.000000	0.00	0.000 (20)
29	100	70	10.05	1950.00	34.11	228.92	0.000000	0.00	0.000 (20)
30	100	70	10.05	1950.00	37.22	229.14	0.000000	0.00	0.000 (20)
31	100	70	10.05	1950.00	40.51	229.34	0.000000	0.00	0.000 (20)
32	100	70	10.05	1950.00	43.97	229.54	0.000000	0.00	0.000 (20)
33	100	70	10.05	1950.00	47.62	229.74	0.000000	0.00	0.000 (20)
34	100	70	10.05	1950.00	51.46	229.94	0.000000	0.00	0.000 (20)
35	100	70	10.05	1950.00	55.49	230.15	0.000000	0.00	0.000 (20)
36	100	70	10.05	1950.00	59.73	230.35	0.000000	0.00	0.000 (20)
37	100	70	10.05	1950.00	64.16	230.55	0.000000	0.00	0.000 (20)
38	100	70	10.05	1950.00	68.80	230.77	0.000000	0.00	0.000 (20)
39	100	70	10.05	1950.00	73.65	230.96	0.000000	0.00	0.000 (20)
40	100	70	10.05	1950.00	78.72	231.17	0.000000	0.00	0.000 (20)
41	100	70	10.05	1950.00	84.01	231.36	0.000000	0.00	0.000 (20)

Fondazione

Apertura limite fessure $w_{lim}=0.40$

n°	B [cm]	H [cm]	Af [cmq]	Aeff [cmq]	M [kNm]	Mpf [kNm]	ε [%]	Sm [mm]	w [mm]
1	100	80	0.00	0.00	0.00	0.00	---	---	0.000 (20)
2	100	80	7.70	1925.00	0.46	320.91	0.000000	0.00	0.000 (20)
3	100	80	7.70	1925.00	1.83	320.91	0.000000	0.00	0.000 (20)
4	100	80	7.70	1925.00	4.11	320.91	0.000000	0.00	0.000 (20)
5	100	80	7.70	1925.00	7.32	320.91	0.000000	0.00	0.000 (20)
6	100	80	7.70	1925.00	11.44	320.91	0.000000	0.00	0.000 (20)
7	100	80	10.05	1950.00	-11.56	-323.10	0.000000	0.00	0.000 (20)
8	100	80	10.05	1950.00	-10.50	-323.10	0.000000	0.00	0.000 (20)
9	100	80	10.05	1950.00	-9.50	-323.10	0.000000	0.00	0.000 (20)
10	100	80	10.05	1950.00	-8.57	-323.10	0.000000	0.00	0.000 (20)
11	100	80	10.05	1950.00	-7.69	-323.10	0.000000	0.00	0.000 (20)
12	100	80	10.05	1950.00	-6.87	-323.10	0.000000	0.00	0.000 (20)
13	100	80	10.05	1950.00	-6.11	-323.10	0.000000	0.00	0.000 (20)
14	100	80	10.05	1950.00	-5.41	-323.10	0.000000	0.00	0.000 (20)
15	100	80	10.05	1950.00	-4.75	-323.10	0.000000	0.00	0.000 (20)
16	100	80	10.05	1950.00	-4.15	-323.10	0.000000	0.00	0.000 (20)
17	100	80	10.05	1950.00	-3.60	-323.10	0.000000	0.00	0.000 (20)
18	100	80	10.05	1950.00	-3.10	-323.10	0.000000	0.00	0.000 (20)
19	100	80	10.05	1950.00	-2.64	-323.10	0.000000	0.00	0.000 (20)
20	100	80	10.05	1950.00	-2.22	-323.10	0.000000	0.00	0.000 (20)
21	100	80	10.05	1950.00	-1.85	-323.10	0.000000	0.00	0.000 (20)
22	100	80	10.05	1950.00	-1.52	-323.10	0.000000	0.00	0.000 (20)
23	100	80	10.05	1950.00	-1.22	-323.10	0.000000	0.00	0.000 (20)
24	100	80	10.05	1950.00	-0.97	-323.10	0.000000	0.00	0.000 (20)
25	100	80	10.05	1950.00	-0.74	-323.10	0.000000	0.00	0.000 (20)
26	100	80	10.05	1950.00	-0.55	-323.10	0.000000	0.00	0.000 (20)
27	100	80	10.05	1950.00	-0.40	-323.10	0.000000	0.00	0.000 (20)
28	100	80	10.05	1950.00	-0.27	-323.10	0.000000	0.00	0.000 (20)
29	100	80	10.05	1950.00	-0.17	-323.10	0.000000	0.00	0.000 (20)
30	100	80	10.05	1950.00	-0.09	-323.10	0.000000	0.00	0.000 (20)
31	100	80	10.05	1950.00	-0.04	-323.10	0.000000	0.00	0.000 (20)
32	100	80	10.05	1950.00	-0.01	-323.10	0.000000	0.00	0.000 (20)
33	100	80	0.00	0.00	0.00	0.00	---	---	0.000 (20)

Combinazioni SLEF

Paramento

Apertura limite fessure $w_{lim}=0.30$

n°	B [cm]	H [cm]	Af [cmq]	Aeff [cmq]	M [kNm]	Mpf [kNm]	ε [%]	Sm [mm]	w [mm]
1	100	70	0.00	0.00	0.00	0.00	---	---	0.000 (21)
2	100	70	10.05	1950.00	0.02	223.46	0.000000	0.00	0.000 (21)
3	100	70	10.05	1950.00	0.07	223.66	0.000000	0.00	0.000 (21)
4	100	70	10.05	1950.00	0.17	223.87	0.000000	0.00	0.000 (21)
5	100	70	10.05	1950.00	0.32	224.06	0.000000	0.00	0.000 (21)
6	100	70	10.05	1950.00	0.52	224.27	0.000000	0.00	0.000 (21)
7	100	70	10.05	1950.00	0.77	224.47	0.000000	0.00	0.000 (21)
8	100	70	10.05	1950.00	1.09	224.67	0.000000	0.00	0.000 (21)

n°	B [cm]	H [cm]	Af [cmq]	Aeff [cmq]	M [kNm]	Mpf [kNm]	ε [%]	Sm [mm]	w [mm]
9	100	70	10.05	1950.00	1.47	224.88	0.000000	0.00	0.000 (21)
10	100	70	10.05	1950.00	1.92	225.08	0.000000	0.00	0.000 (21)
11	100	70	10.05	1950.00	2.44	225.28	0.000000	0.00	0.000 (21)
12	100	70	10.05	1950.00	3.04	225.49	0.000000	0.00	0.000 (21)
13	100	70	10.05	1950.00	3.73	225.68	0.000000	0.00	0.000 (21)
14	100	70	10.05	1950.00	4.50	225.88	0.000000	0.00	0.000 (21)
15	100	70	10.05	1950.00	5.37	226.10	0.000000	0.00	0.000 (21)
16	100	70	10.05	1950.00	6.33	226.29	0.000000	0.00	0.000 (21)
17	100	70	10.05	1950.00	7.40	226.50	0.000000	0.00	0.000 (21)
18	100	70	10.05	1950.00	8.56	226.71	0.000000	0.00	0.000 (21)
19	100	70	10.05	1950.00	9.84	226.90	0.000000	0.00	0.000 (21)
20	100	70	10.05	1950.00	11.24	227.10	0.000000	0.00	0.000 (21)
21	100	70	10.05	1950.00	12.75	227.32	0.000000	0.00	0.000 (21)
22	100	70	10.05	1950.00	14.39	227.52	0.000000	0.00	0.000 (21)
23	100	70	10.05	1950.00	16.16	227.71	0.000000	0.00	0.000 (21)
24	100	70	10.05	1950.00	18.06	227.93	0.000000	0.00	0.000 (21)
25	100	70	10.05	1950.00	20.09	228.12	0.000000	0.00	0.000 (21)
26	100	70	10.05	1950.00	22.27	228.33	0.000000	0.00	0.000 (21)
27	100	70	10.05	1950.00	24.59	228.53	0.000000	0.00	0.000 (21)
28	100	70	10.05	1950.00	27.07	228.72	0.000000	0.00	0.000 (21)
29	100	70	10.05	1950.00	29.70	228.94	0.000000	0.00	0.000 (21)
30	100	70	10.05	1950.00	32.49	229.14	0.000000	0.00	0.000 (21)
31	100	70	10.05	1950.00	35.44	229.34	0.000000	0.00	0.000 (21)
32	100	70	10.05	1950.00	38.57	229.54	0.000000	0.00	0.000 (21)
33	100	70	10.05	1950.00	41.86	229.74	0.000000	0.00	0.000 (21)
34	100	70	10.05	1950.00	45.34	229.94	0.000000	0.00	0.000 (21)
35	100	70	10.05	1950.00	48.99	230.15	0.000000	0.00	0.000 (21)
36	100	70	10.05	1950.00	52.84	230.35	0.000000	0.00	0.000 (21)
37	100	70	10.05	1950.00	56.87	230.56	0.000000	0.00	0.000 (21)
38	100	70	10.05	1950.00	61.10	230.76	0.000000	0.00	0.000 (21)
39	100	70	10.05	1950.00	65.53	230.96	0.000000	0.00	0.000 (21)
40	100	70	10.05	1950.00	70.16	231.17	0.000000	0.00	0.000 (21)
41	100	70	10.05	1950.00	75.01	231.36	0.000000	0.00	0.000 (21)

Fondazione

Apertura limite fessure $w_{lim}=0.30$

n°	B [cm]	H [cm]	Af [cmq]	Aeff [cmq]	M [kNm]	Mpf [kNm]	ε [%]	Sm [mm]	w [mm]
1	100	80	0.00	0.00	0.00	0.00	---	---	0.000 (21)
2	100	80	7.70	1925.00	0.43	320.91	0.000000	0.00	0.000 (21)
3	100	80	7.70	1925.00	1.74	320.91	0.000000	0.00	0.000 (21)
4	100	80	7.70	1925.00	3.92	320.91	0.000000	0.00	0.000 (21)
5	100	80	7.70	1925.00	6.97	320.91	0.000000	0.00	0.000 (21)
6	100	80	7.70	1925.00	10.90	320.91	0.000000	0.00	0.000 (21)
7	100	80	10.05	1950.00	-7.65	-323.10	0.000000	0.00	0.000 (21)
8	100	80	10.05	1950.00	-6.87	-323.10	0.000000	0.00	0.000 (21)
9	100	80	10.05	1950.00	-6.13	-323.10	0.000000	0.00	0.000 (21)
10	100	80	10.05	1950.00	-5.46	-323.10	0.000000	0.00	0.000 (21)
11	100	80	10.05	1950.00	-4.83	-323.10	0.000000	0.00	0.000 (21)
12	100	80	10.05	1950.00	-4.26	-323.10	0.000000	0.00	0.000 (21)
13	100	80	10.05	1950.00	-3.73	-323.10	0.000000	0.00	0.000 (21)
14	100	80	10.05	1950.00	-3.24	-323.10	0.000000	0.00	0.000 (21)
15	100	80	10.05	1950.00	-2.80	-323.10	0.000000	0.00	0.000 (21)
16	100	80	10.05	1950.00	-2.40	-323.10	0.000000	0.00	0.000 (21)
17	100	80	10.05	1950.00	-2.04	-323.10	0.000000	0.00	0.000 (21)
18	100	80	10.05	1950.00	-1.72	-323.10	0.000000	0.00	0.000 (21)
19	100	80	10.05	1950.00	-1.43	-323.10	0.000000	0.00	0.000 (21)
20	100	80	10.05	1950.00	-1.18	-323.10	0.000000	0.00	0.000 (21)
21	100	80	10.05	1950.00	-0.96	-323.10	0.000000	0.00	0.000 (21)
22	100	80	10.05	1950.00	-0.76	-323.10	0.000000	0.00	0.000 (21)
23	100	80	10.05	1950.00	-0.60	-323.10	0.000000	0.00	0.000 (21)
24	100	80	10.05	1950.00	-0.46	-323.10	0.000000	0.00	0.000 (21)
25	100	80	10.05	1950.00	-0.34	-323.10	0.000000	0.00	0.000 (21)
26	100	80	10.05	1950.00	-0.24	-323.10	0.000000	0.00	0.000 (21)
27	100	80	10.05	1950.00	-0.17	-323.10	0.000000	0.00	0.000 (21)
28	100	80	10.05	1950.00	-0.11	-323.10	0.000000	0.00	0.000 (21)
29	100	80	10.05	1950.00	-0.06	-323.10	0.000000	0.00	0.000 (21)
30	100	80	10.05	1950.00	-0.03	-323.10	0.000000	0.00	0.000 (21)
31	100	80	10.05	1950.00	-0.01	-323.10	0.000000	0.00	0.000 (21)
32	100	80	10.05	1950.00	0.00	-323.10	0.000000	0.00	0.000 (21)
33	100	80	0.00	0.00	0.00	0.00	---	---	0.000 (21)

Combinazioni SLEQ

Paramento

Apertura limite fessure $w_{lim}=0.20$

n°	B [cm]	H [cm]	Af [cmq]	Aeff [cmq]	M [kNm]	Mpf [kNm]	ε [%]	Sm [mm]	w [mm]
1	100	70	0.00	0.00	0.00	0.00	---	---	0.00 (22)
2	100	70	10.05	1950.00	0.01	223.46	0.000000	0.00	0.00 (22)
3	100	70	10.05	1950.00	0.03	223.66	0.000000	0.00	0.00 (22)
4	100	70	10.05	1950.00	0.07	223.87	0.000000	0.00	0.00 (22)
5	100	70	10.05	1950.00	0.14	224.07	0.000000	0.00	0.00 (22)
6	100	70	10.05	1950.00	0.24	224.27	0.000000	0.00	0.00 (22)
7	100	70	10.05	1950.00	0.37	224.47	0.000000	0.00	0.00 (22)
8	100	70	10.05	1950.00	0.53	224.67	0.000000	0.00	0.00 (22)
9	100	70	10.05	1950.00	0.75	224.88	0.000000	0.00	0.00 (22)
10	100	70	10.05	1950.00	1.00	225.09	0.000000	0.00	0.00 (22)
11	100	70	10.05	1950.00	1.31	225.28	0.000000	0.00	0.00 (22)
12	100	70	10.05	1950.00	1.68	225.48	0.000000	0.00	0.00 (22)
13	100	70	10.05	1950.00	2.11	225.69	0.000000	0.00	0.00 (22)
14	100	70	10.05	1950.00	2.60	225.90	0.000000	0.00	0.00 (22)
15	100	70	10.05	1950.00	3.16	226.10	0.000000	0.00	0.00 (22)
16	100	70	10.05	1950.00	3.80	226.29	0.000000	0.00	0.00 (22)
17	100	70	10.05	1950.00	4.52	226.50	0.000000	0.00	0.00 (22)
18	100	70	10.05	1950.00	5.31	226.69	0.000000	0.00	0.00 (22)
19	100	70	10.05	1950.00	6.20	226.91	0.000000	0.00	0.00 (22)
20	100	70	10.05	1950.00	7.18	227.10	0.000000	0.00	0.00 (22)
21	100	70	10.05	1950.00	8.25	227.32	0.000000	0.00	0.00 (22)
22	100	70	10.05	1950.00	9.43	227.52	0.000000	0.00	0.00 (22)
23	100	70	10.05	1950.00	10.71	227.71	0.000000	0.00	0.00 (22)
24	100	70	10.05	1950.00	12.11	227.91	0.000000	0.00	0.00 (22)
25	100	70	10.05	1950.00	13.61	228.12	0.000000	0.00	0.00 (22)
26	100	70	10.05	1950.00	15.24	228.33	0.000000	0.00	0.00 (22)
27	100	70	10.05	1950.00	16.99	228.53	0.000000	0.00	0.00 (22)
28	100	70	10.05	1950.00	18.87	228.74	0.000000	0.00	0.00 (22)
29	100	70	10.05	1950.00	20.88	228.93	0.000000	0.00	0.00 (22)
30	100	70	10.05	1950.00	23.03	229.14	0.000000	0.00	0.00 (22)
31	100	70	10.05	1950.00	25.32	229.35	0.000000	0.00	0.00 (22)
32	100	70	10.05	1950.00	27.76	229.54	0.000000	0.00	0.00 (22)
33	100	70	10.05	1950.00	30.34	229.74	0.000000	0.00	0.00 (22)
34	100	70	10.05	1950.00	33.09	229.95	0.000000	0.00	0.00 (22)
35	100	70	10.05	1950.00	35.99	230.15	0.000000	0.00	0.00 (22)
36	100	70	10.05	1950.00	39.05	230.34	0.000000	0.00	0.00 (22)
37	100	70	10.05	1950.00	42.29	230.55	0.000000	0.00	0.00 (22)
38	100	70	10.05	1950.00	45.70	230.76	0.000000	0.00	0.00 (22)
39	100	70	10.05	1950.00	49.28	230.96	0.000000	0.00	0.00 (22)
40	100	70	10.05	1950.00	53.05	231.16	0.000000	0.00	0.00 (22)
41	100	70	10.05	1950.00	57.01	231.37	0.000000	0.00	0.00 (22)

Fondazione

Apertura limite fessure $w_{lim}=0.20$

n°	B [cm]	H [cm]	Af [cmq]	Aeff [cmq]	M [kNm]	Mpf [kNm]	ε [%]	Sm [mm]	w [mm]
1	100	80	0.00	0.00	0.00	0.00	---	---	0.00 (22)
2	100	80	7.70	1925.00	0.39	320.91	0.000000	0.00	0.00 (22)
3	100	80	7.70	1925.00	1.57	320.91	0.000000	0.00	0.00 (22)
4	100	80	7.70	1925.00	3.53	320.91	0.000000	0.00	0.00 (22)
5	100	80	7.70	1925.00	6.28	320.91	0.000000	0.00	0.00 (22)
6	100	80	7.70	1925.00	9.82	320.91	0.000000	0.00	0.00 (22)
7	100	80	7.70	1925.00	0.17	320.91	0.000000	0.00	0.00 (22)
8	100	80	7.70	1925.00	0.41	320.91	0.000000	0.00	0.00 (22)
9	100	80	7.70	1925.00	0.60	320.91	0.000000	0.00	0.00 (22)
10	100	80	7.70	1925.00	0.76	320.91	0.000000	0.00	0.00 (22)
11	100	80	7.70	1925.00	0.88	320.91	0.000000	0.00	0.00 (22)
12	100	80	7.70	1925.00	0.98	320.91	0.000000	0.00	0.00 (22)
13	100	80	7.70	1925.00	1.05	320.91	0.000000	0.00	0.00 (22)
14	100	80	7.70	1925.00	1.09	320.91	0.000000	0.00	0.00 (22)
15	100	80	7.70	1925.00	1.10	320.91	0.000000	0.00	0.00 (22)
16	100	80	7.70	1925.00	1.10	320.91	0.000000	0.00	0.00 (22)
17	100	80	7.70	1925.00	1.07	320.91	0.000000	0.00	0.00 (22)
18	100	80	7.70	1925.00	1.03	320.91	0.000000	0.00	0.00 (22)
19	100	80	7.70	1925.00	0.97	320.91	0.000000	0.00	0.00 (22)
20	100	80	7.70	1925.00	0.91	320.91	0.000000	0.00	0.00 (22)
21	100	80	7.70	1925.00	0.83	320.91	0.000000	0.00	0.00 (22)
22	100	80	7.70	1925.00	0.74	320.91	0.000000	0.00	0.00 (22)
23	100	80	7.70	1925.00	0.65	320.91	0.000000	0.00	0.00 (22)
24	100	80	7.70	1925.00	0.56	320.91	0.000000	0.00	0.00 (22)
25	100	80	7.70	1925.00	0.47	320.91	0.000000	0.00	0.00 (22)
26	100	80	7.70	1925.00	0.38	320.91	0.000000	0.00	0.00 (22)
27	100	80	7.70	1925.00	0.29	320.91	0.000000	0.00	0.00 (22)
28	100	80	7.70	1925.00	0.21	320.91	0.000000	0.00	0.00 (22)
29	100	80	7.70	1925.00	0.14	320.91	0.000000	0.00	0.00 (22)
30	100	80	7.70	1925.00	0.08	320.91	0.000000	0.00	0.00 (22)
31	100	80	7.70	1925.00	0.04	320.91	0.000000	0.00	0.00 (22)
32	100	80	7.70	1925.00	0.01	320.91	0.000000	0.00	0.00 (22)
33	100	80	0.00	0.00	0.00	0.00	---	---	0.00 (22)